

Molekulare Analyse der plasmodesmalen Assoziation des viralen Movementproteins MP17

Der Naturwissenschaftlichen Fakultät
der Friedrich-Alexander-Universität
Erlangen-Nürnberg
zur
Erlangung des Doktorgrades Dr. rer. nat.

vorgelegt von
Katrin Link
aus Nürnberg

Als Dissertation genehmigt
von der Naturwissenschaftlichen Fakultät
der Friedrich-Alexander Universität Erlangen-Nürnberg

Tag der mündlichen Prüfung:

Vorsitzender der Promotionskommission: Prof. Dr. Jörn Wilms

Erstberichterstatte: Prof. Dr. Uwe Sonnewald

Zweitberichterstatte: PD Dr. Ruth Stadler

Am Ende wird alles gut. Und wenn es nicht gut wird, ist es noch nicht das Ende.

Oscar Wilde

Teile dieser Arbeit sind in folgenden Publikationen enthalten:

Link K, Vogel F, Sonnewald U (2011) PD trafficking of potato leaf roll virus movement protein in Arabidopsis depends on site-specific protein phosphorylation. *Front Plant Sci* **2**

Inhaltsverzeichnis

| | |
|---|----|
| Zusammenfassung | 1 |
| Summary | 3 |
| 1 Einleitung..... | 5 |
| 1.1 Plasmodesmata..... | 5 |
| 1.1.1 Aufbau von Plasmodesmata | 5 |
| 1.1.2 Entstehung von Plasmodesmata | 7 |
| 1.1.3 Transport durch PD | 8 |
| 1.1.4 Regulation des plasmodesmalen SEL | 10 |
| 1.1.5 Identifizierung von Plasmodesmata-Proteinen | 14 |
| 1.2 Pflanzenviren..... | 17 |
| 1.2.1 Transportstrategien pflanzlicher Viren..... | 18 |
| 1.2.2 Interaktion mit Wirtsfaktoren | 19 |
| 1.2.3 MP17 – das Movementprotein des <i>Potato leafroll virus</i> | 20 |
| 1.3 Zielsetzung der Arbeit..... | 22 |
| 2 Ergebnisse..... | 24 |
| 2.1 Identifizierung der für die PD-Lokalisation von MP17 verantwortlichen Aminosäure-Motive | 24 |
| 2.1.1 Generierung und Analyse von MP17-Deletionsmutanten..... | 24 |
| 2.1.2 Analyse der Bedeutung der identifizierten Phosphorylierungsstellen | 26 |
| 2.1.3. Einfluss der Lysinreste auf den Abbau von MP17 in Sinkgeweben..... | 29 |
| 2.2 Genetische Identifizierung von Elementen des inter- und intrazellulären Makromolekültransportes | 31 |

| | | |
|-------|--|----|
| 2.2.1 | Beschreibung des Mutantenscreenings | 31 |
| 2.2.2 | Analyse der M3-Generation der identifizierten Mutanten | 36 |
| 2.2.3 | Analyse der Sourcemutante SO15A | 38 |
| 2.2.4 | Genetische Charakterisierung der Mutante SO15A | 42 |
| 2.3 | Untersuchung eines Cholintransporter-ähnlichen Proteins in Arabidopsis und dessen Einfluss auf die plasmodesmale Lokalisation von MP17 | 51 |
| 2.3.1 | Bestätigung der <i>CHER1</i> Genidentität | 51 |
| 2.3.2 | Lokalisation von <i>CHER1</i> | 55 |
| 2.3.3 | Interaktion <i>CHER1</i> und MP17..... | 56 |
| 2.3.4 | Auskreuzung von MP17 aus der Mutante SO15A..... | 57 |
| 2.3.5 | Komplementation SO15A | 58 |
| 2.3.6 | Metabolitmessungen..... | 58 |
| 2.3.7 | Keimlingsversuche..... | 61 |
| 2.3.8 | Differentiell regulierte endogene Transkripte in <i>CHER1</i> -Mutanten | 63 |
| 3 | Diskussion | 66 |
| 3.1 | Wodurch wird die PD-Lokalisation von MP17 vermittelt? | 66 |
| 3.1.1 | PD-Targeting der MP17-Deletionsvarianten | 66 |
| 3.1.2 | Phosphorylierung von MP17 ist essentiell für dessen PD-Lokalisation | 67 |
| 3.1.3 | MP17 – ein peripheres Membranprotein? | 70 |
| 3.2 | Genetische Identifizierung von Elementen des inter- und intrazellulären Makromolekültransportes | 72 |
| 3.2.1 | Identifizierung von Komponenten des plasmodesmalen Transports | 72 |

| | | |
|-------|--|-----|
| 3.2.2 | Primärcharakterisierung und Marker-gestützte Kartierung der Sourcemutante SO15A..... | 73 |
| 3.2.3 | Eine Herunterregulierung des <i>CHER1</i> Transkriptlevels phänokopiert die Mutante SO15A..... | 74 |
| 3.2.4 | Die Mutation in <i>CHER1</i> verhindert die Plasmamembranlokalisierung des Proteins und führt zu einer veränderten Plasmamembranzusammensetzung..... | 75 |
| 3.2.5 | Cholin in Pflanzen..... | 77 |
| 3.2.6 | Mögliche Auswirkungen eines veränderten Cholingehaltes in der Pflanze.. | 79 |
| 4 | Material und Methoden | 95 |
| 4.1 | Material..... | 95 |
| 4.1.1 | Chemikalien, Enzyme und Verbrauchsmaterialien..... | 95 |
| 4.1.2 | Oligonukleotide und Sequenzierungen | 95 |
| 4.1.3 | Vektoren und generierte Konstrukte | 95 |
| 4.1.4 | Bakterienstämme und Kultivierung | 98 |
| 4.1.5 | Pflanzenmaterial und Kultivierung..... | 99 |
| 4.2 | Methoden | 101 |
| 4.2.1 | Pflanzentransformation..... | 101 |
| 4.2.2 | Molekularbiologische Standardmethoden | 102 |
| 4.2.3 | Extraktion und Analyse von Nukleinsäuren..... | 102 |
| 4.2.4 | Mutantenscreening und Marker-gestützte Kartierung..... | 104 |
| 4.2.5 | <i>Next generation sequencing</i> | 105 |
| 4.2.6 | Generation von <i>CHER1</i> amiRNA Pflanzen | 105 |
| 4.2.7 | Komplementation der <i>CHER1</i> -Mutanten..... | 106 |

| | | |
|--------|--|-----|
| 4.2.8 | Western Blot Analyse | 106 |
| 4.2.9 | Physiologische Analysen und Zuckermessung | 107 |
| 4.2.10 | Keimlingsversuche..... | 108 |
| 4.2.11 | Messung des Cholingehaltes und der Phospholipide..... | 108 |
| 4.2.12 | Membranisolierung und Extraktion von Fettsäuren: | 110 |
| 4.2.13 | Plasmidkonstruktion für Lokalisierungsstudien..... | 111 |
| 4.2.14 | BIFC-Analysen | 111 |
| 4.2.15 | KLSM-Analysen..... | 112 |
| 4.2.16 | Alignment luteoviraler Movementproteine | 112 |
| 4.2.17 | Alignment und phylogenetischer Baum der Mitglieder der Cholintransporterfamilie | 112 |
| | Literaturverzeichnis..... | 114 |
| | Abkürzungsverzeichnis | 136 |
| | Anhang | 139 |
| | Danksagung | 173 |

Zusammenfassung

Trotz der rigiden Zellwand, die sie umgibt, stellen Pflanzenzellen keine isolierten Einheiten dar, sondern sind über Zell-Zell Kontakte namens Plasmodesmata (PD) zu einem suprazellulären Netzwerk verbunden. Der Transport und die Zell-zu-Zell Kommunikation durch PD ist ein hochregulierter Prozess. Doch selbst nach mehr als 100 Jahren Forschung ist über die Proteine, die diese hochentwickelten Zell-Zell Kontakte definieren und die zugrunde liegenden Mechanismen nur wenig bekannt. Pflanzenviren haben sich dieses System für ihre Verbreitung durch die Pflanze zunutze gemacht, indem sie für spezialisierte Movementproteine (MP) kodieren und mit Wirtsfaktoren interagieren. Demnach stellt die funktionelle Analyse viraler MP ein wichtiges Werkzeug für die Identifikation von PD-Proteinen dar. In der vorliegenden Arbeit wurde das 17 kDa große Movementprotein (MP17) des *Potato leafroll virus* (PLRV) zur Analyse von PD verwendet. Im ersten Teil sollte die für die PD-Lokalisation verantwortliche Aminosäuresequenz, bzw. Domäne des Proteins identifiziert werden. Zu diesem Zweck wurden GFP-fusionierte MP17-Deletionsvarianten sowie MP17-Phosphorylierungs-mutanten generiert und lokalisiert. Die Analysen zeigten, dass das PD-Targeting von MP17 durch ein Zusammenspiel von drei verschiedenen Teilen des Proteins vermittelt wird: dem C-Terminus, der Phosphorylierung der Serinreste S71 und/oder S79 und einer N-terminalen Domäne. Der zweite Fokus der vorliegenden Arbeit galt der Identifikation von Elementen des Makromolekültransportes. MP17 lokalisiert spezifisch an verzweigte PD in Sourceblättern, jedoch nicht an die strukturell unterschiedlichen simplen PD in unausgereiftem Gewebe. Während der Seneszenz kommt es zu einem allmählichen Verlust der plasmodesmalen Assoziation von MP17, vermutlich aufgrund struktureller Veränderungen der Plasmodesmata in diesem Entwicklungsstadium. Beide Merkmale, Bindung an PD in Sourceblättern und Verlust der Bindung in seneszenten Blättern, bildeten die Grundlage für ein vorwärts gerichtetes genetisches Screening nach Arabidopsismutanten mit einer veränderten PD-Bindung von MP17, genauer einer Reduktion der PD-Bindung in Sourceblättern und einer verstärkten PD-Bindung in seneszenten Blättern. Durch eine Kombination aus klassischer Marker-gestützter Kartierung und *next generation sequencing* konnte für eine der im Sourcescreening identifizierten Mutanten (SO15A) eine Mutation in *CHER1*, einem Protein der Plasmamembran Cholintransporter-Familie, nachgewiesen werden. Die Mutation in der zweiten Transmembrandomäne beeinträchtigte die Plasmamembran-Lokalisation des Proteins und führte stattdessen zu einer Akkumulation im Endoplasmatischen Retikulum (ER). Die Herunterregulierung der *CHER1* Transkriptmengen in der T-DNA Insertionslinie

cher1-4 sowie den generierten *artificial micro* RNA-Pflanzen für *CHER1* phänokopierte die Mutante SO15A. Alle *CHER1*-Mutanten sind durch eine extreme Wachstumsverzögerung, eine stark reduzierte PD-Lokalisation von MP17 sowie einen reduzierten Assimilatexport gekennzeichnet. Interessanterweise konnte eine Reduktion des Gehaltes an Phosphatidylcholin 759,0 um etwa 14 % in den *CHER1*-Mutanten im Vergleich zum Wildtyp Col-0 detektiert werden, was mit einem entsprechenden Anstieg an Phosphatidylethanolamin 718,7 einherging. Ebenso war der Level von Lysophosphatidylcholin 518,5, einem *lipid messenger*, signifikant verringert. Dies legt die Vermutung nahe, dass eine veränderte Plasmamembranzusammensetzung für den charakteristischen Phänotyp der *CHER1*-Mutanten verantwortlich ist. In der Transkriptomanalyse konnte zudem eine Transkript-Herunterregulierung bei *downstream* Targets des *lipid messengers* Phosphatidsäure beobachtet werden, v.a. für Ethylen-abhängige Prozesse, Abwehr-assoziierte Prozesse, sowie in den Bereichen *signalling* und Vesikeltransport. Weiterhin fiel eine vermehrte Herunterregulierung von Genen der Sterolsynthese sowie von Genen, die potentiell an der Synthese von sehr langkettigen Fettsäuren (*very long chain fatty acids*, VLCFA), welche für die Synthese von Sphingolipiden benötigt werden, auf. Da sowohl Sphingolipide als auch Sterole Komponenten von *lipid rafts* in Pflanzen darstellen, könnte dies auf eine beeinträchtigte Ausbildung von *lipid rafts* in den *CHER1*-Mutanten hinweisen. Trotz der Tatsache, dass der genaue Zusammenhang zwischen dem Cholintransporter *CHER1* und der PD-Lokalisation von MP17 noch ungeklärt ist, deuten die Ergebnisse der vorliegenden Arbeit darauf hin, dass die Mutation in *CHER1* oder die Herunterregulierung des *CHER1* Transkriptlevels in einer veränderten Plasmamembranzusammensetzung resultiert. Diese wiederum beeinflusst eine Vielzahl an Prozessen, darunter auch die PD-Lokalisation von MP17. Die Ergebnisse unterstreichen die Bedeutung von Phospholipiden, besonders im Kontext der PD-Struktur und -Funktion und als Bindestellen für Plasmamembran- oder PD-assoziierte Proteine, was lange Zeit vernachlässigt wurde.

Summary

Despite the rigid cell wall surrounding plant cells, they do not represent isolated units but are connected to a supracellular network by the presence of cell-to-cell contacts called plasmodesmata (PD). The regulation of macromolecular trafficking and cell-to-cell communication through plasmodesmata is a tightly regulated process. But even after more than 100 years of research our knowledge about the proteins defining these sophisticated cell-to-cell contacts and the ongoing processes is still rudimentary. Plant viruses have hitchhiked this system to enable their spread throughout the plant by encoding for specialized movement proteins (MP) and interacting with the host cell machinery. Thus the functional analysis of viral movement proteins represents an essential tool to uncover proteins required for PD structure and function. This study made use of the 17 kDa movement protein (MP17) of the *Potato Leafroll virus* (PLRV). The first aim was the identification of the sequence or domain responsible for the PD-localisation of MP17:GFP. Fusion experiments with distinct deletion variants and site-directed mutagenesis of the identified phosphorylated serine residues of MP17 revealed that PD-targeting of MP17 is dependent on the C-terminus, phosphorylation of S71 and/or S79 and an N-terminal domain. The focus of the second part was the identification of elements involved in the macromolecular transport. MP17 specifically localises to branched PD in source tissues but not to the structural dissimilar simple PD in immature tissues. During senescence a gradual decrease of plasmodesmal association of MP17 can be observed possibly due to structural changes of PD in this developmental stage. Both features, association of MP17 to PD of source leaves and dissociation from PD of senescent leaves, built the basis for a forward genetic screening for Arabidopsis mutants with altered PD-binding of MP17, more precisely a reduction of PD-binding in source leaves and a gain of PD-binding in senescent leaves. Map-based cloning and next-generation sequencing of one of the mutants identified in the source screening, SO15A, revealed a mutation in the plasma-membrane choline transporter family protein *CHER1*. The mutation in the second transmembrane domain abolished plasma membrane localisation of the protein, which instead was retained in the endoplasmic reticulum (ER). The knockdown of *CHER1* transcript levels in the T-DNA insertion line *cher1-4* as well as in generated artificial micro RNA plants for *CHER1* phenocopied the mutant SO15A. All *CHER1* mutants are characterised by an extreme stunted growth, strongly reduced binding of MP17 to PD of source leaves and a reduced assimilate export. Interestingly, the level of phosphatidylcholine 759,0 was significantly reduced by about 14 % in *CHER1* mutants compared to wildtype Col-0, whereas levels of phosphatidylethanolamine 718,7

showed a corresponding increase. Additionally, levels of lysophosphatidylcholine 518,5 showed a significant decrease. This suggests that an altered plasma membrane composition may be responsible for the characteristic phenotype of *CHER1* mutants. Transcriptome analysis revealed a down-regulation of potential phosphatidic acid involving processes like ethylene-mediated processes, vesicle trafficking, signalling and defense processes, indicating an impairment of lipid signalling. The down-regulation of genes involved in the synthesis of sterols and very long chain fatty acids needed for sphingolipid synthesis, both important constituents of plant lipid rafts, may indicate that the formation of lipid rafts might be impaired in *CHER1* mutants. Despite the fact that the exact mechanism of how the choline transporter influences PD-localisation of MP17 remains unclear, there is growing evidence that the mutation or down-regulation of *CHER1* transcript levels leads to an altered plasma membrane composition which influences a variety of processes including the PD-localisation of MP17. These findings highlight the emerging role of phospholipids, especially in the context of PD structure and function as well as potential binding sites for plasma membrane- and PD-associated proteins, which has been neglected for a long time.

1 Einleitung

1.1 Plasmodesmata

Im Unterschied zu tierischen Zellen sind Pflanzenzellen von einer rigiden Zellwand umgeben. Dennoch stellen sie keine isolierten Einheiten dar, sondern sind über sogenannte Plasmodesmata (PD) zu einem suprazellulären Netzwerk verbunden (Lucas und Lee, 2004). PD fungieren als Kontrollstellen für den passiven Transport von Photoassimilaten (Turgeon und Medville, 1998; Turgeon und Medville, 2004; Turgeon und Wolf, 2009) sowie für den selektiven Transport von Informationsmolekülen und Makromolekülen wie Transkriptionsfaktoren und RNA (Haywood et al., 2002; Lucas und Lee, 2004; Oparka, 2004; Kim und Zambryski, 2005; Maule, 2008; Lucas et al., 2009). Dadurch nehmen sie eine Schlüsselrolle für die Koordination von Pflanzenwachstum und -entwicklung, aber auch von Abwehrprozessen ein (Xu und Jackson, 2010; Lee und Lu, 2011). Jedoch birgt die durch PD gegebene symplastische Kontinuität auch Risiken für die Pflanze, da die Zell-Zell Kontakte Angriffspunkte für Pflanzenviren und andere Pathogene darstellen. So überrascht es nicht, dass Pflanzenviren verschiedenste Strategien entwickelt haben, um sich dieses System zunutze zu machen und somit ihre Verbreitung durch die Pflanze zu gewährleisten (Lee und Lu, 2011).

1.1.1 Aufbau von Plasmodesmata

Erste Informationen zum strukturellen Aufbau (siehe Abbildung 1) dieser Zell-Zell Verbindungen lieferten hauptsächlich Transmissionselektronenmikroskopie-Aufnahmen (Robards, 1971; Ding et al., 1992; Botha et al., 1993; Overall und Blackman, 1996; Waigmann et al., 1997). PD sind mit Plasmamembran ausgekleidete Poren in der Zellwand, die sowohl das Cytoplasma als auch die Membransysteme benachbarter Zellen miteinander verbinden. Die PD-Pore wird von einer Pektin-angereicherten Zellwand umgeben. Durch Kalloseablagerung an den Porenenden, der sogenannten *neck region*, der PD kann zusätzlich die Größe der Porenöffnung modifiziert werden (Radford et al., 1998; Levy et al., 2007). Das zentrale axiale Element, der Desmotubulus, besteht aus modifiziertem kortikalem endoplasmatischem Retikulum (ER), wobei das ER-Lumen auf einen Durchmesser von geschätzt 2 nm komprimiert wird (Robards und Lucas, 1990; Oparka et al., 1994; Kragler, 2013). Der Raum zwischen Desmotubulus und Plasmamembran wird als Cytoplasmaschlauch bezeichnet (Esau und Thorsch, 1985). Dieser wird durch speichenartige Strukturen, welche an der Plasmamembran und dem

Desmotubulus verankerte globuläre Proteine verbinden, in ca. 3 nm breite Mikrokanäle unterteilt (Ding et al., 1992; Overall und Blackman, 1996; Brecknock et al., 2011).

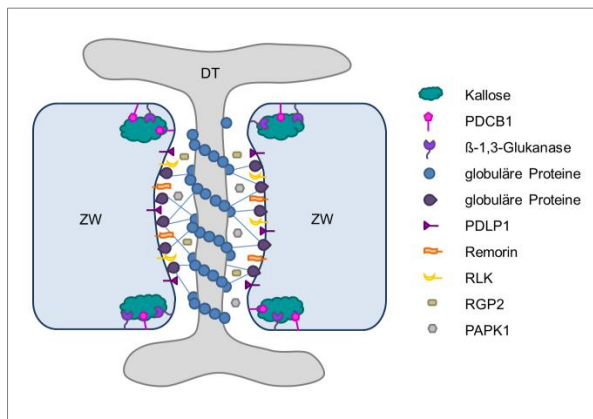


Abbildung 1: Struktureller Aufbau von PD. Abgebildet ist die Struktur simpler PD inklusive der Lokalisation bisher identifizierter PD-assoziiierter Proteine (siehe Kapitel 1.1.5); modifiziert nach Benitez-Alfonso et al. (2010).

ZW = Zellwand
 DT= Desmotubulus
 PDCB1 = *PD-callose-binding protein 1*
 PDLP1= *Plasmodesmata-located protein 1*
 RLK= *Receptor-like kinase*
 RGP2= *reversibly glycosylated polypeptide 2*
 PAPP1= *Plasmodesmal-associated protein kinase*

Durch eine gezielte Kontraktion und Expansion dieser Elemente könnte dementsprechend eine Kontrolle des Makromolekültransportes über eine Regulation der basalen Ausschlussgröße der PD erfolgen. Diese wird auch als *size exclusion limit* (SEL) bezeichnet und beschreibt die maximale Größe von Molekülen, die PD passieren können. Overall und Blackman (1996) postulierten, dass der Desmotubulus von helikal angeordneten Aktinsträngen umwunden wird. Diese Hypothese wurde durch die Identifizierung von Aktin und Myosin innerhalb der PD unterstützt (White et al., 1994; Ding et al., 1996; Radford und White, 1998; Reichelt et al., 1999; Golomb et al., 2008). Weiterhin konnte gezeigt werden, dass eine Depolymerisierung des Aktinskelettes unter Verwendung des Inhibitors Cytochalasin D zu einer Erhöhung des SEL führte (White et al., 1994; Ding et al., 1996). Diesen Effekt scheinen sich auch Pflanzenviren zunutze zu machen, um ihre Verbreitung von Zelle zu Zelle zu ermöglichen. So besitzen die Movementproteine des *Tobacco mosaic virus* (TMV MP30) und des *Cucumber mosaic virus* (CMV MP) die Fähigkeit, F-Aktin Stränge zu durchtrennen und somit das SEL zu erhöhen (Su et al., 2010). Durch Markierung von Aktinfilamenten mit einer GFP-Talin Fusion konnte eine Bewegung der Aktinfilamente durch PD jedoch ausgeschlossen werden (Crawford und Zambryski, 2000). Somit dient Aktin vermutlich eher als Strukturkomponente sowie als Gerüstprotein für einen Myosin-vermittelten Transport von Proteinen (Roberts und Oparka, 2003). Zudem wurde postuliert, dass Myosin VIII möglicherweise an der Verankerung und Organisation von Aktin beteiligt sei oder als Stütze für kortikale ER-Elemente fungieren könnte (Volkmann et al., 2003; Roberts, 2005). Tilsner et al. verweisen jedoch darauf, dass die räumliche Limitierung innerhalb der Pore sowohl Aktin als auch Myosin als PD-Komponente ausschließt (Tilsner et al., 2011). So wird der Durchmesser der Desmotubulus-assoziierten Proteine auf 2,5-4,5 nm

geschätzt, wohingegen Aktinfilamente einen Durchmesser von ca. 7 nm aufweisen (Holmes et al., 1990; Ding et al., 1992; Botha et al., 1993).

Es ist davon auszugehen, dass in Zukunft durch Methoden wie Computertomographie und hochauflösende Fluoreszenzlichtmikroskopie neue Einblicke in die PD-Zusammensetzung gewonnen werden können und die korrekte Lokalisation der identifizierten PD-Proteine genauer bestimmt werden kann (Bell und Oparka, 2011).

1.1.2 Entstehung von Plasmodesmata

Bezüglich der Art ihrer Entstehung kann zwischen primären Plasmodesmata und sekundären Plasmodesmata unterschieden werden (Ehlers und Kollmann, 2001). Primäre Plasmodesmata entstehen während der Zellteilung, wenn bei der Ablagerung des neuen Zellwandmaterials Stränge des kortikalen endoplasmatischen Retikulums in die entstehende Zellplatte eingeschlossen werden (Hepler, 1982; Staehelin und Hepler, 1996; Ehlers und Kollmann, 2001). Durch Umhüllung der neuen Zellwand mit Plasmamembran und Zusammenpressen des ER-Stranges entsteht schließlich die Plasmodesmata-Struktur (Jones, 1976). Als sekundäre Plasmodesmata werden Plasmodesmata bezeichnet, welche in existierenden Zellwänden neu gebildet werden. Hierfür werden zwei verschiedene Möglichkeiten diskutiert. Zum einen kann es bei der Zellwandexpansion zu einer lokalen Ausdünnung der Zellwand durch das Zusammenspiel von Expansinen, zellwandabbauenden Enzymen und Auxin-vermittelter Azidifizierung kommen. Durch den Turgordruck des Cytoplasmas in der Zelle wird die Zellwand weiter ausgedünnt und kortikales endoplasmatisches Retikulum in die Ausbuchtung eingelagert. Wird die Zellwand schließlich komplett durchtrennt, kommt es zu einer Umhüllung der Bruchstelle mit Plasmamembran und einer kompletten Einlagerung des ER (Jones, 1976; Lucas et al., 1993; Ehlers und Kollmann, 2001; Burch-Smith und Zambryski, 2012). Zum anderen können bereits bestehende simple Plasmodesmata als Template für die Bildung sekundärer Plasmodesmata, der sogenannten *twinned* PD, dienen. Dies könnte z.B. durch eine Längsteilung vorhandener Poren erfolgen, wobei zunächst ein zweiter Desmotubulus innerhalb der Pore entsteht und daraufhin die Ablagerung von neuem Zellwandmaterial die Teilung initiiert. Ebenso möglich wäre der Abbau von Zellwandmaterial nahe der Porenöffnung bereits existierender Plasmodesmata von beiden Seiten aus, einhergehend mit einer Vernetzung sich simultan bildender Desmotubuli (Faulkner et al., 2008).

Zum Zeitpunkt ihrer Entstehung sind sowohl primäre als auch sekundäre Plasmodesmata eher einfach strukturiert und bestehen aus einer linearen, zylindrischen Pore. Sie werden

deshalb als simple PD bezeichnet und sind hauptsächlich in unausgereiftem Pflanzengewebe, wie z.B. Embryonen (Burch-Smith und Zambryski, 2010), Sinkblättern (Oparka et al., 1999) und Wurzelmeristemen (Zhu et al., 1998) zu finden. Simple PD können sowohl alleine als auch in Paaren mit einem Abstand von weniger als 100 nm, den sogenannten *twinned* PD, oder in *pit fields*, d.h. Gruppierungen mehrerer PD, vorkommen (Faulkner et al., 2008). Im Laufe der Entwicklung können diese einfachen Poren jedoch zu verzweigten Strukturen mit mehreren Kanälen sowie einem zentralen Hohlraum modifiziert werden und so weisen vollentwickelte Gewebe wie z.B. Sourceblätter überwiegend verzweigte PD auf (Ding et al., 1992; Ehlers und Kollmann, 1996; Oparka et al., 1999; Ehlers und Kollmann, 2001). Die Verzweigung kann dabei durch Verbindung benachbarter simpler PD (Roberts et al., 2001), Ablagerung von sekundärem Zellwandmaterial (Fry, 2001) oder Bildung neuer Desmotubulus-Strukturen (Kollmann und Glockmann, 1999) erfolgen.

1.1.3 Transport durch PD

Grundsätzlich wird zwischen einem ungerichteten (durch Diffusion) und einem gerichteten Transport durch PD unterschieden (Crawford und Zambryski, 2001). Durch den spezifischen Aufbau der Plasmodesmata ergeben sich für den ungerichteten Transport verschiedene Transportwege durch diese Zell-Zell Verbindungen. Der Transport kleinerer Moleküle, wie etwa Zucker, Aminosäuren und Ionen, erfolgt über Diffusion durch die Mikrokanäle des Cytoplasmaschlauches (Tucker et al., 1989). Dies wurde in ersten Studien insbesondere durch die Verwendung von niedermolekularen Farbstoffen in verschiedenen Geweben demonstriert (Goodwin, 1983; Tucker et al., 1989; Oparka et al., 1991; Duckett et al., 1994; Roberts et al., 1997). In einer neueren Studie wurde die Diffusionsrate durch PD in Wurzeln von Arabidopsis mittels Carboxyfluorescein und FRAP (*fluorescence recovery after photobleaching*) untersucht, wobei ein Flux von $3,3\text{-}8,5\ \mu\text{m s}^{-1}$ ermittelt werden konnte (Rutschow et al., 2011). Aber auch lösliche Makromoleküle, wie z.B. das *green fluorescent protein* (GFP), können über PD von einer Zelle zur nächsten diffundieren. Die Verwendung von monomeren sowie multimeren Formen ermöglicht zudem die Analyse des plasmodesmalen SEL in verschiedenen Bedingungen und Geweben (Kim et al., 2005; Stadler et al., 2005). Entscheidend für die Passage von Molekülen durch PD ist vor allem deren hydrodynamischer Radius, der sogenannte *stokes radius*, der für GFP 2,82 nm beträgt (Terry et al., 1995). Versuche mit Reporterfarbstoffen an Trichomen in *Nicotiana benthamiana* konnten zeigen, dass auch dieser Transportweg eine gewisse Selektivität und Direktionalität nicht ausschließt, da nach einer

Injektion in die Trichombasiszelle eine Verteilung des Farbstoffes in die Trichomzellen erfolgte, nicht jedoch in die darunterliegende Epidermiszelle (Christensen et al., 2009). Eine weitere mögliche Route für den ungerichteten Transport stellt der Desmotubulus dar. Einerseits kann die Passage durch das Lumen des Desmotubulus erfolgen, was z.B. für Carboxyfluorescein und Fluoreszenz-gekoppelte Dextrane in *Nicotiana tabacum* und *Torenia fournieri* gezeigt werden konnte (Cantrill et al., 1999). Andererseits können Moleküle auch über die Desmotubulusmembran transportiert werden. Guenoune-Gelbart et al. (2008) postulierten, dass TMV MP30, ein integrales ER-Membran Protein, einen Komplex mit viraler RNA (vRNA) bildet und dass dieser Komplex über passive Diffusion in der ER-Membran als Folge des vorhandenen Konzentrationsgradienten zwischen infizierter und nicht infizierter Zelle durch Plasmodesmata gelangt. So überrascht es nicht, dass fluoreszierende Lipide sowie Phospholipidanaloga, die in der ER-Membran lokalisieren, durch PD diffundieren können. Im Gegensatz dazu ist eine Diffusion der PM-lokalisierten Lipide nur innerhalb der Zelle möglich, nicht jedoch über PD hinweg (Grabski et al., 1993). Dies spricht dafür, dass sich die Zusammensetzung der PD-Plasmamembran von der außerhalb liegenden Plasmamembran unterscheidet.

Makromoleküle wie RNA oder Proteine, die das basale SEL überschreiten, bewegen sich über einen gerichteten Transport durch PD von Zelle zu Zelle (Haywood et al., 2002; Oparka, 2004; Lucas et al., 2009; Kragler, 2013). Mikroinjektionsstudien lassen vermuten, dass der gerichtete Transport zwei verschiedene Prozesse beinhaltet (Haywood et al., 2002). Zuerst werden die zu transportierenden Proteine durch spezifische PD *pathway receptors* erkannt und zu den Zell-Zell Kontakten transportiert. Dort folgt die Erkennung der Proteine durch spezifische *docking*-Komplexe, welche die PD-Passage durch strukturelle Modifikationen des Proteins sowie durch Modifikation des plasmodesmalen SEL steuern (Haywood et al., 2002; Lucas und Lee, 2004; Oparka, 2004; Ruiz-Medrano et al., 2004; Kragler, 2013). Generell werden Proteine, die über PD transportiert werden, als *non cell autonomous proteins* (NCAPs) bezeichnet. Bis zum heutigen Zeitpunkt wurden viele endogene Makromoleküle beschrieben, die auf diese Weise zu ihrem Wirkungsort gelangen. Dabei handelt es sich hauptsächlich um Transkriptionsfaktoren, mRNAs und smallRNAs wie microRNAs und siRNAs (*small interfering RNA*), welche für die Koordination von Wachstum und Differenzierung und für die Reaktion auf äußere Einflüsse unabdingbar sind (zusammengefasst in Burch-Smith et al., 2011). Nicht zell-autonome Transkriptionsfaktoren sind beispielsweise KNOTTED1 (Lucas et al., 1995), SHOOTMERISTEMLESS und KNOTTED1-like homeobox protein 1 (Kim et al., 2003) aus der Familie der KNOX Transkriptionsfaktoren, der pflanzenspezifische Transkriptionsfaktor LEAFY (Sessions et al., 2000), SHORTROOT aus der GRAS Familie (Helariutta et

al., 2000; Nakajima et al., 2001), der MYB-Transkriptionsfaktor CAPRICE (Wada et al., 2002) sowie die MADS Domänen Transkriptionsfaktoren AGAMOUS (Urbanus et al., 2010) und GLOBOSA (Perbal et al., 1996). Die strenge Regulation des PD-Transports zeigt sich daran, dass Transkriptionsfaktoren nur über eine bis wenige Zellen transportiert werden (Nakajima et al., 2001; Kim et al., 2002; Kim et al., 2003; Burch-Smith et al., 2011). Der Transport des Homeodomainproteins KNOTTED1 (KN1) durch PD beruht neben einer Vergrößerung der Pore auch auf dessen Entfaltung (Kragler, 2013). Die korrekte Faltung von KN1 im Anschluss an dessen PD-Passage wird durch einen TypII Chaperoninkomplex, welcher auch den KN1-Interaktionspartner CCT8 enthält, vermittelt (Xu et al., 2011). Diese Ergebnisse lassen eine Beteiligung von Chaperonen für den selektiven Transport von Makromolekülen vermuten (Haywood et al., 2002). In Übereinstimmung dazu konnten Aoki et al. (2002) zeigen, dass ein Chaperon der HSP70-Klasse aus dem Phloemexudat von *Cucurbita maxima* das SEL von PD erhöhen kann und durch PD transportiert wird. Ebenso wurde in Tabak das endogene Protein NtNCAPP1 (*Nicotiana tabacum* NON-CELL-AUTONOMOUS PATHWAY PROTEIN1) identifiziert, welches eine ER-Lokalisation aufweist und das PD-Trafficking vieler Phloemproteine ermöglicht (Lee et al., 2003; Taoka et al., 2007). Auch Pflanzenviren werden durch einen selektiven Transport durch PD transportiert, worauf in Punkt 1.2 noch genauer eingegangen wird.

Trotz der steigenden Anzahl an identifizierten NCAPs, sind die Mechanismen ihres Transports durch PD weitestgehend ungeklärt. Mutantanalysen und Domänenshuffling mit bekannten NCAPs lassen jedoch erahnen, dass die Motive, welche den interzellulären PD-Transport vermitteln, hochdivergent sind (Lucas et al., 1995; Aoki et al., 2002; Kim et al., 2005; Lough et al., 2006; Thomas et al., 2008; Gallagher und Benfey, 2009; Vatén et al., 2011; Kragler, 2013).

1.1.4 Regulation des plasmodesmalen SEL

Anfänglich wurden PD als mehr oder weniger statische Poren betrachtet, durch die ein eher passiver Makromolekültransport erfolgt. Im Laufe der Jahre wurde jedoch deutlich, dass PD dynamische Kanäle darstellen und dass der plasmodesmale Transport ein spezifischer, hochkontrollierter und -regulierter Prozess ist. Die wichtigsten Mechanismen sollen im Folgenden kurz erläutert werden (zusammengefasst von Sager und Lee, 2014). Ein Parameter für die längerfristige, bzw. andauernde Regulation des Zell-zu-Zell Transportes ist die Veränderung der Plasmodesmata-Frequenz. Zum einen können PD wie unter Punkt 1.1.2 erwähnt auch *de novo* in post-zytokinetischen Zellwänden

entstehen und zum anderen kann es auch zu einem kompletten Verschluss durch Ablagerung von Kallose und zum Abbau existierender PD kommen. Beispielweise kommt es bei der Reifung und Differenzierung von Schließzellen zu einer symplastischen Isolierung, d.h. einem kompletten Verlust der PD, welche diese mit den angrenzenden Epidermiszellen verbinden (Willmer und Sexton, 1979; Wille und Lucas, 1984). In sich verlängernden Baumwollfasern ist die vorübergehende Inhibierung der plasmodesmalen Konnektivität für die Aufrechterhaltung des für die Elongation notwendigen Turgors unabdingbar (Ruan et al., 2001). Zusätzlich kann das plasmodesmale SEL auch durch strukturelle Veränderungen existierender PD, insbesondere durch die Integration von Verzweigungen und mehreren Kanälen, beeinflusst werden (Ehlers und Kollmann, 2001). So sind verzweigte PD-Strukturen, welche hauptsächlich in ausgereiften Geweben zu finden sind, durch ein reduziertes SEL gekennzeichnet, während simple PD in Sinkgeweben eine erweiterte PD-Pore aufweisen (Oparka et al., 1999; Crawford und Zambryski, 2000). Ein extremes Beispiel für die Modifizierung von PD stellt die Bildung von Siebporen dar. Diese entstehen ursprünglich aus primären PD durch eine Hyperakkumulation von Kallose und der darauffolgenden Entfernung des Desmotubulus mit erneutem Abbau der Kallose (Esau und Thorsch, 1984, 1985).

Im Gegensatz dazu erfordert die Reaktion auf Umwelteinflüsse oder physiologische Bedingungen eine schnelle Regulation des plasmodesmalen Transports. Eine Schlüsselrolle nimmt hierbei die gezielte Ablagerung von Kallose, einem β -1,3-Glukan, in der PD *neck region* ein (Chen und Kim, 2009; Epel, 2009; Hofmann et al., 2010). Durch die konzertierte Aktion von Kallose-Synthasen und Glukanasen für die Synthese, bzw. für den Abbau, wird die Kalloseablagerung streng reguliert (Dong et al., 2008; Zavaliev et al., 2010; Rinne et al., 2011). In Arabidopsis gibt es insgesamt zwölf Gene, die für Glukan Synthasen (*Callose Synthase*, CALS) kodieren (Saxena und Brown Jr, 2000; Verma und Hong, 2001). Speziell für CALS3, CALS7 und CALS10 konnte eine Wirkung auf den molekularen Transport über PD oder Siebelemente demonstriert werden (Guseman et al., 2010; Barratt et al., 2011; Vatén et al., 2011; Xie et al., 2011). Der Abbau von Kallose erfordert die Beteiligung von β -1,3-Glukanasen (Glykosyl Hydrolasen), von denen im Arabidopsis-Genom insgesamt etwa 50 vorhanden sind. Doch nur Glukanasen der Glycosylphosphatidylinositol-verankerten Glykosyl Hydrolase Familie 17 üben einen Einfluss auf die Kalloseablagerung an PD aus und sind an Prozessen wie z.B. der Brechung der Keimruhe oder dem lateralen Wurzelwachstum beteiligt (Levy et al., 2007; Rinne et al., 2011; Zavaliev et al., 2011; Benitez-Alfonso et al., 2013). Zusätzliche Komplexität ergibt sich durch die Beeinflussung der Kalloseablagerung durch weitere Faktoren. Beispielsweise resultiert die Überexpression der PD-assoziierten Proteine

PDCB1 und RGP2 in einer Hyperakkumulation von Kallose und einer Reduktion des SEL (Simpson et al., 2009; Zavaliev et al., 2010). Zudem offenbarten mehrere Studien einen Zusammenhang zwischen Kallose und der Konzentration an reaktiven Sauerstoffspezies (ROS, *reactive oxygen species*) wie Wasserstoffperoxid und Superoxid. So induzierte eine Aluminium- oder Cadmium-Exposition die ROS-Produktion und Kalloseablagerung, was eine reduzierte interzelluläre Verbreitung von symplastischen Farbstoffen bewirkte (Sivaguru et al., 2000; Ueki und Citovsky, 2005; Jones et al., 2006). Ebenso konnte der Einfluss von ROS durch Mutantanalysen manifestiert werden. Mutanten, die in der Synthese des lipophilen Antioxidants Tocopherol betroffen waren, wiesen eine erhöhte Kalloseablagerung an PD und eine reduzierte PD-Permeabilität auf (Russin et al., 1996; Botha et al., 2000; Hofius et al., 2004). Weiterhin brachte ein *screening* nach Mutanten mit einer gestörten Phloementladung von freiem GFP unter Kontrolle des Geleitzell-spezifischen AtSUC2-Promotors (pSUC2:GFP) die Mutante *gat1* (*gfp arrested trafficking 1*) zum Vorschein, bei der das plastidäre Thioredoxin m3 (TRX-m3), ein ROS-detoxifizierendes Enzym, mutiert ist (Benitez-Alfonso et al., 2009). Dementsprechend konnten auch in der Mutante *gat1* erhöhte ROS-Level und eine Hyperakkumulation von Kallose detektiert werden (Benitez-Alfonso et al., 2009; Benitez-Alfonso und Jackson, 2009). Die Überexpression von TRX-m3 im Blattgewebe resultierte übereinstimmend dazu in einer erhöhten Verteilung von GFP (Benitez-Alfonso et al., 2009). In einem Mutantenscreening nach Arabidopsis-Embryonen mit einer vermehrten symplastischen Verteilung des Markers HPTS und somit einem erhöhten SEL, konnten die Gene *ISE1* und *ISE2* (*increased size exclusion limit*) identifiziert werden, welche für eine mitochondriale DEAD-box RNA Helikase und eine DEVH-box RNA Helikase kodieren (Kim et al., 2002; Kobayashi et al., 2007; Stonebloom et al., 2009; Burch-Smith und Zambryski, 2010). Eine Mutation dieser Gene führte zu einem erhöhten SEL und einer erhöhten Frequenz an verzweigten PD und *twinned* PD (Burch-Smith und Zambryski, 2010). Interessanterweise resultierte das Silencing von *ISE1* in einer Erhöhung der ROS-Konzentration (Stonebloom et al., 2009). In diesem Zusammenhang wurde in einer unabhängigen Studie eine Beteiligung ROS-produzierender Enzyme an Prozessen der Zellwand-Remodellierung postuliert (Liu et al., 2014). Die eben beschriebenen Mutantanalysen illustrieren die Divergenz der Ergebnisse bezüglich der Bedeutung der ROS-Konzentration für die plasmodesmale Konnektivität. Möglicherweise scheint dabei der Ort der ROS-Produktion, also Mitochondrien versus Chloroplasten, einen unterschiedlichen Einfluss auszuüben, was die gegensätzlichen Effekte einer erhöhten ROS-Konzentration in *ise1*- und *gat1*-Mutanten erklären könnte. Die Dosis-abhängige Wirkung von H₂O₂ wurde in einer neueren Studie von Rutschow et al. (2011) demonstriert, welche

die Diffusionsrate durch PD in Wurzeln von Arabidopsis mittels Carboxyfluorescein und FRAP (*fluorescence recovery after photobleaching*) ermittelten. Dabei bewirkte eine zweistündige Applikation von H₂O₂ in geringen Konzentrationen von 0,6 mM einen Anstieg der plasmodesmalen Konnektivität um den Faktor 2, wohingegen eine hohe H₂O₂-Konzentration von 6 mM diese fast vollständig zum Erliegen brachte.

Des Weiteren konnte auch eine Beteiligung von Pflanzenhormonen an der Regulation des plasmodesmalen SEL gezeigt werden. So bewirkt die Aktivierung des Salicylsäure-Biosyntheseweges das Verschließen der PD durch die Induktion von PDL5, indem PDL5 die Ablagerung von Kallose durch Aktivierung von Kallose-Synthasen über einen bisher unbekanntem Mechanismus hervorruft (Lee et al., 2011; Wang et al., 2013; Sager und Lee, 2014). Weiterhin resultierte bei Arabidopsis-Keimlingen die Applikation von Salicylsäure in einem verstärkten Auftreten verzweigter PD-Strukturen (Fitzgibbon et al., 2013). Das Phytohormon Gibberelinsäure (GA) bewirkt den gegenteiligen Effekt und ist an der Erweiterung der PD-Pore beteiligt. Wie bereits erwähnt kommt es während der Dormanz zu einer kompletten Versiegelung der PD durch die Ablagerung von Kallose, was z.B. im apikalen Sprossmeristem in Birkenpflanzen durch eine inhibierte Ausbreitung des mikroinjizierten Farbstoffes LYCH visualisiert werden konnte (Rinne et al., 2001). Die Brechung der Dormanz durch Kältebehandlung führte zu einem Abbau der PD-Kallose, was mit einer Wiederherstellung der symplastischen Verbreitung des Farbstoffes einherging (Rinne et al., 2001). Eine spätere Studie konnte zeigen, dass durch die Kältebehandlung Gene der GA-Biosynthese induziert werden und dass daraufhin Gibberelin GA₃ die β -1,3-Glukanasen der GH17 Familie induziert (Rinne et al., 2011). Es wird davon ausgegangen, dass diese Glukanasen während der Dormanz im apikalen Sprossmeristem in sogenannten *lipid bodies*, welche mit dem kortikalen ER assoziiert sind, lokalisieren. Bei der Brechung der Dormanz werden diese *lipid bodies* zu PD und an Siebplattenporen transportiert, wo die freigesetzten Glukanasen den Abbau der Kallose bewirken. Durch einen Anstieg der Temperatur wird schließlich Gibberelin GA₄ aktiviert, welches daraufhin weitere β -Glukanasen induziert, was zu einem vollständigen Abbau der Kallose an PD in Zellen des apikalen Sprossmeristems führt (Rinne et al., 2001; Rinne et al., 2011; Sager und Lee, 2014).

Pysiologische Experimente ergaben, dass die PD-Permeabilität höherer Pflanzen durch Veränderungen des cytoplasmatischen Calciumgehaltes beeinflusst wird und ein Anstieg in cytosolischem freiem Calcium zu einem Verschließen der PD führt (Tucker, 1990; Tucker und Boss, 1996; Holdaway-Clarke et al., 2000). Die Annahme einer Calcium-abhängigen Regulation des plasmodesmalen SEL wird durch die PD-Lokalisation von Centrin, einem Calcium-regulierten kontraktilem Zytoskelettprotein, sowie Calreticulin,

einem Calcium-bindenden Protein, unterstützt (Baluška et al., 1999; Blackman et al., 1999; Baluška et al., 2001).

1.1.5 Identifizierung von Plasmodesmata-Proteinen

Wie bereits erwähnt, konnten die ersten PD-Elemente, hauptsächlich Strukturelemente wie Myosin und Aktin, durch Elektronenmikroskopie ermittelt werden. Diese wurden im weiteren Verlauf über Immunlokalisationsstudien bestätigt und näher charakterisiert (Olesen, 1979; Badelt et al., 1994; White et al., 1994; Overall und Blackman, 1996; Blackman und Overall, 1998; Blackman et al., 1999; Reichelt et al., 1999; Faulkner et al., 2008; Faulkner et al., 2009). Dadurch konnten einige PD-Grundbausteine identifiziert werden, eine genaue Bestimmung dieser Proteine war jedoch nicht möglich (Faulkner und Maule, 2011).

Ein Ansatz, der eben dies ermöglichen sollte, war die proteinbiochemische Isolation von PD-Proteinen aus Zellwandpräparationen aus Mais, Arabidopsis oder der Grünalge *Chara corallina* (Epel et al., 1995; Epel et al., 1996; Bayer et al., 2004; Faulkner et al., 2005; Bayer et al., 2006; Levy et al., 2007). In ersten Zellwandpräparationen aus Mais Mesokotyl und Arabidopsis konnten beispielsweise RGP2 (*reversibly glycosylated polypeptide 2*) und die β -1,3-Glukanase AtBG_ppap als PD-Proteine identifiziert werden, wobei beide Proteine einen Einfluss auf die plasmodesmalen Kalloselevel ausüben (Sagi et al., 2005; Levy et al., 2007). So induziert die Überexpression des Arabidopsis-Homologs AtRGP2 in *Nicotiana tabacum* die Ablagerung von Kallose an PD, was mit einer reduzierten Verteilung von Photoassimilaten und einer verminderten TMV-Verbreitung einhergeht (Zavaliev et al., 2010). Ebenso sind AtBG-ppap *knockout*-Pflanzen durch eine verminderte Ausbreitung von GFP gekennzeichnet (Levy et al., 2007). Im weiteren Verlauf konnte die Anreicherung von PD-Fraktionen durch die Verwendung von Zellsuspensionssystemen aufgrund der einfacheren Disruption der Zellen optimiert werden. PD-angereicherte Zellwandfraktionen aus Tabak BY2-Zellen brachten u.a. NCAPP1 (NON-CELL-AUTONOMOUS PROTEIN PATHWAY 1) (Lee et al., 2003), Hsp70- und Hsp40-Proteine (Aoki et al., 2002) sowie die PD-assoziierte Proteinkinase PAPK1 (Lee et al., 2005) zum Vorschein. Interessanterweise konnte für PAPK1 die Phosphorylierung des TMV MP30 C-Terminus *in vitro* gezeigt werden (Lee et al., 2005). Bayer et al. (2006) gelang es, die Kontaminationen in ihren PD-angereicherten Zellwandfraktionen aus Arabidopsis Suspensionskulturen durch Intensivierung der Fragmentierung und der Waschschrte drastisch zu minimieren. Durch eine Kombination aus 2D-Flüssigchromatographie und Tandemmassenspektrometrie konnten insgesamt

792 Protein identifiziert werden, von denen mittels bioinformatischer Analysen 89 Proteine entweder als klassische Zellwandproteine oder als Zellwand-assoziierte Membranproteine klassifiziert wurden (Bayer et al., 2006). Im Anschluss wurde deren Lokalisation über N-, und C-terminale GFP-Fusionen analysiert. Diese Analysen brachten zwei neue Klassen an PD-Proteinen zum Vorschein, zum einen PDLP1 (*Plasmodesmata-located protein 1*; Thomas et al., 2008) und zum anderen PDCB1 (*PD-callose-binding protein 1*; Simpson et al., 2009). PDLP1 gehört zu einer pflanzenspezifischen Proteinfamilie von Typ-1-Transmembranproteinen. Im Anschluss an ein N-terminales Signalpeptid und zwei extrazelluläre DUF26 Domänen sind sie durch eine einzige Transmembrandomäne und einen kurzen cytoplasmatischen C-terminalen Schwanz gekennzeichnet, wobei die 21 Aminosäuren lange Transmembrandomäne das plasmodesmale Targeting vermittelt (Thomas et al., 2008). Die Überexpression von PDLP1 führt zu einer beeinträchtigten Diffusion von freiem GFP, wohingegen bestimmte Doppel-*knockouts* eine erhöhte Verteilung des Fluorophors aufweisen (Thomas et al., 2008). PDLP1 ist eines der wenigen Beispiele eines PD-lokalisierten Proteins, welches auch eine Rezeptorfunktion für Movementproteine von Tubuli-bildenden Viren ausübt (Amari et al., 2010). Über FRET-FLIM (*Förster Resonance Energy Transfer Fluorescence-Lifetime Imaging Microscopy*) konnten Amari et al. (2010) die direkte Interaktion von PDLP1 - und auch den anderen PDLPs - mit den Movementproteinen der Tubuli-bildenden Viren *Grapevine fanleaf virus* und *Cauliflower mosaic virus* an der Tubuli-Basis zeigen. In Übereinstimmung hierzu ist die Ausbildung der Tubuli und dadurch auch die Virusverbreitung in *pdlp1-pdlp2-pdlp3* Triplemutanten deutlich reduziert (Amari et al., 2010). PDCB1 gehört ebenfalls zu einer größeren Proteinfamilie und ist ein GPI-verankertes Protein, welches eine N-terminale extrazelluläre X8-Domäne mit Kallosebindeaktivität, sowie einen C-terminalen unstrukturierten Arm aufweist (Simpson et al., 2009). Es wird postuliert, dass PDCB eine Ankerfunktion zwischen der extrazellulären Plasmamembran und den Kalloseablagerungen in der Zellwand an PD ausübt, was auch auf eine Beteiligung an der Regulation des plasmodesmalen SEL schließen lässt. Dementsprechend resultiert die Überexpression von PDCB1 in einer Hyperakkumulation von Kallose und einer reduzierten Verbreitung von freiem GFP (Simpson et al., 2009). Fernandez-Calvino et al. (2011) kombinierten schließlich die Methoden von Bayer et al. (2006) und Levy et al. (2007), indem sie die Zellwand von Arabidopsis Suspensionszellkulturen vor der Präparation enzymatisch verdauten und anschließend sensitivere Detektionssysteme, genauer *nano-liquid chromatography* und *Orbitrap ion-trap tandem mass spectrometer*, einsetzten. Auf diese Weise konnten insgesamt 1341 Proteine identifiziert werden, wobei 35 % als Kontaminationen und 21 % als Membranproteine definiert wurden. Von 15

ausgewählten analysierten Proteinen aus der Gruppe der Membranproteine konnte bisher für drei Rezeptor-ähnliche Kinasen, ein Tetraspanin und ein Protein mit unbekannter Funktion eine Lokalisierung an PD detektiert werden (Fernandez-Calvino et al., 2011).

Neben den soeben beschriebenen vielversprechenden Proteomanalysen gab es auch noch andere Ansätze zur Identifizierung von plasmodesmalen Komponenten. Die generelle Bedeutung der Zell-Zell Kontakte stellt eine große Hürde für die genetische Identifizierung von PD-Komponenten dar, da davon auszugehen ist, dass das Ausschalten von Genen, die essentiell für die Struktur und Funktion von PD sind, letal ist. So konnten bislang durch vorwärts gerichtete genetische Mutantenscreenings keine direkten PD-Proteine identifiziert werden. Zwei Ansätze basierten auf einer Mutagenese von Markerlinien, welche GFP unter Kontrolle des Geleitzellen-spezifischen AtSUC2-Promotors exprimieren, mit anschließender Durchmusterung nach einem veränderten symplastischen Movement von GFP. Wenig et al. (2013) identifizierten die Mutante *main-1* (*maintenance of meristems*). Das kernlokalisierte Protein MAIN ist Mitglied einer bisher nicht charakterisierten pflanzenspezifischen Proteinfamilie und scheint ein essenzieller Faktor für den Erhalt der Meristeme und der Genomintegrität in meristematischen Zellen zu sein (Wenig et al., 2013). Ein unabhängiges Screening von Benitez-Alfonso et al. (2009) brachte eine weitere Mutante namens *gat1* (*gfp-arrested trafficking 1*) mit reduzierter Entladung von GFP und Mutation im plastidären Thioredoxin TRX-m3 zum Vorschein. Wie bereits unter Punkt 1.1.4 näher erläutert, war dies jedoch eher die Folge eines indirekten Effektes durch eine Veränderung des ROS-Levels. Gleiches gilt auch für die Mutante *ise1* (*increased size exclusion limit 1*), welche eine erhöhte symplastische Verteilung des Markers HPTS aufwies und bei der eine mitochondriale DEAD-box RNA Helikase mutiert war (Kim et al., 2002; Kobayashi et al., 2007; Stonebloom et al., 2009; Burch-Smith und Zambryski, 2010). Ein Screening nach Regulatoren der Schließzellen-Strukturierung führte zur Isolierung der Mutante *chorus* (*chor*), die eine erhöhte makromolekulare Diffusionsrate zwischen Epidermiszellen zeigte (Guseman et al., 2010). Die durch CHOR kodierte Kallosesynthase GLUCAN SYNTHASE-LIKE 8 (GSL8) ist an der Ablagerung von Kallose an der Zellplatte, den Zellwänden und an PD beteiligt. Dies lässt darauf schließen, dass eine Drosselung der symplastischen Konnektivität für die Stomata-Entwicklung erforderlich ist. Xu et al. (2011) entwickelten einen Screening-Ansatz für KNOTTED1 Trafficking-Mutanten. Hierfür wurde der Myb-Transkriptionsfaktor GLABROUS1, der für die Trichombildung in Epidermiszellen erforderlich ist, an die für das Trafficking verantwortliche C-terminale Homeodomäne von KNOTTED1 (KN1^C) und an GFP fusioniert und das Fusionsprotein GFP-GL1-KN1^C in der Trichom-defizienten Mutante *gl1* exprimiert. Die Samen der erhaltenen Linie wurden einer EMS-Mutagenese

unterzogen. Für die in der Durchmusterung von Keimlingen der M2-Generation identifizierte Untereinheit des Typ II Chaperoninkomplexes, CCT8, wird eine Beteiligung an der Neufaltung von KN1 und anderen nicht-zellautonomen Proteinen im Anschluss an den Transport durch PD postuliert (Xu et al., 2011; Fichtenbauer et al., 2012).

Eine Methode, die bisher nur wenig vielversprechend zu sein scheint, ist die Durchmusterung von cDNA-Banken. Escobar et al. (2003) fusionierten beispielweise eine cDNA-Bank aus *Nicotiana benthamina* an GFP und analysierten die Lokalisierung in Tabak nach erfolgreicher Expression über einen TMV-basierten Expressionsvektor. Auf diese Weise konnte für zwölf Fusionsproteine eine Lokalisation an PD detektiert werden, so z.B. für das Ras-ähnliche Protein Rab11 (Escobar et al., 2003). Jedoch scheiterte die Bestätigung dieses Lokalisierungsmusters mit den Vollängen cDNAs (Faulkner und Maule, 2011).

Eine Übersicht der Lokalisation der wichtigsten bisher identifizierten PD-Proteine ist in Abbildung 1 zu erkennen.

1.2 Pflanzenviren

Pflanzenviren gehören neben Bakterien, Pilzen und Nematoden zu der Gruppe der Hauptpflanzenpathogene. Sie nehmen jedoch eine Sonderstellung ein, da sie ausschließlich im Symplasten der Pflanze zu finden sind (Schoelz et al., 2011). Eine erfolgreiche Verbreitung in der Pflanze basiert bei nicht Phloem-begrenzten Viren zunächst auf einem effizienten Zell-zu-Zell Transport vom Infektionsort zu den benachbarten Zellen der Epidermis und des Mesophylls innerhalb des lokal infizierten Blattes. Die systemische Ausbreitung erfolgt schließlich mit dem Phloemstrom von Sourcegeweben zu Sinkgeweben (Leisner und Turgeon, 1993). Der Eintritt in das Phloem ausgehend vom Mesophyll erfordert jedoch den Transport des Virusgenoms über verschiedene Zelltypen - den Bündelscheidenzellen, Phloemparenchymzellen und Geleitzellen - hinweg. Diese können sich in Form, Anzahl und Verteilung der PD deutlich unterscheiden (Turgeon und Wolf, 2009; Ehlers und van Bel, 2010; Fitzgibbon et al., 2010). Um ihre Verbreitung in der Pflanze zu gewährleisten, haben Pflanzenviren ein hochentwickeltes System etabliert. Zum einen kodieren sie für spezialisierte Transportproteine, welche auch als Movementproteine (MP) bezeichnet werden. Diese besitzen die Fähigkeit, virale RNA/DNA zu binden sowie zu PD modifizieren. Zum

anderen rekrutieren Pflanzenviren auch endogene Proteine für ihren inter- und intrazellulären Transport.

1.2.1 Transportstrategien pflanzlicher Viren

Pflanzenviren sind mit einem Durchmesser der Viruspartikel von 10-200 nm viel zu groß, um über passiven Transport durch eine unmodifizierte PD-Pore zu gelangen (Scholthof, 2005). Deshalb haben die verschiedenen Virusfamilien für ihren Transport unterschiedliche Strategien entwickelt, von denen die wichtigsten im Folgenden kurz erläutert werden sollen. Generell kann zwischen einem Tubuli-unabhängigen Transport und einem Tubuli-vermittelten unterschieden werden. Einige Virusfamilien, wie z.B. Tobamoviren mit dem *Tobacco mosaic virus* (TMV) als bekanntesten Vertreter, benötigen für den Tubuli-unabhängigen Transport nur ein einzelnes hochspezialisiertes MP, welches das Virusgenom direkt bindet und einen Nukleoproteinkomplex bildet. Durch die Lokalisation des MP an PD und Modifikation des plasmodesmalen SEL wird schließlich der Transport des Nukleoproteinkomplexes in die Nachbarzellen ermöglicht (Ghoshroy et al., 1997; Lazarowitz und Beachy, 1999). Die stabile Expression des TMV MP30 resultierte dementsprechend in einer Erhöhung des SEL von 1 kDa auf 10 kDa in Tabakmesophyllzellen (Wolf et al., 1989). Alternativ dazu kodieren einige Virusfamilien, wie z.B. Carmoviren oder Hordeiviren, für zwei, bzw. drei Movementproteine, welche demzufolge als *double gene block* oder *triple gene block* bezeichnet werden, und unterschiedliche Aufgaben erfüllen. Das TGBp1 Protein von Hordeiviren ist beispielsweise an der Bildung des Nukleoproteinkomplexes beteiligt. Dieser assoziiert an die integralen Membranproteine TGBp2 und TGBp3 und gelangt über TGBp3-vermitteltes Targeting an PD. Dort bewirken TGBp2 und TGBp3 vermutlich durch die Interaktion mit PD-Rezeptorproteinen eine Vergrößerung der Pore mit anschließendem Transport des TGBp1-vRNA Komplexes durch die Pore (McGeachy und Barker, 2000; Morozov und Solovyev, 2003; Lim et al., 2008; Jackson et al., 2009; Niehl und Heinlein, 2011). Der Zell-zu-Zell Transport anderer Virusfamilien erfordert zusätzlich zu einem oder mehreren MP noch die Beteiligung weiterer Proteine. Potexviren wie der *Potato virus X* benötigen zusätzlich zum TGB noch das Capsidprotein (CP) für ihre Verbreitung (Chapman et al., 1992; Verchot-Lubicz, 2005). Ebenso ist die Ausbreitung von Bromoviren wie dem *Brome mosaic virus* und dem *Cucumber mosaic virus* CP-abhängig (Takeda et al., 2004; Sasaki et al., 2005). Closteroviren, wie z.B. der *Beet yellows virus* (BYV), benötigen sogar mehrere Proteine für ihren interzellulären Transport, darunter auch ein HSP70-Homolog (Karasev et al., 1992; Medina et al., 1999; Peremyslov et al., 1999; Alzhanova et al.,

2001; Dolja et al., 2006). Ein Extrembeispiel stellen Potyviren dar, die kein spezielles Movementprotein aufweisen und deren Transport auf einem Zusammenspiel von mindestens vier multifunktionalen Proteinen basiert (Revers et al., 1999; Wen und Hajimorad, 2010; Vijayapalani et al., 2012). Geminiviren setzen zudem ein *nuclear shuttle protein* ein, welches das ssDNA-Genom zum Zwecke der Replikation in den Kern transportiert. Im Anschluss werden DNA-NSP Komplexe in das Cytoplasma transportiert, wo sie mit dem MP interagieren und zu PD transportiert werden (Niehl und Heinlein, 2011; Fondong, 2013; Hanley-Bowdoin et al., 2013).

Im Gegensatz zu den eher gemäßigten Veränderungen der PD-Struktur bei den eben beschriebenen Transportvarianten, ist der Tubuli-vermittelte Transport durch eine drastische strukturelle Modifikation der PD-Pore gekennzeichnet. So kommt es zu einer MP-induzierten Ausbildung tubulärer Strukturen über die komplette Pore hinweg, was mit einer Deletion des Desmotubulus einhergeht. Diese Tubuli ermöglichen eine Virusverarbeitung in Form von Virionen mit einem Durchmesser von bis zu 50 nm (Schoelz et al., 2011). Diese Transportform ist bei RNA-Viren wie auch bei DNA-Viren zu finden (Perbal et al., 1993; Storms et al., 1995; Pouwels et al., 2004; Sánchez-Navarro et al., 2010).

1.2.2 Interaktion mit Wirtsfaktoren

Sowohl der intrazelluläre Transport von MP und MP-RNA Komplexen zu den PD als auch der interzelluläre Transport derselben durch die Pore erfordert eine Interaktion mit Wirtsfaktoren. In diesem Zusammenhang konnten eine Vielzahl verschiedenster Interaktionen durch diverse Methoden gezeigt werden (zusammengefasst von Niehl und Heinlein, 2011). Pflanzenviren machen sich häufig Elemente des Zytoskeletts für ihre Verbreitung zunutze. So belegen zahlreiche Studien die Bedeutung von Aktin (McLean et al., 1995; Prokhnevsky et al., 2005; Wright et al., 2007; Harries et al., 2009; Harries et al., 2009; Genoves et al., 2010; Su et al., 2010; Feng et al., 2013) und Mikrotubuli (Heinlein et al., 1995; McLean et al., 1995; Boyko et al., 2000; Boyko et al., 2000; Boyko et al., 2000; Boyko et al., 2002; Ashby et al., 2006; Ferralli et al., 2006; Seemanpillai et al., 2006; Boyko et al., 2007; Sambade et al., 2008; Ouko et al., 2010) sowie deren Motorproteinen Myosin (Prokhnevsky et al., 2005; Avisar et al., 2008; Harries et al., 2009; Amari et al., 2011; Yuan et al., 2011; Agbeci et al., 2013) und Kinesin/Dynein (von Bargaen et al., 2001; Paape et al., 2006) für die Virusverbreitung. Ebenso scheinen Interaktionen mit der Transportmaschinerie des Vesikeltraffickings (Huang et al., 2001; Laporte et al., 2003; Kaido et al., 2007; Lewis und Lazarowitz, 2010; Kramer et al., 2011; Carluccio et al., 2014) sowie dem Chaperonsystem (Soellick et al., 2000; von Bargaen et al., 2001; Hofius

et al., 2007; Lu et al., 2009; Shimizu et al., 2009; Krenz et al., 2010; Fichtenbauer et al., 2012; Krenz et al., 2012; Mathioudakis et al., 2012; Du et al., 2013; Gorovits et al., 2013) eine zentrale Rolle für den Transport zu spielen. Die Wechselwirkung mit Kinasen kann für das *trafficking* viraler Movementproteine notwendig sein, da deren volle Funktionsfähigkeit häufig auf einer, bzw. mehreren Phosphorylierungen basiert (Lee et al., 2005; Lee, 2008). Kürzlich konnte die Interaktion zwischen dem Raft-Protein Remorin und TGB1, dem PVX Movementprotein, gezeigt werden, was die generelle Bedeutung der Lipidzusammensetzung der PD-Pore unterstreicht (Raffaele et al., 2009; Perraki et al., 2014).

Eine Sonderstellung unter allen bekannten Interaktionen zwischen viralen Proteinen und Wirtsfaktoren nehmen jedoch die Mitglieder der PDLP1-Familie ein, da diese bisher die einzigen PD-lokalisierten Proteine darstellen, die als Rezeptoren für Tubuli-bildende virale Movementproteine fungieren (Thomas et al., 2008; Amari et al., 2010). Amari et al. (2010) demonstrierten die Interaktion von PDLP1 - und auch den anderen Mitgliedern der PDLP-Familie - mit den Movementproteinen des *Grapevine fanleaf virus* sowie des *Cauliflower mosaic virus* und die Bedeutung dieser Interaktion für die Ausbildung der tubulären Strukturen.

1.2.3 MP17 – das Movementprotein des *Potato leafroll virus*

Für die Analyse der inter- und intrazellulären Transportmaschinerie wurde in dieser Arbeit das 17 kDa große Movementprotein (MP17) des *Potato leafroll virus* (PLRV; Familie *Luteoviridae*, Genus *Polerovirus*) verwendet. PLRV verfügt über ein 5,8 kb großes einzelsträngiges (+) RNA Genom, welches für acht offene Leserahmen kodiert (Taliensky et al., 2003). MP17 wird von ORF4 exprimiert und erfüllt die drei Schlüsselqualifikationen viraler MP. Über Immunogold-Experimente und GFP-Fusionen in Tabak konnte gezeigt werden, dass MP17 in Sourceblättern an verzweigte Plasmodesmata lokalisiert und zu einer Erhöhung des SEL der PD zwischen Tabakmesophyllzellen führt (Hofius et al., 2001). Weiterhin wurde bestätigt, dass MP17 in der Lage ist, seine eigene virale RNA zu binden (Tacke et al., 1991). In *Arabidopsis thaliana* führt die konstitutive Expression von MP17 oder MP17 mit C-terminaler GFP-Fusion (MP17:GFP) unter der Kontrolle des CaMV-Promotors in der Arabidopsis-Linie mit der stärksten Expression (Col-16) zu einem Kohlenhydratexportblock, der sich phänotypisch durch eine Wuchsretardierung und der Ausbildung von chlorotischen Sourceblättern äußert (Kronberg et al., 2007). MP17 lokalisiert ausschließlich an verzweigte PD-Strukturen (Abbildung 2), welche überwiegend in Sourcegeweben zu finden sind (Hofius et al., 2007; Kronberg et al., 2007; Vogel et al.,

2007). Im Unterschied dazu bindet das Movementprotein des *Tobacco mosaic virus* (MP30) auch an simple PD-Strukturen, die aus einer einzigen, unverzweigten Pore bestehen und in noch unentwickelten Sinkgeweben dominieren (Burch-Smith et al., 2011). Aufgrund der fehlenden Bindung von MP17 an diese PD-Typen, erfolgt in Sinkgeweben der Abbau von MP17 über das 26S-Proteasom. Während der Seneszenz kommt es zu einer allmählichen Verringerung der plasmodesmalen Assoziation von MP17, was wahrscheinlich auf strukturelle Veränderungen der PD in diesem Entwicklungsstadium zurückzuführen ist (Kronberg et al., 2007). Durch die Verwendung von chemischen Inhibitoren konnte in Vorarbeiten gezeigt werden, dass der Transport von MP17 zu PD die Beteiligung von Aktinfilamenten sowie dem ER-Golgi-Transportsystem erfordert (Vogel et al., 2007).

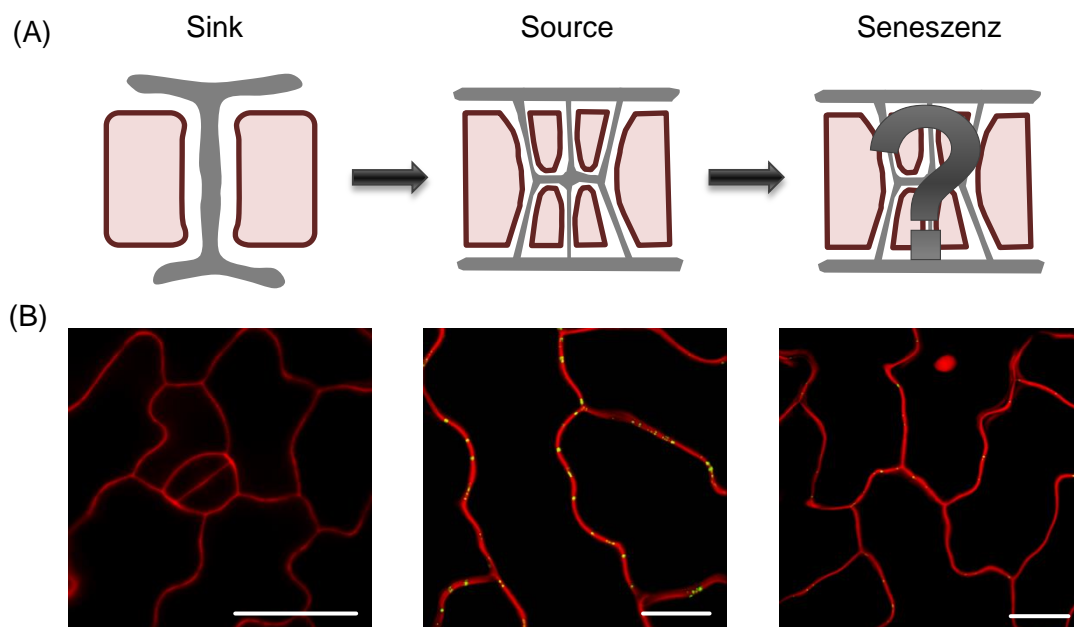


Abbildung 2: Zusammenhang zwischen Plasmodesmatastruktur und der PD-Lokalisation von MP17. (A) Die obere Reihe zeigt eine schematische Darstellung der Plasmodesmatastruktur in den verschiedenen Entwicklungsstadien, wobei Zellwände rot und Desmotubulusstrukturen grau dargestellt sind. In Sinkgeweben sind überwiegend simple PD in Form einer einfachen Pore zu finden. Mit zunehmendem Blattalter erfolgt ein Shift zu verzweigten PD-Strukturen. Während der Seneszenz erfolgen vermutlich weitere strukturelle Veränderungen. (B) Repräsentative KLSM-Aufnahmen der MP17-Lokalisation an PD für die drei Entwicklungsstadien in der Arabidopsis-Linie Col-16. MP17:GFP Fluoreszenz ist grün dargestellt, die Zellwände wurden durch Propidiumiodid rot gefärbt; Größenstandard entspricht 20 µm (Sink), 17 µm (Source) und 24 µm (Seneszenz).

1.3 Zielsetzung der Arbeit

Der pflanzliche Makromolekültransport ist ein komplexer Prozess. Die beteiligten Komponenten und Mechanismen sind jedoch auch nach jahrelanger Forschung noch weitestgehend ungeklärt. Pflanzenviren haben sich dieses Transportsystem der Pflanzen für ihre Verbreitung von Zelle zu Zelle zunutze gemacht, indem sie endogene Wirtsfaktoren für den Transport viraler RNA verwenden und modifizieren. Die Lokalisation viraler Movementproteine an PD macht diese zu besonders geeigneten Werkzeugen, um bislang unbekannte Plasmodesmataproteine, für die Virusverbreitung erforderliche Interaktionen mit Wirtsfaktoren sowie Mechanismen des pflanzlichen Makromolekültransportes zu entschlüsseln.

Im Rahmen dieser Arbeit sollte die molekulare Analyse der plasmodesmalen Assoziation des viralen Movementproteins MP17 des PLRV durch verschiedene Ansätze erfolgen.

- 1) Ein Teil dieser Arbeit beschäftigte sich mit dem plasmodesmalen Targeting von MP17. Zunächst sollte durch die Herstellung von N-, und C-terminalen MP17 Deletionsmutanten die verantwortliche Domäne für die Lokalisation von MP17 an Plasmodesmata identifiziert und im Anschluss deren Struktur bestimmt werden. Über besondere Merkmale, wie etwa Ansammlungen von Ladungen oder hydrophobe Bereiche, und Interaktionsstudien könnten somit möglicherweise weitere PD-Komponenten identifiziert werden. Bisherige Analysen konnten für MP17 zudem eine Phosphorylierung *in planta* an vier Serinresten nachweisen. Aus diesem Grund sollte anhand einer gerichteten Mutagenese überprüft werden, ob die Phosphorylierung von Serin-/Threoninresten auch für die Lokalisation und Funktion von MP17 von Bedeutung ist. Weiterhin sollte die Rolle der Lysinreste für den Abbau von MP17 in Sinkgeweben ermittelt werden.
- 2) Der Hauptaugenmerk der Arbeit lag allerdings auf der Identifizierung von Plasmodesmatakomponten und Wirtsfaktoren, die das Targeting von MP17 an PD beeinflussen. Das Ziel bestand darin, zum einen sogenannte *change of function* Mutanten, d.h. Mutanten mit veränderten plasmodesmalen Bindungs- und Transporteigenschaften, zu identifizieren, sowie zum anderen putative MP17-Rezeptoren, bzw. PD-assoziierte MP17-Bindungspartner zu isolieren. In diesem Zusammenhang erfolgte eine Durchmusterung von EMS-mutagenisierten Samen der Arabidopsis-Linie Col16, welche MP17:GFP konstitutiv unter der Kontrolle des 35S-Promotors exprimiert, nach

- (I) Sourcemutanten, die sich durch eine Reduktion, beziehungsweise einen kompletten Verlust, der MP17:GFP Fluoreszenz in Sourceblättern auszeichnen

- (II) Seneszenzmutanten, die eine unverändert starke plasmodesmale Assoziation von MP17:GFP in seneszierenden Blättern aufweisen.

2 Ergebnisse

2.1 Identifizierung der für die PD-Lokalisation von MP17 verantwortlichen Aminosäure-Motive

2.1.1 Generierung und Analyse von MP17-Deletionsmutanten

Bisherige Studien konnten zeigen, dass für Proteininteraktionen vor allem nicht-globuläre, unstrukturierte Bereiche innerhalb eines Proteins von Bedeutung sind, die sich häufig durch das Vorhandensein kurzer, linearer Peptidmotive, wie etwa der SH3-Bindestelle, auszeichnen (Linding et al., 2003). Zur Identifizierung von linearen Motiven, d.h. putativen Signalsequenzen, die für die PD-Lokalisation von MP17 verantwortlich sein könnten, wurde für MP17 mit Hilfe der Internetplattform GlobPlot 2.3 (<http://globplot.embl.de/cgiDict.py>) eine Vorhersage für die Anordnung von globulären Domänen und unstrukturierten Bereichen erstellt. Wie in Abbildung 3 ersichtlich, weist der Hauptteil des Proteins eine globuläre Domänenstruktur auf, wohingegen die insgesamt drei identifizierten unstrukturierten Bereiche, im Folgenden als DDI, DDII und DDIII bezeichnet (DD = *disordered domain*), vor allem am N- und C-Terminus zu finden sind.

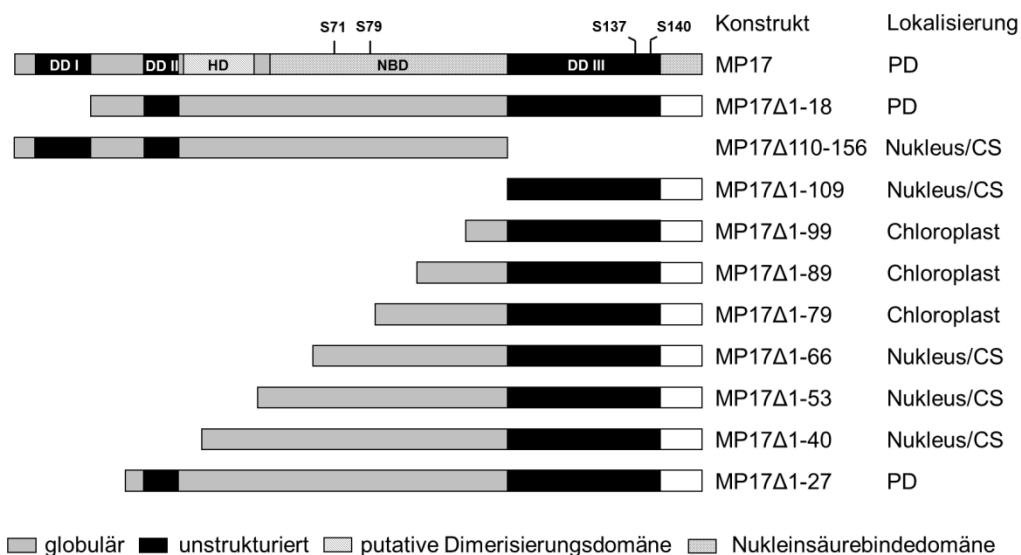


Abbildung 3: Generierung von MP17-Deletionsvarianten. Schematische Übersicht der MP17 Proteinstruktur in Anlehnung an „GlobPlot“, wobei vorhergesagte globuläre Domänen in grau und unstrukturierte Bereiche (*disordered domains*, DD) in schwarz dargestellt sind. Die Position der drei unstrukturierten Bereiche, DDI (AS 5-18), DDII (AS 30-37) und DDIII (AS 110-143), sowie der vier phosphorylierten Serinreste, der putativen Homodimerisierungsdomäne (HD, AS 38-54) und der Nukleinsäure-Bindedomäne (NBD, AS 57-156) sind im unmutierten MP17 ersichtlich. Die intrazelluläre Lokalisation der jeweiligen C-terminalen GFP-Fusion ist rechts neben den Konstrukten aufgelistet.

Darauf basierend wurden zunächst zwei MP17-Deletionsmutanten erzeugt, bei denen durch entsprechende Primerwahl zum einem 18 Aminosäuren am N-Terminus (MP17 Δ 1-18) und zum anderen 57 Aminosäuren am C-Terminus (MP17 Δ 110-156) deletiert wurden, was den vorhergesagten unstrukturierten Bereichen DDI und DDIII entsprach (siehe Abbildung 3). Während MP17 Δ 1-18 weiterhin an PD lokalisierte, führte die Deletion der C-terminalen 57 Aminosäuren zu einer Akkumulation des Fusionsproteins im Cytoplasma und im Zellkern (Abbildung 4B und C).

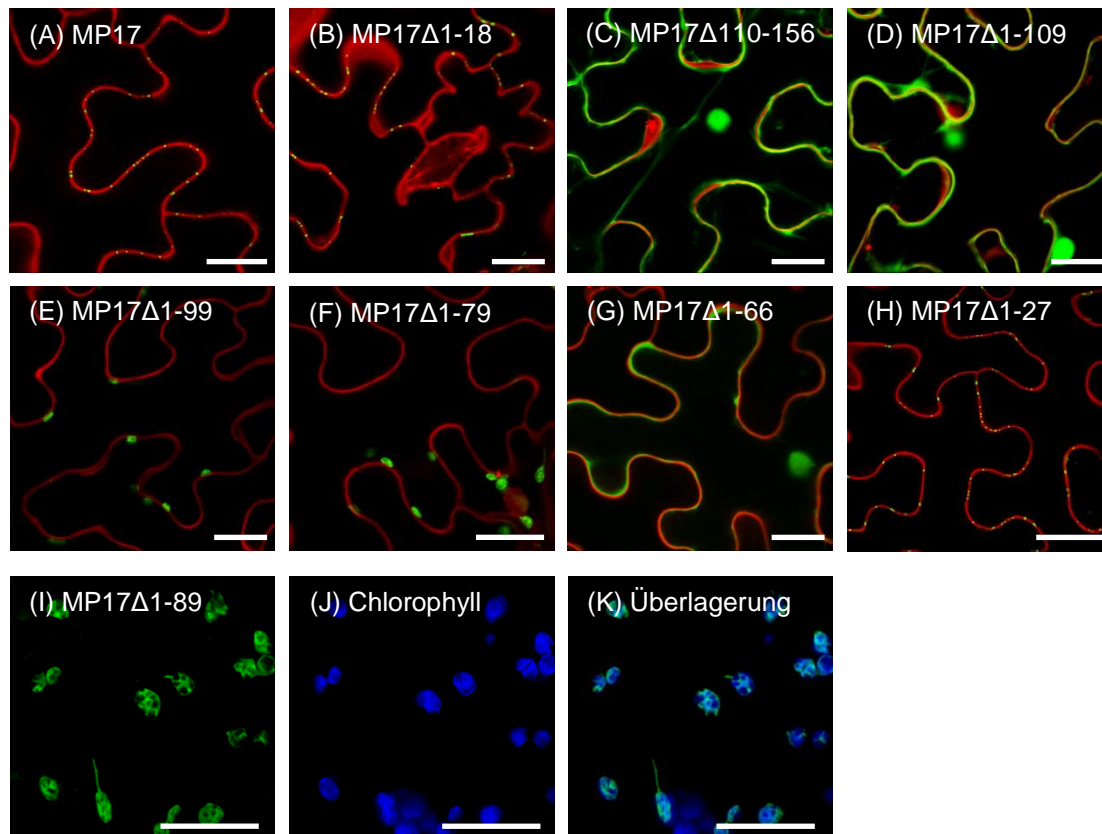


Abbildung 4: Intrazelluläre Lokalisierung der MP17-Deletionsvarianten. Konfokale Aufnahmen der C-terminalen GFP-Fusionen der MP17-Deletionsvarianten nach transienter Expression in *N. benthamiana*; (A-H) Überlagerung der MP17:GFP Fluoreszenz (grün) mit Propidiumiodid gefärbten Zellwänden (rot) in Epidermiszellen. (I-K) Einzelaufnahmen der MP17:GFP Fluoreszenz der Deletionsvariante MP17 Δ 1-89 (I) und der Chlorophyllautofluoreszenz (J, blau) sowie Überlagerung der beiden Kanäle (K) in Mesophyllzellen. Größenstandard repräsentiert 20 μ m

Um zu untersuchen, ob dieser Bereich alleine für die Lokalisation an PD ausreicht, wurde nur der C-Terminus (MP17 Δ 1-109) an GFP fusioniert. Jedoch lokalisierte auch diese GFP-Fusion im Cytoplasma und im Zellkern (Abbildung 4D). Nachdem dies auch durch einen Verlust der Tertiärstruktur aufgrund der Deletion des Hauptteils des MP oder durch das Vorhandensein von Signalsequenzen innerhalb der vorhergesagten globulären Domäne verursacht werden könnte, wurden im weiteren Verlauf drei weitere Konstrukte erzeugt, bei denen der MP17 C-Terminus um jeweils 10, 20 oder 30 Aminosäuren aus

dem vorhergesagten globulären Bereich verlängert wurde (MP17 Δ 1-99, MP17 Δ 1-89 und MP17 Δ 1-79; siehe Abbildung 3). Überraschenderweise führten alle drei Extensionen zu einer Chloroplasten-Lokalisation des jeweiligen Fusionsproteins (Abbildung 4E, F, I-K). Dieses Ergebnis konnte mit Hilfe des Internettools „ChloroP“ (<http://www.cbs.dtu.dk/services/ChloroP/>) bestätigt werden, welches das Vorhandensein eines Chloroplasten-Transitpeptides in den N-Termini dieser MP17-Deletionsvarianten mit einem Score von 0,543 für MP17 Δ 1-99, von 0,545 für MP17 Δ 1-89 sowie von 0,522 für MP17 Δ 1-79 vorhersagte. Die nächsten drei Verlängerungen führten wiederum zu einer erneuten Akkumulation der Fusionsproteine im Cytoplasma und im Zellkern (Abbildung 4G, MP17 Δ 1-66, MP17 Δ 1-53 und MP17 Δ 1-40). Eine Wiederherstellung der plasmodesmalen Lokalisation trat erst für die Deletionsvariante MP17 Δ 1-27 (Abbildung 4H) auf, welche den zweiten vorhergesagten unstrukturierten Bereich, DDII, beinhaltet. Diese Ergebnisse deuten darauf hin, dass die PD-Lokalisation von MP17 vermutlich nicht auf eine einzige kurze Signalsequenz zurückzuführen ist.

2.1.2 Analyse der Bedeutung der identifizierten Phosphorylierungsstellen

Weitere Studien ergaben, dass posttranslationale Modifizierungen, wie etwa Phosphorylierungen, die Plasmodesmata-Lokalisation von viralen MP und somit die Virusverbereitung beeinflussen können (Citovsky et al., 1993; Matsushita et al., 2000; Waigmann et al., 2000; Matsushita et al., 2002; Karger et al., 2003; Módena et al., 2008). In Vorarbeiten konnten über LC-ESI-MS/MS Analysen bereits vier phosphorylierte Serinreste - S71, S79, S137 und S140 - innerhalb der MP17 Proteinsequenz identifiziert werden (Vogel, 2009; Link et al., 2011). S71 und S79 liegen in der globulären Domäne in der Mitte des Proteins, wohingegen S137 und S140 im unstrukturierten Bereich am C-Terminus lokalisieren. Um die Bedeutung dieser Phosphorylierungen für die PD-Lokalisation von MP17 zu ermitteln, erfolgte ein sogenannter Alanin-Scan der identifizierten Serinreste. Hierbei wurden die beiden Serinpaare einschließlich aller angrenzenden Serine und Threonine, die putative Ersatz-Phosphorylierungsstellen darstellen, gegen Alanin ausgetauscht (Schema siehe Abbildung 5). Die Lokalisierung der MP17-Phosphorylierungsmutanten wurde anschließend mittels Konfokaler Laserscanning Mikroskopie (KLSM) überprüft. Die Alaninsubstitution von S137 und S140 am C-Terminus (MP17A136-143) hatte keinen Einfluss auf das plasmodesmale Targeting von MP17 (Abbildung 5). Im Gegensatz dazu führte der Austausch von S71 und S79 gegen Alanin (MP17A69-81) zu einem vollständigen Verlust der plasmodesmalen Lokalisation und stattdessen zu mobilen Aggregaten im Cytoplasma. Dies konnte ebenso für die Doppel-

Alanin-Mutante (MP17Aall), bei der beide Serinpaare durch Alanin ersetzt wurden, beobachtet werden.

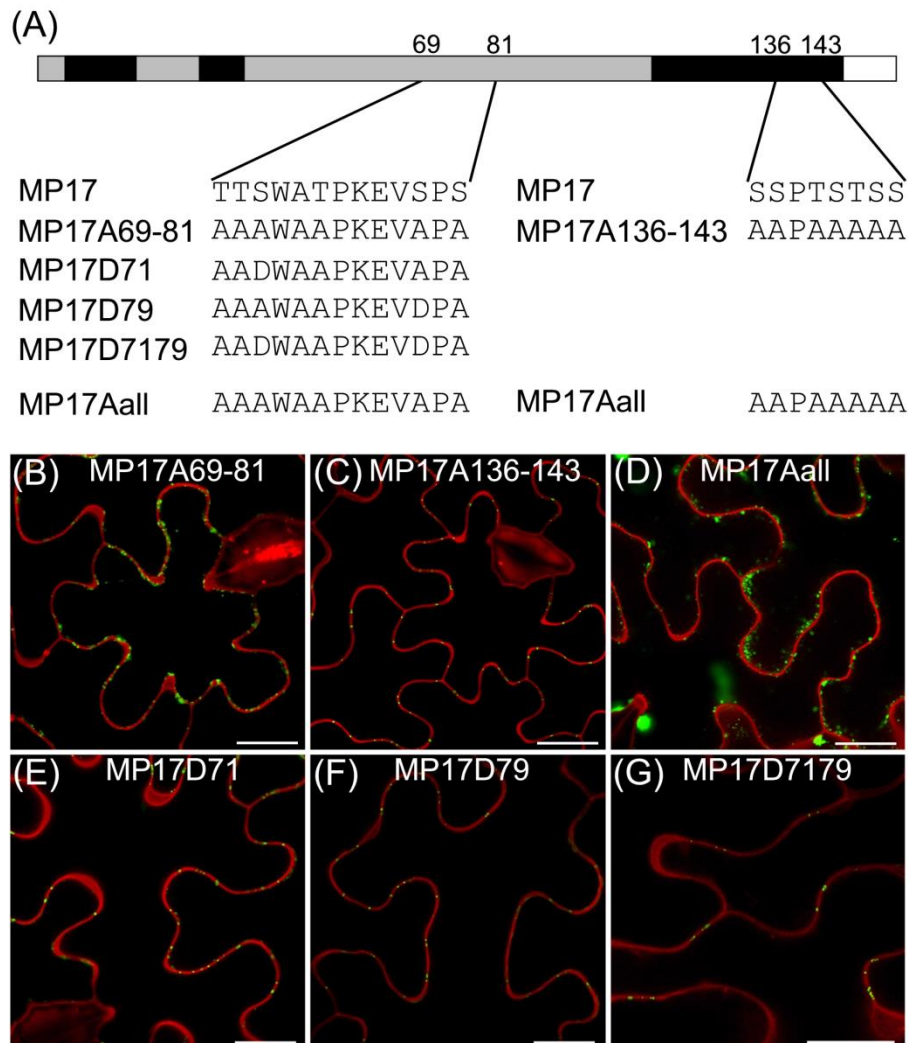


Abbildung 5: Einfluss der Serin-Phosphorylierungen auf das PD-Targeting von MP17. (A) Art und Position der eingeführten Aminosäureaustausche in den MP17-Phosphorylierungsmutanten innerhalb des MP17-Wildtypproteins; (B-G) Konfokale Aufnahmen der jeweiligen MP17-Phosphorylierungsmutante nach transienter Expression in *N. benthamiana*; gezeigt sind Überlagerungen der MP17:GFP Fluoreszenz (grün) mit Propidiumiodid gefärbten Zellwänden (rot) in Epidermiszellen. Größenstandard entspricht 20 µm;

Andere Phosphorylierungsstudien konnten zeigen, dass eine Serin-Phosphorylierung durch das Einfügen eines Asparaginsäurerestes und somit einer negativen Ladung initiiert werden kann (Waigmann et al., 2000). Diese Eigenschaft wurde für eine unabhängige Bestätigung der identifizierten Phosphorylierungsstellen und deren Bedeutung für die Lokalisation verwendet. Basierend auf den MP17-Mutanten MP17A69-81 sowie MP17Aall wurden S71 (MP17D71), S79 (MP17D79) oder beide gleichzeitig (MP17D7179) durch Asparaginsäure (D) ersetzt. Sowohl durch die Asparaginsäuresubstitution MP17D71 als

Eine Sequenzanalyse von MP17 und acht weiteren luteoviralen Movementproteinen brachte zum Vorschein, dass S71 und S79 hochkonserviert sind, während S137 nur im PLRV MP17 und S140 nur in einigen MP vorliegt (Abbildung 7).

2.1.3. Einfluss der Lysinreste auf den Abbau von MP17 in Sinkgeweben

MP17 bindet nur an verzweigte Plasmodesmata in Sourcegeweben, nicht aber an die strukturell unterschiedlichen einfachen Plasmodesmata in Sinkgeweben, wo es durch das 26S-Proteasom abgebaut wird. In seneszenten Blättern kommt es zu einem allmählichen Verlust der plasmodesmalen Lokalisation von MP17, vermutlich aufgrund struktureller Veränderungen der Plasmodesmata im Verlauf der Seneszenz. In der MP17-Sequenz finden sich fünf Lysinreste (K), die ubiquitinyliert werden könnten (siehe Abbildung 8).

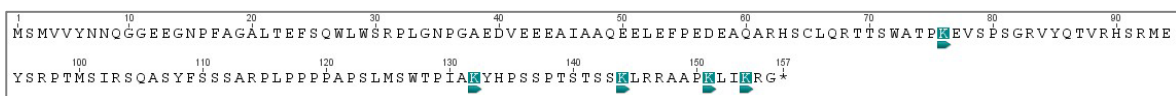


Abbildung 8: Aminosäuresequenz von MP17; Die insgesamt fünf Lysinreste (K) sind in türkis hervorgehoben.

Um die Bedeutung der verschiedenen Lysine für die Proteinstabilität und den Abbau durch das 26S-Proteasom zu untersuchen, wurden K76 alleine (K1) sowie K132, K144, K151 und K154 zusammen (K2) gegen Arginin ausgetauscht und in den Endvektor pK7FWG2 eingebracht, wodurch eine C-terminale GFP-Fusion der Lysinmutanten erzeugt wurde. Nach Agrobakterien-vermittelter transients Expression in *Nicotiana benthamiana* wurde die Lokalisierung der Lysinmutanten über KLSM untersucht (Abbildung 9). Hierbei konnte beobachtet werden, dass K1:GFP in Sinkblättern und jungen Pflanzen im Zellkern und in cytoplasmatischen Aggregaten lokalisiert. Die Lokalisation an PD in Sourceblättern wurde dagegen nicht beeinflusst. Das gleiche Fluoreszenzmuster zeigte sich auch für K2:GFP. Im Gegensatz dazu konnten nach transients Expression von MP17:GFP in Sinkblättern und jungen Pflanzen nur wenige kleine Aggregate detektiert werden. Dies legt die Vermutung nahe, dass durch den Aminosäureaustausch Lysin gegen Arginin der Abbau von MP17 deutlich beeinträchtigt wird.

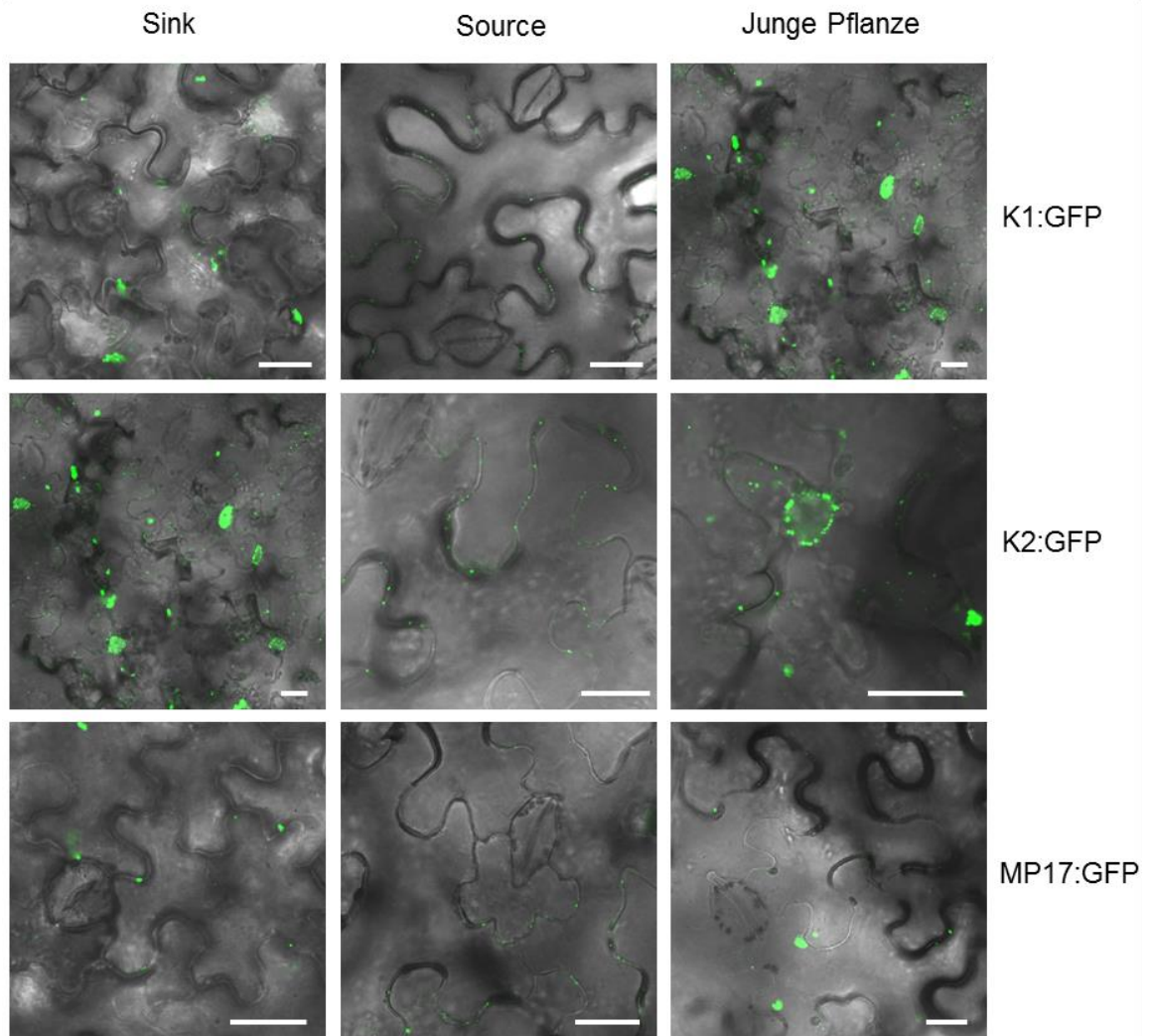


Abbildung 9: Lokalisation von K1:GFP, K2:GFP sowie MP17:GFP nach transienter Expression in *N.benthamiana*. Epidermiszellen von *N.benthamiana* 48h nach Infiltration in Sinkblätter (Blatt 1-3), Sourceblätter (Blatt 4-6) und junge Pflanzen (Zweiblattstadium); dargestellt ist MP17:GFP Fluoreszenz in Überlagerung mit Durchlichtbildern. Größenstandard entspricht 20 µm.

2.2 Genetische Identifizierung von Elementen des inter- und intrazellulären Makromolekültransportes

2.2.1 Beschreibung des Mutantenscreenings

Durch die Lokalisation an PD stellt das Movementprotein des *Potato leafroll virus*, PLRV MP17, ein geeignetes Werkzeug dar, um Plasmodesmataproteine und Elemente des pflanzlichen Makromolekültransportes zu identifizieren. Ethylmethylsulfonat (EMS) führt als chemisches Mutagen zu Einzelbasenaustauschen sowie kleinen Deletionen in der DNA und begünstigt somit die Entstehung von „*change of function*“-Mutationen. Aus diesem Grund erfolgte auch für die *Arabidopsis thaliana*-Linie Col-16, welche MP17:GFP konstitutiv unter der Kontrolle des CaMV35S-Promotors exprimiert, eine EMS Mutagenese. Die geschätzt 34.848 primär mutagenisierten Pflanzen (M1-Generation) wurden zunächst in 24 Parentalgruppen eingeteilt. Nach einer Anzucht von 1453 \pm 58 Pflanzen pro Parentalgruppe wurden deren Samen vereinigt (LEHLE SEEDS; Round Rock, TX, USA). Im Vorfeld dieser Arbeit wurden für die genetische Identifizierung von Komponenten des inter- und intrazellulären Makromolekültransportes mit diesen EMS-mutagenisierten Samen bereits zwei verschiedene Mutantendurchmusterungen durchgeführt. Daniel Hofius (Hofius, 2003) beschränkte sich bei seiner Suche auf Mutanten, die eine Reversion des Mutanten-Phänotyps aufwiesen, und konnte von insgesamt 84.000 analysierten Pflanzen 31 mögliche Suppressormutanten selektieren. Im Rahmen verschiedener Doktorarbeiten erfolgten daraufhin weiterführende Analysen ausgewählter Mutanten (Hofius, 2003; Kronberg, 2008; Vogel, 2009; Thran, 2012). Letztendlich konnten dabei aber vor allem Elemente der *gene silencing* Maschinerie identifiziert werden (Vogel et al., 2011; Thran et al., 2012). Wie schon in Kapitel 1.2.3 erwähnt, hat MP17 die Eigenschaft, dass es nur an verzweigte Plasmodesmata in Sourcegeweben lokalisiert, nicht aber an simple PD in Sinkgeweben (Hofius et al., 2001; Kronberg et al., 2007). Mit zunehmender Seneszenz kommt es allmählich zu einem Verlust der plasmodesmalen Lokalisation von MP17, was vermutlich auf strukturelle Veränderungen der PD während der Seneszenz zurückzuführen ist (Kronberg et al., 2007). Diese Eigenschaft des viralen Movementproteins machte man sich für ein weiteres Screening zunutze (Vogel, 2009). So wurden etwa 6000 EMS-mutagenisierte MP17:GFP Arabidopsispflanzen über Stereofluoreszenzmikroskopie und KLSM auf Mutanten mit Akkumulation von MP17:GFP in Sinkblättern durchmustert. Auf diese Weise konnten letztlich zehn Sinkmutanten identifiziert werden, die durch kein oder wenig Chlorophyll

und eine ausgeprägte Wachstumsretardierung gekennzeichnet waren. Aufgrund ihrer Sterilität konnten diese allerdings nicht weiter untersucht werden.

Im Rahmen dieser Arbeit erfolgte die Durchmusterung der EMS-mutagenisierten Samen mittels Stereofluoreszenzmikroskopie und KLSM nach Besonderheiten in den zwei verbleibenden Entwicklungsstadien. In zwei Runden wurden insgesamt 3840 Pflanzen auf eine veränderte plasmodesmale Lokalisation von MP17 hin durchgemustert. So diente der erste Durchlauf der Suche nach Sourcemutanten, die sich durch eine deutliche Reduktion der MP17:GFP Fluoreszenz in Sourceblättern auszeichnen. Ziel des zweiten Durchlaufs war dagegen die Identifizierung von Seneszenzmutanten, die eine unverändert starke plasmodesmale Assoziation von MP17:GFP in seneszierenden Blättern aufweisen. Für diesen Ansatz wurden zunächst die vorliegenden Samen der M2-Generation der 24 verschiedenen Parentallinien und der Kontrollen Col-0, Col-16 sowie Col-9 und Col-14, die im Vergleich zu Col-16 weniger MP17:GFP exprimieren, auf Erde ausgesät (Kronberg et al., 2007). Nach einer Stratifikation für drei Tage bei 4°C wurden die ausgesäten Samen in Kurztagbedingungen überführt und im Alter von 14 Tagen in 40 Multiflorplatten à 104 Töpfchen pikiert. Dabei wurde jede Multiflorplatte mit drei Col-0, drei Col-16 sowie einem Col-9 und einem Col-14 Keimling bestückt, wodurch pro Parentalgruppe 160 Pflanzen analysiert werden konnten. Die weitere Anzucht der Pflanzen bis zum Abschluss der konfokalen Analysen erfolgte unter Kurztagbedingungen.

2.2.1.1 Screening der Sourceblätter

Wie schon erwähnt erfolgte im ersten Durchlauf eine Durchmusterung der Sourceblätter, die im Normalfall eine stark ausgeprägte MP17:GFP Fluoreszenz aufweisen. Hierbei galt es Mutanten zu isolieren, bei denen die Fluoreszenz deutlich reduziert war. Über eine Primärdurchmusterung der sechs Wochen alten Pflanzen am Stereofluoreszenzmikroskop (MZ16F, Leica, Bensheim) und anschließender Verifikation mittels Konfokaler Laserscanning Mikroskopie konnten schließlich drei verschiedene Gruppen an Sourcemutanten identifiziert werden (siehe Tabelle 1), für die exemplarische KLSM-Aufnahmen in Abbildung 10 dargestellt sind. Die größte Gruppe zeigte einen kompletten Verlust der MP17:GFP Fluoreszenz in Sourceblättern und umfasste 40 Pflanzen, von denen etwa die Hälfte durch ein Wildtyp-ähnliches Wachstum charakterisiert war. Weiterhin konnte eine zweite Gruppe von fünf Mutanten identifiziert werden, die eine starke Reduktion der MP17:GFP Fluoreszenz aufwies, sowie eine dritte Gruppe bestehend aus sechs Mutanten mit schwach reduzierter MP17:GFP-Fluoreszenz. Die Mutanten der letzten beiden Gruppen fielen durch eine starke Wuchsretardierung auf.

Tabelle 1: Ergebnis des Sourcescreenings

| Gruppe | Merkmal | Bezeichnung der Mutante: SO + | Anzahl |
|--------|--------------------------|--|--------|
| I | Keine GFP-Fluoreszenz | 3A, 4A, 4C, 4E, 5A, 6A, 6B, 7A, 8A, 8B, 9A, 9C, 10A, 11A, 12A, 13B, 14A, 14B, 14C, 15A, 15B, 17A, 17F, 18A, 18B, 18C, 18D, 19A, 19B, 20A, 20B, 20D, 21A, 21B, 22A, 22B, 23A, 23B, 23C, 23D | 40 |
| II | Reduzierte Fluoreszenz | | |
| | stark reduziert | 12D, 13A, 13E, 20C, 24A | 5 |
| | schwach reduziert | 4G, 9B, 9D, 17B, 17C, 20E | 6 |
| III | Unveränderte Fluoreszenz | | 3789 |

Bei der Benennung der Individuen stehen die jeweilige Zahl für die parentale Gruppe (1-24), aus der die Mutante stammt, und der jeweilige Buchstabe für die chronologische Reihenfolge identifizierter Pflanzen innerhalb einer parentalen Gruppe. Weiterhin wurden die Mutanten des Sourcescreenings mit dem Kürzel SO zu Beginn der Bezeichnung versehen.

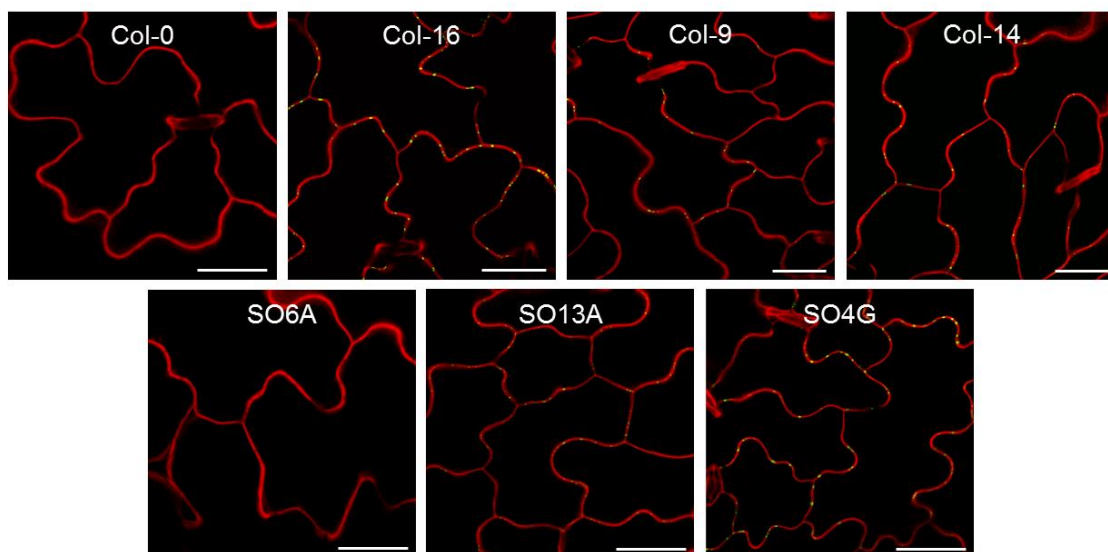


Abbildung 10: Repräsentative konfokale Aufnahmen für die drei verschiedenen Gruppen des Sourcescreenings; MP17:GFP Fluoreszenz ist in grün dargestellt, die Zellwände wurden durch Propidiumiodid rot gefärbt; in der oberen Reihe sind die KLSM-Aufnahmen der Kontrollen dargestellt, die untere Reihe zeigt repräsentative Bilder für jede Gruppe. Größenstandard für Col-0 = 28 µm, Col-16 = 30 µm, Col-9 = 25 µm, Col-14 = 26 µm, SO6A = 30 µm, SO13A = 26 µm und SO4G = 30 µm.

2.2.1.2 Screening der seneszenten Blätter

Nach insgesamt acht Wochen Kultivierung unter Kurztagbedingungen erfolgte direkt im Anschluss an die Analyse der Sourceblätter eine Durchmusterung der gleichen Pflanzen

auf Abweichungen der M17:GFP Fluoreszenz in seneszenten Blättern. In diesem Blattstadium kommt es in der nicht mutagenisierten Col-16 Linie zu einem allmählichen Verlust der plasmodesmalen Lokalisation von MP17:GFP verbunden mit dessen proteasomalen Abbau. Dies könnte möglicherweise auf strukturelle Veränderungen der PD während der Seneszenz zurückzuführen sein. Ziel dieses Durchganges war also die Isolierung von Mutanten, bei denen in seneszenten Blättern eine stärkere MP17:GFP Fluoreszenz als in den jeweiligen Sourceblättern der gleichen Pflanze nachweisbar war. Durch Analyse der seneszenten Blätter unter dem Stereofluoreszenzmikroskop und anschließend mittels KLSM wurden letztendlich zwei verschiedene Gruppen an Seneszenzmutanten entdeckt (Tabelle 2).

Tabelle 2: Ergebnis des Seneszenzscreenings

| Gruppe | Merkmal | Bezeichnung der Mutante: SE + | Anzahl |
|--------|--|-------------------------------|--------|
| I | GFP-Fluoreszenz SE>SO | 5A, 10A, 20A | 3 |
| II | keine Fluoreszenz in SO, normal in SE | 14E, 17A | 2 |

Die erste Gruppe zeichnete sich durch das eben beschriebene Merkmal aus und umfasste drei Mitglieder, von denen stellvertretend für eine Mutante die konfokalen Aufnahmen in Abbildung 11A dargestellt sind. Die beiden Mutanten der Gruppe II zeigten keine GFP-Fluoreszenz in Sink-, und in Sourceblättern, während in seneszenten Blättern eine deutliche MP17:GFP Fluoreszenz detektiert werden konnte (Abbildung 11B). Um zu überprüfen, ob diese Beobachtung lediglich auf eine Verzögerung der Blattentwicklung zurückzuführen war, wurden die Trichome der Seneszenzmutante SE14E über KLSM näher analysiert, da bei älteren Sinkblättern an Trichombasiszellen MP17:GFP Fluoreszenz detektierbar sein müsste. Wie in Abbildung 11C dargestellt ist, konnte bei SE14E auch an Trichombasiszellen keine MP17:GFP Fluoreszenz beobachtet werden. Dies legt die Vermutung nahe, dass in diesen beiden Mutanten die Struktur der PD in seneszenten Blättern verändert ist, beziehungsweise abweichend PD-Rezeptoren vorhanden sind, die eine Assoziation von MP17:GFP an PD erlauben.

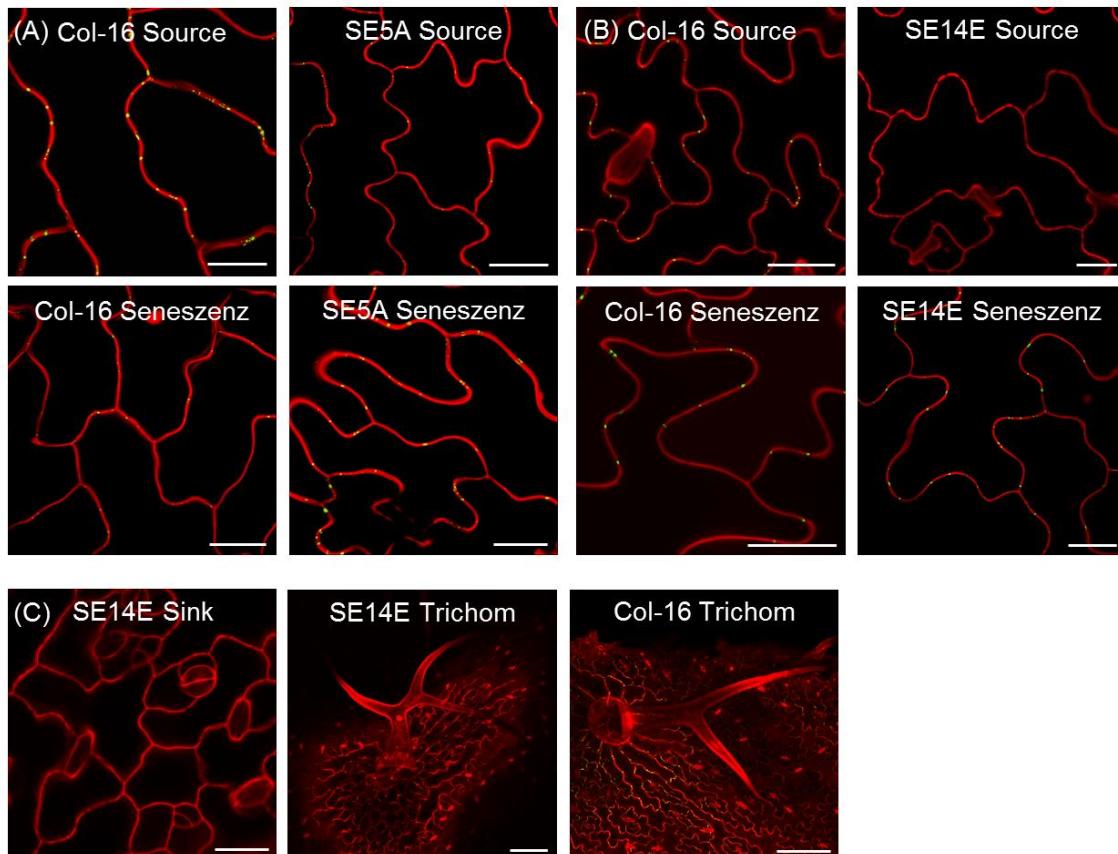


Abbildung 11: Repräsentative konfokale Aufnahmen der Seneszenzmutanten. Abgebildet sind Sourceblätter und senescente Blätter der Seneszenzmutante SE5A (A) und SE14E (B); MP17:GFP Fluoreszenz ist grün dargestellt, die Zellwände wurden durch Propidiumiodid rot gefärbt; (C) Die Analyse der Sinkblätter der Mutante SE14E brachte die Abwesenheit von MP17:GFP Fluoreszenz an Trichomen zum Vorschein; Größenstandard: (A) Col-16 Source: 17 µm, Col-16 Seneszenz: 24 µm, SE5A Source und Seneszenz: 17 µm; (B) Größenstandard entspricht 20 µm; (C) SE14E Sink: 19 µm; Trichombilder: 100 µm.

Mittels Northern und Western Blot Analyse konnte der Verlust des Transkriptes sowie des Proteins in Sourceblättern der Seneszenzmutanten SE14E und SE17A bestätigt werden (Abbildung 12).

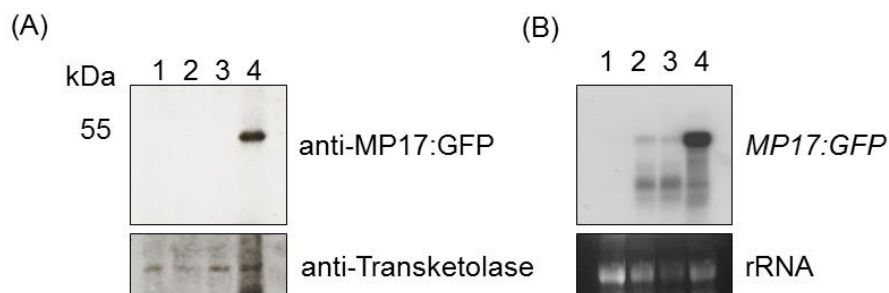


Abbildung 12: Analyse der Proteinlevel und der Transkriptlevel der Seneszenzmutanten. (A) Western Blot Analyse von Sourceblättern der Seneszenzmutanten SE14E und SE17A; MP17:GFP wurde durch ein anti-MP17 Antiserum nachgewiesen; als Kontrolle diente die Detektion der Transketolase über einen anti-Transketolase Antikörper. Es wurden jeweils 30 µl Proteinextrakt von Arabidopsis Col-0 (Spur 1), SE14E (Spur 2), SE17A (Spur 3) sowie Col-16 (Spur 4) aufgetragen; das molekulare Gewicht des detektierten Proteins wurde anhand des mitgeführten Proteinstandards PageRuler Plus Prestained Protein Ladder (Fermentas) ermittelt; (B) Northern Blot Analyse von Sourceblättern der Seneszenzmutanten SE14E und SE17A; *MP17:GFP* Transkript wurde durch eine mit 4 µl ³²P-CTP radioaktiv markierte Sonde nachgewiesen. Es wurden jeweils 15 µg RNA von Arabidopsis Col-0 (Spur 1), SE14E (Spur 2), SE17A (Spur 3) sowie Col-16 (Spur 4) aufgetragen; als Ladekontrolle diente die mit Ethidiumbromid visualisierte rRNA;

2.2.2 Analyse der M3-Generation der identifizierten Mutanten

2.2.2.1 Analyse der Seneszenzmutanten

Für die weitere Analyse der M3-Generation wurden von den jeweiligen Kandidaten (im Weiteren als Linien bezeichnet) 28 Individuen ausgebracht. Nach elf Wochen Kultivierung unter Kurztagbedingungen wurde mittels Stereofluoreszenzmikroskopie sowie KLSM ermittelt, ob der gleiche Phänotyp in den Nachkommen auftrat und falls dies der Fall war, ob uniform oder segregierend. Hierbei konnte für alle Linien jedoch nur in einem Teil der Nachkommen der ursprüngliche Phänotyp beobachtet werden (Tabelle 3).

Tabelle 3: Segregation des Phänotyps in der M3-Generation der Seneszenzmutanten

| Linie | Merkmal M2 | M2 Phänotyp in M3 | Segregation |
|-------|---------------------|--------------------------------|-------------|
| SE5A | Fluoreszenz SE > SO | ja | 32 % |
| SE10A | Fluoreszenz SE > SO | ja | 37 % |
| SE20A | Fluoreszenz SE > SO | nur ca. 5 Samen, keine Keimung | |
| SE14E | Fluoreszenz nur SE | ja | 18 % |
| SE17A | Fluoreszenz nur SE | ja | 18 % |

Die Linie SE14E sollte aufgrund ihres außergewöhnlichen Phänotyps trotz der Segregation weiter bearbeitet werden. Um Hintergrundmutationen zu eliminieren, welche das oben beschriebene Segregationsverhältnis verursachen könnten, erfolgte zunächst eine Rückkreuzung der Linie SE14E in Col-16. Die resultierende Linie NMSE14E wurde daraufhin im Rahmen der Masterarbeit von Katharina Schmitt näher charakterisiert. Doch auch für diese Linie konnte sowohl in der F2-, als auch in der F3-Generation eine ungewöhnliche Segregation des Phänotyps beobachtet werden. Die weiteren Analysen ließen vermuten, dass die Ausbildung des Phänotyps auf einem Zusammenspiel verschiedener Effekte beruht. So könnte der Abbau von MP17 in den Sourceblättern durch Stress-sensitives posttranskriptionelles *gene silencing* verursacht werden, während eine zweite unabhängige Mutation die entwicklungspezifisch gesteuerte Aufhebung des ersten Effektes und somit verstärkte Fluoreszenz in seneszenten Blättern zur Folge haben könnte (Katharina Schmitt, unveröffentlicht). Da diese Aufspaltung eine Kartierung der Mutationen nahezu unmöglich macht, wurde die Bearbeitung der Seneszenzmutanten an dieser Stelle abgebrochen.

2.2.2.2 Analyse der Sourcemutanten

Für die Validierung der Sourcemutanten wurde nach dem gleichen Prinzip verfahren. Zunächst sollten die Mutanten der Gruppe II, die im Screening durch eine starke Reduktion der MP17:GFP Fluoreszenz aufgefallen waren, weiter analysiert werden. Hierfür wurden acht Wochen alte Nachkommen der Linien SO12D, SO13A, SO13E und SO24A auf eine reduzierte plasmodesmale Akkumulation von MP17:GFP hin untersucht. Lediglich in der Linie SO24A konnte in allen Nachkommen der Phänotyp der M2-Generation detektiert werden, wenn auch in unterschiedlicher Intensität. So zeigten 10 % eine starke, 64 % eine mittlere und 25 % eine schwache Reduktion der MP17:GFP Fluoreszenz an PD (Tabelle 4). Alle Nachkommen wiesen uniform einen Col-16 ähnlichen Phänotyp auf.

Tabelle 4: Segregation des Phänotyps in der M3-Generation der Sourcemutanten

| Linie | Merkmal M2 | M2 Phänotyp in M3 | Segregation |
|-------|------------------------|-------------------------------------|---|
| SO12D | starke Reduktion in SO | nicht bestätigt | |
| SO13A | starke Reduktion in SO | nicht überlebt | |
| SO13E | starke Reduktion in SO | nicht bestätigt (nur 2 Pflanzen) | |
| SO24A | starke Reduktion in SO | ja | 10 % stark reduziert 64 % mittel reduziert 25 % schwach reduziert |

Um die Menge an MP17:GFP Protein zu quantifizieren, wurde eine Western Blot Analyse durchgeführt (Abbildung 13A). Allerdings spiegelte sich der mittels KLSM beobachtete Fluoreszenzunterschied nicht in der Proteinmenge wider. Ebenso konnte für die *MP17:GFP* Transkriptmenge mittels Northern Blot kein deutlicher Unterschied zwischen Col-16 und der Linie SO24A festgestellt werden (Abbildung 13B).

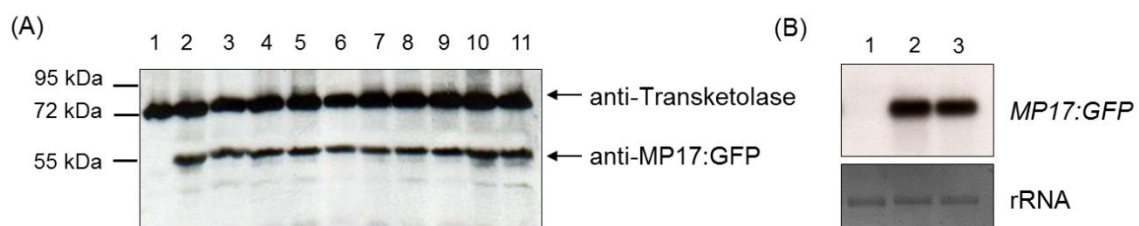


Abbildung 13: Analyse der MP17 Proteinlevel und Transkriptlevel in Sourceblättern der Sourcemutante SO24A. (A) Western Blot Analyse; MP17:GFP wurde durch ein anti-MP17 Antiserum bei etwa 54 kDa nachgewiesen, sowie Transketolase als Ladegewichtskontrolle durch einen anti-Transketolase Antikörper bei etwa 72 kDa. Es wurden jeweils 30 µl Proteinextrakt von Arabidopsis Col-0 (Spur 1), Col-16 (Spur 2) und SO24A Gruppe I #1, 7 und 20 (Spur 3,4,5), Gruppe II #2, 6 und 12 (Spur 6, 7, 8) und Gruppe III #14, 18 und 24 (Spur 9, 10, 11) aufgetragen; das molekulare Gewicht des detektierten Proteins wurde anhand des mitgeführten Proteinstandards *PageRuler Plus Prestained Protein Ladder* (Fermentas) ermittelt. (B) Für die Northern Blot Analyse wurden jeweils 2,5 µg Gesamt-RNA von Arabidopsis Col-0 (Spur 1), Col-16 (Spur 2) und SO24A (Spur 3) auf einem RNA-Gel aufgetrennt. Nach dem Blotting auf eine Nitrocellulosemembran wurde *MP17:GFP* Transkript durch Hybridisierung mit einer mit 4 µl ³²P-CTP radioaktiv markierten DNA-Sonde nachgewiesen; als Ladegewichtskontrolle diente Ethidiumbromid-gefärbte rRNA.

Zur gleichen Zeit wurde im Rahmen der Dissertation von Moritz Thran die Gruppe I des Sourcescreenings analysiert. Es war davon auszugehen, dass der komplette Verlust der Fluoreszenz in den 40 Mutanten entweder auf einen Defekt im Transgen oder auf *gene silencing* zurückzuführen war, weshalb diese für die Identifikation von Plasmodesmataproteinen nicht in Frage kamen. Allerdings konnte während dieser Analysen eine weitere Mutante, SO15A, identifiziert werden, die sich durch eine drastisch reduzierte Reduktion der MP17:GFP Proteinakkumulation an PD auszeichnete, weshalb sie im ursprünglichen Mutantenscreening der Sourceblätter fälschlicherweise der Gruppe I zugeteilt wurde. Diese zeichnete sich in den Analysen der M3-Generation durch eine drastische Wuchsretardierung, sehr stark reduzierte MP17:GFP Fluoreszenz in Kotyledonen und Sourceblättern und einer fehlenden Segregation aus (Thran, 2012). Diese Mutante wurde aufgrund ihres interessanten Phänotyps im weiteren Verlauf näher charakterisiert.

2.2.3 Analyse der Sourcemutante SO15A

2.2.3.1 Phänotypische Untersuchung

Die Mutante SO15A zeichnete sich durch eine extreme Wuchsretardierung im Vergleich zum Wildtyp und sogar zur Linie Col-16 aus (Abbildung 14A). Dies wäre wiederum für eine Mutante, bei der der plasmodesmale Transport beeinträchtigt wäre, auch zu erwarten.

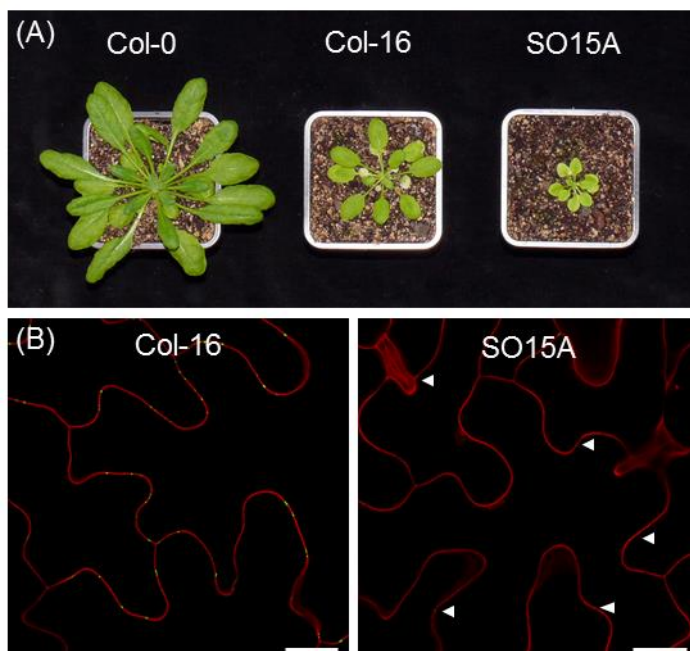


Abbildung 14: Phänotyp der Sourcemutante SO15A.

(A) Makroskopischer Phänotyp der Mutante SO15A. Abgebildet sind 8 Wochen alte Pflanzen der M3-Generation der Sourcemutante SO15A sowie des Wildtyps Col-0 und der nicht-mutierten Kontrolllinie Col-16. Die Mutante SO15A ist durch eine deutliche Wuchsretardierung sowie eine leichte Gelbfärbung der Blätter charakterisiert.

(B) KLSM-Analyse von Sourceblättern der Mutante SO15A; analysiert wurden Sourceblätter der M3-Generation von SO15A im Vergleich zur Linie Col-16; MP17:GFP Fluoreszenz ist grün dargestellt, die Zellwände wurden durch Propidiumiodid rot gefärbt; Standard entspricht 20 µm;

Weiterhin wiesen die Blätter dieser Mutante eine hellgrüne Farbe auf, was sich je nach Anzucht sogar bis hin zu einer Gelbfärbung, bzw. einem Albinophänotyp ausweiten kann. Wie bereits berichtet, ist die Akkumulation der MP17:GFP Fluoreszenz an PD in Sourceblättern in der Linie SO15A drastisch reduziert (siehe Abbildung 14B). Diese Reduktion zeigte sich unter dem Stereofluoreszenzmikroskop ebenso in Kotyledonen.

2.2.3.2 Transkript- und Proteinmenge

Um zu überprüfen, ob die Stabilität und/oder die Expression des *MP17:GFP* Transkriptes in SO15A verändert ist, wurde eine Northern Blot Analyse durchgeführt. Wie in Abbildung 15A ersichtlich, konnte für die Sourcemutante SO15A in der M4-Generation das *MP17:GFP* Transkript in gleicher Bandenstärke wie für die Linie Col-16 detektiert werden. Somit konnte also eine veränderte Expressionshöhe als Ursache für die reduzierte MP17:GFP Fluoreszenz an PD ausgeschlossen werden. Die Menge an Fusionsprotein wurde mittels einer Western Blot Analyse quantifiziert (Abbildung 15B). Durch den verwendeten anti-GFP Antikörper konnte MP17:GFP in der Linie Col-16 und in der M4-Generation der Sourcemutante SO15A bei etwa 54 kDa detektiert werden, wobei die Proteinmenge in der Mutante SO15A nur geringfügig vermindert war.

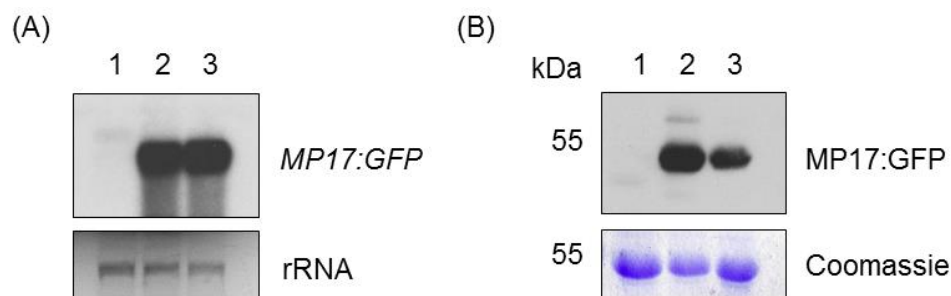


Abbildung 15: Analyse der *MP17:GFP* Transkriptmenge und *MP17:GFP* Proteinmenge in der Sourcemutante SO15A. (A) Nachweis des *MP17:GFP* Transkriptes über Northern Blot; 2,5 µg RNA der Linien Col-0 (Spur 1), Col-16 (Spur 2) und SO15A (Spur 3) wurden auf einem RNA-Gel aufgetrennt. Nach dem Blottern auf eine Nitrocellulosemembran wurde das *MP17:GFP* Transkript durch Hybridisierung mit einer mit 4 µl ³²P-CTP radioaktiv markierten DNA-Sonde nachgewiesen; als Ladekontrolle diente Ethidiumbromid-gefärbte rRNA; (B) Nachweis der *MP17:GFP* Proteinmenge über Western Blot Analyse. Es wurden jeweils 30 µl Proteinextrakt aus Blattproben gleicher Fläche der Linien Col-0 (Spur 1), Col-16 (Spur 2) und SO15A (Spur 3) auf einem SDS-Gel aufgetrennt. *MP17:GFP* wurde durch ein anti-GFP Antiserum bei etwa 54 kDa nachgewiesen. Coomassie-Färbung von RUBISCO auf einem zweiten, gleich beladenen SDS-Gel diente als Ladekontrolle.

2.2.3.3 Primärcharakterisierung

Im Rahmen des Vertiefungsmoduls von Katharina Schmitt erfolgte eine ausführliche Primärcharakterisierung der Mutante SO15A. Aufgrund des ausgeprägten Phänotyps wurden zunächst das Rosettenfrischgewicht und die Blattzahl bestimmt. Durch die extrem starke Wuchsretardierung war das Rosettenfrischgewicht der Mutante mit 50 mg im

Vergleich zu 370 mg bei Col-16 deutlich reduziert. Dies spiegelte sich auch in der Blattanzahl wider. So wies die Mutante im Durchschnitt 13 Blätter pro Pflanze auf, Col-16 dagegen 21 und Col-0 sogar 32 Blätter (siehe Abbildung 16A und B). Nachdem die Keimlinge der Mutante SO15A durch extrem kurze Wurzeln auffielen, wurde anschließend das Wurzelwachstum der drei Linien in einem „vertical growth assay“ näher analysiert. Wie in Abbildung 16C ersichtlich, lag die Wurzellänge von Col-0 und Col-16 nach fünf Tagen bei etwa 3,5-4,0 mm, die der Mutante bereits leicht verkürzt bei 1,8 mm. Nach 14 Tagen war ein deutlicher Unterschied zwischen den drei untersuchten Linien erkennbar. Die Wurzellänge von Col-16 war im Vergleich zum Wildtyp um 10 mm reduziert, die der Mutante sogar um 20 mm (Abbildung 16C).

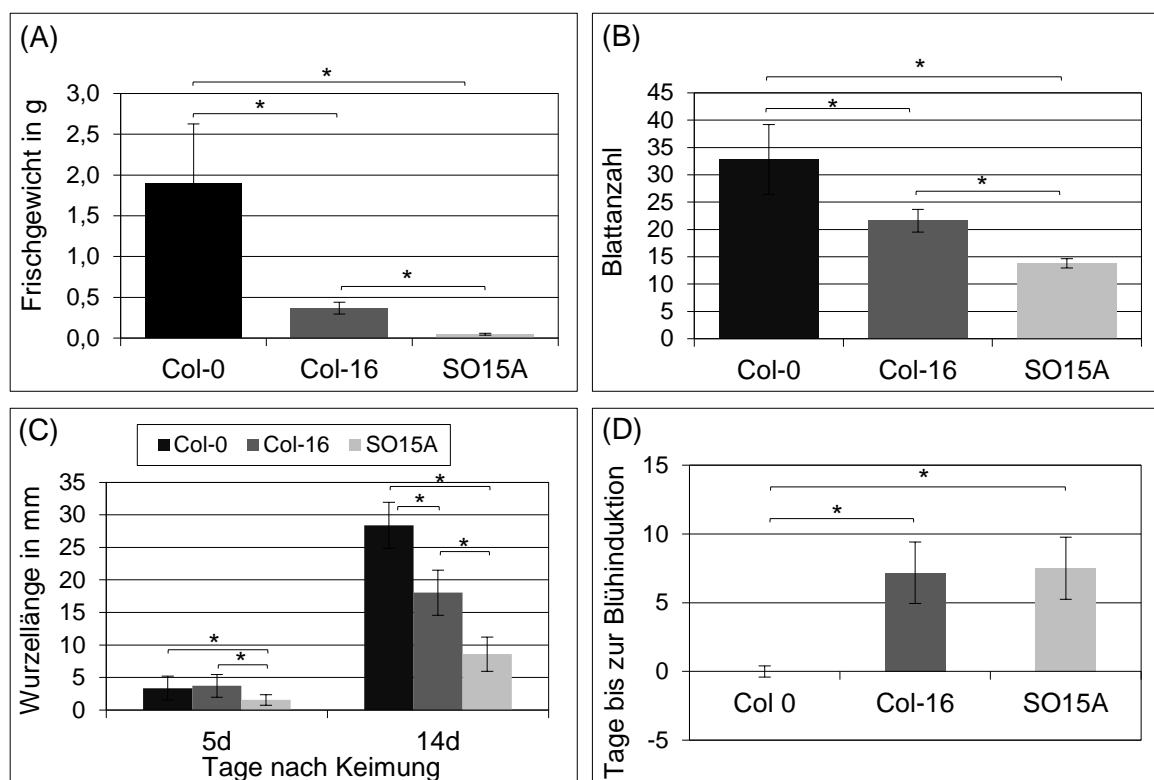


Abbildung 16: Primärcharakterisierung der Mutante SO15A. Rosetten-Frischgewicht (A) und Blattanzahl (B) der Sourcemutante SO15A; Mittelwerte +/- Standardabweichung von je fünf sieben Wochen alten Pflanzen; die Signifikanz der Unterschiede von Col-16 und SO15A zu Col-0 wurde mit einem modifizierten T-Test nach Student überprüft [*= $p \leq 0,05$]; (C) Vertikales Wurzelwachstum in der Mutante SO15A. Das Wurzelwachstum wurde nach 5 (5d) und 14 (14d) Tagen vertikalem Wachstum auf MS-Platten bestimmt. Abgebildet sind Mittelwerte +/- Standardabweichung. Signifikanz wurde mit einem modifizierten T-Test nach Student überprüft [*= $p \leq 0,05$]; Anzahl der untersuchten Keimlinge bei der Messung nach 5 Tagen: 47 für Col-0, 72 für Col-16 und 55 für SO15A; Anzahl der Keimlinge bei der Messung nach 14 Tagen: 24 für Col-0, 61 für Col-16 und 43 für SO15A (D) Bestimmung der Blühinduktion; bei je sechs Pflanzen wurde der Tag bestimmt, an dem die erste geöffnete Blüte zu beobachten war; angegeben sind Mittelwerte +/- Standardabweichung, wobei der WT-Mittelwert als Nullwert definiert wurde; *= $p \leq 0,05$, bestimmt mit einem modifizierten T-Test nach Student;

Um zu untersuchen, ob sich die beschriebenen Veränderungen im Wachstum auch auf die Blühinduktion auswirken, wurden Col-0, Col-16 und SO15A Pflanzen sieben Wochen

unter Kurztagbedingungen kultiviert, in Langtagbedingungen transferiert und der Tag der ersten geöffneten Blüte bestimmt. Für Col-0 konnte im Durchschnitt nach 16 Tagen die erste geöffnete Blüte beobachtet werden, dieser Zeitpunkt wurde als „Nullwert“ definiert. Abbildung 16D zeigt, dass sowohl bei Col-16 als auch bei der Mutante SO15A im Durchschnitt sieben Tage später die erste geöffnete Blüte zu beobachten war.

Die Linie Col-16 akkumuliert aufgrund des durch MP17:GFP induzierten Kohlehydratexportblocks in Sourceblättern deutlich mehr lösliche Zucker und Stärke als der Wildtyp Col-0 (Kronberg et al., 2007). Deshalb galt zu untersuchen, ob auch in der Mutante SO15A der Gehalt an löslichen Zuckern und Stärke beeinflusst wird. Die Analyse des Stärkegehalts in den untersuchten Linien ergab, dass Col-16 aufgrund des Kohlenhydratexportblocks mehr als doppelt so viel Stärke im Vergleich zu Col-0 akkumuliert (Abbildung 17). Dies wurde von der Linie SO15A sogar noch geringfügig übertroffen. Ebenso war der Gehalt an löslichen Zuckern (Glukose, Fruktose und Saccharose) in der Mutante SO15A im Vergleich zu Col-0 signifikant erhöht und erreichte ähnliche Werte wie Col-16 (Abbildung 17).

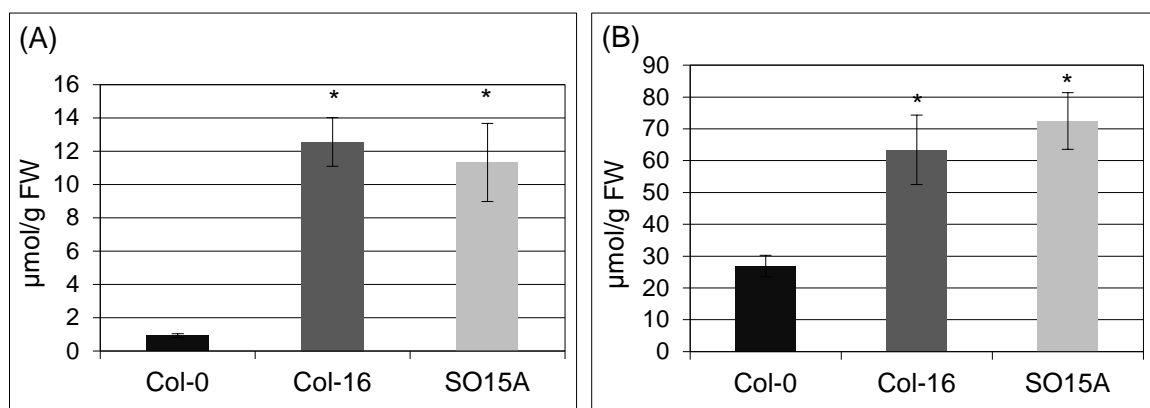


Abbildung 17: Gehalt an löslichen Zuckern (A) und Stärke (B). Mittelwerte an löslichen Zuckern (Summe aus Glukose, Fruktose und Saccharose) und Stärke wurden über einen optisch-enzymatisch gekoppelten Test für sechs Individuen pro Linie (Alter 5 Wochen) ermittelt. Standardbalken repräsentieren Standardfehler; *: $P \leq 0,05$ bestimmt mit einem modifizierten T-Test nach Student;

Um auszuschließen, dass die starke Wuchsretardierung auf eine fehlerhafte Photosynthese zurückzuführen ist, wurde die Intaktheit des Photosystems II (PSII) mittels Bestimmung der Chlorophyllfluoreszenz untersucht. Für die Mutante SO15A konnte jedoch keine Beeinträchtigung der photosynthetischen Aktivität festgestellt werden, da ein zu Col-0 und Col-16 vergleichbares F_v/F_m -Verhältnis bestimmt wurde (Abbildung 18).

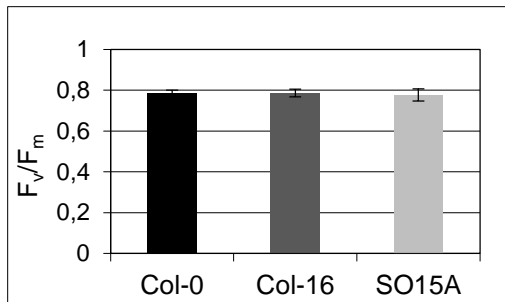


Abbildung 18: Photochemische Effizienz des PSII; gegeben als F_v/F_m -Verhältnis für Wildtyp, Col-16 und die Mutante SO15A; dargestellt sind Mittelwerte \pm Standardabweichung von 82-89 Keimlingen ($n=82-89$);

2.2.4 Genetische Charakterisierung der Mutante SO15A

2.2.4.1 Marker-gestützte Kartierung

Die Identifizierung der Mutation, die für den Phänotyp in SO15A verantwortlich ist, sollte mittels der sogenannten Marker-gestützten Kartierung erfolgen (Lukowitz et al., 2000; Jander et al., 2002). Das Prinzip beruht auf dem Vorhandensein natürlich vorkommender genetischer Polymorphismen zwischen Arabidopsis Ökotypen, d.h. geographisch getrennten Varianten von Arabidopsis. Diese lassen sich in sogenannte SSLP- (*simple sequence length polymorphism*), SNP- (*single nucleotide polymorphism*) oder CAPS- (*cleaved amplified polymorphic sequences*) Marker einteilen. SSLP-Marker bedienen sich kurzer repetitiver Sequenzen, z.B. einem (AT)-Dinukleotid. Da sich die Anzahl der Wiederholungen zwischen verschiedenen Ökotypen unterscheidet, liefert eine PCR-Amplifikation des genomischen Bereichs, der den zu testenden Marker umspannt, unterschiedlich lange PCR-Produkte (Bell und Ecker, 1994; Powell et al., 1996). SSLP-Marker können aber auch Insertionen, bzw. Deletionen von einzelnen bis hin zu tausenden Basenpaaren sein. SNPs sind dagegen Einzelbasenaustausche und treten dementsprechend sehr viel häufiger auf. Die Detektion erfolgt über Sequenzierung der jeweiligen Genomabschnitte (Schmid et al., 2003). Wird durch einen SNP eine Restriktionsschnittstelle verändert oder generiert, so spricht man von einem CAPS-Marker. Der Nachweis eines CAPS-Markers erfolgt mittels PCR-Amplifikation des entsprechenden genomischen Abschnitts und anschließendem Verdau des PCR-Produkts, das daraufhin bei der Gelelektrophorese unterschiedliche Bandenmuster ergibt (Konieczny und Ausubel, 1993). Voraussetzung für die Kartierung ist also zunächst die Einkreuzung der Mutation (aus Ökotyp 1, in unserem Fall Col-0) in einen anderen Ökotypen (Ökotyp 2, in unserem Fall *Landsberg erecta*). In Vorarbeiten wurde zu diesem Zweck die transgene Linie LerNM8S erzeugt, die das *MP17:GFP* Transgen an der gleichen genomischen Stelle wie Col-16 im *Landsberg erecta* Hintergrund trägt (Kronberg,

2008). Durch achtmaliges Rückkreuzen in den Landsberg *erecta* (*Ler*) Wildtyp wurde der Anteil an Col-0 Genmaterial minimiert.

Anhand der Ökotyp-spezifischen Marker lässt sich der genetische Hintergrund (Ökotyp) eines Genabschnittes exakt bestimmen, da die Marker in der Nähe des gesuchten Lokus mit dem gewünschten Phänotyp segregieren. Nachdem die Mutante SO15A dem Col-0 Hintergrund entstammt, sollten im Genombereich um die Mutation also lediglich Marker für Col-0 vorliegen, was als genetische Kopplung bezeichnet wird. Mit steigender Entfernung zur Mutation verringert sich diese genetische Kopplung. Durch *crossing over* während der Meiose bei der Selbstung der F1-Generation kommt es dann zu einer zufälligen Verteilung (Segregation) des genetischen Materials. Für nicht gekoppelte Marker liegt die Wahrscheinlichkeit für eine Segregation bei etwa 50 %. Mit zunehmender Kopplung eines Genabschnitts reduziert sich die Wahrscheinlichkeit eines Austauschs beim *crossing over*.

2.2.4.1.1 Einkreuzung der Mutante SO15A in LerNM8S

Für die Marker-gestützte Identifizierung der Phänotyp-auslösenden Mutation in der Sourcemutante SO15A wurde diese zunächst mit LerNM8S gekreuzt. Der Phänotyp sieben Wochen alter Pflanzen der F1-Generation der Kreuzungslinie (LNMSO15A) entsprach im Wesentlichen dem Phänotyp von Col-16 und LerNM8S im Vergleich zu der deutlichen Wuchsretardierung von SO15A (siehe Abbildung 19A). Zum Nachweis der erfolgreichen Einkreuzung von LerNM8S in die Sourcemutante SO15A, erfolgte die PCR-Amplifikation des SSLP-Markers *ciw2* (Lukowitz et al., 2000) von genomischer DNA aus Pflanzen der F1-Kreuzung sowie der Ausgangslinien als Kontrolle.

(A)

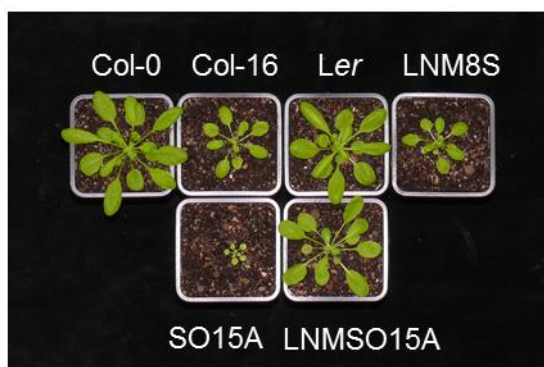


Abbildung 19: Einkreuzung der Mutante SO15A in LerNM8S

(A) Wuchsphänotyp von 7 Wochen alten Pflanzen der F1-Generation der Kreuzung LNMSO15A; Pflanzen der F1-Generation der Kreuzung der Sourcemutante SO15A mit LerNM8S weisen einen Col-16-, bzw. LerNM8S-ähnlichen Wuchs auf. Als Kontrollen sind jeweils eine Col-0 und Ler-Pflanze abgebildet.

(B) PCR-Analysen von Proben genomischer DNA mit dem Ökotyp-spezifischen SSLP-Marker *ciw2*; *ciw2* liefert ein kürzeres Produkt für Landsberg *erecta* [160 bp] als für Col-0 [200 bp]; S: DNA-Längenstandard; 1: H₂O, 2/13: Col-0, 3/12: Ler, 4-11: LNMSO15A #1-8

(B)



Wie Abbildung 19B zeigt, waren alle Pflanzen der F1-Kreuzung heterozygot bezüglich dieses Markers, da jeweils sowohl ein Col-0 als auch ein Ler-spezifisches PCR-Produkt nachgewiesen werden konnte. Dies bestätigte eine erfolgreiche Kreuzung von SO15A mit LerNM8S. Weiterhin konnte bei der Analyse der MP17:GFP Fluoreszenz in Sourceblättern der F1-Generation unter dem Stereofluoreszenzmikroskop eine Col-16 ähnliche Fluoreszenzstärke beobachtet werden (Daten nicht gezeigt).

2.2.4.1.2 Grobkartierung

Nach Selbstung der F1-Generation wurden für die Grobkartierung 251 Individuen der F2-Generation der Linie LNMSO15A #8 begutachtet, um den Genort der Mutation eingrenzen zu können. Hierfür wurden diese zunächst auf eine Reduktion der plasmodesmalen Lokalisation von MP17:GFP in Kotyledonen gescreent. In einem zweiten Durchgang wurden dann die selektionierten Kandidaten erneut auf eine Reduktion der MP17:GFP Fluoreszenz an PD in Sourceblättern untersucht. Letztendlich konnten 55 von 251 analysierten Pflanzen identifiziert werden, die ebenso wie die Mutante SO15A eine starke Wuchsretardierung aufwiesen, was einem Verhältnis von Col-16- zu SO15A-Phänotyp von 3,44:1 entspricht. Die auf diese Weise selektierten 55 Pflanzen sollten dementsprechend homozygot für die Mutation sein. Nach Isolierung der genomischen DNA von allen Individuen, wurden zunächst 20 genomische DNAs mit 21 SSLP-Markern (von insgesamt 22 vorgeschlagenen Markern nach Lukowitz et al., 2000; Abbildung 20) getestet.

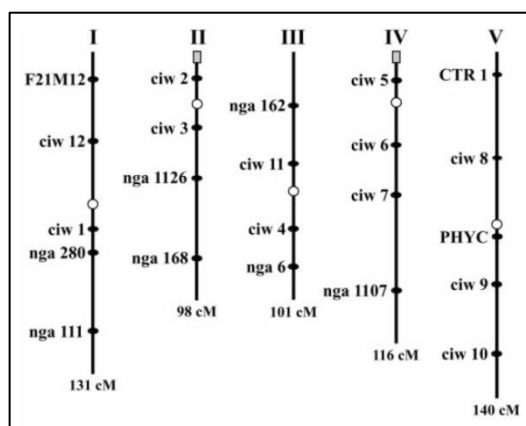


Abbildung 20: Schematische Verteilung von 22 SSLP-Markern über die fünf Arabidopsis-Chromosomen (Lukowitz et al., 2000).

Tabelle 5 zeigt die Ergebnisse dieser ersten Grobkartierung für alle getesteten Marker, deren Lage auf dem jeweiligen Chromosom in der Spalte links daneben ersichtlich ist. Neben der Anzahl der insgesamt analysierten Pflanzen (GES) ist die Anzahl der Pflanzen, bei denen ausschließlich ein Col-0- oder Ler-spezifisches Produkt oder beide gleichzeitig (HEZ) nachweisbar waren, angegeben. Die Anzahl der Rekombinationen für den

jeweiligen Marker entspricht der Summe aus der Anzahl an heterozygoten Pflanzen mit PCR-Produkt für Col-0 und Ler plus der zweifachen Anzahl an Pflanzen, welche nur ein Ler-Produkt ergaben. Die Rekombinationsfrequenz errechnet sich aus der Anzahl von Rekombinationen geteilt durch die doppelte Anzahl genotypisierter Pflanzen und sollte für einen nicht gekoppelten Marker theoretisch bei 0,5 liegen.

Tabelle 5: Grobkartierung von SO15A. Mittels PCR wurde für Individuen der F2-Generation der Linie LNMSO15A für die jeweiligen SSLP-Marker verteilt über die Chromosomen [Chr 1-5] der Genotyp bezüglich Col-0 oder Ler bestimmt; die Anzahl der Rekombinationen [REK] wurde als die Summe der Anzahl an heterozygoten Pflanzen [HEZ] mit gleichzeitig Ler- und Col-0-spezifischen PCR-Produkten und der zweifachen Anzahl von Pflanzen mit ausschließlich Ler-spezifischem Produkt berechnet; die Rekombinationsfrequenz [RF] ergab sich aus der Division von REK durch die doppelte Anzahl an untersuchten Pflanzen [GES];

| Chr | Marker | GES | Col-0 | Ler | HEZ | REK | RF |
|-----|---------|-----|-------|-----|-----|-----|-------|
| 1 | F21M12 | 20 | 10 | 3 | 7 | 13 | 0,325 |
| 1 | ciw12 | 20 | 4 | 6 | 10 | 22 | 0,550 |
| 1 | ciw1 | 20 | 7 | 3 | 10 | 16 | 0,400 |
| 1 | nga280 | 20 | 9 | 3 | 8 | 14 | 0,350 |
| 1 | nga111 | 20 | 8 | 4 | 8 | 16 | 0,400 |
| 2 | ciw2 | 20 | 5 | 6 | 9 | 21 | 0,525 |
| 2 | ciw3 | 18 | 3 | 7 | 8 | 22 | 0,610 |
| 2 | nga1126 | 18 | 6 | 5 | 7 | 17 | 0,470 |
| 2 | nga168 | 20 | 7 | 6 | 7 | 19 | 0,475 |
| 3 | nga162 | 19 | 18 | 0 | 1 | 1 | 0,026 |
| 3 | ciw11 | 20 | 15 | 1 | 4 | 6 | 0,150 |
| 3 | ciw4 | 19 | 7 | 3 | 9 | 15 | 0,390 |
| 3 | nga6 | 20 | 2 | 6 | 12 | 24 | 0,600 |
| 4 | ciw5 | 20 | 8 | 4 | 8 | 16 | 0,400 |
| 4 | ciw6 | 20 | 5 | 7 | 8 | 22 | 0,550 |
| 4 | ciw7 | 19 | 4 | 7 | 8 | 22 | 0,570 |
| 4 | nga1107 | 19 | 3 | 6 | 10 | 22 | 0,580 |
| 5 | CTR1 | 20 | 8 | 1 | 11 | 13 | 0,325 |
| 5 | ciw8 | 20 | 6 | 3 | 11 | 17 | 0,425 |
| 5 | PHYC | 19 | 5 | 3 | 11 | 17 | 0,450 |
| 5 | ciw9 | 20 | 6 | 5 | 9 | 19 | 0,475 |

Um natürliche Variationen der Rekombination auszugleichen, wurde angenommen, dass ein Marker bei einer Rekombinationsfrequenz von unter 0,3 mit dem Mutanten-Phänotyp gekoppelt ist. Dies traf für nga162 und ciw11, zwei aneinander angrenzende Marker auf

dem oberen Arm von Chromosom 3, zu. Demnach sollte in diesem Bereich die gesuchte Mutation liegen.

Um die Position der Mutation einzugrenzen, wurden weitere Marker unter Verwendung der Arabidopsis Mapping Platform (<http://amp.genomics.org.cn/>) erstellt und diese für alle 55 selektierten Individuen getestet. Hierbei waren zwischen den Markern 3-AB022220-2047 und 3-AB026636-2493 keine Rekombinationen mehr nachweisbar (Tabelle 6). Da in diesem Bereich, der etwa 1 Mbp genomischer Sequenz entspricht, mit dem bisherigen Pflanzenpool keine Ökotyp-spezifischen Rekombinationen mehr gefunden werden konnten, musste für die folgende Feinkartierung die Anzahl der Pflanzen auf etwa 2000 Pflanzen vergrößert werden. Durch die höhere Wahrscheinlichkeit Pflanzen zu isolieren, die Rekombinationen in einem geringeren Abstand zur Mutation aufweisen, sollte der Bereich weiter eingegrenzt werden.

Tabelle 6: Grobkartierung von SO15A. Test zusätzlicher Marker auf Chromosom 3 und deren Position in Basenpaaren [bp] in dem teilweise gekoppelten Bereich; GES = Anzahl an untersuchten Pflanzen; Col-0 = nur Col-0-spezifisches PCR-Produkt detektierbar; Ler = ausschließlich Ler-spezifisches PCR-Produkt nachweisbar; HEZ = heterozygot, beide Produkte vorhanden; REK = HEZ + 2xLer, Anzahl der Rekombinanten; RF = REK/2xGES, Rekombinationsfrequenz.

| Marker | Position | GES | Col-0 | Ler | HEZ | REK | RF |
|-----------------|----------|-----|-------|-----|-----|-----|-------|
| 3-AC016827-0956 | 2243047 | 54 | 40 | 1 | 13 | 15 | 0,139 |
| nga162 | 4608277 | 55 | 53 | 0 | 2 | 2 | 0,018 |
| 3-AB022220-2047 | 4801108 | 55 | 54 | 0 | 1 | 1 | 0,009 |
| 3-AP000370-2145 | 5032563 | 55 | 55 | 0 | 0 | 0 | 0,000 |
| 3-AB017071-2266 | 5315290 | 55 | 55 | 0 | 0 | 0 | 0,000 |
| 3-AC001645-2352 | 5518698 | 54 | 54 | 0 | 0 | 0 | 0,000 |
| 3-AB022217-2402 | 5634662 | 55 | 55 | 0 | 0 | 0 | 0,000 |
| 3-AB022217-2433 | 5707030 | 53 | 53 | 0 | 0 | 0 | 0,000 |
| 3-AB026636-2493 | 5847694 | 52 | 51 | 0 | 1 | 1 | 0,009 |
| 3-AB022219-2564 | 6014083 | 55 | 54 | 0 | 1 | 1 | 0,009 |
| 3-AB025634-3261 | 7649966 | 54 | 46 | 0 | 8 | 8 | 0,074 |
| 3-AP000382-3764 | 8829586 | 55 | 44 | 2 | 7 | 11 | 0,100 |
| ciw11 | 9774308 | 46 | 32 | 3 | 11 | 17 | 0,185 |

2.2.4.1.3 Feinkartierung

Für die Feinkartierung der Sourcemutante SO15A wurden 1993 Individuen der F2-Generation der Kreuzung LNMSO15A nach dem gleichen Prinzip wie bei der Grobkartierung gescreent. Auf diese Weise konnten 387 Individuen mit SO15A-ähnlicher Wuchsretardierung identifiziert werden, was einem Verhältnis von 4,0:1 von Pflanzen mit Col-16- zu SO15A-Phänotyp entspricht. Nach der Isolierung der genomischen DNA mit der Tissue Lyser-Methode, wurde diese mit den beim Grobmapping erhaltenen Randmarkern M5 (3-AB022220-2047) und M11 (3-AB026636-2493) analysiert (Tabelle 7). Für den Marker M5 an Position 4801108 bp konnten insgesamt vier heterozygote Pflanzen ermittelt werden, für den an Position 5847694 bp angrenzenden Marker M11 dagegen 18 weitere heterozygote Pflanzen. Daraufhin wurden die übrigen dazwischen liegenden Marker mit allen identifizierten Heterozygoten getestet, wobei einzig der Marker M6 bei 5032536 bp keine Rekombination mehr aufwies (siehe Tabelle 7).

Tabelle 7: Feinkartierung von SO15A. Test zusätzlicher Marker auf Chromosom 3 und deren Position in Basenpaaren [bp] in dem teilweise gekoppelten Bereich; GES = Anzahl an untersuchten Pflanzen; Col-0 = nur Col-0-spezifisches PCR-Produkt detektierbar; Ler = ausschließlich Ler-spezifisches PCR-Produkt nachweisbar; HEZ = heterozygot, beide Produkte vorhanden; REK = HEZ + 2xLer, Anzahl der Rekombinanten; RF = REK/2xGES, Rekombinationsfrequenz.

| Marker | Position | GES | Col-0 | Ler | HEZ | REK | RF |
|-----------------|----------|-----|-------|-----|-----|-----|--------|
| 3-AB022220-2047 | 4801108 | 385 | 381 | 0 | 4 | 4 | 0,0052 |
| 3-AP000370-2145 | 5032563 | 385 | 385 | 0 | 0 | 0 | 0,0000 |
| 3-AB017071-2266 | 5315290 | 385 | 383 | 0 | 2 | 2 | 0,0026 |
| 3-AC001645-2352 | 5518698 | 384 | 378 | 0 | 6 | 6 | 0,0078 |
| 3-AB022217-2402 | 5634662 | 382 | 376 | 0 | 6 | 6 | 0,0079 |
| 3-AB022217-2433 | 5707030 | 384 | 371 | 0 | 13 | 13 | 0,0169 |
| 3-AB026636-2493 | 5847694 | 385 | 367 | 0 | 18 | 18 | 0,0234 |

Um die Position der Mutation näher zu bestimmen, wurden weitere Marker unter Verwendung der IN/DEL-Datenbank der Firma Monsanto erstellt und eingesetzt (<http://www.arabidopsis.org/browse/Cereon/index.jsp>; Jander et al., 2002). Zwischen den Markern 470473 und CER456061, ein Bereich von etwa 400 kb auf Chromosom 3, waren schließlich keine Rekombinationen mehr nachweisbar (Tabelle 8). Da jedoch in der IN/DEL-Datenbank keine weiteren Marker in diesem Bereich vorhanden waren und das Internettool MarkerTracker (<http://bbc.botany.utoronto.ca/markertracker/index.spy>) zu diesem Zeitpunkt nicht zur Verfügung stand, konnte das Feinmapping über die bisher verwendete Methode nicht fortgeführt werden.

Tabelle 8: Feinkartierung von SO15A; Test zusätzlicher Marker auf Chromosom 3 und deren Position in Basenpaaren [bp] in dem teilweise gekoppelten Bereich; GES = Anzahl an untersuchten Pflanzen; Col-0 = nur Col-0-spezifisches PCR-Produkt detektierbar; Ler = ausschließlich Ler-spezifisches PCR-Produkt nachweisbar; HEZ = heterozygot, beide Produkte vorhanden; REK = HEZ + 2xLer, Anzahl der Rekombinanten; RF = REK/2xGES, Rekombinationsfrequenz.

| Marker | Position | GES | Col-0 | Ler | HEZ | REK | RF |
|-----------------|----------|-----|-------|-----|-----|-----|--------|
| 3-AB022220-2047 | 4801108 | 385 | 381 | 0 | 4 | 4 | 0,0052 |
| 470487 | 4825425 | 385 | 382 | 0 | 3 | 3 | 0,0039 |
| 470473 | 4862259 | 385 | 383 | 0 | 2 | 2 | 0,0026 |
| CER454153 | 5024647 | 384 | 384 | 0 | 0 | 0 | 0,0000 |
| 3-AP000370-2145 | 5032563 | 385 | 385 | 0 | 0 | 0 | 0,0000 |
| CER456061 | 5264625 | 385 | 383 | 0 | 2 | 2 | 0,0026 |
| 3-AB017071-2266 | 5315290 | 385 | 383 | 0 | 2 | 2 | 0,0026 |
| 3-AC001645-2352 | 5518698 | 384 | 378 | 0 | 6 | 6 | 0,0078 |
| 3-AB022217-2402 | 5634662 | 382 | 376 | 0 | 6 | 6 | 0,0079 |
| 3-AB022217-2433 | 5707030 | 384 | 371 | 0 | 13 | 13 | 0,0169 |
| 3-AB026636-2493 | 5847694 | 385 | 367 | 0 | 18 | 18 | 0,0234 |

2.2.4.2 Next-generation sequencing

Durch die Feinkartierung konnte für die Sourcemutante SO15A der Bereich, welcher die Mutation tragen sollte, auf etwa 400 kb genomische Sequenz eingegrenzt werden, was laut TAIR 171 Loci entspricht. Da diese Anzahl an Genen für die weitere Charakterisierung deutlich zu groß war, wurde in Kooperation mit der Humangenetik in Erlangen mittels *next generation sequencing* eine Sequenzierung des kompletten Genoms der Mutante SO15A durchgeführt. Die Sequenzierung der genomischen DNA deckte insgesamt nur circa 70 % des Gesamtgenoms ab, d.h insgesamt wurde eine deutlich niedrigere Sequenzabdeckung als erwartet erreicht. Für den 400 kb-Bereich aus dem Feinmapping wurde jedoch im Durchschnitt eine 30-fache Sequenzabdeckung erzielt, was für die folgende SNP-Analyse mehr als ausreichend war. Hierbei wurde die erhaltene Sequenz aus SO15A mit der bei TAIR (<https://www.arabidopsis.org/index.jsp>) veröffentlichten Sequenz für Col-0 verglichen. In den 400 kb auf Chromosom 3 zwischen Position 4862259 bp und 5264624 bp konnten insgesamt 198 SNPs (siehe Anhang Tabelle 19) identifiziert werden. Die Mutation, die den Phänotyp in SO15A auslöst, muss jedoch homozygot vorliegen, was für nur 35 der 198 SNPs der Fall war (siehe Tabellenspalte „heterozygot“; FALSCH, wenn homozygot). Von diesen 35 SNPs lagen sechs SNPs nicht in Exons (lila unterlegt). Um auszuschließen, dass möglicherweise

Introns und somit der Spleißvorgang oder auch regulatorische Elemente betroffen sein könnten, wurde die genau Position über das Internettool „Sequence Viewer“ der Homepage TAIR (<http://www.arabidopsis.org/>) überprüft. Alle sechs SNPs lagen in intergenischen Bereichen, konnten also vernachlässigt werden. Von den verbleibenden 29 SNPs wurden insgesamt 22 SNPs bereits bei einer SNP-Analyse zwischen Col-0 mit Bur-0 und Tsu-1 (Ossowski et al., 2008), welche mit TAIR abgeglichen ist (in Tabelle grau unterlegt) beschrieben. Diese wurden deshalb ebenfalls nicht berücksichtigt. Die hellblau unterlegten drei SNPs erhielten bei TAIR Treffer in „*transposable element genes*“, waren also auch vernachlässigbar. Von den vier restlichen Kandidaten (türkis unterlegt) fiel SNP#147 weg, da es sich hierbei um eine stumme Mutation (Leucin bleibt erhalten) handelt, wodurch SNP#144, SNP#168 und SNP#196 als potentiell Phänotyp-auslösende SNPs in der Mutante SO15A übrig blieben. Die Sequenzabdeckung an der jeweiligen Position ist in Abbildung 21 dargestellt.

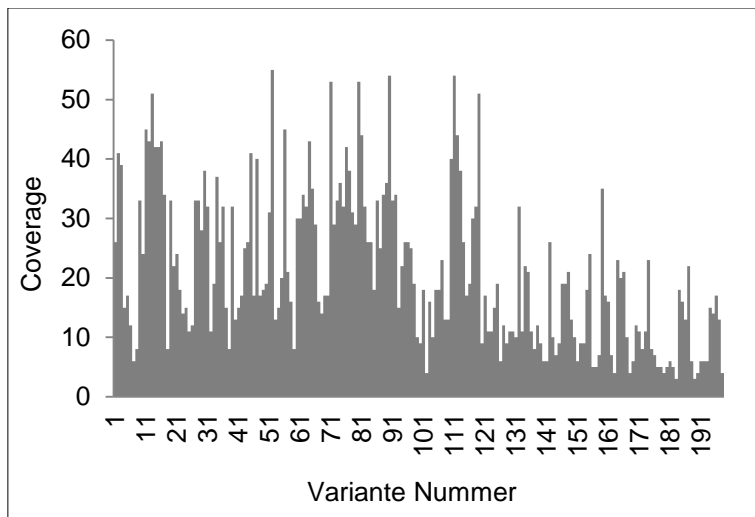


Abbildung 21: Sequenzabdeckung für alle detektierten SNP-Varianten im 400 kb Bereich aus dem Feinmapping von SO15A; aufgetragen ist die Coverage (y-Achse) für jede der 198 SNP-Varianten (x-Achse) in diesem Bereich;

Die durch TAIR ermittelten Gene, in denen die drei verbleibenden SNPs liegen, sind in Tabelle 9 zusammengefasst, inklusive der durch das Internettool Arabidopsis Subcellular Proteomic Database vorhergesagten Lokalisation ([http://suba.plantenergy.uwa.edu.au](http://suba.plantenergy.uwa.edu.au;); SUBA). Hierbei war der Cholintransporter der am wahrscheinlichsten in Frage kommende Kandidat. Zum einen war es das einzige Protein, für das eine Plasmamembran-Lokalisation vorhergesagt wurde. Zum anderen wurde beschrieben, dass 99 % der durch EMS hervorgerufenen Mutationen G/C zu A/T-Transitionen sind, da EMS eine Alkylierung von Guanin bewirkt (Greene et al., 2003). Genau dies wäre nur für den besagten SNP #196 der Fall. Um auszuschließen, dass die drei identifizierten Kandidaten-SNPs bereits in Col-16 vorhanden sind, erfolgte eine PCR-Amplifikation und Sequenzierung von genomischer DNA in einen Bereich von ca. 500 bp um den jeweiligen SNP in Col-16 und

SO15A. Diese Analyse ergab, dass SNP#144 und SNP#168 weder in Col-16 noch in SO15A vorhanden waren. Nur SNP#196 tauchte in Übereinstimmung mit dem Ergebnis des *next generation sequencing* in der Mutante SO15A auf, jedoch nicht in Col-16. Das verbleibende Kandidatengen war demnach *AT3G15380*, welches für das Cholintransporter-ähnliche Protein CHER1 kodiert.

Tabelle 9: Zusammenfassung der drei durch *next generation sequencing* identifizierten Kandidatengene; dargestellt sind die jeweilige SNP-Nummer, die genaue Position auf Chromosom 3 in bp, der Locus, das betroffene Gen, die Mutation und die durch Arabidopsis Subcellular Proteomic Database (SUBA; <http://suba.plantenergy.uwa.edu.au>) vorhergesagte Lokalisation.

| SNP # | Position | Lokus | Gen | Mutation | vorhergesagte Lokalisation |
|-------|----------|-----------|--|-----------------------------------|----------------------------|
| 144 | 4940915 | AT3G14700 | SART-1 family | GCC zu CCC, Alanin zu Prolin | Cytosol |
| 168 | 4963078 | AT3G14780 | Transposase | TTT zu GTT, Phenylalanin zu Valin | Nucleus |
| 196 | 5194520 | AT3G15380 | Plasma-membrane choline transporter family protein | GGA zu GAA, Glycin zu Glutamat | PM |

2.3 Untersuchung eines Cholintransporter-ähnlichen Proteins in Arabidopsis und dessen Einfluss auf die plasmodesmale Lokalisation von MP17

2.3.1 Bestätigung der *CHER1* Genidentität

2.3.1.1 Analyse der T-DNA Insertionslinie *cher1-4*

Zur Bestätigung der *CHER1* Genidentität wurde die T-DNA Insertionslinie SALK_065853C untersucht. Die Homozygotie der T-DNA Insertion wurde über zwei PCR-Amplifikationen, zum einen für den Nachweis der T-DNA Insertion und zum anderen für den Nachweis des WT-Allels, bestätigt (Abbildung 22B). Um zu überprüfen, ob die Transkriptmenge von *CHER1* in den homozygoten Individuen reduziert ist, wurde eine semiquantitative RT-PCR durchgeführt. Hierbei zeigte sich, dass die Transkriptmenge von *CHER1* in den homozygoten Individuen für SALK_065853C im Vergleich zu den Kontrollen Col-0 und Col-16 deutlich reduziert war (siehe Abbildung 22C). Dies spiegelte sich auch im Phänotyp der T-DNA Insertionslinie SALK_065853C, welche im Folgenden als *cher1-4* bezeichnet wird, wider. So konnte eine starke Wachstumsretardierung beobachtet werden (siehe Abbildung 22D). Diese war weniger stark ausgeprägt als bei der Mutante SO15A, was aber wohl darauf zurückzuführen ist, dass die T-DNA Insertionslinie auf einem Col-0 Hintergrund basiert, die Mutante SO15A jedoch auf der Linie Col-16, die ohnehin schon einen kleineren Wuchs aufweist. Weiterhin wies *cher1-4* ebenso wie die Mutante SO15A hellgrüne Blätter und einen eher buschigen Wuchs auf. Um zu klären, warum es sich bei *cher1-4* nur um einen *knockdown*, nicht aber um einen kompletten *knockout* handelt, wurde der exakte Locus der T-DNA näher bestimmt. Anhand der bei NASC angegebenen flankierenden Sequenz der T-DNA sowie mit Hilfe des Internettools NASCe! AtEnsembl *A.thaliana* ContigView (http://atensembl.arabidopsis.info/Arabidopsis_thaliana_TAIR/contigview) wurde die Position der T-DNA Insertion im ersten Intron von *At3g15380* bestimmt. Über PCR-Amplifikation des entsprechenden genomischen Bereichs aus Col-0 und *cher1-4* konnte dies bestätigt werden. Es lässt sich vermuten, dass durch die etwa 4,5 kb große T-DNA Insertion der Spleißvorgang beeinträchtigt wird, was den *knockdown* von *At3g15380* in der T-DNA Insertionslinie *cher1-4* hervorruft. Die schematische Repräsentation der Genstruktur von *At3g15380* ist in Abbildung 22A skizziert.

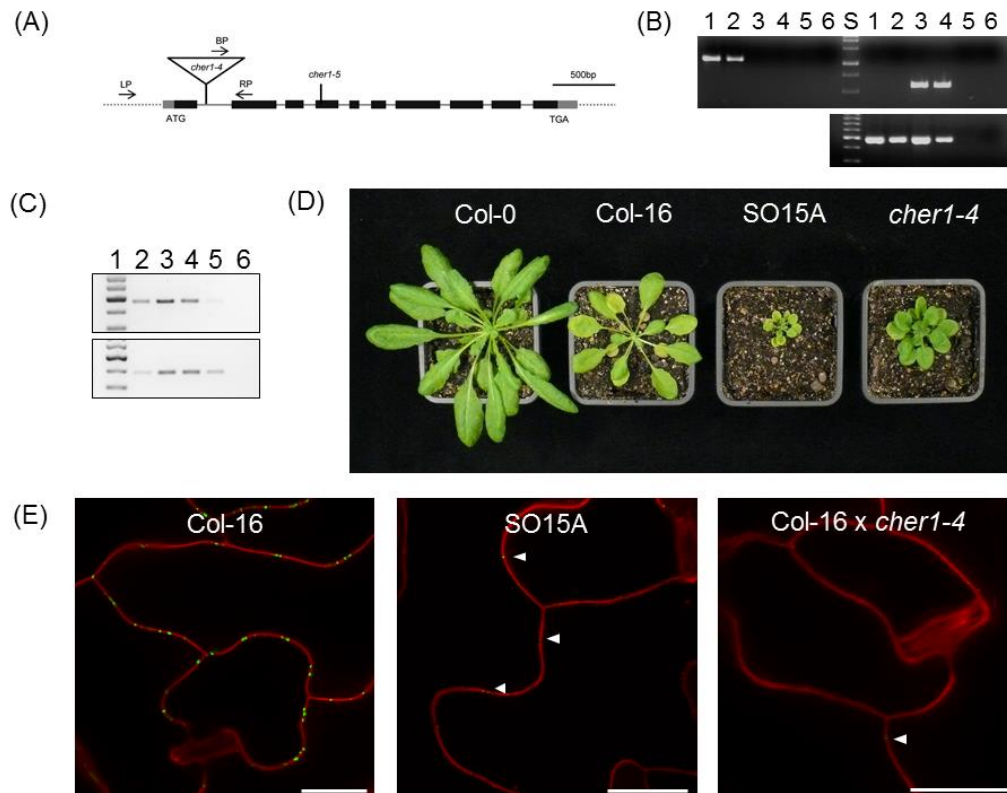


Abbildung 22: Analyse der T-DNA Insertionslinie *cher1-4*. (A) Schematische Repräsentation der Genstruktur von *At3g15380* (modifiziert nach NASCe! AtEnsembl *A.thaliana* ContigView). Exons sind durch schwarze Boxen dargestellt, Introns als durchgezogene graue Linie. Die Position der T-DNA in der T-DNA Insertionslinie *cher1-4* befindet sich im ersten Intron und die GGA → GAA Punktmutation in der Mutante SO15A und *cher1-5* im vierten Exon. Die eingezeichneten Primer (LP, RP und BP) wurden für die Genotypisierung von *cher1-4* verwendet. (B) PCR-Analyse zum Nachweis der T-DNA Insertion mit genomischer DNA als Template (oberes Gelbild); zur Amplifizierung des WT-Allels (links vom Standard) für *At3g15380* wurden die Primer KL63 und KL64 [Produkt 1115 bp] verwendet und zum Nachweis der T-DNA-Insertion (rechte Seite vom Standard) die Primer KL63 und LbaI [Produkt etwa 700 bp]; als Qualitätskontrolle der genomischen DNA diente die PCR-Amplifikation von *AtAktin* (unteres Gelbild). 1+2: Col-0, 3+4: *cher1-4*, 5+6: Negativkontrolle; (C) Semi-quantitative RT-PCR (oben) zeigt eine Herunterregulierung der *CHER1* Transkriptmenge in der T-DNA Insertionslinie *cher1-4*. Hierfür wurden die Primer KL101 und KL157 [Produkt 472 bp] verwendet, wobei KL157 zwei Exons überspannt. 1: 100 bp Standard, 2: Col-0, 3: Col-16, 4: SO15A, 5: *cher1-4*, 6: Negativkontrolle. Die PCR-Amplifikation von *AtAktin* diente als Qualitätskontrolle für die cDNA (unten). (D) Makroskopischer Phänotyp von *cher1-4*; abgebildet sind 8 Wochen alte Pflanzen der Linien Col-0, Col-16, SO15A und *cher1-4*; wie die Mutante SO15A weist *cher1-4* ein stark verzögertes, buschiges Wachstum auf; (E) Herunterregulierung der *CHER1* Transkriptmenge resultiert in einer drastischen Reduktion der MP17:GFP Fluoreszenz an Plasmodesmata in der Kreuzungslinie Col-16 x *cher1-4* (abgebildet ist die Linie #25); KLSM-Analyse von Epidermiszellen in Sourceblättern der Linien Col-16, SO15A, Col-16 x *cher1-4*. MP17:GFP Fluoreszenz ist grün dargestellt, die Zellwände wurden durch Propidiumiodid rot gefärbt; Standard entspricht 20 µm;

Anschließend sollte analysiert werden, ob ein *knockdown* von *CHER1* die plasmodesmale Lokalisation von MP17 beeinflusst. Für die stabile Expression von MP17 erfolgte eine Einkreuzung der Linie Col-16 in die T-DNA Insertionslinie *cher1-4*. Die Individuen der F1-Generation zeigten einen Col-16-Wuchstyp sowie Col-16-ähnliche Fluoreszenz unter dem Stereofluoreszenzmikroskop. F2-Individuen, die sowohl für MP17 als auch für die T-DNA Insertion homozygot waren, wurden schließlich mittels KLSM analysiert. Hierbei konnte für die Linie Col-16x*cher1-4* deutlich weniger MP17:GFP Fluoreszenz an

PD detektiert werden, ebenso wie es bei der Linie SO15A der Fall ist (siehe Abbildung 22E). Somit konnte gezeigt werden, dass sich bereits eine Herunterregulierung der Transkriptmenge von *CHER1* auf die plasmodesmale Lokalisation von MP17:GFP auswirkt.

Wie in Kapitel 2.2.3.3 beschrieben, konnte für die Mutante SO15A eine Akkumulation von löslichen Zuckern und Stärke in Sourceblättern beobachtet werden. Um zu analysieren, ob dieser Effekt auch ohne MP17 auftritt, wurde der Zuckergehalt in der T-DNA Insertionslinie *cher1-4* bestimmt. Hierfür wurden von sechs Wochen alten Pflanzen der Linien Col-0, Col-16, SO15A und *cher1-4* von jeweils sechs Individuen pro Linie zwei gegenüberliegende Sourceblätter beprobt. Für *cher1-4* war bezogen auf Col-0 die gleiche Tendenz wie für SO15A bezogen auf Col-16 zu erkennen (Abbildung 23). So war der Gehalt an löslichen Zuckern bis zu 2-fach und der Stärkegehalt etwa 1,5-fach erhöht. Dies legt die Vermutung nahe, dass eine Akkumulation von Zuckern und Stärke auch unabhängig von MP17 allein durch die Mutation in *At3g15380* verursacht wird, was wiederum eine Beeinträchtigung des plasmodesmalen Transports nahelegen würde. Bei der Linie SO15A tritt demnach anscheinend ein additiver Effekt von MP17 und der Mutation in *CHER1* auf.

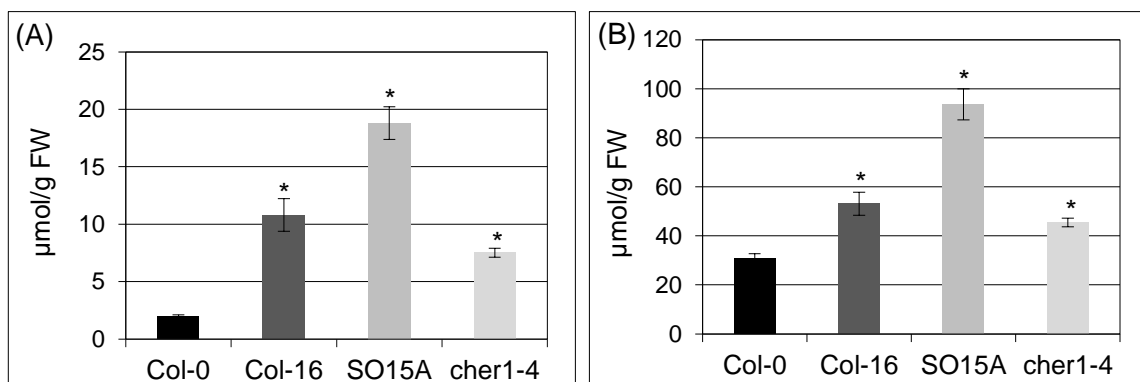


Abbildung 23: Gehalt an löslichen Zuckern (A) und Stärke (B) in den Arabidopsislinien Col-0, Col-16, SO15A und *cher1-4*. Mittelwerte an löslichen Zuckern (Summe aus Glukose, Fruktose und Saccharose) und Stärke wurden über einen optisch-enzymatisch gekoppelten Test für sechs Individuen pro Linie (Alter 6 Wochen) ermittelt. Standardbalken repräsentieren Standardfehler; *: $P \leq 0,05$ bestimmt mit einem modifizierten T-Test nach Student;

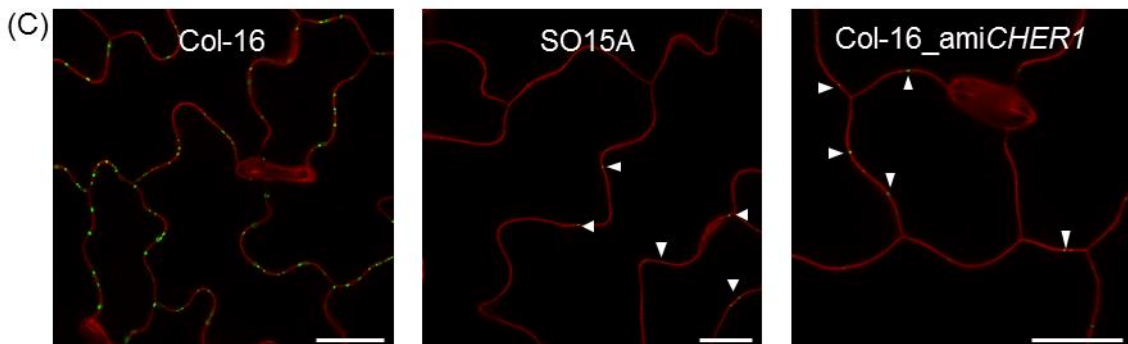
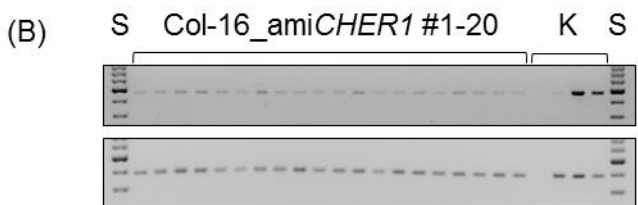
2.3.1.2 Klonierung eines *artificial micro RNA* Konstruktes

Da für *CHER1* nur eine T-DNA Insertionslinie zur Verfügung stand, wurde zusätzlich die Klonierung eines *artificial micro RNA* (amiRNA) Konstruktes verfolgt, um eine unabhängige Bestätigung zu erhalten. Das Design und die Klonierung der 21 bp langen amiRNA-Sequenz erfolgten mit Hilfe des Internettools WMD3 - Web MicroRNA Designer (<http://wmd3.weigelworld.org/cgi-bin/webapp.cgi>) und ist in Kapitel 4.2.6 näher beschrieben. Das erhaltene Plasmid ami*CHER1*_pFV3 wurde in Agrobakterien

transformiert und diese für die stabile Transformation von Col-0 und Col-16 Pflanzen eingesetzt, wobei im Folgenden nur Col-16_amiCHER1 Pflanzen beschrieben werden. Nach der stabilen Transformation von Col-16 Pflanzen und BASTA-Selektion wurden insgesamt 50 Pflanzen erhalten, die alle den charakteristischen Wachstumsphänotyp von SO15A und *cher1-4* aufwiesen (Abbildung 24A). Die Herunterregulierung der *CHER1* Transkriptmenge wurde über RT-PCR validiert (Abbildung 24B). Die KLSM-Analyse brachte die gleiche Reduktion der MP17:GFP Lokalisation an PD wie schon bei SO15A und Col-16x*cher1-4* zum Vorschein. Somit wurde ein unabhängiger Nachweis dafür erbracht, dass eine Verringerung der *CHER1* Transkriptmenge eine Verminderung der plasmodesmalen Lokalisation von MP17:GFP zur Folge hat. Warum dies der Fall ist, sollte im weiteren Verlauf untersucht werden.



Abbildung 24: Analyse von Col-16_amiCHER1 Pflanzen. (A) Makroskopischer Phänotyp von Col-16_amiCHER1 Pflanzen (Alter: 11 Wochen); Samen der mit dem Konstrukt *amiCHER1_pFV3* transformierten Col-16 Pflanzen wurden auf Erde ausgebracht und im Alter von 7 Tagen insgesamt 4x mit dem Herbizid BASTA besprüht; (B) Verifizierung der Herunterregulierung von *CHER1* Transkriptmengen in Col-16_amiCHER1 Pflanzen mittels semi-quantitativer RT-PCR (oben). Hierfür wurden die Primer KL101 und KL157 [Produkt 472 bp] verwendet, wobei KL157 zwei Exons überspannt. S: Standard, K: Kontrollen – Negativkontrolle, *cher1-4*, Col-0, Col-16; PCR-Amplifikation von *AtAktin* diente als Qualitätskontrolle für die cDNA (unten). (C) Verringerte *CHER1* Transkriptmengen führen zu einer Reduktion der MP17:GFP Fluoreszenz an PD in Col-16_amiCHER1 Pflanzen; KLSM-Analyse von Epidermiszellen in Sourceblättern der Linien Col-16, SO15A und Col-16_amiCHER1#4. MP17:GFP Fluoreszenz ist grün dargestellt, die Zellwände wurden durch Propidiumiodid rot gefärbt; Standard entspricht 20 µm;



2.3.2 Lokalisation von CHER1

Im Arabidopsis-Genom sind außer *At3g15380* sechs weitere Gene als „*Plasma-membrane choline transporter family protein*“ annotiert, von denen die meisten auch in der Plasmamembran lokalisiert sein sollen (The Arabidopsis Information Resource (TAIR), www.arabidopsis.org, Aug 07, 2014). Für CHER1 wird neben der PM-Lokalisation jedoch auch eine PD-Assoziation vorhergesagt (Benschop et al., 2007; Fernandez-Calvino et al., 2011). Aus diesem Grund sollte zunächst überprüft werden, ob CHER1 tatsächlich eine PM-Lokalisation oder womöglich sogar eine Akkumulation an PD aufweist und ob die eingebrachte Mutation zu einer Veränderung des Lokalisationsmusters führt. Zu diesem Zweck wurden N- und C-terminale GFP-Fusionen mit dem CHER1 Wildtyp- und dem Mutantenallel (CHER1_G247E) durchgeführt. Für die C-terminalen GFP-Fusionen konnte nur eine schwache und wenig reproduzierbare Fluoreszenz beobachtet werden. Aufgrund des schwachen GFP-Signals wurden für die folgenden Lokalisierungsstudien die N-terminalen GFP-Fusionen mit dem *silencing suppressor* p19 koinfiltriert (Abbildung 25).

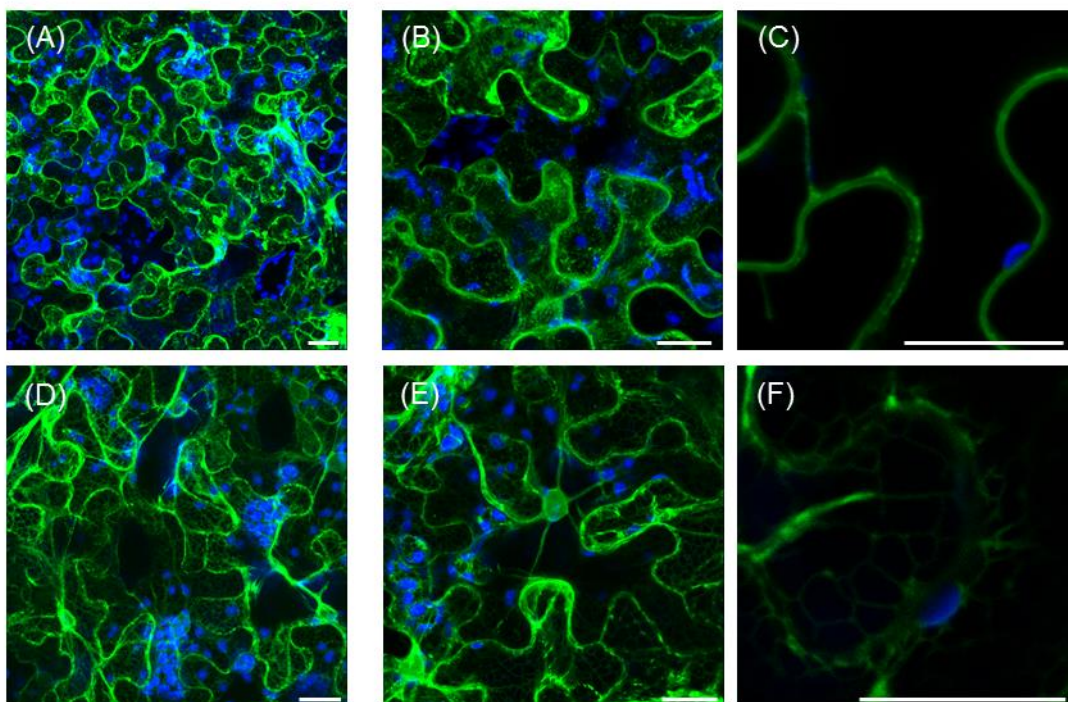


Abbildung 25: Lokalisierung von GFP:CHER1 und GFP:CHER1_G247E. Koinfiltration von GFP:CHER1 (A-C) und GFP:CHER1_G247E (D-F) mit dem *silencing suppressor* p19. 2 dai lokalisieren sowohl GFP:CHER1 (A) als auch GFP:CHER1_G247E (D) im ER, wobei GFP:CHER1 zusätzlich ein Labeling von punktchenartigen Strukturen zeigt. 3 dai lokalisiert GFP:CHER1 (B, C) an der Plasmamembran und Vesikel-ähnlichen Strukturen, welche stark an Endosomen erinnern. Im Gegensatz dazu scheint GFP:CHER1_G247E (E, F) weiterhin im ER zu verbleiben. GFP-Fluoreszenz ist grün und Chlorophyll-Autofluoreszenz ist blau dargestellt. Standard entspricht 20 µm.

Zwei Tage nach der Infiltration lokalisierten GFP:CHER1 und GFP:CHER1_G247E beide im ER. Dieses Muster verlagerte sich drei Tage nach der Infiltration für GFP:CHER1 zu einer PM-Assoziation verbunden mit einer Lokalisation in Vesikel-ähnlichen Strukturen, womöglich Endosomen, wohingegen GFP:CHER1_G247E weiterhin im ER verblieb. Dieses Ergebnis deutet darauf hin, dass der Austausch von Glycin zu Glutamat die PM-Lokalisation von CHER1 beeinträchtigt. Die Vorhersage der Membrantopologie von CHER1 unter Verwendung der Internettools MEMSAT3 (<http://bioinf.cs.ucl.ac.uk>) und TOPO2 (<http://www.sacs.ucsf.edu/cgi-bin/open-topo2.py>) brachte zum Vorschein, dass CHER1 insgesamt zehn Transmembrandomänen aufweist und sowohl der N-, als auch der C-Terminus des Proteins in das Cytoplasma ragen. Weiterhin lässt sich ein großer extrazellulärer Loop am N-Terminus erkennen. Die G zu A Transition in der Linie SO15A resultiert in dem Aminosäureaustausch G247E in der zweiten Transmembrandomäne (Abbildung 26, blau hervorgehoben). In diesem Zusammenhang wäre es möglich, dass das durch die Mutation verursachte Einbringen einer negativen Ladung in die zweite Transmembrandomäne in einer fehlerhaften Faltung des Proteins, einem gestörten Membraneinbau oder einem beeinträchtigten ER-Export resultieren könnte.

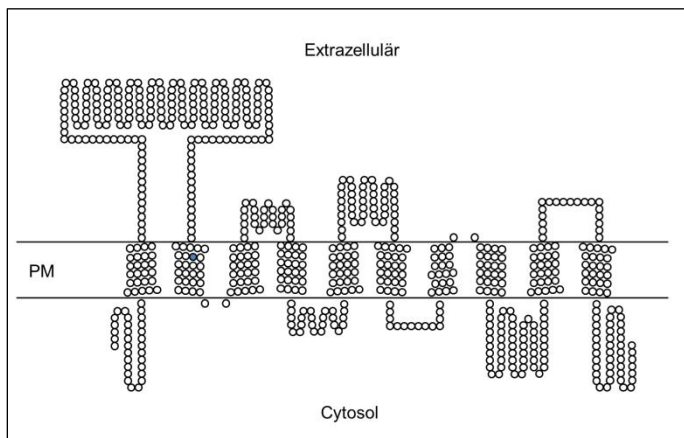


Abbildung 26: Transmembrantopologie von CHER1. Die Vorhersage der Transmembrantopologie von CHER1 erfolgte durch die Internettools MEMSAT3 (<http://bioinf.cs.ucl.ac.uk>) und TOPO2 (<http://www.sacs.ucsf.edu/cgi-bin/open-topo2.py>). Der aus der Transition G → A resultierende Austausch von Glycin zu Glutamat in der Mutante SO15A in der zweiten Transmembrandomäne ist blau hervorgehoben. PM: Plasmamembran;

2.3.3 Interaktion CHER1 und MP17

Der Nachweis einer direkten Interaktion zwischen CHER1 und MP17 sollte *in planta* mittels bimolekularer Fluoreszenzkomplementation (BiFC) erfolgen (Walter et al., 2004). Hierfür wurden im Rahmen der Bachelorarbeit von Walter Schröder CHER1 und MP17 entweder mit den ersten 155 Aminosäuren oder den restlichen carboxyterminalen Aminosäuren des gelb-fluoreszierenden YFP-Derivates Venus fusioniert, welches aufgrund einer Mutation eine größere Stabilität als das ursprüngliche YFP aufweist (Nagai et al., 2002). Kommen die zu testenden Fusionsproteine durch eine direkte oder indirekte

Interaktion in räumliche Nähe, erfolgt die Rekonstitution des Fluorophors, welches daraufhin bei einer Wellenlänge von 514 nm angeregt werden kann. Die in Kapitel 4.2.14 erwähnten Kombinationen wurden in *N. benthamiana* über Agroinfiltration transient koexprimiert und 48 Stunden danach mit dem KLSM auf eine Interaktion hin untersucht (Abbildung 27).

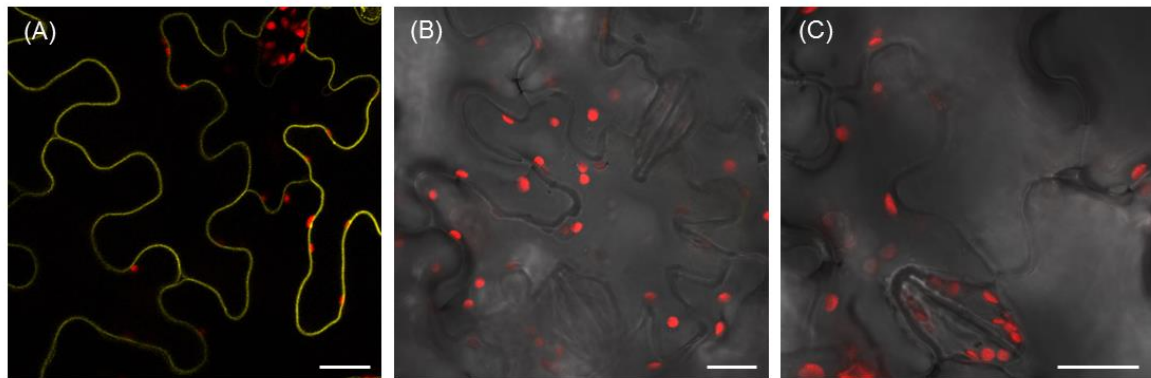


Abbildung 27: BIFC-Analyse von CHER1 und MP17. Epidermiszellen von *N.benthamiana* 48 h nach Infiltration mit (A) XopJ-YFP^N + NtRPT6-YFP^C, (B) VENUS^C-CHER1 + MP17-VENUS^N und (C) VENUS^C-CHER1_G247E + MP17-VENUS^N; YFP-Fluoreszenz ist gelb dargestellt, Autofluoreszenz der Chloroplasten rot; Überlagerung mit Durchlichtbildern (B, C). Größenstandard entspricht 20 µm;

Dabei konnte jedoch nur für die Positivkontrolle, der Kombinationen von XopJ-YFP^N und NtRPT6-YFP^C (Üstün et al., 2013) YFP-Fluoreszenz an der Plasmamembran detektiert werden, wohingegen alle Kombinationen des Cholintransporters CHER1 mit MP17 keine Fluoreszenz zeigten (Walter Schröder, unveröffentlicht).

2.3.4 Auskreuzung von MP17 aus der Mutante SO15A

Für weiterführende Arbeiten war es ebenfalls von Vorteil, MP17 aus der Mutante SO15A auszukreuzen, da die konstitutive Expression von MP17 viele Nebeneffekte, insbesondere in Hinsicht auf Zucker- und Stärkeakkumulation, hervorruft. In der F2-Generation der Kreuzung Col-0xSO15A konnten von 90 analysierten Individuen zehn Pflanzen selektioniert werden, die zum einen den Wachstumsphänotyp der Mutante SO15A aufwiesen - wodurch garantiert ist, dass die Mutation in *CHER1* homozygot vorliegen muss - und bei denen zum anderen das MP17 Transgen via PCR-Amplifikationen mit spezifischen Primern nicht mehr nachgewiesen werden konnte. Diese Mutanten, welche die Punktmutation mehr oder weniger im Wildtyphintergrund tragen, werden im Folgenden als *cher1-5* bezeichnet. Die makroskopische Analyse acht Wochen alter Pflanzen zeigte die charakteristische Wuchsretardierung, allerdings sind *cher1-5* Mutanten geringfügig größer als die Mutante SO15A, deren Wachstum durch die Anwesenheit von MP17 zusätzlich verzögert ist (Abbildung 28).



Abbildung 28: Makroskopische Analyse von *cher1-5*. Abgebildet sind 8 Wochen alte Pflanzen der Linien Col-0, *cher1-4* und *cher1-5*.

2.3.5 Komplementation SO15A

Um eine Komplementation des Mutantenphänotyps zu erzielen, wurde das Wildtypgen mit verschiedenen Tags in die Mutanten über *floral dip* stabil eingebracht (siehe Kapitel 4.2.7). Allerdings konnten mittels BASTA-, bzw. Kanamycin-Selektion in der T1-Generation keine positiven Pflanzen selektioniert werden. Da die *artificial micro* RNA-Daten einen unabhängigen Nachweis des Genortes lieferten, wurde von weiteren Komplementationsversuchen Abstand genommen.

2.3.6 Metabolitmessungen

2.3.6.1 Messung des Cholingehaltes

Die TAIR-Annotation von *CHER1* als „*Plasma-membrane choline transporter family protein*“ (http://www.arabidopsis.org/servlets/TairObject?type=locus&name=AT3G15380&sub_type=gene&term) warf die Frage auf, ob die CholinKonzentration in der Mutante verändert ist. Um zu überprüfen, ob sich der Defekt in dem putativen Cholintransporter *CHER1* in einem entwicklungs-abhängigen Prozess auf die Pflanze auswirkt, wurden Blätter verschiedener Entwicklungsstadien von acht Wochen alten Pflanzen der Linien Col-0, Col-16 und SO15A beprobt. Hierfür wurden jeweils fünf Gruppen aus fünf Individuen erzeugt, wobei pro Individuum drei Blätter verwendet wurden, und das Gewicht der Blattproben bestimmt. Als Sinkblätter wurden jeweils Blatt #5, 6 und 7 geerntet, als Sourceblätter die größten Blätter und als seneszenten Blätter die ältesten Blätter mit beginnenden Chlorosen. Bei der Cholinmessung zeigte sich, dass der Cholingehalt in der Mutante SO15A in Sourceblättern und seneszenten Blättern etwa 2-fach im Vergleich zu Col-0 und Col-16 erhöht war, während in Sinkblättern keine signifikanten Unterschiede festzustellen waren (Abbildung 29). Es blieb aber weiterhin unklar, ob *CHER1* als Importer

oder Exporter für Cholin fungiert und folglich blieb auch die Frage offen, in welchem subzellulären Kompartiment der Zelle Cholin akkumuliert.

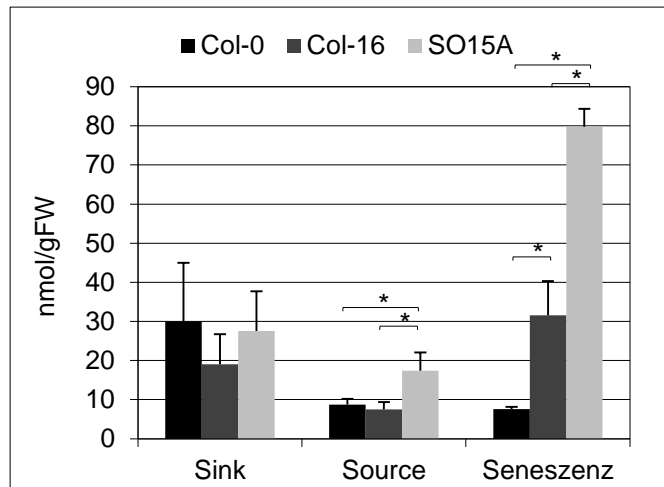


Abbildung 29: Quantifizierung des Cholingehaltes in Col-0, Col-16 und SO15A. Abgebildet sind Mittelwerte des Cholingehaltes +/- Standardabweichung von je vier oder fünf Probengruppen (je 5 Individuen; Alter 8 Wochen) pro Linie und Entwicklungsstadium (Sink, Source, Seneszenz); *: $P \leq 0,05$ bestimmt mit einem modifizierten T-Test nach Student; die Messung wurde von Dr. Jörg Hofmann durchgeführt.

2.3.6.2 Messung der Fettsäuren

Phosphatidylcholin ist das Hauptphospholipid in Tieren und Pflanzen, insbesondere in der Plasmamembran und wird u.a. aus freiem Cholin gebildet (<http://lipidlibrary.aocs.org/lipids/pc/index.htm>). Somit könnte der in der Mutante SO15A beobachtete Phänotyp, d.h. sowohl die extreme Wachstumsretardierung als auch die stark reduzierte MP17:GFP Fluoreszenz an PD, auf eine Veränderung in der Membranzusammensetzung zurückzuführen sein. Um einen ersten Hinweis auf eine veränderte Membranzusammensetzung zu bekommen, wurde zunächst analysiert, ob die Zusammensetzung der Fettsäuren in der Mutante SO15A und der T-DNA Insertionslinie *cher1-4* im Vergleich zu Col-0 und Col-16 verändert ist. Hierfür wurde von Jörg Hofmann ein Protokoll zur Isolation und Messung von Fettsäuren etabliert (siehe Kapitel 4.2.12).

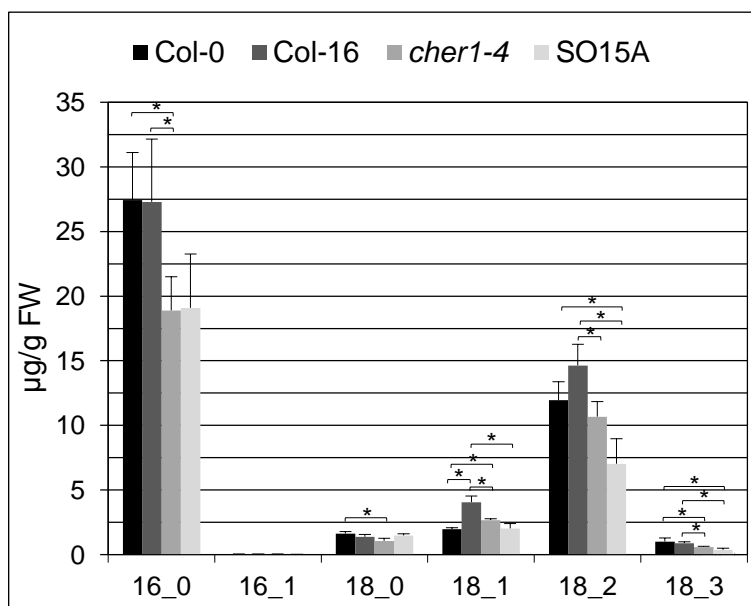


Abbildung 30: Messung des Fettsäuregehalts in Plasmamembranpräparationen von Col-0, Col-16, SO15A und *cher1-4*. Gemessen wurden aufgearbeitete Blattproben 13 Wochen alter Pflanzen von je 4 Individuen der Linien Col-0, Col-16, SO15A und *cher1-4*; die Messung wurde von Dr. Jörg Hofmann durchgeführt.

Die Ergebnisse (siehe Abbildung 30) deuteten darauf hin, dass Palmitinsäure (16:0) in der Mutante SO15A und der T-DNA Insertionslinie *cher1-4* im Vergleich zu Col-0 und Col-16 deutlich reduziert ist. Ein ähnlicher Trend zeigte sich in der Plasmamembranpräparation auch bei den anderen gemessenen Fettsäuren mit Ausnahme von 18:0. Für 18:1 Fettsäuren tritt dieser Effekt im Vergleich zu Col-16 noch deutlicher auf, allerdings liegt der Wert für Col-0 hier ebenfalls im Bereich von SO15A und *cher1-4*.

2.3.6.3 Messung der Phospholipide

Wie soeben beschrieben, ergab eine Messung der Fettsäuren, dass Palmitinsäure (16:0) in der Mutante SO15A und *cher1-4* reduziert ist. Um die genaue Bedeutung dieses Ergebnisses für die Zusammensetzung der Plasmamembran zu ermitteln, erfolgte im Anschluss eine Messung der Gehalte verschiedener ausgewählter Phospholipide in der T-DNA Insertionslinie *cher1-4* und der Mutante *cher1-5* (Erläuterung siehe Kapitel 2.3.4, Anhang Tabelle 22) im Vergleich zu Col-0 (Abbildung 31). Tatsächlich war der Gehalt an Phosphatidylcholin 759,0 in den CHER1-Mutanten im Vergleich zu Col-0 signifikant um etwa 14 % reduziert. Im Gegensatz dazu zeigte der Gehalt an Phosphatidylethanolamin 718,7 eine dementsprechende Erhöhung.

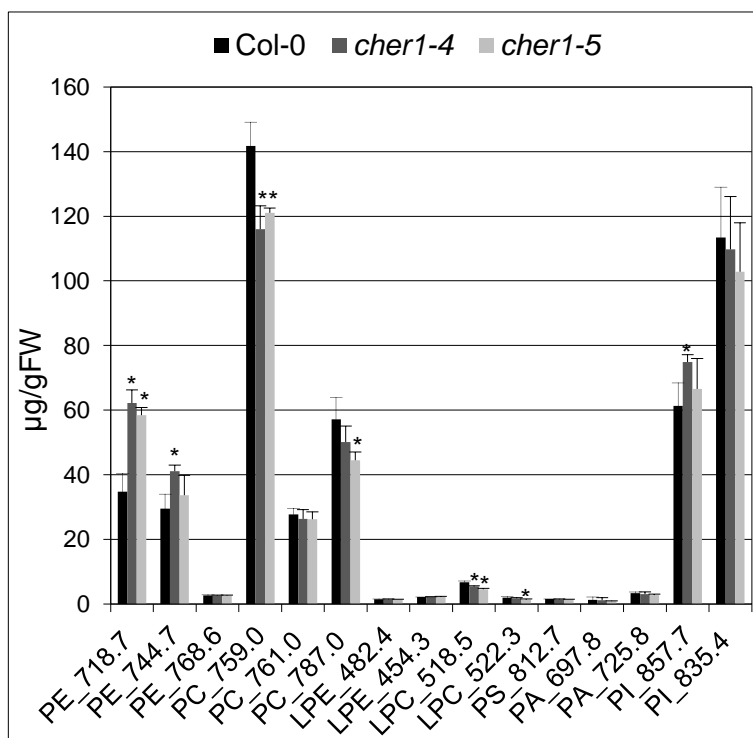


Abbildung 31: Konzentration ausgewählter Phospholipide in CHER1-Mutanten. Abgebildet sind Mittelwerte + Standardabweichung der verschiedenen Phospholipide; gemessen wurden 4 oder 5 Proben Gruppen (je 5 Individuen; Alter der Pflanzen: 8 Wochen) pro Linie. *: $P \leq 0,05$ bestimmt mit einem modifizierten T-Test nach Student; PE: Phosphatidylethanolamin; PC: Phosphatidylcholin; LPE: Lysophosphatidylethanolamin; LPC: Lysophosphatidylcholin; PS: Phosphatidylserin; PA: Phosphatidsäure; PI: Phosphatidylinositol

Weiterhin war die Konzentration an Lysophosphatidylcholin 518,5 in den CHER1-Mutanten signifikant verringert. Dieses Ergebnis unterstützt die Hypothese, dass CHER1 als Cholinimporter fungieren könnte, der das durch Hydrolyse von Phosphatidylcholin

durch die Phospholipase C oder D im Apoplasten entstandene Cholin in die Zellen transportiert, um daraus wieder Phosphatidylcholin zu regenerieren.

2.3.7 Keimlingsversuche

2.3.7.1 Propiconazol-Assay

Bei Betrachtung des Phänotyps in der T-DNA Insertionslinie *cher1-4* sowie der Mutante SO15A fiel die Ähnlichkeit zu Brassinosteroidmutanten auf (Clouse, 2011). Deshalb galt es zu untersuchen, ob die starke Verminderung der plasmodesmalen Lokalisation von MP17 in der Mutante SO15A durch die Hemmung der Brassinosteroid-Biosynthese in Col-16 phänokopiert werden kann. Hartwig et al. (2012) konnten zeigen, dass die Triazol-Verbindung Propiconazol in einer Konzentration von 2 μ M die Brassinosteroid-Biosynthese inhibiert. Aus diesem Grund wurden Col-16 Samen auf MS-Platten ohne und mit 2 μ M Propiconazol ausgebracht und nach zehn Tagen mittels KLSM analysiert. Die mit dem Inhibitor behandelten Keimlinge zeigten eine deutliche Wachstumsverzögerung sowie verkürzte Wurzeln (siehe Abbildung 32). Jedoch konnte weder in Kotyledonen noch in Sourceblättern ein Unterschied zwischen unbehandelten und behandelten Proben in Bezug auf die MP17 Lokalisation festgestellt werden (Abbildung 32).

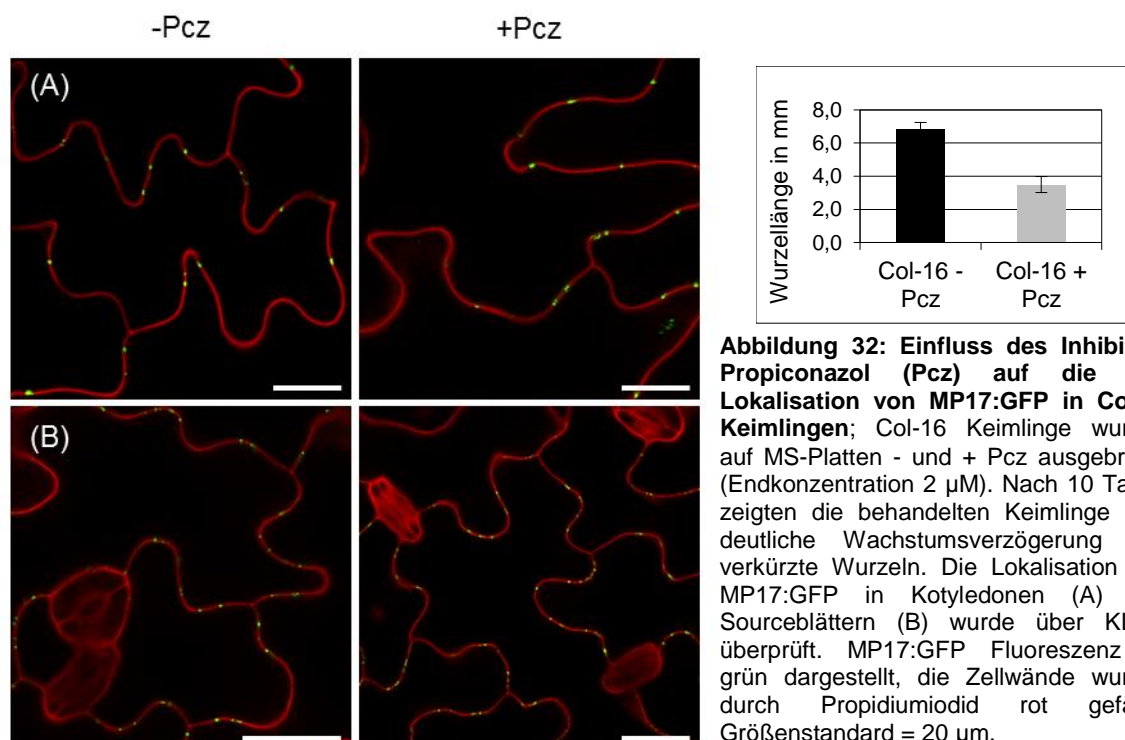


Abbildung 32: Einfluss des Inhibitors Propiconazol (Pcz) auf die PD-Lokalisation von MP17:GFP in Col-16 Keimlingen; Col-16 Keimlinge wurden auf MS-Platten - und + Pcz ausgebracht (Endkonzentration 2 μ M). Nach 10 Tagen zeigten die behandelten Keimlinge eine deutliche Wachstumsverzögerung und verkürzte Wurzeln. Die Lokalisation von MP17:GFP in Kotyledonen (A) und Sourceblättern (B) wurde über KLSM überprüft. MP17:GFP Fluoreszenz ist grün dargestellt, die Zellwände wurden durch Propidiumiodid rot gefärbt; Größenstandard = 20 μ m.

2.3.7.2 Fenpropimorph-Assay

Sterole gehören zur Familie der Isoprenoide und sind als Membrankomponenten essentiell für Tiere und Pflanzen (He et al., 2003). Da eine Veränderung des Cholingehaltes in der Zelle sich auch auf die Sterolsynthese auswirken könnte, wurde zusätzlich ein Keimlingsversuch mit Fenpropimorph (FEN) durchgeführt. FEN dient als ein spezifischer Inhibitor der Sterolsynthese, genauer der Sterol C-14 Reduktase und beeinflusst das Wachstum von Arabidopsiskeimlingen bei einer Konzentration von 1 μ M (He et al., 2003; Schrick et al., 2004). Würde die veränderte Membranzusammensetzung in der Mutante SO15A auch die Sterolsynthese beeinflussen, könnte der Phänotyp möglicherweise durch eine Inhibierung der Sterolsynthese imitiert werden. Zu diesem Zweck wurden Col-16 Samen auf MS-Platten ohne und mit dem Inhibitor FEN (Endkonzentration von 1 μ M) ausgebracht. Die mit dem Inhibitor behandelten Keimlinge zeigten eine deutliche Wachstumsverzögerung (Abbildung 33).

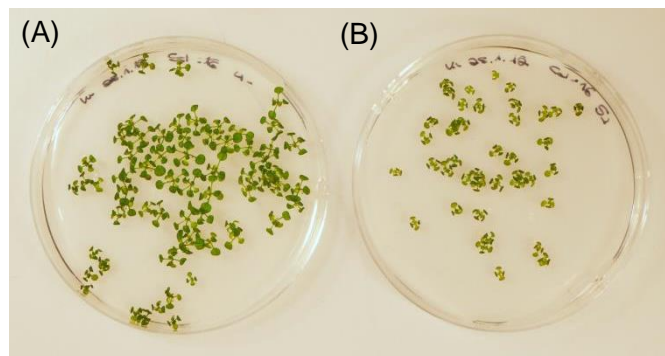


Abbildung 33: Einfluss des Inhibitors Fenpropimorph (FEN) auf das Wachstum von Col-16 Keimlingen. Col-16 Keimlinge wurden auf MS-Platten (A) ohne und (B) mit FEN (Endkonzentration 1 μ M) ausgebracht. Nach 19 Tagen zeigten die behandelten Keimlinge im Vergleich zu den Keimlingen auf den Kontrollplatten eine deutliche Wachstumsverzögerung.

Nach 19 Tagen wurden die Keimlinge mittels KLSM analysiert (siehe Abbildung 34). In Kotyledonen und in Sinkblättern konnte jedoch kein Unterschied in der MP17:GFP Fluoreszenz an PD beobachtet werden. Die Sourceblätter waren jedoch durch den Einfluss des Inhibitors so stark verkümmert, dass die Mikroskopie keine klaren Aussagen zuließ. Die Tatsache, dass in Kotyledonen kein Unterschied beobachtet werden konnte, könnte jedoch daraus resultieren, dass die für Keimung benötigten Speicherstoffe alle aus dem Samen bezogen werden und sich die Inhibierung der Sterolsynthese erst später auswirkt. Aus diesem Grund wurden die Keimlinge der Kontrollplatten ohne FEN im Alter von 23 Tagen auf MS-Platten mit Inhibitor umgesetzt und nach weiteren zwei Wochen die Sourceblätter mittels KLSM untersucht. Allerdings konnte auch hier keine veränderte MP17:GFP Fluoreszenz an PD detektiert werden (Abbildung 34).

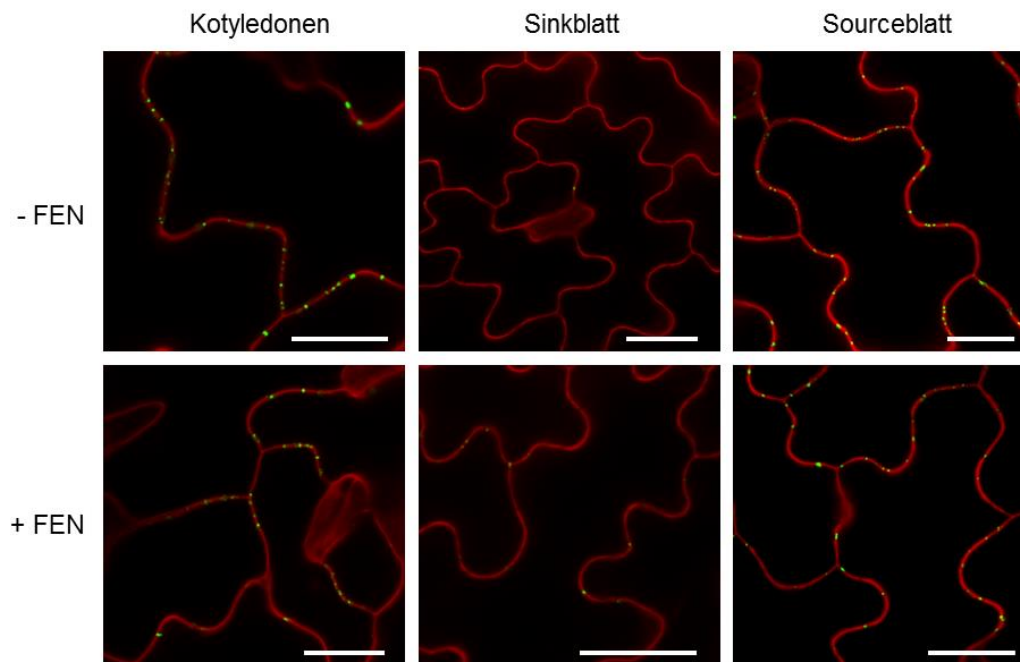


Abbildung 34: Einfluss von Fenpropimorph auf die plasmodesmale Lokalisation von MP17:GFP in Col-16 Keimlingen. Col-16 Keimlinge wurden auf MS-Platten - und + FEN (Endkonzentration von 1 μM) ausgebracht. Nach 19 Tagen wurde die Lokalisation von MP17:GFP in Kotyledonen und Sinkblättern über KLSM überprüft. Keimlinge auf den Kontrollplatten wurden im Alter von 23 Tagen auf Platten + FEN umgesetzt und nach weiteren 14 Tagen die Sourceblätter analysiert. MP17:GFP Fluoreszenz ist grün dargestellt, die Zellwände wurden durch Propidiumiodid rot gefärbt; Größenstandard = 20 μm

2.3.8 Differentiell regulierte endogene Transkripte in CHER1-Mutanten

In Anbetracht des ausgeprägten Phänotyps der CHER1-Mutanten, sollte als nächstes überprüft werden, ob fundamentale Unterschiede in der Genexpression vorliegen. Hierfür wurde eine Mikroarrayanalyse mit den Arabidopsislinien Col-0, *cher1-4* und *cher1-5* durchgeführt. Eine Clusteranalyse unter Verwendung des hierarchischen Clusteralgorithmus und der „*Pearson uncentered correlation*“ in GENESPRING XII (AgilentTechnologies, <http://www.chem.agilent.com>) zeigte, dass das Genexpressionsmuster der beiden CHER1-Mutanten eindeutig von der Kontrolllinie Col-0 unterschieden werden kann. Die Identifikation differentiell regulierter Gene zwischen *cher1-4*, *cher1-5* und Col-0 (≥ 2.0 -fold change und $p \leq 0.05$) erfolgte durch eine Filterung des erhaltenen Datensatzes mittels *T-Tests unpaired* und Benjamini Hochberg Korrektur. Die weiteren Analysen basierten auf der Annahme, dass diejenigen Gene, die für den charakteristischen Phänotyp verantwortlich sind, sowohl in *cher1-4* als auch in *cher1-5* gegenüber Col-0 differentiell exprimiert sein sollten. Durch Erstellen eines Venn-Diagramms aus den 1540 deregulierten Features für *cher1-5* und den 1317 deregulierten Features für *cher1-4*, verblieben insgesamt 960 Mikroarray-Elemente, die in beiden

Mutanten im Vergleich zum Wildtyp differenziell reguliert sind (Abbildung 35, Liste siehe Anhang Tabelle 23).

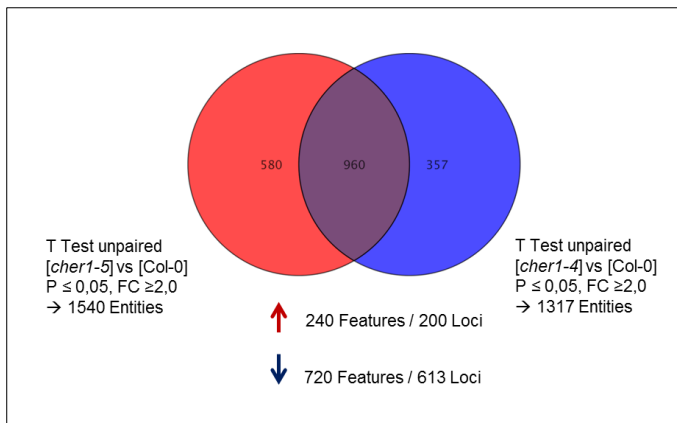


Abbildung 35: Venn-Diagramm zur Identifizierung von Features, die sowohl in *cher1-4* als auch in *cher1-5* im Vergleich zu *Col-0* differenziell reguliert sind. Von 1540 deregulierten Features für *cher1-5* und 1317 deregulierten Features für *cher1-4* konnten insgesamt 960 Kandidaten identifiziert werden, die in beiden Mutanten im Vergleich zu *Col-0* differenziell reguliert sind.

Davon waren insgesamt 240 Features hochreguliert und 720 Features herunterreguliert und konnten 200, bzw. 613 Genorten (Loci) zugeordnet werden. Um einen ersten Einblick zu bekommen, welche Prozesse angereichert sind, wurde eine funktionelle Kategorisierung durchgeführt (Abbildung 36).

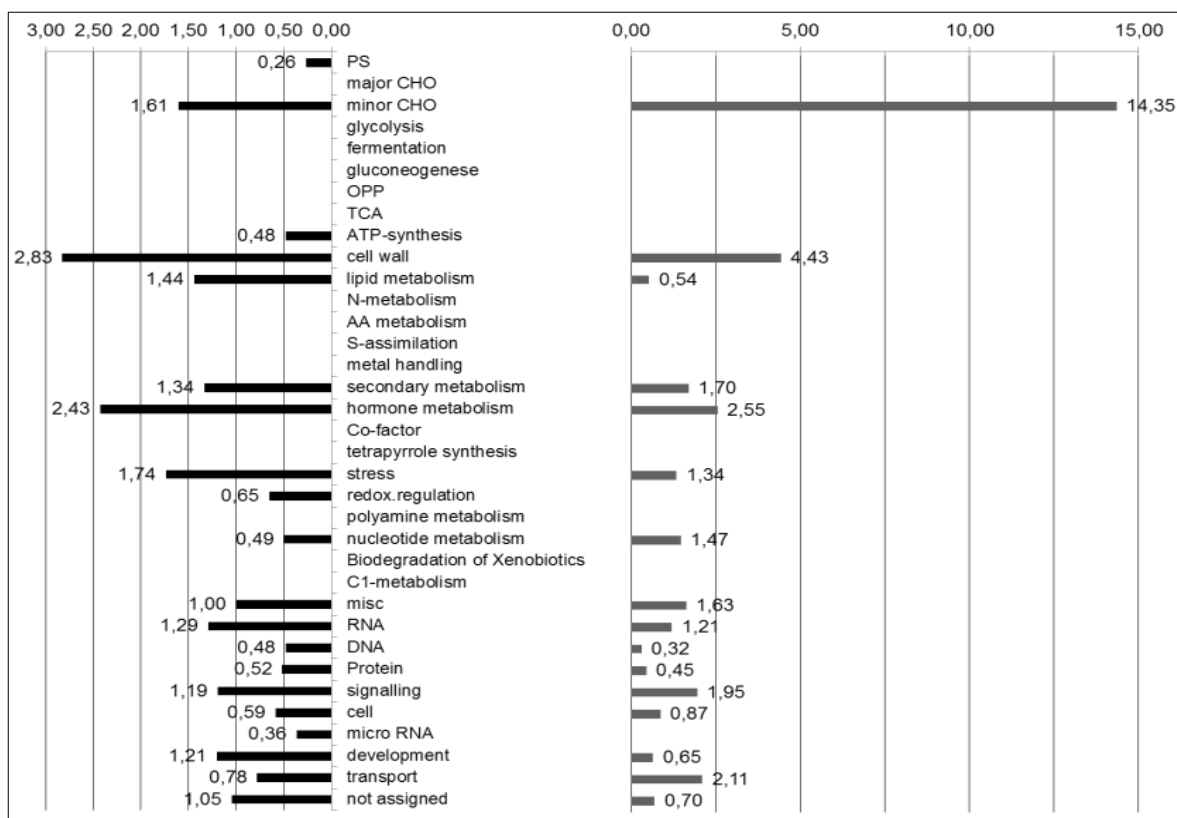


Abbildung 36: Funktionelle Kategorisierung der deregulierten Transkripte. Die funktionelle Kategorisierung wurde unter Verwendung der MAPMAN bins (<http://mapman.gabipd.org/web/guest/mapman>) durchgeführt. Hierfür wurde der Prozentsatz der signifikant regulierten Features für eine spezifische funktionelle Gruppe relativ zum Prozentsatz der Features der jeweiligen Gruppe auf dem gesamten Chip bestimmt.

Diese zeigte jedoch eine ähnliche Verteilung der angereicherten Kategorien für die Überkategorien „hochreguliert“ und „herunterreguliert“. Aufgrund der veränderten Membranzusammensetzung wurde zunächst die Kategorie Lipide sowie differentiell regulierte Gene, die potentiell am Lipidmetabolismus beteiligt sind, näher analysiert (siehe Anhang Tabelle 21). Hier fiel eine Herunterregulierung von *At5g63770*, welches für eine Diacylglycerolkinase kodiert, auf. Diese phosphoryliert Diacylglycerol (DAG) und ist dadurch an der Bildung von Phosphatidsäure (PA), einem wichtigen *lipid messenger*, beteiligt. Ebenso war der Transkriptlevel für *At3g63200* verringert, wobei das durch *At3g63200* kodierte PATATIN-like protein 9 an der Produktion von Lysophospholipiden und freien Fettsäuren beteiligt ist (Ryu, 2004). Interessanterweise konnte auch bei *downstream targets* von PA eine beachtliche Herunterregulierung beobachtet werden, v.a. für Gene Ethylen-abhängige Prozesse, Abwehr-assoziierte Prozesse, sowie in den Bereichen *signalling* und Vesikeltransport. Bei einem Abgleich mit dem Kapitel „Acyl-Lipid-Metabolism“ des Arabidopsis Book (Li-Beisson et al., 2013) fiel eine vermehrte Herunterregulierung von Genen, die potentiell an der Synthese von sehr langkettigen Fettsäuren (*very long chain fatty acids*, VLCFA), kutikularen Wachsen und Suberin beteiligt sind, auf. Ebenso waren Gene der Sterolsynthese und potentiell *lipid raft* assoziierte Proteine betroffen. Im Gegensatz dazu ließen sich die hochregulierten Gene in dieser Kategorie keiner eindeutigen Gruppe zuordnen.

Anschließend wurden die restlichen Kategorien näher analysiert. Hier stach vor allem eine vermehrte Herunterregulierung für Gene, die an der Xylementwicklung wie auch dem Zellwand- und Ligninmetabolismus beteiligt sind, ins Auge. So waren die Expressionshöhen des Transkriptionsfaktors Myb46, dem Masterregulator der Sekundärzellwandsynthese, sowie von 20 aus insgesamt 37 putativen Zielgenen von Myb46 in den *CHER1* Mutanten verringert (Kim et al., 2012). Ebenso zeigte sich eine Herunterregulierung von neun von insgesamt 17 in Arabidopsis vorkommenden Laccasen. In der Liste der hochregulierten Gene fiel besonders SAG29 auf, dessen Expression in *cher1-5* 169,7-fach und in *cher1-4* 80,6-fach im Vergleich zu Col-0 erhöht war. SAG29, der auch unter dem Namen AtSWEET15 bekannt ist, gehört zur Familie der Sweet Zuckertransporter und zeigt in Blättern eine 22-fache Induktion während der Seneszenz (Chen et al., 2010). Weiterhin auffällig war eine Hochregulierung von Transkripten, die an der ER-Stressreaktion und der *ER unfolded protein response* beteiligt sind, sowie von sechs Monothiol Glutaredoxinen.

3 Diskussion

3.1 Wodurch wird die PD-Lokalisation von MP17 vermittelt?

Virale Movementproteine (MP) sind aufgrund ihrer Lokalisation an Plasmodesmata (PD) sowie der Fähigkeit diese Zell-zu-Zell Kontakte zu modifizieren ein wichtiges Analysewerkzeug für die Identifizierung von PD-Komponenten. Der weltweit erste identifizierte Virus ist der Pflanzenvirus *Tobacco mosaic virus* (TMV) (Stanley, 1935). So überrascht es nicht, dass dessen Movementprotein, TMV MP30, das Modelprotein für eine Vielzahl an Studien zu viralen Movementproteinen wurde. Im Gegensatz dazu ist nur sehr wenig über das Movementprotein des *Potato leafroll virus*, PLRV MP17, seine funktionellen Domänen sowie dessen PD-Targeting Mechanismus bekannt. Frühe Studien konnten mittels Deletionsanalysen die Nukleinsäurebindeaktivität des C-terminalen Teils (AS 57-156) nachweisen (Tacke et al., 1991). Weiterhin wurde über zielgerichtete Mutagenese eine putative N-terminale amphiphatische Alphahelix (AS 38-54) identifiziert, die für die Dimerisierung des Proteins *in vivo* von Bedeutung ist (Tacke et al., 1991; Tacke et al., 1993).

3.1.1 PD-Targeting der MP17-Deletionsvarianten

Basierend auf den in Absatz 2.1 beschriebenen Deletionsanalysen, konnte im Rahmen dieser Arbeit gezeigt werden, dass der MP17 C-Terminus (AS110-156) zwar essentiell für das PD-Targeting des Movementproteins ist, alleine jedoch nicht dafür ausreicht. PD-Targetingmotive wurden bereits in anderen Studien auf diese Weise getestet. So vermittelte die Transmembrandomäne von PDLP1, dem bislang einzigen PD-Protein mit Rezeptorfunktion für virale MP, eine vollständige PD-Lokalisation des entsprechenden YFP-Fusionsproteins (Thomas et al., 2008). Im Gegensatz dazu konnte ein kurzes identifiziertes PD-Targetingmotiv des Kürbis Phloemproteins Hsc70-1 (*heat shock cognate 70-1*) alleine nicht die gewünschte PD-Interaktion des GFP-Fusionsproteins bewirken, wohingegen für eine heterochimäre Fusion des Motivs mit dem humanen Hitzeschockprotein 70 eine Zell-Zell Verbreitung beobachtet werden konnte (Aoki et al., 2002). Dies deutet darauf hin, dass für einige Proteine zusätzlich zu bestimmten identifizierten Motiven oftmals weitere Motive und/oder korrekte Tertiärstrukturen notwendig sein könnten, um eine PD-Lokalisation zu gewährleisten. Für MP17 lokalisiert erst die Deletionsvariante MP17 Δ 1-27 wieder an PD. Dies könnte ein Indiz dafür sein, dass auch in diesem Fall kürzere Varianten nicht richtig gefaltet sind. Eine weitere

Ursache könnte darin bestehen, dass ein zweites, für das Targeting notwendiges Signal innerhalb der DDII (AS 30-37) vorliegt. Die Ergebnisse dieser Arbeit deuten demnach daraufhin, dass für die plasmodesmale Lokalisation von MP17 sowohl der zweite unstrukturierte Bereich im N-Terminus des Proteins als auch der C-terminale unstrukturierte Bereich von Bedeutung sind. Vorstellbar wäre in diesem Zusammenhang, dass es durch eine Wechselwirkung zwischen bestimmten Aminosäuren zur Ausbildung spezieller Tertiärstrukturen kommt, welche für die PD-Lokalisation von MP17 von Bedeutung sind.

Überraschenderweise zeigten die Deletionsanalysen auch eine Lokalisation in Chloroplasten für drei der analysierten MP17-Deletionsvarianten und im Einklang damit versteckte Chloroplastentransitpeptide innerhalb des Proteins. Dieses Ergebnis könnte auf einen evolutionären Zusammenhang zwischen endosymbiontischer und interzellulärer Kommunikation sowie den entsprechenden Signalsequenzen für Proteintargeting hindeuten. Um zu überprüfen, ob diese Beobachtung spezifisch für MP17 war, wurden in Kooperation mit Heinrich Sticht (Bioinformatik, Institut für Biochemie) 4002 *E.coli* K12 Proteine auf die Anwesenheit potentieller Chloroplastentransitpeptide untersucht. Dabei wurde für 163 Kandidaten ein potentielles Chloroplastentransitpeptid mit Werten zwischen 0,5 und 0,56 vorhergesagt (Heinrich Sticht, persönliche Kommunikation). Demzufolge sind derartige versteckte potentielle Targetingsignale vermutlich weitverbreitet und nicht spezifisch für virale MP.

3.1.2 Phosphorylierung von MP17 ist essentiell für dessen PD-Lokalisation

Die Bedeutung von Phosphorylierungen für die Lokalisation und Funktion von viralen MP konnte bereits in verschiedenen Studien belegt werden (Lucas und Lee, 2004). Für TMV MP30 konnte eine Phosphorylierung sowohl *in vitro* durch eine Kinase in Zellwandfraktionen aus Tabakblättern als auch *in vivo* in Protoplasten aus Tabak BY2-Suspensionzellkulturen bestätigt werden (Watanabe et al., 1992; Citovsky et al., 1993). Der Effekt dieser posttranslationalen Modifikation auf die Proteinfunktion beschränkt sich allerdings nicht nur auf virale Movementproteine. Lee et al. (2005) identifizierten die PD-assoziierte Kinase PAPK1 aus Arabidopsis, bzw. PAPK aus Tabak, wobei PAPK neben TMV MP30 auch das endogene NCAP LEAFY phosphorylieren konnte. Die Phosphorylierung des Kürbis NCAP Cm-PP16-1 (*Cucurbita maxima phloem protein 16*) ist sogar eine Voraussetzung für dessen Vermögen, das SEL der PD zu modifizieren (Taoka et al., 2007). Weiterhin ist die Phosphorylierung des Kapsidproteins des *Potato virus A* sowie des *Bamboo mosaic virus* durch die Proteinkinase CK2 essentiell für die

Virusverbreitung (Ivanov et al., 2003; Hung et al., 2014). Gleichermaßen ist die Phosphorylierung von TGBp1 des Potexvirus *Potato virus X* durch eine CK2-Kinase an der Regulation der PVX-Verbreitung beteiligt (Módena et al., 2008; Verchot-Lubicz et al., 2010). Die Kinase NsAK scheint wiederum ein Regulator des *nuclear shuttle proteins* des *Cabbage leaf curl virus* und somit auch der Virusverbreitung zu sein (Florentino et al., 2006). Die so eben erwähnten Studien deuten auf einen generellen Mechanismus hin, der die Phosphorylierung von Proteinen, die zu/über PD transportiert werden, beinhaltet.

Auch für MP17 konnte eine Phosphorylierung *in planta* nachgewiesen werden (Tacke et al., 1993). Mittels Expression verkürzter MP17-Versionen in *E. coli* und anschließender Inkubation mit Membranpräparationen der Kartoffel oder Proteinkinasen grenzten Sokolova et al. (1997) die Region der Phosphorylierung zwischen AS 55-95 ein. In Vorarbeiten zu dieser Arbeit gelang es, die *in planta* Phosphorylierung von MP17 zu bestätigen, nachdem ein λ -Phosphatase-Verdau von aus Arabidopsis aufgereinigtem MP17:HIS zu einem Mobilitätsshift in der SDS-PAGE führte. Weiterhin konnten für MP17 über Massenspektroskopie insgesamt vier phosphorylierte Serinreste (S) - S71, S79, S137 und S140 - identifiziert werden (Vogel, 2009; Link et al., 2011). Die Bedeutung der Phosphorylierung für die plasmodesmale Lokalisation von MP17 sollte daraufhin in dieser Arbeit mittels Mutantanalysen untersucht werden. Ähnliche Studien wurden bereits für TMV MP30, das MP des *Abutilon mosaic virus*, TGBp3 - eines der Movementproteine des *Potato mop-top virus* - und das MP des *Tomato mosaic virus* durchgeführt (Kawakami et al., 1999; Waigmann et al., 2000; Karger et al., 2003; Trutnyeva et al., 2005; Kleinow et al., 2009; Samuilova et al., 2013). S71 und S79 von MP17 lokalisieren in der vorhergesagten globulären Domäne, S137 und S140 dagegen im unstrukturierten C-Terminus. Über eine PCR-Mutagenese erfolgte der Austausch der beiden Serinpaare inklusive der benachbarten Serine und Threonine, die ersatzweise phosphoryliert werden könnten, gegen Alanin. Es konnte gezeigt werden, dass die Phosphorylierung von S71 und S79 essentiell für die PD-Lokalisation von MP17 ist, wohingegen die Phosphorylierung von S137 und S140 keinen Einfluss auf das PD-Targeting ausübte. Die Alaninsubstitution von S71/S79 führte stattdessen zu beweglichen MP17:GFP Aggregaten variierender Größe im Cytoplasma sowie entlang der Zellperipherie. Dies könnte darauf hindeuten, dass der Transport zu PD nicht vollständig beeinträchtigt ist, sondern vielmehr die stabile Assoziation der MP17-Phosphorylierungsmutante an PD. Ähnliche Strukturen wurden von Grefen et al. (2010) beschrieben, als sie die Lokalisierung von SYP121:GFP Fusionsproteinen unter der Kontrolle des CaMV35S-Promotors untersuchten. Die Expression des Fusionsproteins unter Kontrolle des UBI10 Promotors führte jedoch zu einem Verlust der beobachteten Aggregate. Die Autoren schlussfolgerten, dass die

mobilen Aggregate sogenannte *inclusion bodies* darstellten, welche aus der starken Überexpression durch den 35S-Promotor resultierten. In diesem Zusammenhang ist es vermutlich eher unwahrscheinlich, dass die für MP17A69-81 beobachteten Aggregate Bestandteil der normalen PD-Transportroute in Richtung Zellperipherie sein könnten.

Analysen des TMV MP30 ergaben, dass eine initiale Phosphorylierung des Movementproteins dessen PD-Targeting erhöht, während eine weitere Phosphorylierung, die möglicherweise während der PD-Passage erfolgt, der Ablösung des Proteins von den PD dient (Trutnyeva et al., 2005). Diese Hypothese wurde von Karpova et al. unterstützt, die zeigen konnten, dass TMV MP30 Ribonukleoproteinkomplexe *in vivo* translatierbar waren, jedoch nicht *in vitro*, außer es erfolgte deren Phosphorylierung (Karpova et al., 1997; Karpova et al., 1999). In diesem Zusammenhang wäre es denkbar, dass sequentielle Phosphorylierungen von Movementproteinen deren Targeting und Funktion beeinflussen. Eine initiale Phosphorylierung wäre demnach für den Transport zu PD oder die Lokalisation an PD und somit auch für den Zell-zu-Zell Transport viraler Ribonukleoproteinkomplexe notwendig. Eine weitere Phosphorylierung während der PD-Passage hätte dann die Dissoziation des MP von der viralen RNA zur Folge, was wiederum deren erneute Translation in der nächsten Zelle ermöglichen würde (Karpova et al., 1999; Waigmann und Citovsky, 2001; Trutnyeva et al., 2005). Weiterhin wäre es möglich, dass die zweite Phosphorylierung die Ablösung des MP von PD, bzw. die Inaktivierung des MP zur Folge hätte, was einen wichtigen Prozess für den Wirt darstellen würde, um die Kontrolle über den plasmodesmalen Transport zurückzugewinnen (Citovsky et al., 1993; Waigmann et al., 2000). In Übereinstimmung mit diesen Beobachtungen, befinden sich alle vier phosphorylierten Serine des MP17 in der von Tacke et al. (1991) identifizierten Nukleinsäurebindedomäne. Außerdem könnte dies erklären, warum Sokolova et al. (1997) nur die Phosphorylierung zwischen AS 55-95 identifizieren konnten, jedoch nicht die Phosphorylierung von S137 und S140 im C-Terminus. Letztere würden erst während der PD-Passage erfolgen und könnte dementsprechend durch *in vitro*-Experimente nicht nachgewiesen werden. Diese Hypothese wird durch bioinformatische Analysen unterstützt, die S140 als Target für Casein-Kinase I ähnliche Kinasen (*Casein-kinase I - type kinase*) identifizierte, welche die Konsensussequenz $S/T/Y^P X_{1-2} S/T$ aufweisen. Diese Kinasen phosphorylieren dementsprechend spezifisch Serine oder Threonine, denen N-terminal im Abstand von ein bis zwei Aminosäuren ein weiterer phosphorylierter Aminosäurerest - also Serin, Threonin oder Tyrosin - vorausgeht, was für MP17 durch S137 gegeben ist (Gross und Anderson, 1998). Interessanterweise gehört die in Arabidopsis identifizierte PD-assoziierte Kinase

PAPK1 ebenfalls zur Casein Kinase 1-Familie und kann neben TMV MP30 auch das endogene NCAP LEAFY phosphorylieren (Lee et al., 2005).

Die ermittelte Bedeutung der Phosphorylierungen für die Lokalisation und Funktion von MP17 spiegelt sich auch in der Konservierung der vier phosphorylierten Serinreste wider. So zeigen S71 und 79, deren Phosphorylierung für die PD-Lokalisation essentiell ist, in verschiedenen luteoviralen Movementproteinen eine starke Konservierung. Im Gegensatz dazu ist S140 nur schwach konserviert und S137 spezifisch für MP17. Unter der Annahme, dass S137 und/oder S140 erst während der PD-Passage phosphoryliert werden, um die Dissoziation des MP zu gewährleisten, könnten diese beiden Serine möglicherweise von Bedeutung für die Wirtsspezifität sein. In Übereinstimmung hierzu führte die Imitierung der Phosphorylierung der drei durch Citovski et al. (1993) beschriebenen *in vitro* phosphorylierten Aminosäurereste - Ser-258, Thr-261, und Ser-265- im C-Terminus von TMV MP30 mittels einer Asparaginsäuresubstitution in *Nicotiana tabacum* zu einem Verlust der Fähigkeit, das plasmodesmale SEL zu beeinflussen, jedoch nicht in *Nicotiana benthamiana* (Waigmann et al., 2000).

Zusammenfassend lässt sich also sagen, dass die PD-Lokalisation von MP17 vermutlich nicht durch eine kurze Signalsequenz oder eine bestimmte Domäne vermittelt wird, sondern vielmehr durch das Zusammenspiel von drei Teilen des Proteins: einer N-terminalen Domäne, dem vorhergesagten unstrukturierten Bereich im C-Terminus sowie der Phosphorylierung von S71/S79 in der globulären Domäne. Dies legt die Vermutung nahe, dass hierbei eine komplexe Faltung und/oder Domänenstruktur von Bedeutung sein könnte.

3.1.3 MP17 – ein peripheres Membranprotein?

Das luteovirale Movementprotein MP17 ist, wie in vorherigen Studien gezeigt werden konnte, sehr stark an/in der Zellwand verankert (Vogel, 2009; Hofmann, unveröffentlicht). Dementsprechend kann es nicht durch milde Detergenzien wie z.B. Nonidet-P40 (NP40) solubilisiert werden, sondern nur durch Verwendung von SDS oder 8 M Harnstoff. In diesem Zusammenhang ist es verwunderlich, dass MP17 weder Transmembrandomänen noch eine N-terminale Signalsequenz für den sekretorischen Pathway aufweist - beides Merkmale für integrale Membranproteine, welche die Plasmamembran durchspannen (Marmagne et al., 2007). In Kombination mit den Ergebnissen der Deletionsstudien könnte dies darauf hindeuten, dass MP17 ein peripheres Membranprotein repräsentiert. Im Unterschied zu integralen Membranproteinen weisen periphere Membranproteine nicht die typischen hydrophoben Bereiche auf. Stattdessen wird die PM-Assoziation durch eine

spezifische Domäne vermittelt, wobei die Interaktion auf amphipathischen Helices, hydrophoben Loops, kovalenten Verbindungen an Lipidanker, elektrostatischen Interaktionen mit Lipiden oder Protein-Protein Interaktionen beruhen kann (Marmagne et al., 2007). Ein bedeutsames Beispiel für ein peripheres Membranprotein ist das pflanzenspezifische Raft-assoziierte Remorin. Remorin wurde in einer Vielzahl an Studien in *detergent-insoluble membranes* (DIM) der pflanzlichen PM identifiziert (Mongrand et al., 2004; Shahollari et al., 2005; Morel et al., 2006; Laloï et al., 2007; Lefebvre et al., 2007). Raffaele et al. (2009) konnten zeigen, dass Remorin an die cytosolische Seite der Plasmamembran assoziiert und eine Akkumulation in DIM-Abschnitten zeigt. Durch eine Verminderung der Sterolkonzentration konnte die Clusterbildung innerhalb der PM eliminiert werden. Mittels Kolo-kalisierung mit PDLP1 und Immunogoldlokalisierung konnte zudem die Anwesenheit von Remorin in PD detektiert werden (Raffaele et al., 2009). Als peripheres Membranprotein weist Remorin weder ein Membrantargetingsignal noch putative Transmembrandomänen auf. Die PM-Assoziation des Proteins wird durch einen C-terminalen Anker vermittelt, welcher in einer nicht polaren Umgebung von einer ungeordneten in eine α -helikale Struktur wechselt (Perraki et al., 2012). Bereits in einer frühen Studie wurde auf die Besonderheit der starken PM-Assoziation von Remorin, welches basierend auf der cDNA-Sequenz als hydrophiles Protein klassifiziert wurde, und auf Parallelen zu TMV MP30 verwiesen (Reymond et al., 1996). Bisher wurde TMV MP30 aufgrund der starken Membranassoziation als integrales Membranprotein mit zwei Transmembrandomänen dargestellt (Brill et al., 2000; Fujiki et al., 2006). Eine aktuelle Studie macht jedoch auf die Diskrepanz der vorhergesagten Topologie zu bekannten Interaktionen des Proteins aufmerksam und postuliert für MP30 nun ebenfalls eine periphere Assoziation mit der ER-Membran (Peiro et al., 2014). Das MP des *Prunus necrotic ringspot virus* stellt ein weiteres Beispiel für ein peripheres Membranprotein aus der 30K Superfamilie dar (Melcher, 2000; Martínez-Gil et al., 2009). Weiterhin wurde für die PD-assoziierten Arabidopsis ^{C1}RGPs (*class 1 reversibly glycosylated polypeptides*) eine periphere Assoziation mit der äußeren Golgimembran postuliert (Epel et al., 1996; Sagi et al., 2005; Zavaliev et al., 2010). Nach Fusion der Golgivesikel mit der PM an, bzw. nahe der PD, wären ^{C1}RGPs dann an die cytoplasmatische Seite der PM, möglicherweise sogar innerhalb der PD, angeheftet (Sagi et al., 2005). Interessanterweise resultiert die Überexpression von ^{C1}RGP2 in einer Reduktion der PD-Permeabilität (Zavaliev et al., 2010). Alles in allem verdeutlichen die soeben genannten Beispiele die potentielle Bedeutung peripherer Membranproteine im Plasmodesmata-Kontext.

3.2 Genetische Identifizierung von Elementen des inter- und intrazellulären Makromolekültransportes

Plasmodesmata sind mit Plasmamembran ausgekleideten Poren in der Zellwand, welche einen streng regulierten Transport durch die Pflanze ermöglichen. Demzufolge besitzen sie eine Schlüsselrolle in der Koordination von Pflanzenwachstum und -entwicklung sowie von Abwehrprozessen (Zambryski und Crawford, 2000; Roberts und Oparka, 2003; Kim und Zambryski, 2005). In Anlehnung an den Aufbau des zentralen Elements der Kernpore, dem *nuclear pore complex*, würde man die Anzahl der Proteine, die für die Struktur und Funktion von PD notwendig sind, bzw. PD-assoziiert sind, auf etwa 30-50 Proteine einschätzen (Lim et al., 2008). Doch bis zum heutigen Zeitpunkt, mehr als 100 Jahre nach der Entdeckung der PD, konnten nur wenige wirkliche PD-Proteine identifiziert werden. Die essentielle Bedeutung dieser Zell-Zell Kontakte stellt für die Identifizierung plasmodesmaler Proteine wohl die größte Hürde dar, da davon auszugehen ist, dass das Ausschalten wichtiger PD-Komponenten zur Letalität führt (Roberts und Oparka, 2003) oder dass die Proteine durch teilweise redundante Genfamilien kodiert werden könnten.

3.2.1 Identifizierung von Komponenten des plasmodesmalen Transports

Wie in Kapitel 1.1.5 erwähnt, wurden in bisherigen Studien bereits zwei vorwärts gerichtete genetische Ansätze für die Identifizierung von PD-Komponenten verfolgt, die beide auf einer veränderten Verteilung von fluoreszierenden Indikatoren, genauer GFP und F-Dextran, basierten. Diese führten zur Identifizierung von ISE1 und ISE2, zweier putativer RNA-Helikasen, sowie dem plastidären Thioredoxin GAT1, welche allerdings nur indirekt einen Einfluss auf die PD-Funktion ausüben, v.a. durch die Veränderung der ROS-Konzentration (Kim et al., 2002; Kobayashi et al., 2007; Benitez-Alfonso et al., 2009; Stonebloom et al., 2009; Burch-Smith und Zambryski, 2010). Die Problematik bei der Identifizierung von PD-Proteinen wurde allerdings auch in diesem Fall bestätigt, da selbst das Ausschalten dieser beiden PD-Regulatoren drastische Effekte auf die Pflanzenentwicklung hatte. So war die *ise1*-Mutation embryonal und *gat1*-Mutanten erreichten nur das Keimlingsstadium.

Aus diesem Grund wurde in der vorliegenden Arbeit ein neuer Screeningansatz verfolgt, welcher die Einschränkung, die sogenannte *loss of function* Mutanten aufgrund ihrer Letalität mit sich bringen, zu umgehen versucht. Zu diesem Zweck wurden 3840 Individuen der M2-Generation von bereits in Vorarbeiten beschriebenen EMS-mutagenisierten Col-16-Samen (Hofius, 2003) nach Mutanten mit einer veränderten PD-Bindung, sogenannten *change of function* Mutanten, durchmustert. Dadurch sollten

Mutanten mit einem veränderten plasmodesmalen Transport sowie putative MP17-Rezeptoren oder PD-assoziierte Bindungspartner für MP17 identifiziert werden. Das Screening beinhaltete zwei Durchmusterungsdurchgänge, zum einen nach einer stark reduzierten Lokalisation von MP17:GFP an PD in Sourceblättern und zum anderen nach einer verstärkten Bindung von MP17:GFP an PD in seneszenten Blättern. Der Hauptkandidat für weitere Analysen, die Mutante SO15A, ergab sich aus der ersten Screeningrunde.

3.2.2 Primärcharakterisierung und Marker-gestützte Kartierung der Sourcemutante SO15A

Die Mutante SO15A zeichnete sich durch eine drastische Reduktion der MP17:GFP Fluoreszenz an PD in Sourceblättern und Kotyledonen aus, die jedoch nicht auf eine verminderte Transkript- sowie Proteinmenge zurückzuführen war. Makroskopisch zeigte die Mutante ein stark verzögertes, buschiges Wachstum, welches sich in einem verminderten Rosettenfrischgewicht, einer reduzierten Blattzahl und einem eingeschränkten Wurzelwachstum widerspiegelte. Interessanterweise war der in der Ausgangslinie Col-16 durch MP17 induzierte Kohlenhydratexportblock in der Mutante SO15A trotz der reduzierten MP17:GFP Lokalisation an PD nicht vermindert. Diese drei Merkmale wären auch für eine PD-Mutante zu erwarten. Der Zeitpunkt der Blühinduktion war für SO15A wie auch bei Col-16 im Vergleich zum Wildtyp Col-0 etwa sieben Tage verzögert. Es wurde vermutet, dass die hellgrüne Färbung der Blätter, die in einigen Anzuchten zu beobachten war und sich sogar bis zu einem albinotischen Phänotyp ausweiten konnte, auf eine fehlerhafte Photosynthese zurückzuführen sei. Bei der Überprüfung der Intaktheit des Photosystems II mittels PAM-Messung konnte allerdings keine Beeinträchtigung der Elektronentransport-Kapazität für SO15A im Vergleich zu Col-0 und Col-16 festgestellt werden.

Durch eine Marker-gestützte Kartierung (Jander et al., 2002) unter Verwendung von SSLP- und CAPS-Markern konnte der genomische Bereich, der die für den Phänotyp verantwortliche Mutation beinhalten sollte, zwischen der Position 4862259 bp und 5264625 bp auf Chromosom 3 eingeschränkt werden. Dieser Abschnitt entspricht 402 kb und enthält 171 annotierte Loci. Da keine weiteren Marker für diesen Bereich zur Verfügung standen, wurde mittels *next generation sequencing* das Genom der Mutante SO15A sequenziert. Dadurch konnte letztendlich *At3g15380* als Mutantenlokus identifiziert werden. *At3g15380* kodiert für ein Protein der Plasmamembran Cholintransporterfamilie namens CHER1 oder ATCTL1. *In silico* Analysen zeigten, dass

diese Familie aus insgesamt sieben Mitgliedern besteht, wobei für sechs der Cholintransporter-ähnlichen Proteine eine Lokalisation an der Plasmamembran vorhergesagt wird (TAIR; <http://www.arabidopsis.org>). Für *CHER1* wurde zusätzlich zur PM-Lokalisation eine Lokalisation an PD postuliert (Benschop et al., 2007; Fernandez-Calvino et al., 2011).

3.2.3 Eine Herunterregulierung des *CHER1* Transkriptlevels phänokopiert die Mutante SO15A

Zur Bestätigung der *CHER1* Genidentität wurde die T-DNA Insertionslinie SALK_065853C (*cher1-4*) untersucht, bei der die T-DNA Insertion im ersten Intron positioniert ist. Dies führte nicht zu einem kompletten Ausschalten des Gens, sondern stattdessen zu einer starken Herunterregulierung der Transkriptmenge. Ülker et al. (2008) beschrieben bereits, dass durch Insertionen in Introns allelische Serien von *reduced-function* Mutanten, d.h. Mutanten mit reduzierter Funktion, generiert werden können, da die Insertionen je nach Position mit unterschiedlicher Effizienz herausgeschnitten werden können. Homozygote *cher1-4* Mutanten zeigten den gleichen Wachstumsphänotyp wie die Mutante SO15A, waren jedoch geringfügig größer, da diese auf Col-0 Hintergrund basierten. Ebenso war die PD-Lokalisation von MP17:GFP in der Kreuzungslinie Col-16x*cher1-4* sehr stark reduziert. Einen unabhängigen Beweis lieferten zudem durch *artificial micro* RNA generierte *CHER1 knockdown* Pflanzen im Hintergrund von Col-16, die bezüglich Wachstum und PD-Lokalisation das gleiche Ergebnis aufwiesen. Auf diese Weise konnte gezeigt werden, dass der Locus *At3g15380* für das plasmodesmale Targeting von MP17 essentiell ist. Weiterhin konnte eine Auswirkung auf den Zuckertransport bestätigt werden, da auch die T-DNA Insertionslinie *cher1-4* lösliche Zucker und Stärke akkumuliert.

Die Cholintransporterfamilie besteht aus insgesamt sieben Mitgliedern, von denen die meisten auch in der Plasmamembran lokalisiert sein sollen (The Arabidopsis Information Resource (TAIR), www.arabidopsis.org, Aug 07, 2014). Ein phylogenetischer Baum aller Mitglieder ist in Abbildung 37A dargestellt. Bedenkt man diese Tatsache, überrascht es, dass bereits ein *knockdown* von *At3g15380* in *cher1-4* oder den generierten amiRNA-Linien den beobachteten drastischen Phänotyp zur Folge hat. Vergleicht man die Expressionsmuster aller sieben Mitglieder bei Genevestigator, so fällt eine vorherrschende Rolle von *CHER1* auf (<https://www.genevestigator.com/gv>, Abbildung 37B). Somit lässt sich vermuten, dass in vielen Geweben *CHER1* einer der Haupttransporter für Cholin zu sein scheint. In diesem Zusammenhang wurde bisher für

keines der Proteine der Plasmamembran Cholintransporterfamilie Cholintransport-Aktivität gezeigt.

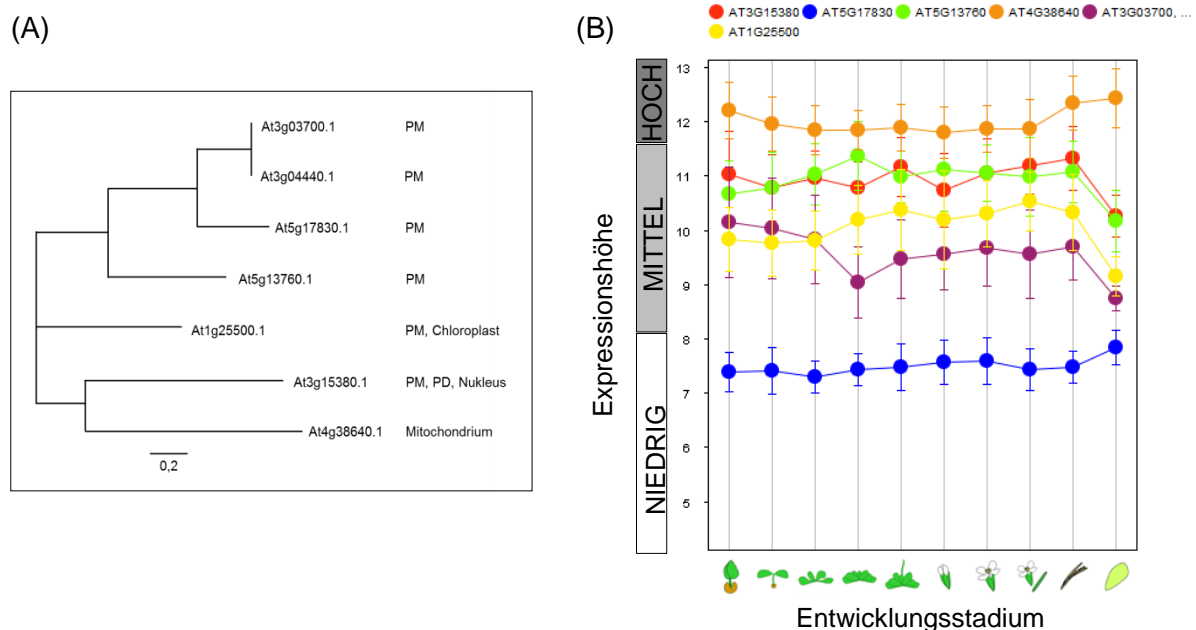


Abbildung 37: Die Plasmamembran Cholintransporterfamilie aus *Arabidopsis thaliana*.

(A) Phylogenetischer Baum der Cholintransporterfamilie aus *Arabidopsis thaliana*. Alignment der Aminosäuresequenzen und Erstellen des phylogenetischen Baums erfolgte unter Verwendung von Geneious 5.6.3. Die bei TAIR (<http://www.arabidopsis.org/>) annotierte Lokalisation ist neben der jeweiligen ATG-Nummer aufgeführt; PM: Plasmamembran, PD: Plasmodesmata. (B) Expressionshöhe der Mitglieder der Cholintransporterfamilie in Abhängigkeit vom Entwicklungsstadium (erstellt durch Genevestigator). Die Expressionshöhe entspricht dem Grad der Signalintensität auf dem Affymetrix Arabidopsis ATH1 Genomarray. AT3G03700 und AT3G04440 wurden dabei zusammengefasst.

Im Gegensatz dazu zeigte das Ausschalten von PDLP1 (*Plasmodesmata-located protein 1*) keine Auswirkungen auf den Phänotyp und erst Doppelmutanten brachten den erwarteten Effekt (Thomas et al., 2008). Gleiches galt auch für das Kallose-assoziierte PDCB (*PD callose-binding protein 1*) (Simpson et al., 2009). Dies deutet auf eine Redundanz von PD-assoziierten Proteinen aus größeren Familien hin, was aufgrund der essentiellen Bedeutung von PD-Komponenten auch durchaus sinnvoll wäre.

3.2.4 Die Mutation in CHER1 verhindert die Plasmamembranlokalisierung des Proteins und führt zu einer veränderten Plasmamembranzusammensetzung

Die CHER1-Lokalisationsstudien mit N-terminalen GFP-Fusionen brachten zum Vorschein, dass GFP:CHER1 an der Plasmamembran sowie an Endosomen-ähnlichen Strukturen lokalisiert, wohingegen GFP:CHER1_G247E im ER akkumuliert. Eine Vorhersage der Transmembrandomänen durch verschiedene Internettools ergab, dass CHER1 zwischen acht und zwölf Transmembrandomänen aufweist. Basierend auf dem

Modell, das auch für die humanen CTL Proteine verwendet wird (Michel und Bakovic, 2012), lokalisiert die G zu A Mutation an Position 5194529 bp in der Mutante SO15A in der zweiten von insgesamt zehn Transmembrandomänen und verursacht den Aminosäureaustausch Glycin zu Glutamat (siehe Abbildung 26). Das Einbringen einer negativen Ladung an dieser Stelle führt also vermutlich zu einer Beeinträchtigung der korrekten Faltung des Proteins, des Exports aus dem ER oder der finalen Integration des Transporters in die Plasmamembran. Gleichermäßen führte die Punktmutation L101P in ABCA3, einem Phospholipidtransporter, zu einer vollständigen Zurückhaltung des Proteins im ER (Weichert et al., 2011).

CHER1 ist bei TAIR als Cholintransporter annotiert. Dies eröffnete die Frage, ob CHER1 tatsächlich als Cholintransporter fungiert und falls ja, als Importer oder Exporter für Cholin. Eine Messung des Cholingehalts ergab eine zweifache Erhöhung in Sourceblättern und seneszenten Blättern in der Mutante *cher1-4* im Vergleich zum Wildtyp. Aber es galt weiterhin zu klären, ob Cholin innerhalb der Zelle oder im Apoplasten akkumuliert, und dementsprechend, ob es sich bei CHER1 um einen Importer oder einen Exporter handelte. Durch eine Messung ausgewählter Phospholipide konnte schließlich eine signifikante Reduktion des Levels an Phosphatidylcholin (PtdCho) 759,0 um etwa 14 % in den CHER1-Mutanten im Vergleich zu Col-0 detektiert werden. Dieses Ergebnis unterstützte die Hypothese, dass CHER1 als Cholinimporter fungieren könnte, der das durch Hydrolyse von Phosphatidylcholin durch die Phospholipase C oder D im Apoplasten entstandene Cholin in die Zellen transportiert, um daraus wieder Phosphatidylcholin zu regenerieren. Der Nachweis der Transportaktivität von CHER1 wurde zeitgleich von einer anderen Gruppe adressiert, die eine Importaktivität für CHER1 nachweisen konnten (Dettmer et al., 2014). Weiterhin wurden radioaktive Aufnahmeexperimente für die Homologen CTL1 und CTL2 im humanen System beschrieben (Traiffort et al., 2005; Machova et al., 2009; Nakamura et al., 2010).

Bei der makroskopischen Analyse der CHER1-Mutanten fiel eine Ähnlichkeit zu Brassinosteroidmutanten auf. Diese zeichnen sich durch einen verzögerten, buschigen Wuchs, rundliche Blätter, eine verlängerte Lebensspanne, reduzierte Fertilität und veränderte vaskuläre Entwicklung aus (Clouse, 2011). Cornell und Horwitz (1980) postulierten, dass durch eine Verringerung des Cholingehaltes in der Zelle die Synthese von Phosphatidylcholin inhibiert wird, was sich wiederum auch auf die Sterolsynthese auswirkt (Cornell und Horwitz, 1980). Sterole wiederum fungieren als Vorläufer für die Synthese von Brassinosteroiden (Altmann, 1998; Clouse und Feldmann, 1999). Aus diesem Grund wurden Keimlingsversuche mit Fenpropimorph, einem Inhibitor der

Sterolsynthese (Schrick et al., 2004), sowie Propiconazol, einem Inhibitor der Brassinosteroid-Biosynthese (Hartwig et al., 2012), durchgeführt. Trotz eines veränderten Wachstums der Keimlinge auf den MS-Platten mit dem jeweiligen Inhibitor konnte bezüglich der MP17:GFP Lokalisation an PD kein Unterschied zu den Keimlingen auf MS-Platten ohne Inhibitor beobachtet werden. Demnach scheint eine Inhibierung der Sterol-, sowie der Brassinosteroidsynthese die PD-Lokalisation von MP17:GFP nicht zu beeinflussen. Kritisch zu betrachten bleibt allerdings das Fehlen einer Positivkontrolle für die durchgeführten Inhibitor-Keimlingsversuche. Zwar konnten makroskopische Veränderungen der Keimlinge nach Inhibitorbehandlung detektiert werden, jedoch müsste die Inhibierung der Brassinosteroid-, bzw. Sterolsynthese durch entsprechende Messungen bestätigt werden, um definitive Aussagen treffen zu können.

3.2.5 Cholin in Pflanzen

3.2.5.1 Wofür benötigen Pflanzen Cholin?

Cholin ist eine quartäre Ammoniumverbindung. Als essentieller Nährstoff in tierischen Zellen kann es nur eingeschränkt selbst synthetisiert werden und muss deshalb über die Nahrung oder den Abbau von Cholin beinhaltenden Lipiden synthetisiert werden (Zeisel, 1981; Zeisel et al., 1991; Zeisel, 1993; Zeisel und Blusztajn, 1994; Blusztajn, 1998). In seiner zentralen Bedeutung dient Cholin als Grundbaustein für die Synthese von Phosphatidylcholin (PtdCho), einem der Hauptphospholipide eukaryontischer Membranen (Inazu, 2014). Diese kann auf zwei verschiedenen Syntheserouten erfolgen: Der sogenannte Methylierungspathway ist vor allem für Bakterien und Hefe, sowie in der Leber von Bedeutung (Schneider und Vance, 1979; Kodaki und Yamashita, 1987; Geiger et al., 2013). Hierbei wird Phosphatidylethanolamin (PtdEth) durch drei aufeinanderfolgende Methylierungsschritte, welche durch das Enzym Phosphatidylethanolamin N-Methyltransferase (PE(A)MT) katalysiert werden, in PtdCho umgewandelt (<http://lipidlibrary.aocs.org/index.html>, Vance und Ridgway, 1988; Weretilnyk et al., 1995; Vance et al., 2007). In Tieren hingegen wird PtdCho hauptsächlich über den sogenannten Kennedy-Pathway synthetisiert (<http://lipidlibrary.aocs.org/index.html>). Dieser setzt den Import von Cholin in die Zelle voraus. Eine cytoplasmatische Kinase phosphoryliert das importierte Cholin umgehend zu Phosphocholin, welches dann durch die CTP:Phosphocholin Cytidyltransferase zu Cytidindiphosphocholin (CDP-Cholin) aktiviert wird (Vance, 1990; Ishidate und Nakazawa, 1992). Der letzte Schritt wird durch eine ER-Membran lokalisierte CDP-Cholin:1,2-Diacylglycerol Cholin-

Phosphotransferase katalysiert (Cornell, 1989). Dabei kondensieren die Phosphocholinreste von Cytidindiphosphocholin mit sn-1,2-Diacylglycerol, wodurch PtdCho entsteht (Inazu, 2014).

Radioaktive Markierungsstudien deuten darauf hin, dass in Pflanzen beide Synthesewege für PtdCho genutzt werden können (BeGora et al., 2010), wobei der Hauptteil an PtdCho vermutlich über den Kennedy-Pathway generiert wird (Kinney et al., 1987; Nishida et al., 1996; Jones et al., 1998; Bolognese und McGraw, 2000). Trotz der vermeintlich untergeordneten Rolle des Methylierungspaths führt das Ausschalten des *PEAMT* Gens zur Ausbildung eines deutlichen Phänotyps. So zeigte die *PEAMT* Silencingmutante *t365* eine 64 %-ige Reduktion des Cholinlevels sowie hellgrüne Blätter, eine verfrühte Seneszenz, eine temperaturabhängige männliche Sterilität und Salz-Hypersensitivität (Mou, 2002). Ebenso war in der *PEAMT knockout* Mutante *xipotl* der PtdCho-Gehalt in den Wurzeln um 23 % und in den Blättern um 18 % verringert, was mit einer beeinträchtigten Wurzelentwicklung und der Zelltod-Induktion in Wurzelepidermiszellen einherging (Cruz-Ramirez et al., 2004). Dies lässt darauf schließen, dass in Pflanzen beide Syntheserouten an der Aufrechterhaltung des Phosphatidylcholinlevels beteiligt sind und dies je nach Spezies mit unterschiedlichem Ausmaß (Tasseva et al., 2004; Keogh et al., 2009).

3.2.5.2 Bedeutung eines Transportsystems für Cholin

Im humanen System existieren drei verschiedene Transportsysteme für Cholin: I) polyspezifische organische Kationentransporter (OCTs/SLC22A1-2) mit einer niedrigen Affinität für Cholin, II) *High-Affinity Choline Transporter 1* (CHT1/SLC5A7) und III) *Choline Transporter-Like* Proteine (CTLs/SLC44A1-5) mit intermediärer Affinität (Michel et al., 2006; Inazu, 2014). Der CHT1-Cholintransporter ist hauptsächlich in neuronalen Zellen exprimiert und transportiert Cholin für die Synthese des Neurotransmitters Acetylcholin (Apparsundaram et al., 2000; Okuda et al., 2000). Im Gegensatz dazu wird das von den CTL-Proteinen transportierte Cholin überwiegend für die Phospholipidsynthese eingesetzt (O'Regan et al., 2000; Michel et al., 2006; Michel und Bakovic, 2009; Traiffort et al., 2013). In Pflanzen gibt es bis zum heutigen Zeitpunkt kaum Informationen über Transportsysteme für Cholin und deren Bedeutung. Erste Untersuchungen mit radioaktiv markiertem Cholin ließen die Hydrolyse von PtdCho außerhalb der Zelle und das Vorhandensein eines Transportsystems vermuten (Bligny et al., 1989; Gout et al., 1990). Van der Rest et al. (2002) postulierten die Existenz einer extrazellulären Glycerophosphocholin-Phosphodieesterase, die Glycerophosphocholin in Glycerol-3-phosphat und freies Cholin spaltet. Mittels radioaktiver Markierung konnten sie die

Aufnahme und anschließende Phosphorylierung des Hauptteils des gebildeten Cholin belegen, während ein Bruchteil als freies Cholin in die Vakuole transportiert wurde. Dies unterstreicht die potentielle Bedeutung eines Cholintransporters für die Pflanze (van der Rest et al., 2002). Eine neuere Studie konnte zeigen, dass das Bakterium *Pseudomonas syringae* extrazelluläres Cholin für seine Ernährung und zur Osmoprotektion verwerten kann (Chen et al., 2013). Laut Autoren wird dieses Cholin im Verlauf des Lipidrecyclings durch die Spaltung des Phospholipides PtdCho durch Phospholipasen generiert. Daraufhin erfolgt der Transport zu anderen Zellen und die Aufnahme in die Zelle, wo es für die Synthese von PtdCho über den energetisch günstigeren Kennedy-Pathway verwendet werden kann (Chen et al., 2013). Frühere Studien behaupteten, dass in Pflanzen die Spaltung von PtdCho von der cytoplasmatischen Membranseite durch eine intrazelluläre Phospholipase D (PLD) erfolgt und Cholin somit ins Cytosol entlassen wird (Fan et al., 1999; Nakamura et al., 2009). McGee et al. (2003) entdeckten allerdings die Existenz einer PLD in der Zellwand von Mesophyllzellen. Ebenso konnte gezeigt werden, dass eine aufgereinigte PLD aus der Erdnuss nach der Infiltration in den Apoplasten PtdCho hydrolysieren kann (Andersson et al., 2006). Dies würde auch im Einklang damit stehen, dass PtdCho hauptsächlich in der dem extrazellulären Raum zugewandten Seite der Membran lokalisiert sein soll (van Meer et al., 2008).

3.2.6 Mögliche Auswirkungen eines veränderten Cholingehaltes in der Pflanze

3.2.6.1 Auswirkungen einer veränderten Plasmamembranzusammensetzung

PtdCho und PtdEth sind die Hauptphospholipide der pflanzlichen Plasmamembran und haben einen Gesamtanteil von 35,5 %, bzw. 38,9 % aller vorhandenen Phospholipide in den Blättern von *Arabidopsis thaliana* (Uemura et al., 1995). In vielen natürlich vorkommenden Lipiddoppelschichten ist die Verteilung der verschiedenen Lipide nicht gleichmäßig, sondern asymmetrisch. So ist der Hauptteil des PtdCho in Erythrozyten in der äußeren Membranseite zu finden, wohingegen PtdEth in der inneren Membranseite angereichert ist (Devaux, 1991). Käme es nun aufgrund der Punktmutation in der Transmembrandomäne von CHER1 zu einem Verlust der Lokalisation oder Transportfunktion des Cholintransporters, würde es in der Zelle zu einem Cholinmangel kommen. Dies wiederum würde sich negativ auf den Gehalt an durch den Kennedy-Pathway gebildetem PtdCho auswirken. Um diesen Mangel auszugleichen würde vermutlich die PtdCho-Synthese über den energetisch ungünstigeren Methylierungspathway verstärkt werden oder mehr PtdEth gebildet werden, was sich

dann in der Erhöhung des PtdEth-Levels widerspiegeln würde. Tatsächlich ergab eine Messung der wichtigsten Phospholipidklassen in den CHER1-Mutanten eine Verringerung des Gehaltes an PtdCho 759,0 um etwa 14 % sowie eine entsprechende Erhöhung des Gehaltes an PtdEth 718,7 um etwa den gleichen Wert. Dies deutet darauf hin, dass die Pflanze den Verlust an PtdCho durch eine Erhöhung des PtdEth-Levels zu kompensieren versucht.

Eine Veränderung der Lipidzusammensetzung kann vielfältige Auswirkungen auf die Plasmamembran sowie auf die Bindung und Funktion von Proteinen haben, die in Abbildung 38 zusammengefasst sind. Die veränderte Plasmamembranzusammensetzung beeinträchtigt mit größter Wahrscheinlichkeit Protein-Lipid Interaktionen, welche für das Targeting und/oder die Aktivität vieler Plasmamembran-lokalisierter oder -assoziierter Proteine unabdingbar sind. Die Lipide PtdCho und PtdEth können die Aktivität von Proteinen unterschiedlich beeinflussen (Abbildung 38A). Dies beruht besonders auf Unterschieden im Wasserstoffbrückenbindungspotential und in der Hydratisierung, der Eigenschaft von PtdEth, gewölbte, hexagonale H_{II}-Phasen zu bilden, sowie der kleineren Fläche, die von PtdEth im Vergleich zu einem äquivalenten PtdCho beansprucht wird (Lee, 2004). Beispielsweise vermindert die Anwesenheit von PtdEth die Aktivität der Ca²⁺-ATPase und einer Diacylglycerol Kinase aus *E.coli*, wohingegen sie eine Grundvoraussetzung für eine korrekte Rhodopsinfunktion darstellt (Starling et al., 1996; Brown, 1997; Pilot et al., 2001). Weiterhin können Proteinbindestellen eine Spezifität für bestimmte Lipide aufweisen (Abbildung 38B), wie z.B. für Annexine gezeigt werden konnte (Blackwood und Ernst, 1990). Phospholipide können auch als Cofaktoren für Proteine agieren (Abbildung 38C) und so hängt die Funktion des Calciumkanals KcsA von der Anwesenheit von Phosphatidylglycerol oder anderen anionischen Phospholipiden ab (Heginbotham et al., 1998; Valiyaveetil et al., 2002). Eine mögliche Bedeutung des Phospholipides Phosphatidylcholin ergibt sich aus einer aktuellen Studie, in der eine *in vitro* Bindung von FLOWERING LOCUS T 1 (FT1) an PtdCho detektiert werden konnte (Nakamura et al., 2014). FT wird als systemischer Induktor der Blühinduktion bezeichnet, da er in Geleitzellen exprimiert und dann über das Phloem zum apikalen Sprossmeristem transportiert wird, wo er durch Interaktion mit dem bZIP Transkriptionsfaktor FLOWERING LOCUS D (FD) seine Funktion erfüllen kann (Abe et al., 2005; Wigge et al., 2005; Searle et al., 2006). Es konnte gezeigt werden, dass FT hauptsächlich an PtdCho-Spezies, die während des Tages akkumulieren, bindet und dass diese Lipidbindung für die Funktion von FT, der Blühinduktion zum korrekten Zeitpunkt, von Bedeutung ist (Nakamura et al., 2014). Diese Beobachtung eröffnet also die Möglichkeit einer direkten Beteiligung von

PtdCho als unmittelbarer Bindepartner von Proteinen, was auch für MP17 nicht ausgeschlossen werden kann.

Das Einbringen von geladenen Phospholipiden in Membranen kann zudem die Konzentration geladener Moleküle und Ionen in unmittelbarer Nähe der Membranoberfläche beeinflussen (Abbildung 38D, Lee, 1977; McLaughlin, 1977). In diesem Zusammenhang konnte gezeigt werden, dass die Cluster-Bildung von Syntaxinen durch elektrostatische Interaktionen mit dem stark anionischen Lipid Phosphatidylinositol-4,5-bisphosphat (PtdIns(4,5)P₂) vermittelt wird (van den Bogaart et al., 2011). Aber auch Proteine des Zytoskeletts können mit spezifischen Lipiden interagieren, was beispielweise durch eine Interaktion von Spektrin mit Phosphatidylserin und anderen Lipiden veranschaulicht werden kann (Maksymiwi et al., 1987; Janmey und Lindberg, 2004; Grzybek et al., 2006). Ebenso können Membran-Zytoskelett-Interaktionen durch einen veränderten PtdIns(4,5)P₂-Gehalt drastisch beeinflusst werden, da Adaptoren, die Motive wie PH, FYVE und PX enthalten, vorzugsweise an phosphorylierte Derivate von PtdIns binden (Kwik et al., 2003).

Im Fall von integralen Membranproteinen kann die Lipidzusammensetzung vor allem die Orientierung von Transmembrandomänen (TMD) beeinflussen, was z.B. für die Laktose-Permease LacY (Bogdanov et al., 2002; Wang et al., 2002; Xie et al., 2006), die Phenylalanin-Permease PheP (Zhang et al., 2003) sowie die γ -Aminobutyrat-Permease GabP (Zhang et al., 2005) aus *E.coli* gezeigt werden konnte (Abbildung 38E). Neben integralen Membranproteinen gibt es auch sogenannte periphere Membranproteine. Darunter versteht man cytoplasmatische Proteine, die unter bestimmten Bedingungen an die Plasmamembran rekrutiert werden können. Die Membranassoziation ist dabei nicht selten kritisch für die Funktion (Porter und Koelle, 2010). Das Targeting dieser Proteine an die Plasmamembran wird häufig durch Protein-Lipid Interaktionen vermittelt, indem bestimmte Domänen, beispielsweise C1 (*protein kinase C (PKC) conserved 1*), C2 (*PKC conserved 2*), PH (*pleckstrin homology*), PX (*Phox*) und „*tubby domains*“, die Verankerung an der Plasmamembran vermitteln (zusammengefasst in Cho und Stahelin, 2005). Die Interaktion dieser Domänen mit der Membranoberfläche kann dabei entweder spezifisch durch stereospezifische Erkennung bestimmter Membrankomponenten oder eher unspezifisch über biophysikalische Eigenschaften (Lemmon, 2008) sein. Weiterhin kann die Membranbindung durch Interaktion mit integralen Membranproteinen oder posttranslationale Modifizierungen wie Myristoylierung und Palmitoylierung erfolgen (Thompson Jr und Okuyama, 2000; Perraki et al., 2012). In anderen Fällen wird die PM-Assoziation durch unstrukturierte *cluster* von basischen oder hydrophoben Aminosäureresten (McLaughlin et al., 2002; McLaughlin und Murray, 2005) oder wie bei

viralen Fusionsproteinen beobachtet durch amphipathische Helices (Lins und Brasseur, 2008) vermittelt. Demnach kann auch die Anheftung von peripheren Membranproteinen durch die Lipidzusammensetzung beeinträchtigt werden (Abbildung 38F). MP17 beinhaltet keine Transmembrandomänen oder Membrantargetingsignale. Die PD-Lokalisation von MP17 wird wie bereits in Kapitel 3.1 erläutert durch drei Teilbereiche des Proteins vermittelt, was eine komplexe Faltung und/oder Domänenarchitektur des Proteins impliziert. Dies unterstützt die Hypothese, dass MP17 ein peripheres Membranprotein darstellt, dessen Membran- und sogar PD-Lokalisation von der Lipidzusammensetzung abhängt. Ein weiteres pflanzliches peripheres Membranprotein mit einer atypischen Membranbindedomäne, welches eine PD-Lokalisation aufweist, ist Remorin (Raffaele et al., 2009; Perraki et al., 2012). Ebenso weisen humane Hsp70-Proteine eine periphere Membranassoziation an Lysosomen, Mitochondrien und der Oberfläche von Krebszellen auf (Mahalka et al., 2014). Die Interaktion mit der Membran ist dabei von der Lipidkomposition abhängig. So binden Hsp70-Proteine selektiv an Membranen, die negativ geladene Phospholipide wie Cardiolipin, Phosphatidylserin und Bis(monoacylglycero)phosphat enthalten, was möglicherweise auch deren eben beschriebene Lokalisation erklärt (Mahalka et al., 2014). In Caco-2 Epithelzellen konnte zudem eine Assoziation von Hsp70 mit *detergent resistant membrane fractions* beobachtet werden (Broquet et al., 2003).

Es konnte gezeigt werden, dass sich für bestimmte in speziellen Domänen angereicherte Lipidklassen bereits Abweichungen von weniger als einem Prozent kritisch auf die Membranstruktur und die Membrandynamik auswirken können (Devaux, 2000; Melser et al., 2011). Das Einbringen von PtdEth in PtdCho Bilayer führt zudem zu einem Krümmungsstress über der Membran, was wiederum die Aktivität Krümmungs-sensitiver Proteine beeinflussen kann (Abbildung 38G, Marsh, 2007; Lagace und Ridgway, 2013). Beispielsweise werden die ARF-GAP Aktivität und der COPI-vermittelte Transport durch Lipidverdichtungen und Membrankrümmung reguliert (Bigay et al., 2003). PtdEth fungiert außerdem als wichtige topologische Determinante, indem es einen abmildernden Effekt auf das Translokationspotential negativ geladener Reste in Extramembrandomänen ausübt (Bogdanov et al., 2008; Bogdanov et al., 2014). Wie wichtig eine genaue Abstimmung des PtdCho/PtdEth Verhältnisses als Schlüsselregulator der Membranintegrität sein kann, wird im Mausmodell deutlich. Hier führen bereits geringe Manipulationen zur Fortschreitung einer Steatosis (Verfettung der Leber) zu einer Steatohepatitis (Fettleber-Hepatitis) (Li et al., 2006). Laut den Autoren verursacht eine Veränderung dieses Verhältnisses eine *membrane leakage*, was darauf zurückzuführen

ist, dass PtdCho zylindrische Strukturen ausbildet, PtdEth hingegen konische Strukturen (Abbildung 38H, Li et al., 2006).

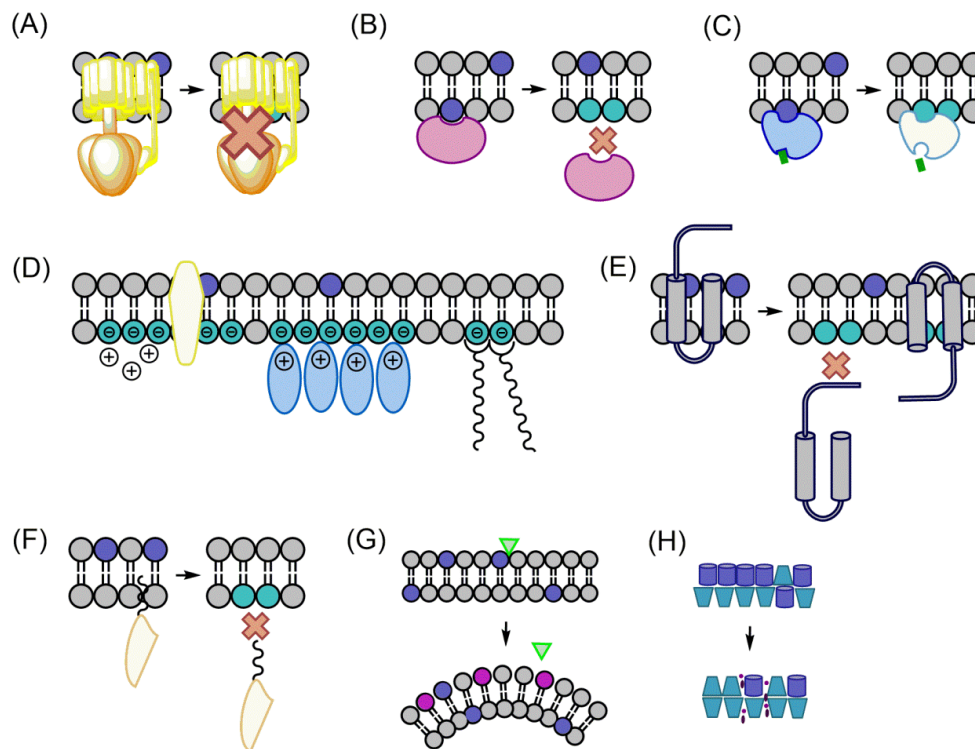


Abbildung 38: Auswirkungen einer veränderten Plasmamembranzusammensetzung. (A) Bestimmte Lipide können die Aktivität von Proteinen unterschiedlich beeinflussen. (B) Die Spezifität von Proteinbindestellen für bestimmte Lipide beeinflusst die Bindung von Proteinen an die PM. (C) Phospholipide können auch als Cofaktoren für Proteine agieren. (D) Geladene Phospholipide in Membranen können die Konzentration geladener Moleküle und Ionen in unmittelbarer Nähe der Membranoberfläche beeinflussen, die Cluster-Bildung von bestimmten Proteinen bewirken sowie mit Elementen des Zytoskeletts interagieren. Eine veränderte Lipidzusammensetzung kann den Einbau von integralen Membranproteinen beeinträchtigen und die Orientierung von Transmembrandomänen beeinflussen (E) oder die Anheftung von peripheren Membranproteinen beeinträchtigen (F). (G) Das Einbringen von PtdEth in PtdCho-Bilayer führt zu einem Krümmungsstress über der Membran, was wiederum die Aktivität Krümmungs-sensitiver Proteine beeinflussen kann (modifiziert nach Graham und Kozlov, 2010). (H) Das PtdCho/PtdEth Verhältnis gilt als Schlüsselregulator der Membranintegrität. Eine Veränderung dieses Verhältnisses resultiert in einer *membrane leakage*, was darauf zurückzuführen ist, dass PtdCho (blau) zylindrische Strukturen ausbildet, PtdEth (türkis) hingegen konische Strukturen (modifiziert nach Li et al., 2006).

In der thermosensitiven Hamstereizellenlinie MT58 resultiert eine Reduktion des PtdCho Levels um 50 % in einer Veränderung der ER-Morphologie von einer netzförmigen Struktur zu eher geweiteten rundlichen Strukturen (Testerink et al., 2009). Gleichermäßen führte auch eine Überproduktion an Phospholipiden - hauptsächlich PtdCho und PtdEth - in Arabidopsis *pah1 pah2* Doppelmutanten zu einer veränderten ER-Struktur, genauer zu einem partiellen Verlust des tubulären Netzwerkes und dem Erscheinen von ER-Sheets (Eastmond et al., 2010). In diesem Zusammenhang konnte auch in der in dieser Arbeit

durchgeführten Microarray-Analyse eine Hochregulierung von Transkripten, die an der Antwort auf ungefaltete Proteine im ER (*unfolded protein response*) sowie der ER-Stressantwort beteiligt sind, detektiert werden. Um zu überprüfen, ob die ER-Struktur in der *CHER1*-Mutante *cher1-4* verändert ist, wurde der ER-Marker GFP-SWEET1 (Wolfenstetter et al., 2012) mittels *particle gun* transient im Wildtyp und in *cher1-4* Mutanten exprimiert (Abbildung 39).

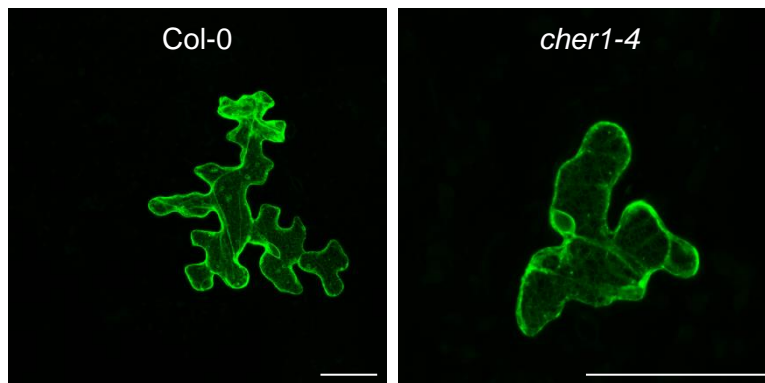


Abbildung 39: Lokalisation eines ER-Markers in Col-0 und *cher1-4* Pflanzen. Transiente Expression des ER-Markers GFP-SWEET1 (Wolfenstetter et al., 2012) in Col-0 und *cher1-4* Pflanzen mittels *particle gun* Beschuss 2 dpi. Standard entspricht 50 μm .

Jedoch konnten keine offensichtlichen Veränderungen der ER-Morphologie beobachtet werden (siehe Abbildung 39). Es ist dennoch nicht vollständig auszuschließen, dass geringfügige Veränderungen in der ER-Struktur durch die Lokalisierung des verwendeten Markers nicht sichtbar gemacht werden können. Weiterhin wäre denkbar, dass eine Reduktion des PtdCho-Levels um 14 % die ER-Struktur nicht beeinflusst, den Transport von Proteinen am Golgi-Komplex hingegen schon. Interessanterweise wurden durch die von Testerink et al. (2009) beobachtete veränderte ER-Morphologie in der Hamstereizellenlinie MT58 nicht die Transportprozesse am ER beeinflusst, sondern vielmehr der Transport vom Golgi-Komplex zur Plasmamembran hin. Dies deutet auf eine starke Sensitivität der Transportprozesse am Golgi-Komplex gegenüber Veränderungen im Lipidmetabolismus hin (Testerink et al., 2009). In diesem Zusammenhang spielen die PtdCho-Metabolite Diacylglycerol (DAG) und Phosphatidsäure (PA, *phosphatidic acid*) aufgrund ihrer Fähigkeit zur Induktion einer Membrankrümmung eine wichtige Rolle beim Vesikeltrafficking (Kearns et al., 1997; Corda et al., 2002; Mousley et al., 2007; Yang et al., 2008). DAG ist weiterhin von Bedeutung für die Rekrutierung und Aktivierung von Proteinen, die am Membrantransport beteiligt sind, beispielsweise der Proteinkinase D (Baron und Malhotra, 2002). So überrascht es nicht, dass der DAG-Gehalt im Golgi Apparat streng von sogenannten PI-Transferproteinen reguliert wird, die vor allem dessen Fluss in den Kennedy-Pathway kontrollieren. Die bekanntesten Vertreter sind Sec14 aus der Hefe oder Nir2 in Säugertierzellen (McGee et al., 1994; Litvak et al., 2005). Li und Xue (2007) konnten zudem zeigen, dass die Phospholipase PLD ζ 2 und PA als positive

Regulatoren des Vesikeltraffickings in Wurzelzellen von *Arabidopsis* fungieren und u.a. für einen funktionalen Auxintransport benötigt werden. Ebenso ist die Interaktion von PA mit Syntaxin1A wichtig für Sekretionsprozesse (Lam et al., 2008). Somit konnte in den *CHER1*-Mutanten auch der Transport zur Plasmamembran beeinträchtigt sein (Abbildung 40).

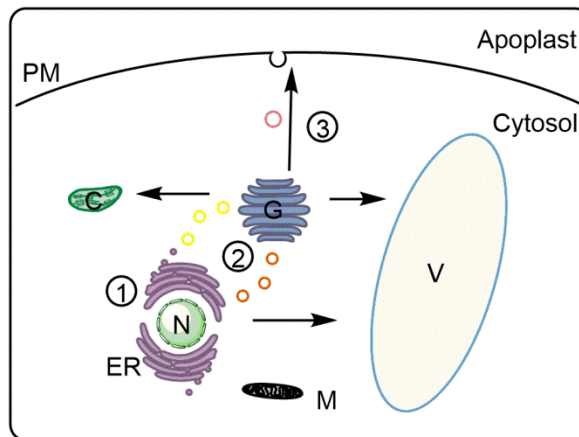


Abbildung 40: Auswirkungen einer veränderten Lipidzusammensetzung auf den Transport zu PD. Vereinfachtes Schema des sekretorischen Pathways in Pflanzen und mögliche Beeinträchtigungen. Durch eine Veränderung der Lipidzusammensetzung kann der Transport von Proteinen im sekretorischen Pathway an verschiedenen Stellen beeinträchtigt werden: (1) Einbau von Proteinen in die ER-Membran, (2) Transport vom ER zum Golgi oder (3) Transport vom Golgi zur Plasmamembran. N=Nukleus, ER=Endoplasmatisches Retikulum, G=Golgi, PM=Plasmamembran, V=Vakuole, C=Chloroplast, M=Mitochondrium. Modifiziert nach Foresti und Denecke, 2008.

Dettmer et al. (2014) konnten ebenfalls drei *CHER1*-Mutanten - *cher1-1*, *cher1-2* und *cher1-3* - identifizieren, welche einen defekten symplastischen Transport durch das Phloem aufwiesen. Visualisiert wurde dies durch eine beeinträchtigte Entladung von GFP, welches unter dem Geleitzellen-spezifischen Promotor pSUC2 (Imlau et al., 1999) exprimiert wurde, sowie einem veränderten Expressionsmuster des Phloem-spezifischen pAPL::GFP. Allerdings bleibt zu erwähnen, dass die Expression von *CHER1::YFP* unter dem natürlichen *CHER1*-Promotor in Wurzeln zu einer Lokalisation des Fusionsproteins im Transgolginetzwerk (TGN) führte und nicht wie in dieser Arbeit beschrieben zusätzlich an der Plasmamembran. Die unterschiedliche Lokalisation könnte jedoch auf der Verwendung von verschiedenen Promotoren, den unterschiedlichen analysierten Geweben und im Besonderen dem Zeitpunkt der mikroskopischen Analysen beruhen. Denn auch in der vorliegenden Arbeit lokalisierte GFP:*CHER1* nach zwei Tagen fast ausschließlich im ER und im Golgi. Weiterhin wurde die Plasmamembranlokalisierung des Transporters auch in einer anderen Studie postuliert (Benschop et al., 2007). Interessanterweise waren in der Mutante *cher1-1* sowohl die Siebplattenfläche als auch die Siebporendichte stark reduziert. Die Siebporen bereits entwickelter Siebelemente fielen durch eine veränderte Struktur auf, indem der Desmotubulus in den Siebporen der Mutante anders als im Wildtyp erhalten blieb. Tabelle 10 zeigt eine Gegenüberstellung der Ergebnisse zu *CHER1* aus der vorliegenden Studie und der Studie von Dettmer et al. (2014).

Tabelle 10: Zusammenfassung der Studien zu CHER1. Die Tabelle zeigt eine Gegenüberstellung der Ergebnisse zu CHER1 aus der vorliegenden Studie und der Studie von Dettmer et al. (2014).

| SO15A <i>cher1-5</i> | <i>cher1-4</i> <i>ami_CHER1</i> | <i>cher1-1</i> (Dettmer et al., 2014) |
|---|------------------------------------|---|
| <ul style="list-style-type: none"> Wachstumsretardierung | | <ul style="list-style-type: none"> Wachstumsretardierung |
| <ul style="list-style-type: none"> reduzierte Wurzellänge | | <ul style="list-style-type: none"> reduzierte Länge primärer Wurzeln + laterales Wurzelwachstum |
| <ul style="list-style-type: none"> reduzierte PD-Lokalisierung von MP17 | | <ul style="list-style-type: none"> abnormale Zellwandpositionierung |
| <ul style="list-style-type: none"> Akkumulation von Zucker und Stärke in Sourceblättern | | <ul style="list-style-type: none"> gestörter symplastischer Phloemtransport |
| <ul style="list-style-type: none"> veränderte Phospholipid-Zusammensetzung | | <ul style="list-style-type: none"> Reduktion des Gehalts an Cholin um 40 % und Phosphocholin um 51 % in der Wurzel |
| <ul style="list-style-type: none"> vermindertes PtdCho/PtdEth-Verhältnis: Gehalt an PtdCho um 14 % erniedrigt, Gehalt an PtdEth um 14 % erhöht (Blatt) | | <ul style="list-style-type: none"> reduzierte Siebplattenfläche und Siebporendichte |
| <ul style="list-style-type: none"> Cholingehalt erhöht | | <ul style="list-style-type: none"> veränderte Siebporenstruktur: Desmotubulus bleibt erhalten |

Siebplattenporen entstehen ursprünglich aus Plasmodesmata durch eine Vergrößerung der Pore, der Ablagerung von Kallose und dem kompletten Verlust des Desmotubulus (Esau und Thorsch, 1985; Bell und Oparka, 2011). Es wäre durchaus vorstellbar, dass die von Dettmer et al. (2014) beobachtete Veränderung der Siebplatten- und Siebporenstruktur aus einer gestörten Entwicklung der Siebporen resultiert. Die gestörte Entwicklung der Siebporen wiederum könnte auf eine veränderte ER-Struktur infolge eines reduzierten PtdCho-Levels zurückzuführen sein. Da Siebporen wie schon erwähnt ursprünglich aus Plasmodesmata hervorgehen, könnte diese Entdeckung gleichermaßen auch auf die Entwicklung und/oder die Struktur der Plasmodesmata übertragbar sein, was dann die veränderte MP17:GFP Lokalisation an PD erklären könnte. In diesem Zusammenhang kann die extreme Konstriktion des Desmotubulus u.a. durch die Insertion von zylindrischen Lipidmolekülen wie PtdCho in die äußere Membranschicht erreicht werden (Tilsner et al., 2011). Eine Verringerung der PtdCho-Konzentration könnte dementsprechend eine beeinträchtigte Konstriktion des Desmotubulus mit sich bringen. Während eine asymmetrische Lipidverteilung für die Induktion der Membrankrümmung ausreicht, ist für die Aufrechterhaltung von bestimmten Membranformen eine Beteiligung von Proteinen erforderlich (van Meer und Sprong, 2004; Voeltz und Prinz, 2007; Shibata et al., 2009; Tilsner et al., 2011). So konnte kürzlich gezeigt werden, dass Retikulons und Proteine der DP1/Yop1 Familie an der Aufrechterhaltung der tubulären Krümmung des

kortikalen ER, dem Ursprung des Desmotubulus, beteiligt sind (Voeltz et al., 2006; Hu et al., 2008). Diesbezüglich könnte eine veränderte Membranzusammensetzung im kortikalen ER oder dem Desmotubulus auch die Bindung von sogenannten Scaffoldproteinen oder Proteinen, die an der Bildung und Aufrechterhaltung der Desmotubulusstruktur und somit auch der PD-Struktur mitwirken, beeinträchtigen.

3.2.6.2 Plasmodesmata als spezialisierte Membrandomäne

Grundsätzlich sind bis zu 1000 verschiedene Lipidspezies pro Zelle möglich (van Meer, 2005), wobei deren Komplexität mit den derzeitigen Analysemethoden nur ansatzweise erfasst werden kann. Die drei Hauptlipidklassen der pflanzlichen Plasmamembran sind Glycerolipide, hauptsächlich Phospholipide (PL), mit 46,8 % am Gesamtanteil der Lipide in Arabidopsisblättern, Sterole (St) mit 46 % und Sphingolipide (SL) mit 7,3 % (Uemura et al., 1995). In künstlichen Membranen konnte für diese Lipidklassen eine sich spontan ausbildende Phasentrennung beobachtet werden (Karnovsky et al., 1982; Thompson und Tillack, 1985). Dies lässt darauf schließen, dass Lipide in der Plasmamembran nicht gleichmäßig verteilt sind, sondern Subdomänen mit spezifischer Lipid- und Proteinzusammensetzung, sogenannte Mikrodomänen, bilden (Zauber et al., 2014). Nach dem Raft-Modell bilden gesättigte Phospholipide, hauptsächlich Sphingolipide, und Sterole die besonders dicht gepackte *liquid-ordered* (L_o) *phase*, welche normalerweise sehr kurzlebig (<1 ms) ist. Durch gesättigte Lipidanker, Transmembrandomänen von Raft-assoziierten Proteinen und Protein-Protein-Interaktionen können diese Mikrodomänen, die auch als *lipid rafts* oder *membrane rafts* bezeichnet werden, allerdings stabilisiert werden, wodurch sie einen Durchmesser von bis zu 200 nm und eine Lebenszeit von über einer Sekunde erreichen können (Simons und Vaz, 2004; London, 2005; Silvius, 2005; Mayor et al., 2006; Tilsner et al., 2011). Die umgebende Membran wird als *liquid disordered phase* bezeichnet und ist durch eine höhere Fluidität charakterisiert, welche aus der größeren eingenommenen Oberfläche ungesättigter Phospholipide resultiert (Bhat und Panstruga, 2005). Die Zusammensetzung eines *lipid rafts* ist in Abbildung 41 skizziert. *Lipid raft*-assoziierte Proteine können generell über die Isolierung sogenannter *detergent resistant membrane fractions* (DRM) oder *detergent insoluble membrane fractions* (DIM) identifiziert werden, da sich Sterol- und Sphingolipid-angereicherte Membranfraktionen im Gegensatz zu ungesättigten Phospholipiden nicht durch milde, nicht-ionische Detergenzien wie Triton X-100 solubilisieren lassen (Tilsner et al., 2011).

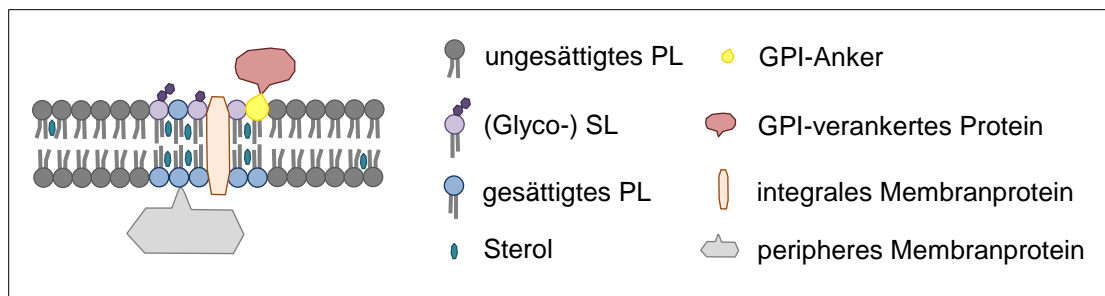


Abbildung 41: Schematische Darstellung eines *lipid rafts*. Während die umgebende Plasmamembran hauptsächlich aus ungesättigten Phospholipiden (PL) aufgebaut ist, zeichnen sich *lipid rafts* durch die Anwesenheit von gesättigten Phospholipiden, Sphingolipiden (SL) sowie Sterolen aus. Weiterhin weisen GPI-verankerte Proteine eine Anreicherung in *lipid rafts* auf. Ebenso lokalisieren bestimmte integrale oder periphere Membranproteine spezifisch in *lipid rafts*. Modifiziert nach Bhat und Panstruga (2005).

Auf der Suche nach PD-Komponenten wurde der plasmodesmalen Lipidzusammensetzung bisher nur wenig Aufmerksamkeit gewidmet, obwohl PD Membran-reiche Strukturen darstellen und viele der identifizierten PD-Proteine integrale oder periphere Membranproteine sind (Tilsner et al., 2011). Die Autoren fassten eine Vielzahl an Daten zusammen, die für eine bestimmte Zusammensetzung der PM innerhalb der PD argumentieren. Demnach sei die Definition einer Membrandomäne, an die ein virales Movementprotein bindet, möglicherweise von größerer Bedeutung, als die Suche nach einem spezifischen Rezeptor (Tilsner et al., 2011). Bisherige Analysen deuten darauf hin, dass sich die Lipidzusammensetzung der Plasmamembran innerhalb der PD-Pore von der umgebenden Plasmamembran unterscheidet. So konnte in Suspensionszellkulturen aus Soja Wurzelzellen gezeigt werden, dass Fluoreszenzmarkierte Sphingolipide, welche hauptsächlich in der äußeren Membranschicht lokalisieren, entlang der Plasmamembran diffundieren können, nicht jedoch über PD hinweg (Grabski et al., 1993). Ein ähnliches Phänomen konnte auch für die Plasmamembran in *tight junctions* in tierischen Zellen beobachtet werden (Dragsten et al., 1981). Weiterhin konnte für die Plasmamembran-H⁺-ATPase mittels Immunogold-lokalisierung eine Verteilung entlang der gesamten Plasmamembran detektiert werden, jedoch nicht an/innerhalb von PD (Fleurat-Lessard et al., 1995). In einer neuen Studie wurde jedoch für das Thioredoxin h (Trxh) Zell-zu-Zell Verbreitung in Arabidopsiswurzeln demonstriert (Meng et al., 2010). Dies scheint auf der Membranlokalisierung, welche vermutlich durch Myristoylierung des Gly²-Restes vermittelt wird, sowie der anschließenden Palmitoylierung des Cys⁴-Restes des Proteins zu basieren, was die Möglichkeit eines Traffickings über die PD-PM unterstreicht.

Mehrere Hinweise sprechen für die Existenz von *lipid rafts* innerhalb der PD-Pore. Das Hauptindiz liefert die PD-Lokalisation des bereits in Kapitel 3.1.3 erwähnten pflanzen-

spezifischen Proteins Remorin, wobei der C-terminale Anker von STREM1.3 spezifisch an Lipide, die in pflanzlichen *lipid rafts* zu finden sind, bindet (Perraki et al., 2012). Die potentielle Bedeutung der PD-Lokalisation von Remorin wird durch dessen Einfluss auf die Virusverbreitung des *Potato Virus X* (PVX) betont, wobei eine inverse Korrelation zwischen Virusverbreitung und REM-Gehalt beobachtet werden konnte (Raffaele et al., 2009; Perraki et al., 2014). Es wurde vermutet, dass REM durch die Interaktion mit TGB1, dem PVX Movementprotein, die Vergrößerung des plasmodesmalen SEL durch TGB1 verhindert (Angell et al., 1996; Howard et al., 2004; Raffaele et al., 2009). Diese Hypothese konnte in einer späteren Studie anhand von Permeabilitätsstudien mit freiem GFP bestätigt werden, wobei die Überexpression von REM zu einer Verminderung der durch TGB1 induzierten GFP-Diffusion führte (Perraki et al., 2014). Der gleiche Effekt zeigte sich auch bei den Movementproteinen TMV MP30 und PVY Hc-Pro. Interessanterweise resultierte die Überexpression von REM auch in der Abwesenheit der eben genannten Movementproteine in einer reduzierten GFP-Fusion. Dies lässt eine generelle Funktion von REM in der Regulation der PD-Permeabilität vermuten, wobei diese aufgrund des fehlenden Phänotyps der REM-Überexpressionspflanzen wohl eher indirekt zu sein scheint (Perraki et al., 2014). Die potentielle Existenz von *lipid rafts* innerhalb der PD-Pore wird außerdem durch die plasmodesmale Lokalisation zweier Glycosylphosphatidylinositol-verankerter Proteine - PDCB1 und eine β -1,3-Glukanase - bekräftigt, da Proteine mit dieser posttranslationalen Modifikation häufig eine Anreicherung in *lipid rafts* aufweisen (Cordy et al., 2003; Borner et al., 2005; Grennan, 2007; Levy et al., 2007; Kierszniowska et al., 2009; Simpson et al., 2009). Weiterhin wird ein möglicher Zusammenhang zwischen DIM und dem plasmodesmalen Transport durch das kürzlich in Arabidopsis identifizierte Synaptotagmin1 unterstützt, welches im kortikalen ER, in Endosomen sowie in DIM in der PM lokalisiert (Schapire et al., 2008; Minami et al., 2009; Lewis und Lazarowitz, 2010; Yamazaki et al., 2010). Es konnte gezeigt werden, dass Synaptotagmin1 nicht nur die Endozytose und das Recycling endosomaler Vesikel reguliert, sondern auch das MP-vermittelte *trafficking* von Virusgenomen durch Plasmodesmata beeinflusst (Lewis und Lazarowitz, 2010; Uchiyama et al., 2014).

Lipid rafts stellen zudem Plattformen für Signalproteine, v.a. Kinasen mit Rezeptorfunktion, dar und nehmen dadurch eine Schlüsselrolle für die Signalweiterleitung und die Zell-zu-Zell Kommunikation ein (Hoessli et al., 2000; Shahollari et al., 2004; Bhat und Panstruga, 2005; Kierszniowska et al., 2009; Pike, 2009; Lingwood und Simons, 2010; Simon-Plas et al., 2011). In humanen Zellen wird beispielsweise die Ser/Thr Kinase Akt an *lipid rafts* rekrutiert, wo sie an der Aktivierung von Signaltransduktionskaskaden

beteiligt ist (Lasserre et al., 2008). Auch innerhalb der PD-Pore konnten bisher einige Kinasen identifiziert werden. Beispielsweise waren unter insgesamt 15 ausgewählten näher analysierten Kandidaten des PD-Proteoms von Fernandez-Calvino et al. (2011) auch drei Rezeptor-ähnliche Kinasen vertreten. Ebenso konnte für die Rezeptor-ähnliche Serin-/Threonin Kinase CRINKLY4 in Aleuronzellen eine PD-Lokalisation detektiert werden (Tian et al., 2007). Spezifische Signalsequenzen für die Lokalisation in *lipid rafts* konnten mit Ausnahme einer sechs Aminosäuren langen *lipid raft*-Targetingsequenz der humanen Tyrosin Phosphatase *Src homology 2-containing phosphatase1* bisher allerdings kaum identifiziert werden (Sankarshanan et al., 2007; Rossin et al., 2010; Perraki et al., 2012). In diesem Zusammenhang wäre es denkbar, dass *lipid raft*-assoziierte Proteine wie Remorin eine Gerüst- oder Ankerfunktion für andere Proteine übernehmen und PM-assoziierte oder cytoplasmatische Proteine, beispielsweise Signalproteine und Membran-modifizierende Proteine, an *lipid rafts* rekrutieren (Lefebvre et al., 2010; Jarsch und Ott, 2011).

Es wird angenommen, dass eine hohe Dichte an *lipid raft*-Proteinen innerhalb der PD-Pore eine spontane Bildung sowie eine weitere Anreicherung von *lipid rafts* in der plasmodesmalen Plasmamembran begünstigt. Somit wäre es möglich, dass die komplette PD-Plasmamembran aus einer Vielzahl dicht zusammenliegender L_0 -Domänen besteht (Hancock, 2006; Tilsner et al., 2011). Normalerweise weisen L_0 -Phasen eine 2-3 fach reduzierte laterale Diffusion auf. Demnach kann die verstärkte Diffusionsbarriere innerhalb der PD-Pore nur durch Beteiligung zusätzlicher Faktoren, z.B. einer besonders hohen Dichte an Transmembranproteinen oder der Anwesenheit globulärer Proteine, erreicht werden (Overall und Blackman, 1996; Jacobson et al., 2007; Tilsner et al., 2011).

Lipid rafts in Pflanzen bestehen hauptsächlich aus Sphingolipiden und Sterolen (Mongrand et al., 2004; Laloi et al., 2007; Carmona-Salazar et al., 2011; Cacas et al., 2012). Interessanterweise zeigte die Transkriptomanalyse der vorliegenden Arbeit eine Herunterregulierung von Genen, die potentiell an der Synthese von Sterolen und langkettigen Fettsäuren (*very long chain fatty acids*, VLCFA) beteiligt sind, welche wiederum Bestandteil von pflanzlichen Sphingolipiden und kutikularen Wachsen sind. In Einklang damit waren auch die Transkripte mehrerer potentiell *lipid raft*-assoziiierter Proteine herunterreguliert (siehe Anhang Tabelle 21). Der Einfluss des Cholin-, bzw. Phosphatidylcholingehaltes auf die Zusammensetzung und Funktion von *lipid rafts* wurde erst kürzlich durch zwei unabhängige Studien demonstriert. So konnte im Zusammenhang mit der *Fetal Alcohol Spectrum Disorder* (FASD) gezeigt werden, dass in zerebralen granulären Neuronen durch Cholinzugabe der Effekt von Ethanol auf die *lipid raft*-abhängigen Funktionen des L1 *Adhesion Molecule* verhindert werden kann (Tang et al.,

2014). Die Ethanolexposition bewirkt den schnellen Abbau von Sphingomyelin zu Ceramid und Pyrophosphat, wobei Ceramid ein proapoptotisches Signal ist (Viktorov und Yurkiv, 2008; Saito und Saito, 2013). Die Autoren postulierten, dass durch die Zugabe von Cholin der Sphingomyelingehalt wieder normalisiert werden könnte, wodurch eine *lipid raft* Dysfunktion verhindert werden könnte (Tang et al., 2014).

Die möglichen Auswirkungen eines Cholinmangels werden in Haut-Fibroblasten von Patienten mit posturalem orthostatischen Tachykardiesyndrom (POTS) deutlich. In diesen waren sowohl die Proteinkonzentration des Cholintransporters CTL1/SLC44A1 (*choline transporter-like protein 1/solute carrier 44A1*) als auch die mRNA Expression 2-3 fach reduziert (Schenkel et al., 2014). CTL1 vermittelt im humanen System die zelluläre Cholinaufnahme für die Synthese der Membranlipide Phosphatidylcholin und Sphingomyelin ebenso wie die Aufnahme in Mitochondrien zur Speicherung von Cholin (Michel und Bakovic, 2009). In POTS-Fibroblasten war die zelluläre Cholinaufnahme um 60 % sowie der mitochondriale Cholintransport um 50 % reduziert, was in einer gestörten Membran-Homöostase resultierte, genauer gesagt einem reduzierten PtdCho:PtdEth Verhältnis, einem erhöhten Sphingomyelin:Cholesterol-Verhältnis sowie einer veränderten Fettsäurekomposition der Phospholipide. Somit ist davon auszugehen, dass in POTS-Fibroblasten auch die Ausbildung von *lipid rafts* betroffen ist (Schenkel et al., 2014). Die drastische Reduktion des Cholingehaltes wirkte sich interessanterweise auch auf die Funktion der Mitochondrien aus und es konnte u.a. eine erhöhte ROS-Produktion beobachtet werden (Schenkel et al., 2014). Dies lässt die Vermutung zu, dass der veränderte Phosphatidylcholingehalt in den CHER1-Mutanten möglicherweise auch die Ausbildung von *lipid rafts* und somit essentielle plasmodesmale Funktionen beeinträchtigt. Ebenso müsste die ROS-Produktion in den CHER1-Mutanten überprüft werden, da die Beeinflussung der plasmodesmalen Permeabilität durch ROS-Gehalte bereits gezeigt werden konnte. Interessanterweise konnte in der Transkriptomanalyse eine Hochregulierung von Transkripten von ROS-Markergenen sowie antioxidativen Genen detektiert werden, darunter sechs Glutaredoxine, der durch Superoxid induzierte Transkriptionsfaktor WRKY30 und die NADPH-Oxidase RbohF als ROS-Produzent (Mittler et al., 2004; Mehterov et al., 2012). Eine aktuelle Studie konnte zeigen, dass sowohl eine Reduktion als auch eine Verstärkung der NADPH-Oxidase Aktivität die ROS-Akkumulation in der Wurzel und dadurch das laterale Wurzelwachstum verstärken kann (Li et al., 2014). Zudem soll RbohF zusammen mit RbohD die ABA-induzierte ROS-Produktion, ABA-abhängige Aktivierung von Calciumkanälen und ABA-induzierte Schließung der Stomata vermitteln (Kwak et al., 2003).

Abbildung 42 veranschaulicht die möglichen Auswirkungen einer veränderten Lipidzusammensetzung auf PD als spezialisierte Membrandomäne.

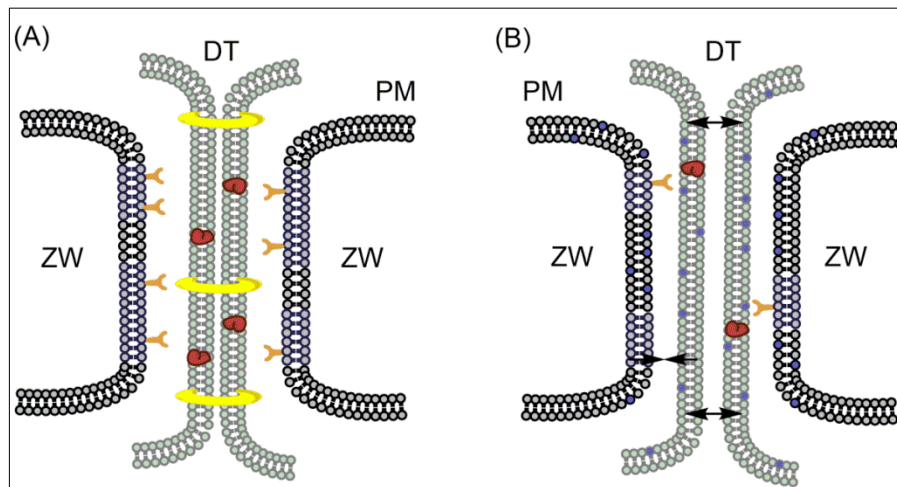


Abbildung 42: Auswirkungen einer veränderten Lipidzusammensetzung auf PD als spezialisierte Membrandomäne. (A) Es wird postuliert, dass sich die Lipidzusammensetzung der Plasmamembran innerhalb der PD von der umliegenden Plasmamembran (PM) unterscheidet, insbesondere durch die Anhäufung von *lipid rafts* (lila hervorgehoben). Einige Proteine, wie zum Beispiel Remorin, lokalisieren spezifisch in *lipid rafts* (orange hervorgehoben). Die extreme Konstriktion des Desmotubulus (DT) kann u.a. durch die Insertion von zylindrischen Lipidmolekülen wie PtdCho in die äußere Membranschicht erreicht werden (Tilsner et al., 2011). An der Aufrechterhaltung der tubulären Krümmung sind vermutlich zusätzliche Scaffoldproteine (rot und gelb dargestellt) beteiligt. (B) Durch das verminderte PtdCho/PtdEth-Verhältnis kann die Ausbildung von *lipid rafts* und somit die Lokalisation putativer PD-Rezeptoren beeinträchtigt werden. Zudem kann die Bindung von Scaffoldproteinen durch eine veränderte Lipidzusammensetzung beeinträchtigt werden. Dies würde dann vermutlich in einer Dilatation des Desmotubulus-Durchmessers und damit einhergehend in einer Reduktion des Durchmessers des Zytoplasmaschlauchs resultieren. ZW=Zellwand.

3.2.6.3 Möglicher Einfluss von CHER1 auf Lipidsignalleitungsprozesse

Die zweite Hauptaufgabe von Lipiden als Signalmoleküle sollte bei der Ermittlung der möglichen Bedeutung von CHER1 für die Pflanze ebenfalls nicht vernachlässigt werden. Signallipide wie Phosphatidsäure, Diacylglycerol, Lysophospholipide, Fettsäuren, Inositolphosphate, Oxylipine, Sphingolipide und N-Acetyethanolamine sind bei der Reaktion auf eine Vielzahl an Stressbedingungen involviert, beispielsweise bei Pathogenbefall, Trockenheit, Salzstress und Temperaturveränderungen (Okazaki und Saito, 2014). In der in dieser Arbeit durchgeführten Transkriptomanalyse konnte die Herunterregulierung einer Diacylglycerolkinase in den CHER1-Mutanten im Vergleich zum Wildtyp detektiert werden. Dieses Enzym ist direkt an der Bildung des Lipidsignalmoleküls PA beteiligt, indem es die Phosphorylierung von DAG, das wiederum aus der Hydrolyse von Phosphatidylinositol-4,5-bisphosphat (PtdIns(4,5)P₂) durch die Phospholipase C (PLC) stammt, katalysiert (Munnik, 2001; Meijer und Munnik, 2003). Eine weitere

Möglichkeit für die Generierung von PA stellt die Hydrolyse von strukturellen Lipiden wie PtdCho und PtdEth durch die Phospholipase D (PLD) dar (Munnik, 2001; Meijer und Munnik, 2003). Mit einem Anteil von nur 1-2 % am Gesamtanteil aller Lipide in eukaryontischen Zellen besitzt PA nur eine geringe Bedeutung als Membranlipid (Munnik, 2001). Nichtsdestotrotz sind seine Funktionen als Lipidsignalmolekül sehr vielfältig und die Identifizierung potentieller PA-Zielproteine ist entscheidend für das Verständnis der ablaufenden Prozesse (Testerink und Munnik, 2005, 2011; Janda et al., 2013). Durch PLD produzierte Phosphatidsäure kann z.B. an die Proteinphosphatase 2C ABI1, einem negativen Regulator des ABA-Signalweges, binden. Durch Verminderung der Phosphataseaktivität von ABI1 wirkt PA somit positiv auf ABA-Signalleitungsprozesse (Zhang et al., 2004). Durch die Bindung an die NADPH-Oxidasen AtrbohD und AtrbohF unterstützt PA die ROS-Produktion und Schließung der Stomata (Zhang et al., 2009). Ebenso beeinflusst PA die Aktivität einer Vielzahl an Kinasen, mitunter *mitogen-activated protein* (MAP) Kinasen (Zhang et al., 2003), SnRK2.4 und SnRK2.10 (McLoughlin et al., 2012), AtPDK1 (Anthony et al., 2004) und MAPK6 (Yu et al., 2010). Die Bindung von PA an 14-3-3 Proteine kann deren Bindungsvermögen an Zielproteine beeinträchtigen. Beispielsweise hemmt die Bindung von PA die 14-3-3-Protein vermittelte Stimulation der Protonenpumpenaktivität der Plasmamembran H^+ -ATPase (Camoni et al., 2012). Ein weiteres Zielprotein von PA ist das Cappingprotein AtCP, dessen Aktinbindeaktivität durch Anlagerung von PA inhibiert wird (Huang et al., 2006). Der Einfluss von Membranlipiden auf das Zytoskelett im Verlauf von Stress-Signalleitungsprozessen wird durch die Beobachtung bestärkt, dass durch PLD α 1 generierte Phosphatidsäure an MAP65-1 binden kann und dadurch dessen Aktivität, die Polymerisation und Bündelung der Mikrotubuli, erhöht (Zhang et al., 2012). Weiterhin scheint PA in Ethylen-vermittelte Prozesse involviert zu sein (Fan et al., 1997) und so blockiert die Bindung von PA an CTR1, einem negativen Regulator des Ethylensignalleitungsweges, dessen Interaktion mit ETR1, einem bekannten Ethylenrezeptor (Testerink et al., 2007). In diesem Zusammenhang konnte in der Mikroarray-Analyse für die CHER1-Mutanten eine deutliche Herunterregulierung der Transkriptmengen für potentiell PA-involvierende Prozesse beobachtet werden, hauptsächlich Ethylen-vermittelte Prozesse, Vesikeltrafficking, Signalleitung, sowie Abwehr-assoziierte Prozesse. Auf den ersten Blick steht dies im Kontrast zur Phospholipidmessung, bei der kein Unterschied im PA-Gehalt detektiert werden konnte. Jedoch muss hierbei berücksichtigt werden, dass durch Methoden zur Phospholipidbestimmung wie etwa TLC, GC oder HPLC nur große Unterschiede ermittelt werden können, wohingegen geringfügige Veränderungen, z.B. bei Turnoverprozessen, nicht erfasst werden (Arisz et al., 2009). Dies könnte erklären, warum trotz Auffälligkeiten

in der Transkriptomanalyse keine Veränderung im PA-Gehalt detektiert werden konnte, insbesondere da der Großteil des gemessenen PA vermutlich als Vorstufe für die Synthese von Phospholipiden fungiert (Arisz et al., 2009).

Ebenso waren in den CHER1-Mutanten die Transkriptlevel für das PATATIN-like protein 9, auch bekannt unter PLA IIIB, im Vergleich zum Wildtyp Col-0 reduziert. PLA IIIB gehört zur Phospholipase A (PLA) Superfamilie in Arabidopsis. Diese katalysiert die Hydrolyse von Glycerophospholipiden unter der Bildung von freien Fettsäuren oder Lysophospholipiden, welche beide als Lipidsignalmolekül fungieren (Ryu, 2004). Lysophospholipide sind normalerweise nur in extrem geringen Mengen vorhanden, können aber als Reaktion auf bestimmte Stressbedingungen drastisch ansteigen, z.B. während der Kälteakklimatisierung (Welti et al., 2002). Die Elicitor-Behandlung von Zellkulturen des Kalifornischen Mohns (*Eschscholzia californica*) resultierte in einer Aktivierung der Phospholipase A2 und somit in der Bildung von Lysophosphatidylcholin an der Plasmamembran, was wiederum die Aktivierung des tonoplastidären H⁺/Na⁺-Antiporters auslöste (Viehweger, 2002). Lysophosphatidylethanolamin ist zudem in die Regulation der Pollenkeimung sowie dem Pollenschlauchwachstum involviert (Kim et al., 2011). Interessanterweise konnte in der Phospholipidmessung eine signifikante Reduktion des Levels an Lysophosphatidylcholin 518,5 in den CHER1-Mutanten detektiert werden.

Des Weiteren gibt es immer mehr Hinweise für die Rolle von Fettsäuren und deren Derivaten als Signalmoleküle in einer Vielzahl an Stressantworten (Kachroo und Kachroo, 2009). So kann die an der Signalleitung beteiligte PLD δ durch die Fettsäure Oleinsäure stimuliert werden (Wang und Wang, 2001). Im Gegensatz dazu wird MP2C, eine Serin/Threonin Phosphatase, durch langkettige, mehrfach ungesättigte Fettsäuren inhibiert (Baudouin et al., 1999). Durch die Bindung an NITRIC OXIDE ASSOCIATED1 (NOA1) und dessen anschließendem Abbau, beeinflusst Oleinsäure die Synthese von Stickstoffmonoxid und damit auch die Stickstoffmonoxid-vermittelte Signalleitung in Arabidopsis (Mandal et al., 2012).

4 Material und Methoden

4.1 Material

4.1.1 Chemikalien, Enzyme und Verbrauchsmaterialien

Sofern nicht anders angegeben, wurden die verwendeten Chemikalien, Enzyme und Verbrauchsmaterialien von folgenden Firmen bezogen: Roth GmbH + Co. KG (Karlsruhe), Sigma-Aldrich (St. Louis, USA), Applichem GmbH (Darmstadt), Fermentas GmbH (St. Leon-Rot), Bio-Rad (München), Roche Diagnostics GmbH (Mannheim), GE Healthcare (Freiburg), Invitrogen (Karlsruhe), New England Biolabs GmbH (Frankfurt am Main), Merck (Darmstadt), Stratagene (Amsterdam), Whatman (Maidstone, England) und VWR International GmbH (Darmstadt).

Weiterhin wurden Kits der Firma Qiagen GmbH (Hilden) für die Isolierung von Plasmid-DNA aus Bakterien, die Aufreinigung von PCR-Produkten und für die Extraktion von DNA-Fragmenten aus Agarosegelen verwendet.

4.1.2 Oligonukleotide und Sequenzierungen

Alle verwendeten Oligonukleotide (siehe Anhang Tabelle 17) wurden von Eurofins MWG Operon (Ebersberg) oder Metabion International AG (Martinsried) bezogen. Sequenzierungen wurden von der GATC Biotech GmbH (Konstanz) durchgeführt.

4.1.3 Vektoren und generierte Konstrukte

In der vorliegenden Arbeit wurden folgende Vektoren verwendet:

Tabelle 11: Verwendete Vektoren

| Name | Resistenz | Verwendung | Referenz / Hersteller |
|----------------|--|---|------------------------|
| pENTR™/D-TOPO® | Kan ^R | „Entry“-Vektor für Gateway®-Klonierung | Invitrogen™, Karlsruhe |
| pCRBluntII | Kan ^R | Klonierungsvektor | Invitrogen™, Karlsruhe |
| pK7FWG2 | Spec ^R , Strep ^R | Binärer Vektor, C-terminaler GFP-tag, konstitutive Expression in Pflanzen | (Karimi et al., 2002) |
| pK7WGF2 | Spec ^R , Strep ^R | Binärer Vektor, N-terminaler GFP-tag, konstitutive | (Karimi et al., 2002) |

| | | | |
|----------------------------------|--|---|---|
| | | Expression in Pflanzen | |
| pGWB614 | Spec ^R | Binärer Vektor, C-terminaler 3-fach HA-tag, konstitutive Expression in Pflanzen | (Nakamura et al., 2010) |
| pGWB615 | Spec ^R | Binärer Vektor, N-terminaler 3-fach HA-tag, konstitutive Expression in Pflanzen | (Nakamura et al., 2010) |
| pRB-35S-GW VENUS ^{N173} | Spec ^R , Strep ^R | Bimolekulare Fluoreszenz-komplementation | (Üstün, 2013) |
| pRB-35S-GW VENUS ^{C155} | Spec ^R , Strep ^R | Bimolekulare Fluoreszenz-komplementation | (Üstün, 2013) |
| pFV3 | Kan ^R | Binärer Vektor, pAF16, Expression eines amiRNA-Konstruktes gegen <i>At3g12180</i> inklusive <i>pdK-Intron 2</i> | (Becker et al., 1992; Stadler et al., 2005) |

Anhand der Ausgangsvektoren wurde in der vorliegenden Arbeit eine Vielzahl an Konstrukten/Plasmiden generiert, welche in Tabelle 12 aufgeführt sind.

Tabelle 12: Generierte Konstrukte

| Name | Resistenz | Kloniertes Fragment |
|--------------|--|---|
| MP17 fl | Spec ^R , Strep ^R | Kodierende Sequenz von MP17 mit C-terminaler GFP-Fusion im Vektor pK7FWG2 |
| MP17Δ1-18 | Spec ^R , Strep ^R | Kodierende Sequenz von MP17 mit Deletion der AS 1-18 mit C-terminaler GFP-Fusion im Vektor pK7FWG2 |
| MP17Δ110-156 | Spec ^R , Strep ^R | Kodierende Sequenz von MP17 mit Deletion der AS 110-156 mit C-terminaler GFP-Fusion im Vektor pK7FWG2 |
| MP17Δ1-109 | Spec ^R , Strep ^R | Kodierende Sequenz von MP17 mit Deletion der AS 1-109 mit C-terminaler GFP-Fusion im Vektor pK7FWG2 |
| MP17Δ1-99 | Spec ^R , Strep ^R | Kodierende Sequenz von MP17 mit Deletion der AS 1-99 mit C-terminaler GFP-Fusion im Vektor pK7FWG2 |
| MP17Δ1-89 | Spec ^R , Strep ^R | Kodierende Sequenz von MP17 mit Deletion der AS 1-89 mit C-terminaler GFP-Fusion im Vektor pK7FWG2 |
| MP17Δ1-79 | Spec ^R , Strep ^R | Kodierende Sequenz von MP17 mit Deletion der AS 1-79 mit C-terminaler GFP-Fusion im Vektor pK7FWG2 |
| MP17Δ1-66 | Spec ^R , Strep ^R | Kodierende Sequenz von MP17 mit Deletion der AS 1-66 mit C-terminaler GFP-Fusion im Vektor pK7FWG2 |
| MP17Δ1-53 | Spec ^R , | Kodierende Sequenz von MP17 mit Deletion der |

| | | |
|-----------------|---|--|
| | Strep ^R | AS 1-53 mit C-terminaler GFP-Fusion im Vektor pK7FWG2 |
| MP17Δ1-40 | Spec ^R , Strep ^R | Kodierende Sequenz von MP17 mit Deletion der AS 1-40 mit C-terminaler GFP-Fusion im Vektor pK7FWG2 |
| MP17Δ1-27 | Spec ^R , Strep ^R | Kodierende Sequenz von MP17 mit Deletion der AS 1-27 mit C-terminaler GFP-Fusion im Vektor pK7FWG2 |
| MP17A136-143 | Spec ^R , Strep ^R | Kodierende Sequenz von MP17 mit Alanin-Scanner der Serine/Threonine über AS 136-143 mit C-terminaler GFP-Fusion im Vektor pK7FWG2 |
| MP17A69-81 | Spec ^R , Strep ^R | Kodierende Sequenz von MP17 mit Alanin-Scanner der Serine/Threonine über AS 69-81 mit C-terminaler GFP-Fusion im Vektor pK7FWG2 |
| MP17Aall | Spec ^R , Strep ^R | Kodierende Sequenz von MP17 mit Alanin-Scanner der Serine/Threonine über AS 69-81 und AS 136-143 mit C-terminaler GFP-Fusion im Vektor pK7FWG2 |
| MP17D71 | Spec ^R , Strep ^R | MP17 Aall mit Asparaginsäure-Substitution von S71 |
| MP17D79 | Spec ^R , Strep ^R | MP17 Aall mit Asparaginsäure-Substitution von S79 |
| MP17D7179 | Spec ^R , Strep ^R | MP17 Aall mit Asparaginsäure-Substitution von S71 und S79 |
| MP17Δ110-156D71 | Spec ^R , Strep ^R | MP17 D71 mit Deletion der AS 110-156 |
| MP17 K1 | Spec ^R , Strep ^R | MP17 mit Arginin-Substitution von K76 mit C-terminaler GFP-Fusion im Vektor pK7FWG2 |
| MP17 K2 | Spec ^R , Strep ^R | MP17 mit Arginin-Substitution von K132, K144, K151 und K154 mit C-terminaler GFP-Fusion im Vektor pK7FWG2 |
| amiCHER1_pFV3 | Kan ^R | <i>artificial micro RNA silencing</i> Konstrukt für <i>At3g15380</i> basierend auf pRS300 und der Sequenz "TATTGACAATCATTGAAGCCC" |
| GFP:CHER1 | Spec ^R , Strep ^R | Kodierende Sequenz von <i>At3g15380</i> amplifiziert von Col-0 mit N-terminaler GFP-Fusion im Vektor pK7WGF2 |
| GFP:CHER1_G247E | Spec ^R , Strep ^R | Kodierende Sequenz von <i>At3g15380</i> amplifiziert von der Mutante SO15A mit N-terminaler GFP-Fusion im Vektor pK7WGF2 |
| CHER1:GFP | Spec ^R , Strep ^R | Kodierende Sequenz von <i>At3g15380</i> amplifiziert von Col-0 mit C-terminaler GFP-Fusion im Vektor pK7FWG2 |
| CHER1_G247E:GFP | Spec ^R , Strep ^R | Kodierende Sequenz von <i>At3g15380</i> amplifiziert von der Mutante SO15A mit C-terminaler GFP-Fusion im Vektor pK7FWG2 |

| | | |
|---------------------------------|---|---|
| MP17-VENUS ^C | Spec ^R , Strep ^R | Kodierende Sequenz von MP17 im Vektor pRB-35S-GW C-VENUS ^{C155} |
| MP17-VENUS ^N | Spec ^R , Strep ^R | Kodierende Sequenz von MP17 im Vektor pRB-35S-GW C-VENUS ^{N173} |
| VENUS ^C -MP17 | Spec ^R , Strep ^R | Kodierende Sequenz von MP17 im Vektor pRB-35S-GW N-VENUS ^{C155} |
| VENUS ^N -MP17 | Spec ^R , Strep ^R | Kodierende Sequenz von MP17 im Vektor pRB-35S-GW N-VENUS ^{N173} |
| VENUS ^N -CHER1 | Spec ^R , Strep ^R | Kodierende Sequenz von CHER1 im Vektor pRB-35S-GW N-VENUS ^{N173} |
| VENUS ^C -CHER1 | Spec ^R , Strep ^R | Kodierende Sequenz von CHER1 im Vektor pRB-35S-GW N-VENUS ^{C155} |
| CHER1-VENUS ^N | Spec ^R , Strep ^R | Kodierende Sequenz von CHER1 im Vektor pRB-35S-GW C-VENUS ^{N173} |
| VENUS ^N -CHER1_G247E | Spec ^R , Strep ^R | Kodierende Sequenz von CHER1_G247E im Vektor pRB-35S-GW N-VENUS ^{N173} |
| VENUS ^C -CHER1_G247E | Spec ^R , Strep ^R | Kodierende Sequenz von CHER1_G247E im Vektor pRB-35S-GW N-VENUS ^{C155} |
| CHER1_G247E-VENUS ^N | Spec ^R , Strep ^R | Kodierende Sequenz von CHER1_G247E im Vektor pRB-35S-GW C-VENUS ^{N173} |
| HA:CHER1 | Spec ^R | Kodierende Sequenz von <i>At3g15380</i> amplifiziert von Col-0 mit N-terminalem 3-fach HA- <i>tag</i> im Vektor pGWB615 |
| HA:CHER1_G247E | Spec ^R | Kodierende Sequenz von <i>At3g15380</i> amplifiziert von der Mutante SO15A mit N-terminalem 3-fach HA- <i>tag</i> im Vektor pGWB615 |
| CHER1:HA | Spec ^R | Kodierende Sequenz von <i>At3g15380</i> amplifiziert von Col-0 mit C-terminalem 3-fach HA- <i>tag</i> im Vektor pGWB614 |
| CHER1_G247E:HA | Spec ^R | Kodierende Sequenz von <i>At3g15380</i> amplifiziert von der Mutante SO15A mit C-terminalem 3-fach HA- <i>tag</i> im Vektor pGWB614 |

4.1.4 Bakterienstämme und Kultivierung

| Stamm | Genotyp / Resistenz | Referenz / Hersteller |
|-----------------------------|---|---|
| <i>E. coli</i> DH5 α | F- Φ 80/ <i>lacZ</i> Δ M15 Δ (<i>lacZYA-argF</i>) U169 <i>recA1 endA1 hsdR17</i> (r_k^- , m_k^+) <i>phoA supE44 thi-1 gyrA96 relA1</i> λ | Invitrogen TM |
| <i>E. coli</i> Top10 | F- <i>mcrA</i> Δ (<i>mrr-hsdRMS-mcrBC</i>) Φ 80/ <i>lacZ</i> Δ M15 Δ <i>lacX74 recA1</i> <i>araD139</i> Δ (<i>araleu</i>)7697 <i>galU galK</i> <i>rpsL</i> (StrR) <i>endA1 nupG</i> | Invitrogen TM , Karlsruhe |
| <i>A. tumefaciens</i> C58C1 | Rif ^R mit Helferplasmid pGV2260 (Amp ^R) | (Van Larebeke et al., 1974; Deblaere et al., 1985) |

Die Kultivierung von *E. coli* erfolgte bei 37°C in LB-Medium (10 g/l Bacto-Trypton, 10 g/l NaCl, 5 g/l Hefeextrakt), die Kultivierung von *A. tumefaciens* bei 28°C in YNB-Medium (Hefeextrakt 10 g/l, Bacto-Pepton 10 g/l und NaCl 10 g/l). Antibiotika wurden mit Ausnahme von Rifampicin in Wasser gelöst und sterilfiltriert. Rifampicin wurde in DMSO (Dimethylsulfoxid) gelöst und nicht sterilfiltriert. Die jeweiligen Antibiotika wurden den Medien nach dem Autoklavieren in entsprechender Konzentration hinzugefügt (Tabelle 13).

Tabelle 13: Zur Selektion transgener Organismen verwendete Antibiotika

| Antibiotikum | Stammlösung | Endkonzentration |
|----------------------|-------------|------------------|
| Ampicillin (Amp) | 100 mg/ml | 100 µg/ml |
| Kanamycin (Kan) | 50 mg/ml | 50 µg/ml |
| Rifampicin (Rif) | 50 mg/ml | 50 µg/ml |
| Spectinomycin (Spec) | 100 mg/ml | 100 µg/ml |
| Streptomycin (Strep) | 40 mg/ml | 40 µg/ml |

4.1.5 Pflanzenmaterial und Kultivierung

Die in der vorliegenden Arbeit verwendeten Arabidopsislinien sind in Tabelle 13 aufgeführt. Die T-DNA Insertionslinie *cher1-4* (SALK_065853C) wurde vom *Nottingham Arabidopsis Stock Centre* erhalten. Homozygote Pflanzen wurden über zwei PCR-Amplifikationen - der Primerkombination KL63 und KL64 zum Nachweis des Wildtypfragmentes und der Primerkombination KL64 und KL158 zum Nachweis der T-DNA Insertion - identifiziert.

Tabelle 14: Verwendete Arabidopsislinien

| Linie | Ausgangslinie / Ökotyp | Konstrukt / Generierung | Referenz |
|----------------|----------------------------------|-------------------------|-------------------------------|
| Col-0 | Wildtyp Columbia | | Lehle Seeds (Round Rock, USA) |
| Ler | Wildtyp Landsberg <i>erecta</i> | | Lehle Seeds (Round Rock, USA) |
| Col-16 | Col-0 | p35S-1 | (Kronberg et al., 2007) |
| LerNM8S | Col-16xLer (acht Rückkreuzungen) | p35S-1 | (Kronberg, 2008) |
| SO15A | Col-16 | EMS | diese Arbeit |
| <i>cher1-4</i> | Col-0 | SALK_065853C | (Analysis of the |

| | | | |
|-----------------|-------------------------|---------------|--|
| | | | genome sequence of the flowering plant <i>Arabidopsis thaliana</i> , 2000) |
| LNMSO15A | LerNM8S, SO15A | Kreuzung | diese Arbeit |
| Col-16xcher1-4 | <i>cher1-4</i> , Col-16 | Kreuzung | diese Arbeit |
| <i>cher1-5</i> | So15AxCol-0 | Kreuzung | diese Arbeit |
| Col-16_amiCHER1 | Col-16 | amiCHER1_pFV3 | diese Arbeit |

Die Aufzucht von *Arabidopsis thaliana* erfolgte auf einem speziellen Bodensubstrat aus Typ P-Erde, Sand und Lavagrus im Verhältnis 7:2:1. Arabidopsissamen wurden auf Erde ausgesät und bei 4°C für 1-2 Tage stratifiziert, um die Keimung zu synchronisieren. Nach erfolgter Stratifikation wurden die Pflanzen für sechs Wochen unter Kurztagbedingungen (SD; 8 h Licht bei 22°C, 16 h Dunkelheit bei 19°C) und danach bis zur Samenreife unter Langtagbedingungen (LD; 16 h Licht bei 22°C, 8 h Dunkelheit bei 19°C) kultiviert. Die Kultivierung erfolgte in Percivals (CU-36L4, CLF PlantClimatics, Emersacker), in GroBanks (PlantMaster AGR2846 mit GroBanks, CLF PlantClimatics, Emersacker) oder im Gewächshaus.

Für die Keimlingsversuche und die Bestimmung des vertikalen Wurzelwachstums erfolgte die Anzucht von *Arabidopsis* auf *Murashige and Skoog* (MS)-Medium [0,443 % MSMO (w/v), Duchefa; (optional) 2 % (w/v) Saccharose; 0,05 % (w/v) MES; 0,8% (w/v) Phytagar; pH mit KOH auf 5.7 eingestellt]. Zu diesem Zweck wurden die Samen zunächst mittels Flüssigsterilisation Oberflächen-sterilisiert. Hierfür wurden die Samen für 5 min in einer Lösung aus 1 % Natriumhypochlorit und 0.05 % Tween 20 (v/v) gevortext und durch Zentrifugation für 30 sec sedimentiert. Nach drei Waschschritten mit sterilem Wasser wurden die Samen in 0,1 %-iger steriler Agarose aufgenommen und auf MS-Platten ausgebracht. Die Anzucht von Pflanzen auf MS-Medium erfolgte in der Lichtkammer unter Langtagbedingungen (16 h Licht / 8 h Dunkelheit, circa 22°C, 60 % Luftfeuchtigkeit).

Tabakpflanzen (*Nicotiana benthamiana*) wurden auf Erde im Gewächshaus (16 h Licht bei 25°C, 8 h Dunkelheit bei 21°C; 250–300 $\mu\text{mol m}^{-2}\text{s}^{-1}$ Licht; 40 % relative Luftfeuchtigkeit) mit täglicher Bewässerung kultiviert.

4.2 Methoden

4.2.1 Pflanzentransformation

4.2.1.1 Stabile Transformation von *Arabidopsis thaliana*

Die stabile Transformation von Pflanzen erfolgte mittels *floral dip* (Clough und Bent, 1998). Hierfür wurden 250 ml YNB-Medium (10 g/l Hefeextrakt, 10 g/l Bacto-Pepton und 10 g/l NaCl) mit den entsprechenden Antibiotika versetzt, mit 2 ml einer Agrobakterien-Vorkultur angeimpft und über Nacht bei 28°C kultiviert. Am darauffolgenden Tag wurden die Zellen durch Zentrifugation für 20 min bei Raumtemperatur und 5000 xg geerntet, in Infiltrationsmedium [5,0 % Saccharose, 0,05 % Silwet (Lehle Seeds, Round Rock, USA)] resuspendiert und die optische Dichte bei 600 nm (OD₆₀₀) auf 0,80 eingestellt. Anschließend wurde der Blütenstand der zu dippenden Pflanzen für 10-30 s in die Agrobaktériensuspension getaucht. Die gedippten Pflanzen wurden über Nacht mit einer Haube abgedeckt und bis zur Samenreife im Gewächshaus kultiviert. Zur Selektion der Transformanten wurden die geernteten Samen großflächig auf Erde ausgebracht. Im Alter von 1-2 Wochen wurden die Keimlinge insgesamt 3-4x mit 0,1 % BASTA-Lösung (Bayer, <http://www.bayer-cropscience.com>) im Abstand von 3-4 Tagen besprüht.

4.2.1.2 Transiente Transformation von *Arabidopsis thaliana*

Die transiente Transformation von *Arabidopsis thaliana* erfolgte mittels *particle gun* Beschuss mit Hilfe des PDS-1000/He™ (Bio-Rad Laboratories GmbH) Systems nach den Anweisungen des Herstellers. Ein bis zwei Tage nach der Infiltration wurde die Lokalisierung der Fusionsproteine über konfokale Laserscanning Mikroskopie (KLSM) analysiert.

4.2.1.3 Transiente Transformation von *Nicotiana benthamiana*

Zur transienten Expression von Proteinen in *N. benthamiana* wurde die Agrobakterien-vermittelte Transformation eingesetzt. Hierfür wurden Agrobakterien in 50 ml YNB-Übernachtskulturen mit den entsprechenden Antibiotika, denen 500 µl 1 M MES (pH von 5,6 mit KOH) und 10 µl 100 mM Acetosyringon (in DMSO) zugefügt wurden, kultiviert. Die Zellen wurden durch Zentrifugation bei 5000 xg für 15 min bei Raumtemperatur geerntet und in Infiltrationspuffer [10 mM MgCl₂, 10 mM MES pH 5,6 und 100 µM Acetosyringon] resuspendiert, wobei die optische Dichte bei 600 nm (OD₆₀₀) im Normalfall auf 1,0 eingestellt wurde. Alternativ dazu wurden Agrobakterien in 50 ml YNB-Übernachtskulturen

mit den entsprechenden Antibiotika kultiviert und nach der Zentrifugation in Wasser resuspendiert. Die Zellsuspension wurde in die abaxiale Blattseite von *Nicotiana benthamiana* Pflanzen mit Hilfe einer nadellosen 1 ml-Spritze infiltriert. Zwei bis drei Tage nach der Infiltration wurde die Lokalisierung der Fusionsproteine über KLSM analysiert.

4.2.2 Molekularbiologische Standardmethoden

Grundlegende Techniken der Nukleinsäuremanipulation wie beispielsweise Amplifikation von DNA durch die Polymerase-Kettenreaktion (PCR), Schneiden von DNA mit Restriktionsenzymen, Verknüpfen von DNA mit Hilfe von Ligasen, Reinigung von DNA-Fragmenten, Agarose-Gelelektrophorese von Nukleinsäuren, Anzucht von *E. coli*, Transformation von *E. coli* sowie Präparation von Plasmiden wurden nach Sambrook et al. (1989) durchgeführt.

Für die Aufreinigung von PCR-Produkten wurde das QiaQuick® PCR Purification Kit (Qiagen) verwendet und die Aufreinigung von DNA-Fragmenten aus dem Agarosegel erfolgte durch das QiaQuick® Gel Extraction Kit. Einige Konstrukte in dieser Arbeit wurden mit Hilfe der pENTR/D-TOPO®-Klonierung (Invitrogen™) angefertigt. Dabei wurde nach Protokoll des Herstellers vorgegangen.

4.2.3 Extraktion und Analyse von Nukleinsäuren

4.2.3.1 Extraktion genomischer DNA aus Blattmaterial

Für analytische Nachweise, wie etwa PCR-Analysen, wurden gefrorene Blattscheiben mit Hilfe des Qiagen Tissue Lyser 2 Systems homogenisiert. Für die Extraktion der genomischen DNA wurde die Methode von Edwards et al. (1991) modifiziert. Das pulverisierte Blattmaterial wurde mit 400 µl Extraktionspuffer (200 mM Tris pH 8,0; 250 mM NaCl; 25 mM EDTA pH 8,0 und 0,5 % SDS) versetzt und anschließend für eine Minute homogenisiert. Nach dem Abtrennen unlöslicher Bestandteile wurde die DNA mit 1 Volumen Isopropanol gefällt. Das DNA-Pellet wurde mit 70 % Ethanol gewaschen und anschließend in 50 µl TE-Puffer gelöst. Die Isolierung genomischer DNA für *next generation sequencing* erfolgte wie bereits beschrieben (Aitchitt et al., 1993), außer dass der Waschschriff mit 70 % Ethanol 3x wiederholt wurde und das Pellet direkt in MQ + RNase (100 µg/ml) resuspendiert wurde. Für die DNA-Isolierung wurde Blattmaterial der Linien LNMSO15A F2 #125 und #387 gepoolt.

4.2.3.2 Isolierung von Gesamt-RNA aus Pflanzen und Analyse der Transkriptlevel

Die Extraktion vom Gesamt-RNA aus Pflanzen erfolgte nach der Methode von Logemann et al. (1987). Die Konzentration der RNA wurde an einem ND-1000 Spectrophotometer (NanoDropTechnologies) bestimmt.

Der Nachweis von mRNA erfolgte zum einen mittels Northern Blot Analyse, welche auf der Hybridisierung von mRNA auf einer Membran und dem spezifischen Nachweis mit einer [α - 32 P]-markierten Sonde basiert. Dazu wurde die RNA mit 10 % Formaldehyd, 1 x MEN (20 mM MOPS, 5 mM Natriumacetat, 1 mM EDTA, pH 7,0), 40 % Formamid, 1 μ l 1 % Ethidiumbromid und 1 x Auftragspuffer (6 % Glycerin, 10 mM EDTA pH 8,0 und 0,025 % der Farbstoffe Bromphenolblau sowie Xylen Cyanol) versetzt und auf einem 1,5 % Agarosegel mit 1 x MEN und 16,75 % Formaldehyd aufgetrennt. Anschließend wurde die RNA für 20 h über Nacht in 20 x SSC (3 M NaCl und 0,3 M Natriumcitrat) auf eine Nylonmembran geblotet. Zur Quervernetzung wurde die Membran zweimal mit 120 μ J im UV-Crosslinker (Vilber Lourmat, Eberhardzell) bestrahlt. Nach dem Trocknen der Membran wurde diese bis zur weiteren Verwendung bei Raumtemperatur gelagert. Für die Northern Blot Analyse wurde die Membran bei 65°C für mindestens eine Stunde in Church Puffer (7 % SDS, 0,5 % BSA, 1 mM EDTA und 0,5 M Natriumphosphatpuffer pH 7,2) vorhybridisiert. Die Hybridisierung mit einer [α - 32 P] radioaktiv markierten DNA Sonde (mittels High Prime Mix von Roche) über Nacht erfolgte nach Herstellerangaben. Unspezifisch gebundene Sonde wurde mit Waschpuffer (6 x SSC, 0,1 % SDS) reduziert. Im Folgenden wurde ein Kodak Biomax XAR Röntgenfilm aufgelegt und bei -80°C exponiert. Die Entwicklung des Films erfolgte mit dem Protec Optimax Entwicklersystem. Zum anderen erfolgte die Analyse der Transkriptmenge über semiquantitative RT-PCR. Die isolierte Gesamt-RNA wurde zunächst entsprechend den Herstellerangaben mit DNaseI (Fermentas) behandelt, um mögliche DNA-Kontaminationen zu eliminieren. Die verdaut RNA wurde in die cDNA-Synthese unter Verwendung der RevertAidTM H Minus M-MuLV Reversen Transkriptase sowie Oligo(dT)Oligonukleotiden laut Herstellerangaben eingesetzt (<http://www.fermentas.com>, Fermentas). Die PCR-Amplifikation von *Actin1* (*At2g37620*) unter Verwendung der Primer KL8 und KL9 wurde als Qualitätskontrolle für die cDNA verwendet. *CHER1* Transkriptmengen wurden mittels RT-PCR unter Verwendung der Primer KL101 (Vorwärtsprimer) und KL157 (Rückwärtsprimer; überspannt Exon 6 und 7), welche ein 472 bp-Fragment ergeben, überprüft.

4.2.3.3 Transkriptomanalyse

Für die Transkriptomanalyse wurden jeweils vier biologische Replikate der Linien Col-0, *cher1-4* und *cher1-5* verwendet, wobei Blätter von fünf bis sechs Pflanzen für ein

biologisches Replikat gepoolt wurden. Nach der Probennahme wurde das Blattmaterial bis zur weiteren Verwendung bei -80°C gelagert. Die Hybridisierung des Mikroarray erfolgte wie bereits beschrieben (Prasch und Sonnewald, 2013). Nach dem Import der Textfiles mit Hilfe der *Feature Extraction Software* (Version 12.5.1; Agilent Technologies) in GENESPRING XII (AgilentTechnologies), wurden die Mikroarraydaten zur Basis 2 logarithmiert, zum 75. Perzentil normalisiert und zum Median aller Proben korrigiert. Nach Verwendung des hierarchischen Cluster-Algorithmus und der *Pearson uncentered* Korrelation in GENESPRING XII gruppierten die Daten in zwei Hauptgruppen, zum einen die Wildtypproben und zum anderen die Proben der beiden CHER1-Mutanten. Die Identifizierung differentiell regulierter Gene zwischen *cher1-4*, *cher1-5* und Col-0 mit einer Expressionsänderung ≥ 2.0 und $p \leq 0.05$ erfolgte mit Hilfe des *T-test unpaired* und der Benjamini-Hochberg multiplen Testkorrektur (Benjamini und Hochberg, 1995). Durch das Erstellen eines Venn Diagramms aus den 1540 deregulierten Features für *cher1-5* und den 1314 deregulierten Features für *cher1-4* konnten insgesamt 960 Features ermittelt werden, die in beiden CHER1-Mutanten im Vergleich zum Wildtyp Col-0 differentiell reguliert waren (siehe Anhang Tabelle 23). Von diesen waren 240 Features hochreguliert und 720 Features herunterreguliert und konnten 200, bzw. 613 Gen-Loci zugeordnet werden. Die funktionelle Charakterisierung wurde wie bereits beschrieben durchgeführt (Prasch und Sonnewald, 2013). Die Arraydaten dieser Arbeit sind in der *National Center for Biotechnology Information Gene Expression Omnibus database* unter der Accession-Nummer GSE61595 hinterlegt.

4.2.4 Mutantenscreening und Marker-gestützte Kartierung

Samen der *MP17:GFP* exprimierenden Arabidopsislinie Col-16 wurden bereits in Vorarbeiten einer EMS-Mutagenese unterzogen (Lehle Seeds, Round Rock, TX, USA). In der vorliegenden Arbeit wurden 3840 Pflanzen der M2-Generation nach Mutanten mit einer veränderten MP17-Lokalisation in Sourceblättern und seneszenten Blättern durchmustert. Hierfür wurden zunächst die vorliegenden Samen der M2-Generation der 24 verschiedenen Parentallinien und der Kontrollen Col-0, Col-16 sowie Col-9 und Col-14, die im Vergleich zu Col-16 weniger *MP17:GFP* exprimieren, auf Erde ausgesät (Kronberg et al., 2007). Nach einer Stratifikation für drei Tage bei 4°C wurden die ausgesäten Samen in Kurztagbedingungen überführt und im Alter von 14 Tagen in 40 Multiflorplatten à 104 Töpfchen pikiert. Dabei wurde jede Multiflorplatte mit drei Col-0, drei Col-16 sowie einem Col-9 und einem Col-14 Keimling bestückt, wodurch pro Parentalgruppe 160

Pflanzen analysiert werden konnten. Die weitere Anzucht der Pflanzen bis zum Abschluss der konfokalen Analysen erfolgte unter Kurztagbedingungen.

Die Marker-gestützte Kartierung wurde wie bereits beschrieben durchgeführt (Vogel et al., 2011). Die hierfür verwendeten Primer sind im Anhang in Tabelle 18 und Tabelle 19 aufgeführt. Die PCR-Amplifikation der verwendeten SSLP-Marker erfolgte überwiegend mit einer Annealingtemperatur von 55°C und 40 Zyklen. Dazu wurde entweder eine selbst hergestellte, rekombinante Polymerase aus *Thermophilus aquaticus* (Puffer: 10 mM KCl, 20 mM Tris/HCl, 10 mM (NH₄)₂SO₄, 2 mM MgSO₄, 0,1 % Triton X-100, pH 8,8) oder Taq-Polymerase (New England Biolabs, Ipswich, USA; Puffer: 10 mM KCl, 20 mM Tris/HCl, 16 mM (NH₄)₂SO₄, 2 mM MgSO₄, 0,1 % Tween 20, pH 8,5) verwendet. Für CAPS-Marker wurden die PCR-Fragmente mit dem entsprechenden Restriktionsenzym (2 Units Enzym pro 20 µl PCR-Reaktion) für 90 min verdaut. Die erhaltenen PCR-Fragmente wurden schließlich auf 2,5 %-igen TBE-Agarosegelen aufgetrennt. Um eine eindeutige Unterscheidung der Ökotyp-spezifischen Allele/Restriktionsmuster zu gewährleisten, wurde die DNA von beiden Wildtypen und heterozygoten Pflanzen stets als Kontrollen mitgeführt.

4.2.5 Next generation sequencing

Nach dem Scheren von 1000 ng genomischer DNA mittels Ultraschall erfolgte die Präparation der Library unter Verwendung des SPRIworks System III for Life Technologies SOLiD System. Für die Bead-Präparation wurde das EZbead System von Life Technologies nach den Anweisungen des Herstellers verwendet. Anschließend wurde die *library* mit Hilfe des SOLiD Systems (Life Technologies) sequenziert, wodurch 94,156,791 *color space fragment reads* von 50 bp Länge generiert wurden. Das Mapping zum Tair10 Referenzgenom unter Verwendung des LifeScope Softwarepakets (Version 2.1) ergab eine durchschnittliche Sequenzabdeckung von 5,53. Die Varianten-Detektion mit Hilfe von diBayes und LifeScope small-indel brachte 129,784 SNPs und 16,069 small indels zum Vorschein. Die *next generation sequencing* Daten dieser Arbeit sind im *National Center for Biotechnology Sequence Read Archive* unter der Accessionnummer SRX708557 hinterlegt.

4.2.6 Generation von *CHER1* amiRNA Pflanzen

Die *artificial micro RNA* (amiRNA) für *CHER1* wurde unter Verwendung des Internettools Web MicroRNA Designer WMD3 (<http://wmd3.weigelworld.org/cgi-bin/webapp.cgi>) (Schwab et al., 2006) erstellt. Aus der Liste der vorgeschlagenen amiRNA-Sequenzen

wurde die amiRNA-Sequenz „TATTGACAATCATTGAAGCCC“ ausgewählt. Entsprechend dem veröffentlichten Protokoll auf der Webseite wurde das amiRNA Backbone des Vektors pRS300 (MIR319a *Arabidopsis thaliana*) unter Verwendung der über den Oligo-Designer generierten Primer modifiziert, um amiRNACHER1 zu generieren. Nach einer Zwischen-klonierung des PCR-Produktes d) in den Vektor pCRBlunt und Überprüfung mittels Sequenzierung wurde die amiRNACHER1-Kassette über die Restriktionsschnittstellen XbaI und XhoI in den Zielvektor pFV3, bzw. pAF16 (Stadler et al., 2005), einem von pGPTV-BAR abgeleiteten Vektor für die Überexpression in Pflanzen, der einen 35S-Promotor sowie eine BASTA-Resistenzkassette beinhaltet, kloniert (Becker et al., 1992). Das erhaltene amiRNACHER1-Konstrukt wurde in Agrobakterien transformiert und diese für die stabile Transformation von Col-0 und Col-16 Pflanzen eingesetzt.

4.2.7 Komplementation der CHER1-Mutanten

Für die Komplementation der CHER1-Mutanten wurden folgende Konstrukte in Agrobakterien transformiert und über *floral dip* die Mutanten SO15A und *cher1-4* transformiert.

Tabelle 15: Für die Komplementation verwendete Konstrukte

| Linie | Konstrukt |
|----------------|--|
| <i>cher1-4</i> | CHER1:GFP GFP:CHER1 CHER1:HA HA:CHER1 |
| <i>cher1-5</i> | CHER1:GFP GFP:CHER1 |
| SO15A | CHER1:HA HA:CHER1 |

4.2.8 Western Blot Analyse

Der Nachweis von Proteinen erfolgte nach der Methode von Laemmli (1970). Für die Analyse von Gesamtproteinextrakten aus Pflanzen wurden jeweils zwei Blattscheiben gleicher Blattfläche (0,64 cm²) in flüssigem Stickstoff schockgefroren und mit Hilfe des Qiagen Tissue Lyser II homogenisiert. Das pulverisierte Blattmaterial wurde mit 2x Laemmli Probenpuffer [125 mM Tris/HCl, pH 6,8; 20 mM DTT; 20 % (v/v) Glycerin; 4 %

(w/v) SDS; 0,2 % (w/v) Bromphenolblau] versetzt und durch Vortexen homogenisiert. Nach Abkochen für 10 min bei 95°C wurden die Zelltrümmer kurz pelletiert und der Überstand wurde auf ein 12,5 %-iges (v/v) SDS-Polyacrylamid Gel aufgetragen. Nach dem Gellauf wurde die Membran in Transferpuffer [39 mM Glycin, 48 mM Tris, 0,0375 % SDS, 20 % Methanol, pH 8,2 (HCl)] äquilibriert und bei 1 mA/cm² für 1,5 h auf eine Nitrocellulosemembran (Porablot, Macherey-Nagel, Düren) transferiert. Anschließend wurde die Membran in Blockierlösung - bestehend aus 5 % Milchpulver (w/v) gelöst in TBS/T (20 mM Tris, 500 mM NaCl, 0,1 % (w/v) Tween 20) - für mindestens 1 h blockiert. Nach dreimaligem Waschen der Membran in TBS/T wurde diese über Nacht mit anti-MP17-Antiserum [1:5000], anti-GFP-Antiserum [1:1000] oder anti-Transketolase-Antiserum [1:4000] (jeweils verdünnt in TBS/T mit 1 % (w/v) Milchpulver) inkubiert. Am nächsten Tag wurde die Membran nach drei 5-minütigen Waschschritten für 2 h mit einem Meerrettichperoxidase-gekoppelten sekundären Antikörper [1:20000 verdünnt in TBS/T mit 1 % (w/v) Milchpulver] inkubiert. Nach erneuten Waschschritten für jeweils 5 min wurde die Membran mit 6 µl 35 % H₂O₂ (gelöst in 0,1 M Tris/HCl pH 8,5) und 144 µl eines Coumarin-Luminol Gemischs (gelöst in 0,1 M Tris/HCl pH 8,5) für 1 min inkubiert und antikörperspezifische Signale durch Auflegen und Entwickeln eines Kodak Biomax XAR Röntgenfilms detektiert.

4.2.9 Physiologische Analysen und Zuckermessung

Für die physiologischen Analysen wurden die Pflanzen für sieben Wochen unter Kurztagbedingungen kultiviert. Blattanzahl und Rosettenfrischgewicht wurden für je fünf biologische Replikate pro Linie bestimmt. Um das reproduktive Wachstum zu bestimmen, wurden Pflanzen für sechs Wochen unter Kurztagbedingungen kultiviert und dann in Langtagbedingungen transferiert. Zur Analyse der Blühinduktion wurde pro Linie für sechs biologische Replikate der Tag der ersten geöffneten Blüte nach dem Transfer bestimmt. Für die Ermittlung des vertikalen Wurzelwachstums wurden die Arabidopsis-Keimlinge auf 50 ml MS-Medium ohne Saccharose in quadratischen Petrischalen angezogen. Um Positionseffekte bei der Bestimmung des vertikalen Wurzelwachstums zu vermeiden, wurden je 6-8 Samen pro Linie in alternierenden Gruppen ausgebracht. Im Anschluss an eine zweitägige Stratifikation dunkel bei 4°C wurden die Platten in der Lichtkammer senkrecht in einem Winkel von etwa 4° positioniert und das Wurzelwachstum nach 5 und nach 14 Tagen unter konstanten Lichtbedingungen bestimmt.

Für Zucker- und Stärkemessungen wurden Blattproben von je fünf Individuen (Pflanzenalter: 5-6 Wochen), d.h. biologischen Replikaten, pro Linie und je zwei

technischen Replikaten pro Pflanze von gegenüberliegenden Blättern geerntet. Die Blattscheiben wurden in 250 µl 80 % (v/v) Ethanol bei 80°C für 1-2 h extrahiert, auf 4°C abgekühlt und bei 13000 rpm für 1 min zentrifugiert. Der Überstand wurde für 2-3 h in der Speed-vac eingedampft und für die Extraktion der löslichen Zucker (Glukose, Fruktose und Saccharose) verwendet, während das Pellet für die Stärkeextraktion eingesetzt wurde. Die Bestimmung der Gehalte an löslichen Zuckern und Stärke erfolgte mittels eines enzymatisch-gekoppelten Assays in Mikrotiterplatten wie bereits von Voll et al. (2003) beschrieben.

4.2.10 Keimlingsversuche

Für die Keimlingsversuche wurden Col-16 Samen zunächst flüssigsterilisiert und dann auf MS-Platten mit dem jeweiligen Inhibitor ausgebracht. Als Kontrolle dienten Keimlinge, die auf MS-Platten ohne Inhibitor kultiviert wurden. Zur Inhibierung der Brassinosteroid-Biosynthese wurde die Triazol-Verbindung Propiconazol (Pcz, Fluka) in einer Konzentration von 2 µM (Hartwig et al., 2012) eingesetzt und die Keimlinge nach zehn Tagen mittels KLSM analysiert. Als Inhibitor der Sterolsynthese wurde Fenpropimorph (FEN, Fluka) in einer Konzentration von 1 µM verwendet (Schrick et al., 2004). Nach 19 Tagen wurden Kotyledonen und Sinkblätter der Keimlinge mittels KLSM analysiert. Da Sourceblätter durch den Einfluss des Inhibitors stark verkümmert waren, wurden für die Analyse der Sourceblätter Keimlinge von Kontrollplatten ohne FEN im Alter von 23 Tagen auf MS-Platten mit Inhibitor umgesetzt und nach weiteren zwei Wochen die Sourceblätter mittels KLSM untersucht.

4.2.11 Messung des Cholingehaltes und der Phospholipide

Für jede Linie wurden drei bis fünf biologische Replikate mit jeweils 50 mg Blattmaterial verwendet, wobei Blätter von fünf bis sechs Pflanzen für ein biologisches Replikat gepoolt wurden. Das Blattmaterial wurde in flüssigem Stickstoff schockgefroren und in einem vorgekühlten Mörser pulverisiert.

Cholin wurde mit 1,2 ml eines MeOH:CHCl₃:H₂O-Gemisches (Verhältnis 6:2:2) extrahiert (Patell Viloo et al., 2010). Das Homogenisat wurde für 10 min auf Eis inkubiert, mit 0,9 ml H₂O gemischt und anschließend zur Phasenvergrößerung mit 0,1 ml CHCl₃ versehen. Nach einem Zentrifugationsschritt für 1 min bei 14000 xg wurde die obere Phase abgenommen und aufbewahrt. Die untere Phase wurde mit 0,7 ml des Extraktionspuffers

reextrahiert. 600 µl der beiden vereinigten oberen Phasen wurden über einen 10 kDa Spinfilter gereinigt und bis zur Messung bei -80°C gelagert.

Phospholipide wurden nach der Methode von Bligh und Dyer (1959) und BeGora et al. (2010) extrahiert. Im Anschluss wurde das Pellet in 200 µl eines Isopropanol: Hexan:NH₄FA-Gemisches (Verhältnis 58:40:2) resuspendiert. Die MS-Analyse erfolgte mit einem ICS3000 HPLC System (Dionex) und einem QTrap 3200 (ABI Sciex) Massenspektrometer und der jeweiligen dazugehörigen Software Chromeleon 6.8, bzw. Analyst 1.4.2. Für die Chromatographie wurden 10 µl der Extrakte durch den Autosampler bei 4°C auf eine Acclaim HILIC-1 Mix-Modus-Trennsäule (*mix mode separating column*, 3 µm, 2,1 x 150 mm, Dionex) mit einer Acclaim HILIC-1 Vorsäulenkartusche (*guard column cartridge*, 5 µm, 2 x 10 mm) geladen (Grumbach et al., 2004).

Für Cholin wurde die Durchflussgeschwindigkeit auf 0,25 ml/min bei einer Säulentemperatur von 30°C eingestellt. Es wurde ein binärer Gradient mit Eluent A (Acetonitril) und Eluent B H₂O (pH 3,0 mit Ameisensäure) für 30 min wie folgt angewendet: 0-7 min 40 % B; 7-13 min 80 % B; 13-17 min 95 % B; 17-19 min 5 % B; 19-23 min 5 % B; 23-30 min 40 % B. Nach jeder Probe wurde zur Säulenreinigung eine Leerprobe mit dem gleichen Gradienten gefahren. Für ESI/MS/MS wurden +5,5 kV und eine Quelltemperatur von 500°C angewendet. Die Gasquellen waren 10 psi (Gas-Gegenstrom, *curtain*), 40 psi (Gas1) und 45 psi (Gas2). Das Interphasenheizgerät war an. Die *dwell time* betrug 75 ms. Die detektierten Q1/Q3 Massenübergänge sowie die stoffspezifischen MS-Potentiale sind in Tabelle 22 im Anhang aufgeführt. Peakflächen wurden mittels der Kurven des reinen Cholinstandards (Sigma) zwischen 0,1 und 10 µM bestimmt. Recoveryraten, welche mittels *spiking* mit Standardlösungen bestimmt wurden, betragen 92,5 +/- 16,0 % für Cholin und 111 +/- 26 % für Acetylcholin.

Für die Messung der Phospholipide betrug die Durchflussgeschwindigkeit 0,3 ml/min bei einer Säulentemperatur von 30°C. Es wurde ein ternärer Gradient für 35 min mit Eluent A (2-Propanol), Eluent B (Hexan) und Eluent C (100 mM Ammoniumformiat) sowie einem normalen Phasemodus wie folgt angewendet: 0-2 min 40 % B und 2 % C; 2-15 min 40 % B und 7 % C; 15-18 min 40 % B und 10 % C; 18-21 min 40 % B und 2 % C; 21-35 min 40 % B und 2 % C. Die Parameter der Ionenquelle waren +5,5 kV bei 400°C mit einem Gas-Gegenstrom (*curtain gas*) von 10 psi, Gas 1 bei 35 psi und Gas 2 bei 40 psi. Das Interphasenheizgerät war an. Stoffspezifische Parameter sind in Tabelle 22 aufgeführt. Für die Feinabstimmung und die Standardlösungen wurden die in Tabelle 22 im Anhang aufgelisteten Phospholipidklassen (Sigma, aus Eigelb) in Methanol/Chloroform (1:1) gelöst (Konzentration 10-100 ng/µl). Standards repräsentieren Gemische der verschiedenen Phospholipide der jeweiligen Klasse.

4.2.12 Membranisolierung und Extraktion von Fettsäuren

Zur Isolierung von Plasmamembranen wurde eine Methode nach Alexanderson et al. (2004) modifiziert. Zur Bestimmung der darin enthaltenen Fettsäuren nach Umesterung zu Fettsäuremethylestern (FAMES) wurde die Methode nach Moon et al. (2000) verwendet. Jeweils 500 mg Blattmaterial von acht Wochen alten Pflanzen wurde in vorgekühlten Mörsern mit 6 ml Homogenisationspuffer [330 mM Saccharose; 50 mM MOPS-KOH pH7,5; 5 mM Ascorbat, 5 mM DTT] aufgeschlossen. Zellwände und Fragmente wurden anschließend in einem 15 ml Sarstedtröhrchen für 1 min bei 2000 rpm abgetrennt. Der Überstand wurde in 15 ml Corex Gläser überführt und weitere 5 min bei 15000 xg zentrifugiert. Das dunkelgrüne, glasige Pellet (*low spin* Pellet, enthält Organellen) wurde in 2 ml Methanol/2 % H₂SO₄ aufgenommen, in 10 ml Glasröhrchen überführt und auf ca. 0,5 ml im Heizblock bei 80°C und leicht geöffneten Deckeln eingengt. Durch die saure Katalyse wurde in freie Fettsäuremethylester (FAMES) umgeestert. FAMES wurden dann mit 1,5 ml/0,01 % BHT (Antioxidans: Butyliertes Hydroxytoluen) durch kräftiges Vortexen extrahiert. Zur Gewinnung der Membranfraktion wurde der Überstand des *low spin* Pellets in Polycarbonat-Röhrchen überführt und 1 h bei 100000 xg zentrifugiert. Die Fettsäuren dieses *high spin* Pellets (Membranfraktion; glasig, zart grün) wurden dann wie oben umgeestert. Die oberen Hexanphasen wurden nach Zentrifugation für 3 min bei 2000 rpm abgehoben und in 2 ml Autosamplervials mit Teflondeckel überführt. Die Extrakte aus dem *low spin* Pellet wurden zudem noch 1:1 mit Hexan/BHT verdünnt. Je 1 µl der Präparationen wurde für die GC/MS Analyse verwendet. Hierfür wurde ein Probenvolumen von 1 µl mit einer *split ratio* von 2:1 eingespritzt. Die GC/MS Anlage (Shimadzu, Duisburg) bestand aus einem GC-2010 Gaschromatografen, einem GC/MS-QP2010S Quadrupol-Massen-Spektrometer und einem AOC-20s Autosampler mit AOC-20i Autoinjektor. Als Trägergas wurde Helium (He 5.0) verwendet. Die GC wurde mit einer 30 m Fawewax GC-Säule mit 0,25 mm Innendurchmesser und einer Filmdicke von 0,25 µm durchgeführt (Restek Int., Homburg). Die Injektionstemperatur war 220°C, das Interface hatte 230°C und die Ionenquelle 200°C. Als Trägergas wurde Helium mit einer Flussrate von 1,13 ml/min verwendet. Die Temperaturen des GC-Ofens waren 130°C für 6 min gefolgt von einem Temperaturgradienten auf 225°C in 16 min. 225°C wurden für weitere 10 min gehalten. Anschließend wurde die Säule für 1 min wieder auf die Starttemperatur äquilibriert. Massenspektren wurden mit 2 Scans pro Sekunde und einem Fenster von M/Z 35-350 aufgezeichnet. Zur Messung im *single ion modus* (SIM) wurden die Spektren der Standardsubstanzen ermittelt und repräsentative Massen-Fragmente ausgewählt. Massenspuren wurden mit einer Rate von 5 Scans pro Sekunde in drei Zeitfenstern aufgezeichnet. 10,22 min-11,44 min und 11,44 min-12,89 min: m/z 74,0,

87,0, 43,0, 41,0, 55,0,: 12,89 min-14,99 min: m/z 74,0, 87,0, 43,0, 41,0, 75,0, 55,0, 69,0, 67,0, 81,0, 95,0. Chromatogramme und Massenspektren wurden mit dem Programm GCMS Solutions (Shimadzu) ausgewertet. Die Software verfügte über eine Spektren-Datenbank zur automatischen Erkennung von Fettsäuren. Zur Bestimmung der Retentionszeiten der Fettsäuren wurden zunächst käufliche Fettsäuremethylester analysiert. Anschließend wurden Realproben im Fullscan und SIM-Modus analysiert.

4.2.13 Plasmidkonstruktion für Lokalisierungsstudien

MP17-Deletionsvarianten wurden durch entsprechende Primerwahl innerhalb der MP17-Sequenz generiert. Die verschiedenen Mutationen der Phosphorylierungsstellen sowie der Lysine wurden durch Overlap-PCR mit spezifischen Primer (siehe Anhang Tabelle 17) eingebracht. Für die Lokalisierung von CHER1 wurde die kodierende Sequenz von *At3g15380* mittels PCR amplifiziert. Die erhaltenen Fragmente wurden in den Entryvektor pENTR-D/TOPO nach den Anweisungen des Herstellers (Invitrogen) kloniert und anschließend in die binären Gateway Destinationsvektoren pK7FWG2 und pK7WGF2 (Karimi et al., 2002) für C-, bzw. N-terminale GFP-Fusionen unter Verwendung der LR-Clonase (Invitrogen) rekombiniert. Die fertigen Konstrukte wurden in den *Agrobacterium tumefaciens* Stamm C58C1 transformiert, welcher das Virulenzplasmid pGV2260 beinhaltet. Anschließend wurden die transformierten Agrobakterien für die transiente Expression der Fusionsproteine in 4–6 Wochen alte *Nicotiana benthamiana* Pflanzen eingesetzt.

4.2.14 BIFC-Analysen

Für die Bimolekulare Fluoreszenzkomplementation wurden folgende Kombination in *Nicotiana benthamiana* koinfiltriert:

Tabelle 16: Verwendete Konstrukt-Kombinationen für die BIFC-Analysen

| BIFC1 | BIFC2 |
|---------------------------------|---|
| VENUS ^N -CHER1 | MP17-VENUS ^C VENUS ^C -MP17 |
| VENUS ^C -CHER1 | MP17-VENUS ^N |
| VENUS ^N -CHER1_G247E | MP17-VENUS ^C VENUS ^C -MP17 |
| VENUS ^C -CHER1_G247E | MP17-VENUS ^N |

| | |
|-------------------------|--------------------------|
| XopJ-VENUS ^N | RPT6-VENUS ^C |
| C-VENUS ^N | VENUS ^C -MP17 |

4.2.15 KLSM-Analysen

Zwei bis drei Tage nach der Infiltration wurde die Lokalisierung der Fusionsproteine über konfokale Laserscanning Mikroskopie (KLSM) unter Verwendung eines Leica TCS SP5 II-Mikroskops (Leica Microsystems; Bensheim, Germany) analysiert. Zur Visualisierung der Zellwände - und in kaputten Zellen auch der Zellkerne - wurden die Blattstücke für etwa 5 min in Propidiumiodidlösung (1 mg/ml in H₂O; Sigma-Aldrich) gefärbt und 4x mit Wasser gewaschen. Initiale Analysen wurden an einem Leica MZ16F Stereomikroskop durchgeführt. Für konfokale Mikroskopieaufnahmen wurde die abaxiale Blattseite der Blattstücke von *Arabidopsis* und *N. benthamiana* gescannt. GFP und Propidiumiodid wurden mit einem 20 mW Argonlaser bei 488 nm angeregt. Die Emission wurde für GFP bei 497-526 nm, für Propidiumiodid bei 598-650 nm und für die Autofluoreszenz von Chlorophyll im Bereich von 682-730 nm detektiert. Konfokale Aufnahmen für einen Vergleich der GFP-Fluoreszenz zwischen zwei Linien wurden sofern nicht anders angegeben mit gleichen Einstellungen für Anregung und Detektion aufgenommen.

KLSM-Aufnahmen für GFP:CHER1 Fusionen sind Maximumprojektionen von *image stacks*, wobei Bilder durch die Leica Confocal Software 2.5 überlagert wurden. Alle weiteren konfokalen Aufnahmen sind Einzelaufnahmen.

4.2.16 Alignment luteoviraler Movementproteine

Proteinsequenzen der zu MP17 homologen luteoviralen Movementproteine wurden mittels "ClustalW2"¹ aligned. Accessionnummern: AAB70926.1 (*Barley yellow dwarf virus*), AAF62534.1 (*Cereal yellow dwarf virus*), AAK49962.1 (*Beet chlorosis virus*), AAM22679.1 (*Beet western yellows virus*), AAZ57428.1 (*Beet mild yellowing virus*), AAX08105.1 (*Cotton leaf roll dwarf virus*), ACA04435.1 (*Soybean dwarf virus*), ABG46340.1 (*Sweet potato leaf speckling virus*).

4.2.17 Alignment und phylogenetischer Baum der Mitglieder der Cholintransporterfamilie

Das Alignment der Proteinsequenzen der Mitglieder der Cholintransporterfamilie aus *Arabidopsis thaliana* und das Erstellen des phylogenetischen Baums erfolgte unter

Verwendung von Geneious Pro 5.6.3 (<http://www.geneious.com>, Kearse et al., 2012).
Genetic Distance Model: Jukes-Cantor. Tree build Method: Neighbor-Joining. Outgroup:
No Outgroup. Accessionnummern: Q9S7M7 (At3g03700.1), Q9M843 (At3g04440.1),
Q9FN70 (At5g17830.1), F4K425 (At5g13760.1), F4ICI7 (At1g25500.1), Q94AN2
(At3g15380.1), Q93YN6 (At4g38640.1).

Literaturverzeichnis

- Abe M, Kobayashi Y, Yamamoto S, Daimon Y, Yamaguchi A, Ikeda Y, Ichinoki H, Notaguchi M, Goto K, Araki T** (2005) FD, a bZIP protein mediating signals from the floral pathway integrator FT at the shoot apex. *Science* **309**: 1052-1056
- Agbeci M, Grangeon R, Nelson RS, Zheng H, Laliberte JF** (2013) Contribution of host intracellular transport machineries to intercellular movement of *Turnip mosaic virus*. *PLoS Pathog* **9**: e1003683
- Aitchitt M, Ainsworth CC, Thangavelu M** (1993) A rapid and efficient method for the extraction of total DNA from mature leaves of the date palm (*Phoenix dactylifera* L.). *Plant Molecular Biology Reporter* **11**: 317-319
- Alexandersson E, Saalbach G, Larsson C, Kjellbom P** (2004) *Arabidopsis* plasma membrane proteomics identifies components of transport, signal transduction and membrane trafficking. *Plant and Cell Physiology* **45**: 1543-1556
- Altmann T** (1998) Recent advances in brassinosteroid molecular genetics. *Current opinion in plant biology* **1**: 378-383
- Alzhanova DV, Napuli AJ, Creamer R, Dolja VV** (2001) Cell-to-cell movement and assembly of a plant closterovirus: roles for the capsid proteins and Hsp70 homolog. *The EMBO journal* **20**: 6997-7007
- Amari K, Boutant E, Hofmann C, Schmitt-Keichinger C, Fernandez-Calvino L, Didier P, Lerich A, Mutterer J, Thomas CL, Heinlein M, Mely Y, Maule AJ, Ritzenthaler C** (2010) A family of plasmodesmal proteins with receptor-like properties for plant viral movement proteins. *PLoS Pathog* **6**: e1001119
- Amari K, Lerich A, Schmitt-Keichinger C, Dolja VV, Ritzenthaler C** (2011) Tubule-guided cell-to-cell movement of a plant virus requires class XI myosin motors. *PLoS Pathog* **7**: e1002327
- Analysis of the genome sequence of the flowering plant *Arabidopsis thaliana*. (2000) *Nature* **408**: 796-815
- Andersson MX, Kourtchenko O, Dangl JL, Mackey D, Ellerström M** (2006) Phospholipase-dependent signalling during the AvrRpm1- and AvrRpt2-induced disease resistance responses in *Arabidopsis thaliana*. *The Plant Journal* **47**: 947-959
- Angell SM, Davies C, Baulcombe DC** (1996) Cell-to-cell movement of *Potato virus X* is associated with a change in the size-exclusion limit of plasmodesmata in trichome cells of *Nicotiana glauca*. *Virology* **216**: 197-201
- Anthony RG, Henriques R, Helfer A, Meszaros T, Rios G, Testerink C, Munnik T, Deak M, Koncz C, Bogre L** (2004) A protein kinase target of a PDK1 signalling pathway is involved in root hair growth in *Arabidopsis*. *Embo Journal* **23**: 572-581
- Aoki K, Kragler F, Xoconostle-Cazares B, Lucas WJ** (2002) A subclass of plant heat shock cognate 70 chaperones carries a motif that facilitates trafficking through plasmodesmata. *Proc Natl Acad Sci U S A* **99**: 16342-16347
- Apparsundaram S, Ferguson SM, George AL, Jr., Blakely RD** (2000) Molecular cloning of a human, hemicholinium-3-sensitive choline transporter. *Biochem Biophys Res Commun* **276**: 862-867
- Arisz SA, Testerink C, Munnik T** (2009) Plant PA signaling via diacylglycerol kinase. *Biochim Biophys Acta* **1791**: 869-875
- Ashby J, Boutant E, Seemanpillai M, Sambade A, Ritzenthaler C, Heinlein M** (2006) *Tobacco mosaic virus* movement protein functions as a structural microtubule-associated protein. *J Virol* **80**: 8329-8344
- Avisar D, Prokhnovsky AI, Dolja VV** (2008) Class VIII myosins are required for plasmodesmal localization of a closterovirus Hsp70 homolog. *J Virol* **82**: 2836-2843

- Badelt K, White R, Overall R, Vesik M** (1994) Ultrastructural specializations of the cell wall sleeve around plasmodesmata. *American Journal of Botany*: 1422-1427
- Baluška F, Curckova F, Kendrick-Jones J, Volkmann D** (2001) Sink plasmodesmata as gateways for phloem unloading. Myosin VIII and calreticulin as molecular determinants of sink strength? *Plant Physiology* **126**: 39-46
- Baluška F, Šamaj J, Napier R, Volkmann D** (1999) Maize calreticulin localizes preferentially to plasmodesmata in root apex. *The Plant Journal* **19**: 481-488
- Baron CL, Malhotra V** (2002) Role of diacylglycerol in PKD recruitment to the TGN and protein transport to the plasma membrane. *Science* **295**: 325-328
- Barratt DP, Kölling K, Graf A, Pike M, Calder G, Findlay K, Zeeman SC, Smith AM** (2011) Callose synthase GSL7 is necessary for normal phloem transport and inflorescence growth in *Arabidopsis*. *Plant Physiology* **155**: 328-341
- Baudouin E, Meskiene I, Hirt H** (1999) Unsaturated fatty acids inhibit MP2C, a protein phosphatase 2C involved in the wound-induced MAP kinase pathway regulation. *The Plant Journal* **20**: 343-348
- Bayer EM, Bottrill AR, Walshaw J, Vigouroux M, Naldrett MJ, Thomas CL, Maule AJ** (2006) *Arabidopsis* cell wall proteome defined using multidimensional protein identification technology. *Proteomics* **6**: 301-311
- Bayer EM, Thomas CL, Maule AJ** (2004) Plasmodesmata in *Arabidopsis thaliana* suspension cells. *Protoplasma* **223**: 93-102
- Becker D, Kemper E, Schell J, Masterson R** (1992) New plant binary vectors with selectable markers located proximal to the left T-DNA border. *Plant molecular biology* **20**: 1195-1197
- BeGora MD, Macleod MJ, McCarry BE, Summers PS, Weretilnyk EA** (2010) Identification of phosphomethylethanolamine N-methyltransferase from *Arabidopsis* and its role in choline and phospholipid metabolism. *J Biol Chem* **285**: 29147-29155
- Bell CJ, Ecker JR** (1994) Assignment of 30 microsatellite loci to the linkage map of *Arabidopsis*. *Genomics* **19**: 137-144
- Bell K, Oparka K** (2011) Imaging plasmodesmata. *Protoplasma* **248**: 9-25
- Benitez-Alfonso Y, Cilia M, Roman AS, Thomas CL, Maule AJ, Hearn S, Jackson D** (2009) Control of *Arabidopsis* meristem development by thioredoxin-dependent regulation of intercellular transport. *Proceedings of the National Academy of Sciences* **106**: 3615-3620
- Benitez-Alfonso Y, Faulkner C, Pendle A, Miyashima S, Helariutta Y, Maule AJ** (2013) Symplastic intercellular connectivity regulates lateral root patterning. *Developmental cell* **26**: 136-147
- Benitez-Alfonso Y, Faulkner C, Ritzenthaler C, Maule AJ** (2010) Plasmodesmata: gateways to local and systemic virus infection. *Molecular plant-microbe interactions* **23**: 1403-1412
- Benitez-Alfonso Y, Jackson D** (2009) Redox homeostasis regulates plasmodesmal communication in *Arabidopsis* meristems. *Plant Signal Behav* **4**: 655-659
- Benjamini Y, Hochberg Y** (1995) Controlling the false discovery rate: a practical and powerful approach to multiple testing. *Journal of the Royal Statistical Society. Series B (Methodological)*: 289-300
- Benschop J, Mohammed S, O'Flaherty M, Heck AJ, Slijper M, Menke F** (2007) Quantitative phosphoproteomics of early elicitor signaling in *Arabidopsis*. *Molecular & Cellular Proteomics* **6**: 1198-1214
- Bhat RA, Panstruga R** (2005) Lipid rafts in plants. *Planta* **223**: 5-19
- Bigay J, Gounon P, Robineau S, Antony B** (2003) Lipid packing sensed by ArfGAP1 couples COPI coat disassembly to membrane bilayer curvature. *Nature* **426**: 563-566
- Blackman LM, Harper JD, Overall RL** (1999) Localization of a centrin-like protein to higher plant plasmodesmata. *European journal of cell biology* **78**: 297-304

- Blackman LM, Overall RL** (1998) Immunolocalisation of the cytoskeleton to plasmodesmata of *Chara corallina*. *The Plant Journal* **14**: 733-741
- Blackwood RA, Ernst JD** (1990) Characterization of Ca²⁺-dependent phospholipid binding, vesicle aggregation and membrane fusion by annexins. *Biochem J* **266**: 195-200
- Bligh EG, Dyer WJ** (1959) A rapid method of total lipid extraction and purification. *Canadian journal of biochemistry and physiology* **37**: 911-917
- Bligny R, Foray MF, Roby C, Douce R** (1989) Transport and phosphorylation of choline in higher plant cells. Phosphorus-31 nuclear magnetic resonance studies. *J Biol Chem* **264**: 4888-4895
- Blusztajn JK** (1998) Choline, a vital amine. *Science* **281**: 794-795
- Bogdanov M, Dowhan W, Vitrac H** (2014) Lipids and topological rules governing membrane protein assembly. *Biochim Biophys Acta* **1843**: 1475-1488
- Bogdanov M, Heacock PN, Dowhan W** (2002) A polytopic membrane protein displays a reversible topology dependent on membrane lipid composition. *EMBO J* **21**: 2107-2116
- Bogdanov M, Xie J, Heacock P, Dowhan W** (2008) To flip or not to flip: lipid-protein charge interactions are a determinant of final membrane protein topology. *J Cell Biol* **182**: 925-935
- Bolognese CP, McGraw P** (2000) The isolation and characterization in yeast of a gene for Arabidopsis S-adenosylmethionine:phospho-ethanolamine N-methyltransferase. *Plant Physiol* **124**: 1800-1813
- Borner GH, Sherrier DJ, Weimar T, Michaelson LV, Hawkins ND, MacAskill A, Napier JA, Beale MH, Lilley KS, Dupree P** (2005) Analysis of detergent-resistant membranes in *Arabidopsis*. Evidence for plasma membrane lipid rafts. *Plant physiology* **137**: 104-116
- Botha C, Cross R, Van Bel A, Peter C** (2000) Phloem loading in the sucrose-export-defective (*SXD-1*) mutant maize is limited by callose deposition at plasmodesmata in bundle sheath—vascular parenchyma interface. *Protoplasma* **214**: 65-72
- Botha C, Hartley B, Cross R** (1993) The ultrastructure and computer-enhanced digital image analysis of plasmodesmata at the Kranz mesophyll-bundle sheath interface of *Themeda triandra* var. *imberbis* (Retz) A. Camus in conventionally-fixed blades. *Annals of Botany* **72**: 255-261
- Boyko V, Ashby JA, Suslova E, Ferralli J, Sterthaus O, Deom CM, Heinlein M** (2002) Intramolecular complementing mutations in *Tobacco mosaic virus* movement protein confirm a role for microtubule association in viral RNA transport. *J Virol* **76**: 3974-3980
- Boyko V, Ferralli J, Ashby J, Schellenbaum P, Heinlein M** (2000) Function of microtubules in intercellular transport of plant virus RNA. *Nat Cell Biol* **2**: 826-832
- Boyko V, Ferralli J, Heinlein M** (2000) Cell-to-cell movement of TMV RNA is temperature-dependent and corresponds to the association of movement protein with microtubules. *Plant J* **22**: 315-325
- Boyko V, Hu Q, Seemanpillai M, Ashby J, Heinlein M** (2007) Validation of microtubule-associated *Tobacco mosaic virus* RNA movement and involvement of microtubule-aligned particle trafficking. *Plant J* **51**: 589-603
- Boyko V, van der Laak J, Ferralli J, Suslova E, Kwon MO, Heinlein M** (2000) Cellular targets of functional and dysfunctional mutants of *Tobacco mosaic virus* movement protein fused to green fluorescent protein. *J Virol* **74**: 11339-11346
- Brecknock S, Dibbayawan TP, Vesik M, Vesik PA, Faulkner C, Barton DA, Overall RL** (2011) High resolution scanning electron microscopy of plasmodesmata. *Planta* **234**: 749-758
- Brill LM, Nunn RS, Kahn TW, Yeager M, Beachy RN** (2000) Recombinant *Tobacco mosaic virus* movement protein is an RNA-binding, α -helical membrane protein. *Proceedings of the National Academy of Sciences* **97**: 7112-7117

- Broquet AH, Thomas G, Masliah J, Trugnan G, Bachelet M** (2003) Expression of the molecular chaperone Hsp70 in detergent-resistant microdomains correlates with its membrane delivery and release. *Journal of Biological Chemistry* **278**: 21601-21606
- Brown MF** (1997) Influence of nonlamellar-forming lipids on rhodopsin. *Current topics in membranes* **44**: 285-356
- Burch-Smith TM, Stonebloom S, Xu M, Zambryski PC** (2011) Plasmodesmata during development: re-examination of the importance of primary, secondary, and branched plasmodesmata structure versus function. *Protoplasma* **248**: 61-74
- Burch-Smith TM, Zambryski PC** (2010) Loss of INCREASED SIZE EXCLUSION LIMIT (ISE)1 or ISE2 increases the formation of secondary plasmodesmata. *Curr Biol* **20**: 989-993
- Burch-Smith TM, Zambryski PC** (2012) Plasmodesmata paradigm shift: regulation from without versus within. *Annual review of plant biology* **63**: 239-260
- Cacas J-L, Furt F, Le Guédard M, Schmitter J-M, Buré C, Gerbeau-Pissot P, Moreau P, Bessoule J-J, Simon-Plas F, Mongrand S** (2012) Lipids of plant membrane rafts. *Prog Lipid Res* **51**: 272-299
- Camoni L, Di Lucente C, Pallucca R, Visconti S, Aducci P** (2012) Binding of phosphatidic acid to 14-3-3 proteins hampers their ability to activate the plant plasma membrane H⁺-ATPase. *IUBMB Life* **64**: 710-716
- Cantrill L, Overall R, Goodwin P** (1999) Cell-to-cell communication via plant endomembranes. *Cell Biology International* **23**: 653-661
- Carluccio AV, Zicca S, Stavolone L** (2014) Hitching a ride on vesicles: *Cauliflower mosaic virus* movement protein trafficking in the endomembrane system. *Plant Physiol*
- Carmona-Salazar L, El Hafidi M, Enriquez-Arredondo C, Vazquez-Vazquez C, Gonzalez de la Vara LE, Gavilanes-Ruiz M** (2011) Isolation of detergent-resistant membranes from plant photosynthetic and non-photosynthetic tissues. *Anal Biochem* **417**: 220-227
- Chapman S, Hills G, Watts J, Baulcombe D** (1992) Mutational analysis of the coat protein gene of *Potato virus X*: effects on virion morphology and viral pathogenicity. *Virology* **191**: 223-230
- Chen C, Li S, McKeever DR, Beattie GA** (2013) The widespread plant-colonizing bacterial species *Pseudomonas syringae* detects and exploits an extracellular pool of choline in hosts. *Plant J* **75**: 891-902
- Chen LQ, Hou BH, Lalonde S, Takanaga H, Hartung ML, Qu XQ, Guo WJ, Kim JG, Underwood W, Chaudhuri B, Chermak D, Antony G, White FF, Somerville SC, Mudgett MB, Frommer WB** (2010) Sugar transporters for intercellular exchange and nutrition of pathogens. *Nature* **468**: 527-532
- Chen X-Y, Kim J-Y** (2009) Callose synthesis in higher plants. *Plant Signal Behav* **4**: 489-492
- Cho W, Stahelin RV** (2005) Membrane-protein interactions in cell signaling and membrane trafficking. *Annu Rev Biophys Biomol Struct* **34**: 119-151
- Christensen NM, Faulkner C, Oparka K** (2009) Evidence for unidirectional flow through plasmodesmata. *Plant Physiol* **150**: 96-104
- Citovsky V, McLean BG, Zupan JR, Zambryski P** (1993) Phosphorylation of *Tobacco mosaic virus* cell-to-cell movement protein by a developmentally regulated plant cell wall-associated protein kinase. *Genes & Development* **7**: 904-910
- Clough SJ, Bent AF** (1998) Floral dip: a simplified method for *Agrobacterium*-mediated transformation of *Arabidopsis thaliana*. *The plant journal* **16**: 735-743
- Clouse SD** (2011) Brassinosteroids. *The Arabidopsis Book*: e0151
- Clouse SD, Feldmann KA** (1999) Molecular genetics of brassinosteroid action. *Brassinosteroids: Steroidal Plant Hormones*. Springer-Verlag, Tokyo: 163-190

- Corda D, Carcedo CH, Bonazzi M, Luini A, Spano S** (2002) Molecular aspects of membrane fission in the secretory pathway. *Cellular and Molecular Life Sciences CMLS* **59**: 1819-1832
- Cordy JM, Hussain I, Dingwall C, Hooper NM, Turner AJ** (2003) Exclusively targeting β -secretase to lipid rafts by GPI-anchor addition up-regulates β -site processing of the amyloid precursor protein. *Proceedings of the National Academy of Sciences* **100**: 11735-11740
- Cornell R** (1989) Cholinephosphotransferase. *Phosphatidylcholine metabolism*. CRC Press, Boca Raton, FL: 47-64
- Cornell RB, Horwitz AF** (1980) Apparent coordination of the biosynthesis of lipids in cultured cells: its relationship to the regulation of the membrane sterol: phospholipid ratio and cell cycling. *The Journal of cell biology* **86**: 810-819
- Crawford KM, Zambryski PC** (2000) Characterization of two forms of plant intercellular protein movement: subcellular address controls cell-to-cell transportability. *Curr Biol* **10**: 1032-1040
- Crawford KM, Zambryski PC** (2000) Subcellular localization determines the availability of non-targeted proteins to plasmodesmatal transport. *Curr Biol* **10**: 1032-1040
- Crawford KM, Zambryski PC** (2001) Non-targeted and targeted protein movement through plasmodesmata in leaves in different developmental and physiological states. *Plant Physiology* **125**: 1802-1812
- Cruz-Ramirez A, Lopez-Bucio J, Ramirez-Pimentel G, Zurita-Silva A, Sanchez-Calderon L, Ramirez-Chavez E, Gonzalez-Ortega E, Herrera-Estrella L** (2004) The *xipotl* mutant of Arabidopsis reveals a critical role for phospholipid metabolism in root system development and epidermal cell integrity. *Plant Cell* **16**: 2020-2034
- Deblaere R, Bytebier B, De Greve H, Deboeck F, Schell J, Van Montagu M, Leemans J** (1985) Efficient octopine Ti plasmid-derived vectors for *Agrobacterium*-mediated gene transfer to plants. *Nucleic acids research* **13**: 4777-4788
- Dettmer J, Ursache R, Campilho A, Miyashima S, Belevich I, O'Regan S, Mullendore DL, Yadav SR, Lanz C, Beverina L, Papagni A, Schneeberger K, Weigel D, Stierhof YD, Moritz T, Knoblauch M, Jokitalo E, Helariutta Y** (2014) CHOLINE TRANSPORTER-LIKE1 is required for sieve plate development to mediate long-distance cell-to-cell communication. *Nat Commun* **5**: 4276
- Devaux PF** (1991) Static and dynamic lipid asymmetry in cell membranes. *Biochemistry* **30**: 1163-1173
- Devaux PF** (2000) Is lipid translocation involved during endo- and exocytosis? *Biochimie* **82**: 497-509
- Ding B, Haudenschild JS, Hull RJ, Wolf S, Beachy RN, Lucas WJ** (1992) Secondary plasmodesmata are specific sites of localization of the *Tobacco mosaic virus* movement protein in transgenic tobacco plants. *The Plant Cell Online* **4**: 915-928
- Ding B, Kwon MO, Warnberg L** (1996) Evidence that actin filaments are involved in controlling the permeability of plasmodesmata in tobacco mesophyll. *The Plant Journal* **10**: 157-164
- Ding B, Turgeon R, Parthasarathy MV** (1992) Substructure of freeze-substituted plasmodesmata. *Protoplasma* **169**: 28-41
- Dolja VV, Kreuze JF, Valkonen J** (2006) Comparative and functional genomics of closteroviruses. *Virus research* **117**: 38-51
- Dong X, Hong Z, Chatterjee J, Kim S, Verma DPS** (2008) Expression of callose synthase genes and its connection with Npr1 signaling pathway during pathogen infection. *Planta* **229**: 87-98
- Dragsten PR, Blumenthal R, Handler JS** (1981) Membrane asymmetry in epithelia: is the tight junction a barrier to diffusion in the plasma membrane? *Nature* **294**: 718-722

- Du Y, Zhao J, Chen T, Liu Q, Zhang H, Wang Y, Hong Y, Xiao F, Zhang L, Shen Q, Liu Y (2013) Type I J-domain NbMIP1 proteins are required for both *Tobacco mosaic virus* infection and plant innate immunity. *PLoS Pathog* **9**: e1003659
- Duckett CM, Oparka KJ, Prior DA, Dolan L, Roberts K (1994) Dye-coupling in the root epidermis of *Arabidopsis* is progressively reduced during development. *Development* **120**: 3247-3255
- Eastmond PJ, Quettier AL, Kroon JT, Craddock C, Adams N, Slabas AR (2010) Phosphatidic acid phosphohydrolase 1 and 2 regulate phospholipid synthesis at the endoplasmic reticulum in *Arabidopsis*. *Plant Cell* **22**: 2796-2811
- Edwards K, Johnstone C, Thompson C (1991) A simple and rapid method for the preparation of plant genomic DNA for PCR analysis. *Nucleic acids research* **19**: 1349
- Ehlers K, Kollmann R (1996) Formation of branched plasmodesmata in regenerating *Solanum nigrum*-protoplasts. *Planta* **199**: 126-138
- Ehlers K, Kollmann R (2001) Primary and secondary plasmodesmata: structure, origin, and functioning. *Protoplasma* **216**: 1-30
- Ehlers K, van Bel AJ (2010) Dynamics of plasmodesmal connectivity in successive interfaces of the cambial zone. *Planta* **231**: 371-385
- Epel BL (2009) Plant viruses spread by diffusion on ER-associated movement-protein-rafts through plasmodesmata gated by viral induced host β -1,3-glucanases. *In* *Semin Cell Dev Biol*, Vol 20. Elsevier, pp 1074-1081
- Epel BL, Kuchuck B, Kotlizky G, Shurtz S, Erlanger M, Yahalom A (1995) Isolation and characterization of plasmodesmata. *Methods in cell biology* **50**: 237-253
- Epel BL, van Lent JW, Cohen L, Kotlizky G, Katz A, Yahalom A (1996) A 41 kDa protein isolated from maize mesocotyl cell walls immunolocalizes to plasmodesmata. *Protoplasma* **191**: 70-78
- Esau K, Thorsch J (1984) The sieve plate of *Echium* (Boraginaceae): developmental aspects and response of P-protein to protein digestion. *Journal of ultrastructure research* **86**: 31-45
- Esau K, Thorsch J (1985) Sieve plate pores and plasmodesmata, the communication channels of the symplast: ultrastructural aspects and developmental relations. *American journal of botany*: 1641-1653
- Escobar NM, Haupt S, Thow G, Boevink P, Chapman S, Oparka K (2003) High-throughput viral expression of cDNA–green fluorescent protein fusions reveals novel subcellular addresses and identifies unique proteins that interact with plasmodesmata. *The Plant Cell Online* **15**: 1507-1523
- Fan L, Zheng S, Cui D, Wang X (1999) Subcellular distribution and tissue expression of phospholipase D α , D β , and D γ in *Arabidopsis*. *Plant Physiol* **119**: 1371-1378
- Fan L, Zheng S, Wang XM (1997) Antisense suppression of phospholipase D α retards abscisic acid- and ethylene-promoted senescence of postharvest *Arabidopsis* leaves. *Plant Cell* **9**: 2183-2196
- Faulkner CR, Akman OE, Bell K, Jeffree C, Oparka K (2008) Peeking into pit fields: a multiple twinning model of secondary plasmodesmata formation in tobacco. *Plant Cell* **20**: 1504-1518
- Faulkner CR, Blackman LM, Collings DA, Cordwell SJ, Overall RL (2009) Anti-tropomyosin antibodies co-localise with actin microfilaments and label plasmodesmata. *European journal of cell biology* **88**: 357-369
- Faulkner CR, Blackman LM, Cordwell SJ, Overall RL (2005) Proteomic identification of putative plasmodesmatal proteins from *Chara corallina*. *Proteomics* **5**: 2866-2875
- Faulkner CR, Maule AJ (2011) Opportunities and successes in the search for plasmodesmal proteins. *Protoplasma* **248**: 27-38
- Feng Z, Chen X, Bao Y, Dong J, Zhang Z, Tao X (2013) Nucleocapsid of *Tomato spotted wilt* tospovirus forms mobile particles that traffic on an actin/endoplasmic reticulum network driven by myosin XI-K. *New Phytol*

- Fernandez-Calvino L, Faulkner CR, Walshaw J, Saalbach G, Bayer E, Benitez-Alfonso Y, Maule AJ** (2011) Arabidopsis plasmodesmal proteome. *PLoS One* **6**
- Ferralli J, Ashby J, Fasler M, Boyko V, Heinlein M** (2006) Disruption of microtubule organization and centrosome function by expression of *Tobacco mosaic virus* movement protein. *J Virol* **80**: 5807-5821
- Fichtenbauer D, Xu XM, Jackson D, Kragler F** (2012) The chaperonin CCT8 facilitates spread of tobamovirus infection. *Plant Signal Behav* **7**: 318-321
- Fitzgibbon J, Beck M, Zhou J, Faulkner CR, Robatzek S, Oparka K** (2013) A developmental framework for complex plasmodesmata formation revealed by large-scale imaging of the *Arabidopsis* leaf epidermis. *Plant Cell* **25**: 57-70
- Fitzgibbon J, Bell K, King E, Oparka K** (2010) Super-resolution imaging of plasmodesmata using three-dimensional structured illumination microscopy. *Plant Physiol* **153**: 1453-1463
- Fleurat-Lessard P, Bouché-Pillon S, Leloup C, Lucas W, Serrano R, Bonnemain J-L** (1995) Absence of plasma membrane H⁺-ATPase in plasmodesmata located in pit-fields of the young reactive pulvinus of *Mimosa pudica* L. *Protoplasma* **188**: 180-185
- Florentino LH, Santos AA, Fontenelle MR, Pinheiro GL, Zerbini FM, Baracat-Pereira MC, Fontes EP** (2006) A PERK-like receptor kinase interacts with the geminivirus nuclear shuttle protein and potentiates viral infection. *J Virol* **80**: 6648-6656
- Fondong VN** (2013) Geminivirus protein structure and function. *Molecular Plant Pathology* **14**: 635-649
- Foresti O, Denecke J** (2008) Intermediate organelles of the plant secretory pathway: identity and function. *Traffic* **9**: 1599-1612
- Fry SC** (2001) Plant cell walls. eLS
- Fujiki M, Kawakami S, Kim RW, Beachy RN** (2006) Domains of *Tobacco mosaic virus* movement protein essential for its membrane association. *Journal of General Virology* **87**: 2699-2707
- Gallagher KL, Benfey PN** (2009) Both the conserved GRAS domain and nuclear localization are required for SHORT-ROOT movement. *The Plant Journal* **57**: 785-797
- Geiger O, López-Lara IM, Sohlenkamp C** (2013) Phosphatidylcholine biosynthesis and function in bacteria. *Biochimica et Biophysica Acta (BBA)-Molecular and Cell Biology of Lipids* **1831**: 503-513
- Genoves A, Navarro JA, Pallas V** (2010) The intra- and intercellular movement of *Melon necrotic spot virus* (MNSV) depends on an active secretory pathway. *Mol Plant Microbe Interact* **23**: 263-272
- Ghoshroy S, Lartey R, Sheng J, Citovsky V** (1997) Transport of proteins and nucleic acids through plasmodesmata. *Annual review of plant biology* **48**: 27-50
- Golomb L, Abu-Abied M, Belausov E, Sadot E** (2008) Different subcellular localizations and functions of Arabidopsis myosin VIII. *BMC plant biology* **8**: 3
- Goodwin P** (1983) Molecular size limit for movement in the symplast of the Elodea leaf. *Planta* **157**: 124-130
- Gorovits R, Moshe A, Ghanim M, Czosnek H** (2013) Recruitment of the host plant heat shock protein 70 by *Tomato yellow leaf curl virus* coat protein is required for virus infection. *PLoS One* **8**: e70280
- Gout E, Bligny R, Roby C, Douce R** (1990) Transport of phosphocholine in higher plant cells: ³¹P nuclear magnetic resonance studies. *Proc Natl Acad Sci U S A* **87**: 4280-4283
- Grabski S, De Feijter AW, Schindler M** (1993) Endoplasmic reticulum forms a dynamic continuum for lipid diffusion between contiguous soybean root cells. *The Plant Cell Online* **5**: 25-38
- Graham TR, Kozlov MM** (2010) Interplay of proteins and lipids in generating membrane curvature. *Current opinion in cell biology* **22**: 430-436

- Greene EA, Codomo CA, Taylor NE, Henikoff JG, Till BJ, Reynolds SH, Enns LC, Burtner C, Johnson JE, Odden AR** (2003) Spectrum of chemically induced mutations from a large-scale reverse-genetic screen in *Arabidopsis*. *Genetics* **164**: 731-740
- Grefen C, Donald N, Hashimoto K, Kudla J, Schumacher K, Blatt MR** (2010) A ubiquitin-10 promoter-based vector set for fluorescent protein tagging facilitates temporal stability and native protein distribution in transient and stable expression studies. *The Plant Journal* **64**: 355-365
- Grennan AK** (2007) Lipid rafts in plants. *Plant Physiol* **143**: 1083-1085
- Gross SD, Anderson RA** (1998) Casein kinase I: spatial organization and positioning of a multifunctional protein kinase family. *Cellular signalling* **10**: 699-711
- Grumbach ES, Diehl DM, Mazzeo JR** (2004) A sensitive ESI-MS HILIC method for the analysis of acetylcholine and choline. *LC GC NORTH AMERICA* **22**: 74-75
- Grzybek M, Chorzalska A, Bok E, Hryniewicz-Jankowska A, Czogalla A, Diakowski W, Sikorski AF** (2006) Spectrin-phospholipid interactions: Existence of multiple kinds of binding sites? *Chem Phys Lipids* **141**: 133-141
- Guenoune-Gelbart D, Elbaum M, Sagi G, Levy A, Epel BL** (2008) *Tobacco mosaic virus* (TMV) replicase and movement protein function synergistically in facilitating TMV spread by lateral diffusion in the plasmodesmal desmotubule of *Nicotiana benthamiana*. *Molecular Plant-Microbe Interactions* **21**: 335-345
- Guseman JM, Lee JS, Bogenschutz NL, Peterson KM, Virata RE, Xie B, Kanaoka MM, Hong Z, Torii KU** (2010) Dysregulation of cell-to-cell connectivity and stomatal patterning by loss-of-function mutation in *Arabidopsis* *CHORUS* (*GLUCAN SYNTHASE-LIKE 8*). *Development* **137**: 1731-1741
- Hancock JF** (2006) Lipid rafts: contentious only from simplistic standpoints. *Nature Reviews Molecular Cell Biology* **7**: 456-462
- Hanley-Bowdoin L, Bejarano ER, Robertson D, Mansoor S** (2013) Geminiviruses: masters at redirecting and reprogramming plant processes. *Nat Rev Micro* **11**: 777-788
- Harries PA, Park JW, Sasaki N, Ballard KD, Maule AJ, Nelson RS** (2009) Differing requirements for actin and myosin by plant viruses for sustained intercellular movement. *Proc Natl Acad Sci U S A* **106**: 17594-17599
- Harries PA, Schoelz JE, Nelson RS** (2009) Covering common ground: F-actin-dependent transport of plant viral protein inclusions reveals a novel mechanism for movement utilized by unrelated viral proteins. *Plant Signal Behav* **4**: 454-456
- Hartwig T, Corvalan C, Best NB, Budka JS, Zhu J-Y, Choe S, Schulz B** (2012) Propiconazole is a specific and accessible brassinosteroid (BR) biosynthesis inhibitor for *Arabidopsis* and maize. *PloS one* **7**: e36625
- Haywood V, Kragler F, Lucas WJ** (2002) Plasmodesmata: Pathways for protein and ribonucleoprotein signaling. *Plant Cell* **14**: S303-S325
- He J-X, Fujioka S, Li T-C, Kang SG, Seto H, Takatsuto S, Yoshida S, Jang J-C** (2003) Sterols regulate development and gene expression in *Arabidopsis*. *Plant physiology* **131**: 1258-1269
- Heginbotham L, Kolmakova-Partensky L, Miller C** (1998) Functional reconstitution of a prokaryotic K⁺-channel. *The Journal of general physiology* **111**: 741-749
- Heinlein M, Epel BL, Padgett HS, Beachy RN** (1995) Interaction of tobamovirus movement proteins with the plant cytoskeleton. *Science* **270**: 1983-1985
- Helariutta Y, Fukaki H, Wysocka-Diller J, Nakajima K, Jung J, Sena G, Hauser M-T, Benfey PN** (2000) The *SHORT-ROOT* gene controls radial patterning of the *Arabidopsis* root through radial signaling. *Cell* **101**: 555-567
- Hepler P** (1982) Endoplasmic reticulum in the formation of the cell plate and plasmodesmata. *Protoplasma* **111**: 121-133

- Hoessli DC, Ilangumaran S, Soltermann A, Robinson PJ, Borisch B** (2000) Signaling through sphingolipid microdomains of the plasma membrane: the concept of signaling platform. *Glycoconjugate journal* **17**: 191-197
- Hofius D** (2003) Identifizierung molekularer Faktoren des plasmodesmalen Makromolekül- und Assimilattransportes in Pflanzen. Dissertation (Martin-Luther-Universität Halle-Wittenberg)
- Hofius D, Hajirezaei M-R, Geiger M, Tschiersch H, Melzer M, Sonnewald U** (2004) RNAi-mediated tocopherol deficiency impairs photoassimilate export in transgenic potato plants. *Plant Physiology* **135**: 1256-1268
- Hofius D, Herbers K, Melzer M, Omid A, Tacke E, Wolf S, Sonnewald U** (2001) Evidence for expression level-dependent modulation of carbohydrate status and viral resistance by the *potato leafroll virus* movement protein in transgenic tobacco plants. *Plant J* **28**: 529-543
- Hofius D, Maier AT, Dietrich C, Jungkunz I, Bornke F, Maiss E, Sonnewald U** (2007) Capsid protein-mediated recruitment of host DnaJ-like proteins is required for *Potato virus Y* infection in tobacco plants. *J Virol* **81**: 11870-11880
- Hofmann J, Youssef-Banora M, de Almeida-Engler J, Grundler FM** (2010) The role of callose deposition along plasmodesmata in nematode feeding sites. *Molecular Plant-Microbe Interactions* **23**: 549-557
- Holdaway-Clarke TL, Walker NA, Hepler PK, Overall RL** (2000) Physiological elevations in cytoplasmic free calcium by cold or ion injection result in transient closure of higher plant plasmodesmata. *Planta* **210**: 329-335
- Holmes KC, Popp D, Gebhard W, Kabsch W** (1990) Atomic model of the actin filament. *Nature* **347**: 44-49
- Howard AR, Heppler ML, Ju H-J, Krishnamurthy K, Payton ME, Verchot-Lubicz J** (2004) *Potato virus X* TGBp1 induces plasmodesmata gating and moves between cells in several host species whereas CP moves only in *N. benthamiana* leaves. *Virology* **328**: 185-197
- Hruz T, Laule O, Szabo G, Wessendorp F, Bleuler S, Oertle L, Widmayer P, Gruissem W, Zimmermann P** (2008) Genevestigator v3: a reference expression database for the meta-analysis of transcriptomes. *Advances in bioinformatics* **2008**
- Hu J, Shibata Y, Voss C, Shemesh T, Li Z, Coughlin M, Kozlov MM, Rapoport TA, Prinz WA** (2008) Membrane proteins of the endoplasmic reticulum induce high-curvature tubules. *Science* **319**: 1247-1250
- Huang S, Gao L, Blanchoin L, Staiger CJ** (2006) Heterodimeric capping protein from *Arabidopsis* is regulated by phosphatidic acid. *Mol Biol Cell* **17**: 1946-1958
- Huang Z, Andrianov VM, Han Y, Howell SH** (2001) Identification of *Arabidopsis* proteins that interact with the *Cauliflower mosaic virus* (CaMV) movement protein. *Plant Mol Biol* **47**: 663-675
- Hung CJ, Huang YW, Liou MR, Lee YC, Lin NS, Meng M, Tsai CH, Hu CC, Hsu YH** (2014) Phosphorylation of coat protein by protein kinase CK2 regulates cell-to-cell movement of *Bamboo mosaic virus* through modulating RNA binding. *Mol Plant Microbe Interact* **27**: 1211-1225
- Imlau A, Truernit E, Sauer N** (1999) Cell-to-cell and long-distance trafficking of the green fluorescent protein in the phloem and symplastic unloading of the protein into sink tissues. *Plant Cell* **11**: 309-322
- Inazu M** (2014) Choline transporter-like proteins CTLs/SLC44 family as a novel molecular target for cancer therapy. *Biopharmaceutics & drug disposition* **35**: 431-449
- Ishidate K, Nakazawa Y** (1992) Choline/ethanolamine kinase from rat kidney. *Methods in enzymology* **209**: 121
- Ivanov KI, Puustinen P, Gabrenaite R, Vihinen H, Ronnstrand L, Valmu L, Kalkkinen N, Makinen K** (2003) Phosphorylation of the potyvirus capsid protein by protein kinase CK2 and its relevance for virus infection. *Plant Cell* **15**: 2124-2139

- Jackson AO, Lim HS, Bragg J, Ganesan U, Lee MY** (2009) Hordeivirus replication, movement, and pathogenesis. *Annu Rev Phytopathol* **47**: 385-422
- Jacobson K, Mouritsen OG, Anderson RGW** (2007) Lipid rafts: at a crossroad between cell biology and physics. *Nat Cell Biol* **9**: 7-14
- Janda M, Planchais S, Djafi N, Martinec J, Burketova L, Valentova O, Zachowski A, Ruelland E** (2013) Phosphoglycerolipids are master players in plant hormone signal transduction. *Plant Cell Rep* **32**: 839-851
- Jander G, Norris SR, Rounsley SD, Bush DF, Levin IM, Last RL** (2002) Arabidopsis map-based cloning in the post-genome era. *Plant Physiol* **129**: 440-450
- Janmey PA, Lindberg U** (2004) Cytoskeletal regulation: rich in lipids. *Nature Reviews Molecular Cell Biology* **5**: 658-666
- Jarsch IK, Ott T** (2011) Perspectives on remorin proteins, membrane rafts, and their role during plant-microbe interactions. *Mol Plant Microbe Interact* **24**: 7-12
- Jones D, Blancaflor E, Kochian L, Gilroy S** (2006) Spatial coordination of aluminium uptake, production of reactive oxygen species, callose production and wall rigidification in maize roots. *Plant, Cell & Environment* **29**: 1309-1318
- Jones MGK** (1976) The origin and development of plasmodesmata. *In* Intercellular communication in plants: Studies on plasmodesmata. Springer, pp 81-105
- Jones PL, Willey DL, Gacesa P, Harwood JL** (1998) Isolation, characterisation and expression of a cDNA for pea cholinephosphate cytidyltransferase. *Plant Mol Biol* **37**: 179-185
- Kachroo A, Kachroo P** (2009) Fatty acid-derived signals in plant defense. *Annu Rev Phytopathol* **47**: 153-176
- Kaido M, Inoue Y, Takeda Y, Sugiyama K, Takeda A, Mori M, Tamai A, Meshi T, Okuno T, Mise K** (2007) Downregulation of the *NbNACa1* gene encoding a movement-protein-interacting protein reduces cell-to-cell movement of *Brome mosaic virus* in *Nicotiana benthamiana*. *Molecular Plant-Microbe Interactions* **20**: 671-681
- Karasev AV, Kashina AS, Gelfand VI, Dolja VV** (1992) HSP70-related 65 kDa protein of *Beet yellows closterovirus* is a microtubule-binding protein. *FEBS letters* **304**: 12-14
- Karger EM, Frolova OY, Fedorova NV, Baratova LA, Ovchinnikova TV, Susi P, Makinen K, Ronnstrand L, Dorokhov YL, Atabekov JG** (2003) Dysfunctionality of a *Tobacco mosaic virus* movement protein mutant mimicking threonine 104 phosphorylation. *Journal of General Virology* **84**: 727-732
- Karimi M, Inzé D, Depicker A** (2002) GATEWAY™ vectors for *Agrobacterium*-mediated plant transformation. *Trends Plant Sci* **7**: 193-195
- Karnovsky MJ, Kleinfeld AM, Hoover RL, Klausner RD** (1982) The concept of lipid domains in membranes. *The Journal of cell biology* **94**: 1-6
- Karpova OV, Ivanov KI, Rodionova NP, Dorokhov YL, Atabekov JG** (1997) Nontranslatability and dissimilar behavior in plants and protoplasts of viral RNA and movement protein complexes formed *in vitro*. *Virology* **230**: 11-21
- Karpova OV, Rodionova NP, Ivanov KI, Kozlovsky SV, Dorokhov YL, Atabekov JG** (1999) Phosphorylation of *Tobacco mosaic virus* movement protein abolishes its translation repressing ability. *Virology* **261**: 20-24
- Kawakami S, Padgett HS, Hosokawa D, Okada Y, Beachy RN, Watanabe Y** (1999) Phosphorylation and/or presence of serine 37 in the movement protein of *Tomato mosaic tobamovirus* is essential for intracellular localization and stability *in vivo*. *The Journal of Virology* **73**: 6831-6840
- Kearns BG, McGee TP, Mayinger P, Gedvilaite A, Phillips SE, Kagiwada S, Bankaitis VA** (1997) Essential role for diacylglycerol in protein transport from the yeast Golgi complex.
- Kearse M, Moir R, Wilson A, Stones-Havas S, Cheung M, Sturrock S, Buxton S, Cooper A, Markowitz S, Duran C** (2012) Geneious Basic: an integrated and

extendable desktop software platform for the organization and analysis of sequence data. *Bioinformatics* **28**: 1647-1649

- Keogh MR, Courtney PD, Kinney AJ, Dewey RE** (2009) Functional characterization of phospholipid N-methyltransferases from *Arabidopsis* and soybean. *J Biol Chem* **284**: 15439-15447
- Kierszniowska S, Seiwert B, Schulze WX** (2009) Definition of *Arabidopsis* sterol-rich membrane microdomains by differential treatment with methyl- β -cyclodextrin and quantitative proteomics. *Mol Cell Proteomics* **8**: 612-623
- Kim HJ, Ok SH, Bahn SC, Jang J, Oh SA, Park SK, Twell D, Ryu SB, Shin JS** (2011) Endoplasmic reticulum- and Golgi-localized phospholipase A₂ plays critical roles in *Arabidopsis* pollen development and germination. *Plant Cell* **23**: 94-110
- Kim I, Cho E, Crawford K, Hempel FD, Zambryski PC** (2005) Cell-to-cell movement of GFP during embryogenesis and early seedling development in *Arabidopsis*. *Proc Natl Acad Sci U S A* **102**: 2227-2231
- Kim I, Hempel FD, Sha K, Pfluger J, Zambryski PC** (2002) Identification of a developmental transition in plasmodesmatal function during embryogenesis in *Arabidopsis thaliana*. *Development* **129**: 1261-1272
- Kim I, Zambryski PC** (2005) Cell-to-cell communication via plasmodesmata during *Arabidopsis* embryogenesis. *Curr Opin Plant Biol* **8**: 593-599
- Kim J-Y, Rim Y, Wang J, Jackson D** (2005) A novel cell-to-cell trafficking assay indicates that the KNOX homeodomain is necessary and sufficient for intercellular protein and mRNA trafficking. *Genes & Development* **19**: 788-793
- Kim J-Y, Yuan Z, Jackson D** (2003) Developmental regulation and significance of KNOX protein trafficking in *Arabidopsis*. *Development* **130**: 4351-4362
- Kim JY, Yuan Z, Cilia M, Khalfan-Jagani Z, Jackson D** (2002) Intercellular trafficking of a *KNOTTED1* green fluorescent protein fusion in the leaf and shoot meristem of *Arabidopsis*. *Proceedings of the National Academy of Sciences* **99**: 4103-4108
- Kim WC, Ko JH, Han KH** (2012) Identification of a cis-acting regulatory motif recognized by MYB46, a master transcriptional regulator of secondary wall biosynthesis. *Plant Mol Biol* **78**: 489-501
- Kinney AJ, Clarkson DT, Loughman BC** (1987) The regulation of phosphatidylcholine biosynthesis in rye (*Secale cereale*) roots. Stimulation of the nucleotide pathway by low temperature. *Biochem J* **242**: 755-759
- Kleinow T, Nischang M, Beck A, Kratzer U, Tanwir F, Preiss W, Kepp G, Jeske H** (2009) Three C-terminal phosphorylation sites in the *Abutilon mosaic virus* movement protein affect symptom development and viral DNA accumulation. *Virology* **390**: 89-101
- Kobayashi K, Otegui MS, Krishnakumar S, Mindrinos M, Zambryski P** (2007) *INCREASED SIZE EXCLUSION LIMIT 2* encodes a putative DEVH box RNA helicase involved in plasmodesmata function during *Arabidopsis* embryogenesis. *Plant Cell* **19**: 1885-1897
- Kodaki T, Yamashita S** (1987) Yeast phosphatidylethanolamine methylation pathway. Cloning and characterization of two distinct methyltransferase genes. *Journal of Biological Chemistry* **262**: 15428-15435
- Kollmann R, Glockmann C** (1999) Multimorphology and nomenclature of plasmodesmata in higher plants. *In* *Plasmodesmata*. Springer, pp 149-172
- Konieczny A, Ausubel FM** (1993) A procedure for mapping *Arabidopsis* mutations using co-dominant ecotype-specific PCR-based markers. *The Plant Journal* **4**: 403-410
- Kragler F** (2013) Plasmodesmata: intercellular tunnels facilitating transport of macromolecules in plants. *Cell Tissue Res* **352**: 49-58
- Kramer SR, Goregaoker SP, Culver JN** (2011) Association of the *Tobacco mosaic virus* 126 kDa replication protein with a GDI protein affects host susceptibility. *Virology* **414**: 110-118

- Krenz B, Jeske H, Kleinow T** (2012) The induction of stromule formation by a plant DNA-virus in epidermal leaf tissues suggests a novel intra- and intercellular macromolecular trafficking route. *Front Plant Sci* **3**: 291
- Krenz B, Windeisen V, Wege C, Jeske H, Kleinow T** (2010) A plastid-targeted heat shock cognate 70 kDa protein interacts with the *Abutilon mosaic virus* movement protein. *Virology* **401**: 6-17
- Kronberg K** (2008) Physiologische und molekulargenetische Charakterisierung PLRV-MP17:GFP-exprimierender *Arabidopsis thaliana*-Pflanzen. Dissertation (Martin-Luther-Universität Halle-Wittenberg)
- Kronberg K, Vogel F, Rutten T, Hajirezaei MR, Sonnewald U, Hofius D** (2007) The silver lining of a viral agent: increasing seed yield and harvest index in *Arabidopsis* by ectopic expression of the *Potato leaf roll virus* movement protein. *Plant Physiol* **145**: 905-918
- Kwak JM, Mori IC, Pei ZM, Leonhardt N, Torres MA, Dangl JL, Bloom RE, Bodde S, Jones JD, Schroeder JI** (2003) NADPH oxidase *AtrbohD* and *AtrbohF* genes function in ROS-dependent ABA signaling in *Arabidopsis*. *The EMBO journal* **22**: 2623-2633
- Kwik J, Boyle S, Fooksman D, Margolis L, Sheetz MP, Edidin M** (2003) Membrane cholesterol, lateral mobility, and the phosphatidylinositol 4, 5-bisphosphate-dependent organization of cell actin. *Proceedings of the National Academy of Sciences* **100**: 13964-13969
- Laemmli UK** (1970) Cleavage of structural proteins during the assembly of the head of bacteriophage T4. *nature* **227**: 680-685
- Lagace TA, Ridgway ND** (2013) The role of phospholipids in the biological activity and structure of the endoplasmic reticulum. *Biochim Biophys Acta* **1833**: 2499-2510
- Laloi M, Perret A-M, Chatre L, Melsner S, Cantrel C, Vaultier M-N, Zachowski A, Bathany K, Schmitter J-M, Vallet M, Lessire R, Hartmann M-A, Moreau P** (2007) Insights into the role of specific lipids in the formation and delivery of lipid microdomains to the plasma membrane of plant cells. *Plant Physiology* **143**: 461-472
- Lam AD, Tryoen-Toth P, Tsai B, Vitale N, Stuenkel EL** (2008) SNARE-catalyzed fusion events are regulated by Syntaxin1A-lipid interactions. *Mol Biol Cell* **19**: 485-497
- Laporte C, Vetter G, Loudes AM, Robinson DG, Hillmer S, Stussi-Garaud C, Ritzenthaler C** (2003) Involvement of the secretory pathway and the cytoskeleton in intracellular targeting and tubule assembly of *Grapevine fanleaf virus* movement protein in tobacco BY-2 cells. *Plant Cell* **15**: 2058-2075
- Lasserre R, Guo X-J, Conchonaud F, Hamon Y, Hawchar O, Bernard A-M, Soudja SMH, Lenne P-F, Rigneault H, Olive D** (2008) Raft nanodomains contribute to Akt/PKB plasma membrane recruitment and activation. *Nature chemical biology* **4**: 538-547
- Lazarowitz SG, Beachy RN** (1999) Viral movement proteins as probes for intracellular and intercellular trafficking in plants. *Plant Cell* **11**: 535-548
- Lee A** (1977) Lipid phase transitions and phase diagrams I. Lipid phase transitions. *Biochimica et Biophysica Acta (BBA)-Reviews on Biomembranes* **472**: 237-281
- Lee AG** (2004) How lipids affect the activities of integral membrane proteins. *Biochim Biophys Acta* **1666**: 62-87
- Lee J-Y** (2008) Phosphorylation of movement proteins by the plasmodesmal-associated protein kinase. *In Plant Virology Protocols*. Springer, pp 625-639
- Lee J-Y, Yoo B-C, Rojas MR, Gomez-Ospina N, Staehelin LA, Lucas WJ** (2003) Selective trafficking of non-cell-autonomous proteins mediated by NtNCAPP1. *Science* **299**: 392-396
- Lee JY, Lu H** (2011) Plasmodesmata: the battleground against intruders. *Trends Plant Sci* **16**: 201-210

- Lee JY, Taoka K, Yoo BC, Ben-Nissan G, Kim DJ, Lucas WJ (2005) Plasmodesmal-associated protein kinase in tobacco and *Arabidopsis* recognizes a subset of non-cell-autonomous proteins. *Plant Cell* **17**: 2817-2831
- Lee JY, Wang X, Cui W, Sager R, Modla S, Czymmek K, Zybaliov B, van Wijk K, Zhang C, Lu H, Lakshmanan V (2011) A plasmodesmata-localized protein mediates crosstalk between cell-to-cell communication and innate immunity in *Arabidopsis*. *Plant Cell* **23**: 3353-3373
- Lefebvre B, Furt F, Hartmann M-A, Michaelson LV, Carde J-P, Sargueil-Boiron F, Rossignol M, Napier JA, Cullimore J, Bessoule J-J (2007) Characterization of lipid rafts from *Medicago truncatula* root plasma membranes: a proteomic study reveals the presence of a raft-associated redox system. *Plant Physiology* **144**: 402-418
- Lefebvre B, Timmers T, Mbengue M, Moreau S, Hervé C, Tóth K, Bittencourt-Silvestre J, Klaus D, Deslandes L, Godiard L (2010) A remorin protein interacts with symbiotic receptors and regulates bacterial infection. *Proceedings of the National Academy of Sciences* **107**: 2343-2348
- Leisner SM, Turgeon R (1993) Movement of virus and photoassimilate in the phloem: a comparative analysis. *Bioessays* **15**: 741-748
- Lemmon MA (2008) Membrane recognition by phospholipid-binding domains. *Nature reviews Molecular cell biology* **9**: 99-111
- Levy A, Erlanger M, Rosenthal M, Epel BL (2007) A plasmodesmata-associated β -1,3-glucanase in *Arabidopsis*. *Plant J* **49**: 669-682
- Lewis JD, Lazarowitz SG (2010) *Arabidopsis* synaptotagmin SYTA regulates endocytosis and virus movement protein cell-to-cell transport. *Proc Natl Acad Sci U S A* **107**: 2491-2496
- Li-Beisson Y, Shorrosh B, Beisson F, Andersson MX, Arondel V, Bates PD, Baud S, Bird D, Debono A, Durrett TP, Franke RB, Graham IA, Katayama K, Kelly AA, Larson T, Markham JE, Miquel M, Molina I, Nishida I, Rowland O, Samuels L, Schmid KM, Wada H, Welti R, Xu C, Zallot R, Ohlrogge J (2013) Acyl-lipid metabolism. *Arabidopsis Book* **11**: e0161
- Li G, Xue H-W (2007) *Arabidopsis* PLD ζ 2 regulates vesicle trafficking and is required for auxin response. *The Plant Cell Online* **19**: 281-295
- Li N, Sun L, Zhang L, Song Y, Hu P, Li C, Hao FS (2014) AtrbohD and AtrbohF negatively regulate lateral root development by changing the localized accumulation of superoxide in primary roots of *Arabidopsis*. *Planta*: 1-12
- Li Z, Agellon LB, Allen TM, Umeda M, Jewell L, Mason A, Vance DE (2006) The ratio of phosphatidylcholine to phosphatidylethanolamine influences membrane integrity and steatohepatitis. *Cell Metab* **3**: 321-331
- Lim H-S, Bragg JN, Ganesan U, Lawrence DM, Yu J, Isogai M, Hammond J, Jackson AO (2008) Triple gene block protein interactions involved in movement of *Barley stripe mosaic virus*. *Journal of virology* **82**: 4991-5006
- Lim RH, Aebi U, Fahrenkrog B (2008) Towards reconciling structure and function in the nuclear pore complex. *Histochemistry and Cell Biology* **129**: 105-116
- Linding R, Russell RB, Neduva V, Gibson TJ (2003) GlobPlot: exploring protein sequences for globularity and disorder. *Nucleic acids research* **31**: 3701-3708
- Lingwood D, Simons K (2010) Lipid rafts as a membrane-organizing principle. *science* **327**: 46-50
- Link K, Vogel F, Sonnewald U (2011) PD trafficking of *Potato leaf roll virus* movement protein in *Arabidopsis* depends on site-specific protein phosphorylation. *Front Plant Sci* **2**: 18
- Lins L, Brasseur R (2008) Tilted peptides: a structural motif involved in protein membrane insertion? *Journal of Peptide Science* **14**: 416-422

- Litvak V, Dahan N, Ramachandran S, Sabanay H, Lev S** (2005) Maintenance of the diacylglycerol level in the Golgi apparatus by the Nir2 protein is critical for Golgi secretory function. *Nat Cell Biol* **7**: 225-234
- Liu N, Lin Z, Guan L, Gaughan G, Lin G** (2014) Antioxidant enzymes regulate reactive oxygen species during pod elongation in *Pisum sativum* and *Brassica chinensis*. *PLoS One* **9**: e87588
- Logemann J, Schell J, Willmitzer L** (1987) Improved method for the isolation of RNA from plant tissues. *Analytical biochemistry* **163**: 16-20
- London E** (2005) How principles of domain formation in model membranes may explain ambiguities concerning lipid raft formation in cells. *Biochimica et Biophysica Acta (BBA)-Molecular Cell Research* **1746**: 203-220
- Lough TJ, Lee RH, Emerson SJ, Forster RL, Lucas WJ** (2006) Functional analysis of the 5' untranslated region of potexvirus RNA reveals a role in viral replication and cell-to-cell movement. *Virology* **351**: 455-465
- Lu L, Du Z, Qin M, Wang P, Lan H, Niu X, Jia D, Xie L, Lin Q, Wu Z** (2009) Pc4, a putative movement protein of *Rice stripe virus*, interacts with a type I DnaJ protein and a small Hsp of rice. *Virus Genes* **38**: 320-327
- Lucas WJ, Bouché-Pillon S, Jackson DP, Nguyen L, Baker L, Ding B, Hake S** (1995) Selective trafficking of KNOTTED1 homeodomain protein and its mRNA through plasmodesmata. *Science* **270**: 1980-1983
- Lucas WJ, Ding B, van der Schoot C** (1993) Tansley Review No. 58. Plasmodesmata and the supracellular nature of plants. *New Phytologist*: 435-476
- Lucas WJ, Ham BK, Kim JY** (2009) Plasmodesmata - bridging the gap between neighboring plant cells. *Trends Cell Biol* **19**: 495-503
- Lucas WJ, Lee JY** (2004) Plasmodesmata as a supracellular control network in plants. *Nat Rev Mol Cell Biol* **5**: 712-726
- Lukowitz W, Gillmor CS, Scheible W-R** (2000) Positional cloning in *Arabidopsis*. Why it feels good to have a genome initiative working for you. *Plant Physiology* **123**: 795-806
- Machova E, O'Regan S, Newcombe J, Meunier FM, Prentice J, Dove R, Lisa V, Dolezal V** (2009) Detection of choline transporter-like 1 protein CTL1 in neuroblastoma x glioma cells and in the CNS, and its role in choline uptake. *J Neurochem* **110**: 1297-1309
- Mahalka AK, Kirkegaard T, Jukola LT, Jäättelä M, Kinnunen PK** (2014) Human heat shock protein 70 (Hsp70) as a peripheral membrane protein. *Biochimica et Biophysica Acta (BBA)-Biomembranes* **1838**: 1344-1361
- Maksymiw R, Sui SF, Gaub H, Sackmann E** (1987) Electrostatic coupling of spectrin dimers to phosphatidylserine-containing lipid lamellae. *Biochemistry* **26**: 2983-2990
- Mandal MK, Chandra-Shekara AC, Jeong RD, Yu K, Zhu S, Chanda B, Navarre D, Kachroo A, Kachroo P** (2012) Oleic acid-dependent modulation of NITRIC OXIDE ASSOCIATED1 protein levels regulates nitric oxide-mediated defense signaling in *Arabidopsis*. *Plant Cell* **24**: 1654-1674
- Marmagne A, Ferro M, Meinel T, Bruley C, Kuhn L, Garin J, Barbier-Brygoo H, Ephritikhine G** (2007) A high content in lipid-modified peripheral proteins and integral receptor kinases features in the *Arabidopsis* plasma membrane proteome. *Molecular & Cellular Proteomics* **6**: 1980-1996
- Marsh D** (2007) Lateral pressure profile, spontaneous curvature frustration, and the incorporation and conformation of proteins in membranes. *Biophys J* **93**: 3884-3899
- Martínez-Gil L, Sánchez-Navarro JA, Cruz A, Pallás V, Pérez-Gil J, Mingarro I** (2009) Plant virus cell-to-cell movement is not dependent on the transmembrane disposition of its movement protein. *Journal of Virology* **83**: 5535-5543

- Mathioudakis MM, Veiga R, Ghita M, Tsikou D, Medina V, Canto T, Makris AM, Livieratos IC** (2012) *Pepino mosaic virus* capsid protein interacts with a tomato heat shock protein cognate 70. *Virus Res* **163**: 28-39
- Matsushita Y, Hanazawa K, Yoshioka K, Oguchi T, Kawakami S, Watanabe Y, Nishiguchi M, Nyunoya H** (2000) *In vitro* phosphorylation of the movement protein of *Tomato mosaic tobamovirus* by a cellular kinase. *J Gen Virol* **81**: 2095-2102
- Matsushita Y, Yoshioka K, Shigyo T, Takahashi H, Nyunoy H** (2002) Phosphorylation of the movement protein of *Cucumber mosaic virus* in transgenic tobacco plants. *Virus Genes* **24**: 231-234
- Maule AJ** (2008) Plasmodesmata: structure, function and biogenesis. *Curr Opin Plant Biol* **11**: 680-686
- Mayor S, Viola A, Stan RV, del Pozo MA** (2006) Flying kites on slippery slopes at keystone. *EMBO reports* **7**: 1089-1093
- McGeachy KD, Barker H** (2000) *Potato mop-top virus* RNA can move long distance in the absence of coat protein: evidence from resistant, transgenic plants. *Molecular Plant-Microbe Interactions* **13**: 125-128
- McGee JD, Roe JL, Sweat TA, Wang X, Guikema JA, Leach JE** (2003) Rice phospholipase D isoforms show differential cellular location and gene induction. *Plant and Cell Physiology* **44**: 1013-1026
- McGee TP, Skinner HB, Whitters EA, Henry SA, Bankaitis VA** (1994) A phosphatidylinositol transfer protein controls the phosphatidylcholine content of yeast Golgi membranes. *J Cell Biol* **124**: 273-287
- McLaughlin S** (1977) Electrostatic potentials at membrane-solution interfaces. *Current topics in membranes and transport* **9**: 71-144
- McLaughlin S, Murray D** (2005) Plasma membrane phosphoinositide organization by protein electrostatics. *Nature* **438**: 605-611
- McLaughlin S, Wang J, Gambhir A, Murray D** (2002) PIP2 and proteins: interactions, organization, and information flow. *Annual review of biophysics and biomolecular structure* **31**: 151-175
- McLean BG, Zupan J, Zambryski PC** (1995) *Tobacco mosaic virus* movement protein associates with the cytoskeleton in tobacco cells. *Plant Cell* **7**: 2101-2114
- McLoughlin F, Galvan-Ampudia CS, Julkowska MM, Caarls L, van der Does D, Lauriere C, Munnik T, Haring MA, Testerink C** (2012) The Snf1-related protein kinases SnRK2.4 and SnRK2.10 are involved in maintenance of root system architecture during salt stress. *Plant J* **72**: 436-449
- Medina V, Peremyslov VV, Hagiwara Y, Dolja VV** (1999) Subcellular localization of the HSP70-homolog encoded by beet yellows closterovirus. *Virology* **260**: 173-181
- Mehterov N, Balazadeh S, Hille J, Toneva V, Mueller-Roeber B, Gechev T** (2012) Oxidative stress provokes distinct transcriptional responses in the stress-tolerant *atr7* and stress-sensitive *loh2 Arabidopsis thaliana* mutants as revealed by multi-parallel quantitative real-time PCR analysis of ROS marker and antioxidant genes. *Plant Physiology and Biochemistry* **59**: 20-29
- Meijer HJ, Munnik T** (2003) Phospholipid-based signaling in plants. *Annu Rev Plant Biol* **54**: 265-306
- Melcher U** (2000) The '30K'superfamily of viral movement proteins. *Journal of General Virology* **81**: 257-266
- Melser S, Molino D, Batailler B, Peypelut M, Laloi M, Wattelet-Boyer V, Bellec Y, Faure JD, Moreau P** (2011) Links between lipid homeostasis, organelle morphodynamics and protein trafficking in eukaryotic and plant secretory pathways. *Plant Cell Rep* **30**: 177-193
- Meng L, Wong JH, Feldman LJ, Lemaux PG, Buchanan BB** (2010) A membrane-associated thioredoxin required for plant growth moves from cell to cell, suggestive

- of a role in intercellular communication. Proceedings of the National Academy of Sciences **107**: 3900-3905
- Michel V, Bakovic M** (2009) The solute carrier 44A1 is a mitochondrial protein and mediates choline transport. FASEB J **23**: 2749-2758
- Michel V, Bakovic M** (2012) The ubiquitous choline transporter SLC44A1. Cent Nerv Syst Agents Med Chem **12**: 70-81
- Michel V, Yuan Z, Ramsudir S, Bakovic M** (2006) Choline transport for phospholipid synthesis. Exp Biol Med (Maywood) **231**: 490-504
- Minami A, Fujiwara M, Furuto A, Fukao Y, Yamashita T, Kamo M, Kawamura Y, Uemura M** (2009) Alterations in detergent-resistant plasma membrane microdomains in *Arabidopsis thaliana* during cold acclimation. Plant Cell Physiol **50**: 341-359
- Mittler R, Vanderauwera S, Gollery M, Van Breusegem F** (2004) Reactive oxygen gene network of plants. Trends in plant science **9**: 490-498
- Módena NA, Zelada AM, Conte F, Mentaberry A** (2008) Phosphorylation of the TGBp1 movement protein of *Potato virus X* by a *Nicotiana tabacum* CK2-like activity. Virus Research **137**: 16-23
- Mongrand S, Morel J, Laroche J, Claverol S, Carde JP, Hartmann MA, Bonneau M, Simon-Plas F, Lessire R, Bessoule JJ** (2004) Lipid rafts in higher plant cells: purification and characterization of Triton X-100-insoluble microdomains from tobacco plasma membrane. J Biol Chem **279**: 36277-36286
- Moon H, Hazebroek J, Hildebrand DF** (2000) Changes in fatty acid composition in plant tissues expressing a mammalian $\Delta 9$ desaturase. Lipids **35**: 471-479
- Morel J, Claverol S, Mongrand S, Furt F, Fromentin J, Bessoule J-J, Blein J-P, Simon-Plas F** (2006) Proteomics of plant detergent-resistant membranes. Molecular & Cellular Proteomics **5**: 1396-1411
- Morozov SY, Solovyev AG** (2003) Triple gene block: modular design of a multifunctional machine for plant virus movement. Journal of General Virology **84**: 1351-1366
- Mou Z** (2002) Silencing of phosphoethanolamine N-methyltransferase results in temperature-sensitive male sterility and salt hypersensitivity in *Arabidopsis*. The Plant Cell Online **14**: 2031-2043
- Mousley CJ, Tyeryar KR, Vincent-Pope P, Bankaitis VA** (2007) The Sec14-superfamily and the regulatory interface between phospholipid metabolism and membrane trafficking. Biochim Biophys Acta **1771**: 727-736
- Munnik T** (2001) Phosphatidic acid: an emerging plant lipid second messenger. Trends Plant Sci **6**: 227-233
- Nagai T, Ibata K, Park ES, Kubota M, Mikoshiba K, Miyawaki A** (2002) A variant of yellow fluorescent protein with fast and efficient maturation for cell-biological applications. Nature biotechnology **20**: 87-90
- Nakajima K, Sena G, Nawy T, Benfey PN** (2001) Intercellular movement of the putative transcription factor SHR in root patterning. Nature **413**: 307-311
- Nakamura S, Mano S, Tanaka Y, Ohnishi M, Nakamori C, Araki M, Niwa T, Nishimura M, Kaminaka H, Nakagawa T** (2010) Gateway binary vectors with the bialaphos resistance gene, *bar*, as a selection marker for plant transformation. Bioscience, biotechnology, and biochemistry **74**: 1315-1319
- Nakamura T, Fujiwara R, Ishiguro N, Oyabu M, Nakanishi T, Shirasaka Y, Maeda T, Tamai I** (2010) Involvement of choline transporter-like proteins, CTL1 and CTL2, in glucocorticoid-induced acceleration of phosphatidylcholine synthesis via increased choline uptake. Biological and Pharmaceutical Bulletin **33**: 691-696
- Nakamura Y, Andres F, Kanehara K, Liu YC, Dormann P, Coupland G** (2014) *Arabidopsis* florigen FT binds to diurnally oscillating phospholipids that accelerate flowering. Nat Commun **5**: 3553

- Nakamura Y, Koizumi R, Shui G, Shimojima M, Wenk MR, Ito T, Ohta H** (2009) *Arabidopsis* lipins mediate eukaryotic pathway of lipid metabolism and cope critically with phosphate starvation. *Proc Natl Acad Sci U S A* **106**: 20978-20983
- Niehl A, Heinlein M** (2011) Cellular pathways for viral transport through plasmodesmata. *Protoplasma* **248**: 75-99
- Nishida I, Swinhoe R, Slabas AR, Murata N** (1996) Cloning of *Brassica napus* CTP: phosphocholine cytidyltransferase cDNAs by complementation in a yeast *cct* mutant. *Plant Mol Biol* **31**: 205-211
- O'Regan S, Traiffort E, Ruat M, Cha N, Compaore D, Meunier FM** (2000) An electric lobe suppressor for a yeast choline transport mutation belongs to a new family of transporter-like proteins. *Proc Natl Acad Sci U S A* **97**: 1835-1840
- Okazaki Y, Saito K** (2014) Roles of lipids as signaling molecules and mitigators during stress response in plants. *Plant J*
- Okuda T, Haga T, Kanai Y, Endou H, Ishihara T, Katsura I** (2000) Identification and characterization of the high-affinity choline transporter. *Nat Neurosci* **3**: 120-125
- Olesen P** (1979) The neck constriction in plasmodesmata. *Planta* **144**: 349-358
- Oparka KJ** (2004) Getting the message across: how do plant cells exchange macromolecular complexes? *Trends Plant Sci* **9**: 33-41
- Oparka KJ, Murphy R, Derrick PM, Prior DAM, Smith JAC** (1991) Modification of the pressure-probe technique permits controlled intracellular microinjection of fluorescent probes. *Journal of Cell Science* **98**: 539-544
- Oparka KJ, Prior DAM, Crawford JW** (1994) Behavior of plasma membrane, cortical ER and plasmodesmata during plasmolysis of onion epidermal cells. *Plant Cell and Environment* **17**: 163-171
- Oparka KJ, Roberts AG, Boevink P, Santa Cruz S, Roberts I, Pradel KS, Imlau A, Kotlizky G, Sauer N, Epel B** (1999) Simple, but not branched, plasmodesmata allow the nonspecific trafficking of proteins in developing tobacco leaves. *Cell* **97**: 743-754
- Ossowski S, Schneeberger K, Clark RM, Lanz C, Warthmann N, Weigel D** (2008) Sequencing of natural strains of *Arabidopsis thaliana* with short reads. *Genome Res* **18**: 2024-2033
- Ouko MO, Sambade A, Brandner K, Niehl A, Pena E, Ahad A, Heinlein M, Nick P** (2010) Tobacco mutants with reduced microtubule dynamics are less susceptible to TMV. *Plant J* **62**: 829-839
- Overall RL, Blackman LM** (1996) A model of the macromolecular structure of plasmodesmata. *Trends in Plant Science* **1**: 307-311
- Paape M, Solovyev AG, Erokhina TN, Minina EA, Schepetilnikov MV, Lesemann DE, Schiemann J, Morozov SY, Kellmann JW** (2006) At-4/1, an interactor of the *Tomato spotted wilt virus* movement protein, belongs to a new family of plant proteins capable of directed intra- and intercellular trafficking. *Mol Plant Microbe Interact* **19**: 874-883
- Patell Villoo M, Jain R, Shinde M, Settu L** (2010) Identification and characterization of natural chemical entities by liquid chromatography and mass spectrometry IC-MS/MS and uses thereof. *In*. AVESTHAGEN LTD
- Peiro A, Martinez-Gil L, Tamborero S, Pallas V, Sanchez-Navarro JA, Mingarro I** (2014) The *Tobacco mosaic virus* movement protein associates with but does not integrate into biological membranes. *J Virol* **88**: 3016-3026
- Perbal M-C, Haughn G, Saedler H, Schwarz-Sommer Z** (1996) Non-cell-autonomous function of the *Antirrhinum* floral homeotic proteins *DEFICIENS* and *GLOBOSA* is exerted by their polar cell-to-cell trafficking. *Development* **122**: 3433-3441
- Perbal M-C, Thomas CL, Maule AJ** (1993) *Cauliflower mosaic virus* gene I product (P1) forms tubular structures which extend from the surface of infected protoplasts. *Virology* **195**: 281-285

- Peremyslov VV, Hagiwara Y, Dolja VV** (1999) HSP70 homolog functions in cell-to-cell movement of a plant virus. *Proc Natl Acad Sci U S A* **96**: 14771-14776
- Perraki A, Binaghi M, Mecchia MA, Gronnier J, German-Retana S, Mongrand S, Bayer E, Zelada AM, Germain V** (2014) StRemorin1.3 hampers *Potato virus X* TGBp1 ability to increase plasmodesmata permeability, but does not interfere with its silencing suppressor activity. *FEBS Lett* **588**: 1699-1705
- Perraki A, Cacas JL, Crowet JM, Lins L, Castroviejo M, German-Retana S, Mongrand S, Raffaele S** (2012) Plasma membrane localization of *Solanum tuberosum* remorin from group 1, homolog 3 is mediated by conformational changes in a novel C-terminal anchor and required for the restriction of *Potato virus X* movement. *Plant Physiol* **160**: 624-637
- Pike LJ** (2009) The challenge of lipid rafts. *Journal of lipid research* **50**: S323-S328
- Pilot JD, East JM, Lee AG** (2001) Effects of phospholipid headgroup and phase on the activity of diacylglycerol kinase of *Escherichia coli*. *Biochemistry* **40**: 14891-14897
- Porter MY, Koelle MR** (2010) RSBP-1 is a membrane-targeting subunit required by the $G\alpha_q$ -specific but not the $G\alpha_o$ -specific R7 regulator of G protein signaling in *Caenorhabditis elegans*. *Molecular biology of the cell* **21**: 232-243
- Pouwels J, van der Velden T, Willemse J, Borst JW, van Lent J, Bisseling T, Wellink J** (2004) Studies on the origin and structure of tubules made by the movement protein of *Cowpea mosaic virus*. *J Gen Virol* **85**: 3787-3796
- Powell W, Machray GC, Provan J** (1996) Polymorphism revealed by simple sequence repeats. *Trends in plant science* **1**: 215-222
- Prasch CM, Sonnewald U** (2013) Simultaneous application of heat, drought, and virus to Arabidopsis plants reveals significant shifts in signaling networks. *Plant Physiol* **162**: 1849-1866
- Prokhnevsky AI, Peremyslov VV, Dolja VV** (2005) Actin cytoskeleton is involved in targeting of a viral Hsp70 homolog to the cell periphery. *J Virol* **79**: 14421-14428
- Radford JE, Vesik M, Overall RL** (1998) Callose deposition at plasmodesmata. *Protoplasma* **201**: 30-37
- Radford JE, White RG** (1998) Localization of a myosin-like protein to plasmodesmata. *The Plant Journal* **14**: 743-750
- Raffaele S, Bayer E, Lafarge D, Cluzet S, German Retana S, Boubekour T, Leborgne-Castel N, Carde JP, Lherminier J, Noirod E, Satiat-Jeunemaitre B, Laroche-Traineau J, Moreau P, Ott T, Maule AJ, Reymond P, Simon-Plas F, Farmer EE, Bessoule JJ, Mongrand S** (2009) Remorin, a solanaceae protein resident in membrane rafts and plasmodesmata, impairs *Potato virus X* movement. *Plant Cell* **21**: 1541-1555
- Reichelt S, Knight AE, Hodge TP, Baluska F, Samaj J, Volkmann D, Kendrick-Jones J** (1999) Characterization of the unconventional myosin VIII in plant cells and its localization at the post-cytokinetic cell wall. *The Plant Journal* **19**: 555-567
- Revers F, Le Gall O, Candresse T, Maule AJ** (1999) New advances in understanding the molecular biology of plant/potyvirus interactions. *Molecular Plant-Microbe Interactions* **12**: 367-376
- Reymond P, Kunz B, Paul-Pletzer K, Grimm R, Eckerskorn C, Farmer EE** (1996) Cloning of a cDNA encoding a plasma membrane-associated, uronide binding phosphoprotein with physical properties similar to viral movement proteins. *The Plant Cell Online* **8**: 2265-2276
- Rinne PL, Kaikuranta PM, Van Der Schoot C** (2001) The shoot apical meristem restores its symplasmic organization during chilling-induced release from dormancy. *The Plant Journal* **26**: 249-264
- Rinne PL, Welling A, Vahala J, Ripel L, Ruonala R, Kangasjärvi J, van der Schoot C** (2011) Chilling of dormant buds hyperinduces *FLOWERING LOCUS T* and recruits GA-inducible 1, 3- β -glucanases to reopen signal conduits and release dormancy in *Populus*. *The Plant Cell Online* **23**: 130-146

- Robards AW** (1971) The ultrastructure of plasmodesmata. *Protoplasma* **72**: 315-323
- Robards AW, Lucas WJ** (1990) Plasmodesmata. *Annual Review of Plant Physiology and Plant Molecular Biology* **41**: 369-419
- Roberts AG** (2005) Plasmodesmal structure and development. *Plasmodesmata*: 1-32
- Roberts AG, Cruz SS, Roberts IM, Prior DA, Turgeon R, Oparka KJ** (1997) Phloem unloading in sink leaves of *Nicotiana benthamiana*: comparison of a fluorescent solute with a fluorescent virus. *The Plant Cell Online* **9**: 1381-1396
- Roberts AG, Oparka KJ** (2003) Plasmodesmata and the control of symplastic transport. *Plant, Cell & Environment* **26**: 103-124
- Roberts I, Boevink P, Roberts A, Sauer N, Reichel C, Oparka K** (2001) Dynamic changes in the frequency and architecture of plasmodesmata during the sink-source transition in tobacco leaves. *Protoplasma* **218**: 31-44
- Rossin A, Kral R, Lounnas N, Chakrabandhu K, Mailfert S, Marguet D, Hueber A-O** (2010) Identification of a lysine-rich region of Fas as a raft nanodomain targeting signal necessary for Fas-mediated cell death. *Experimental cell research* **316**: 1513-1522
- Ruan Y-L, Llewellyn DJ, Furbank RT** (2001) The control of single-celled cotton fiber elongation by developmentally reversible gating of plasmodesmata and coordinated expression of sucrose and K⁺ transporters and expansin. *The Plant Cell Online* **13**: 47-60
- Ruiz-Medrano R, Xoconostle-Cazares B, Kragler F** (2004) The plasmodesmal transport pathway for homeotic proteins, silencing signals and viruses. *Curr Opin Plant Biol* **7**: 641-650
- Russin WA, Evert RF, Vanderveer PJ, Sharkey TD, Briggs SP** (1996) Modification of a specific class of plasmodesmata and loss of sucrose export ability in the *sucrose export defective 1* maize mutant. *The Plant Cell Online* **8**: 645-658
- Rutschow HL, Baskin TI, Kramer EM** (2011) Regulation of solute flux through plasmodesmata in the root meristem. *Plant Physiol* **155**: 1817-1826
- Ryu SB** (2004) Phospholipid-derived signaling mediated by phospholipase A in plants. *Trends Plant Sci* **9**: 229-235
- Sager R, Lee JY** (2014) Plasmodesmata in integrated cell signalling: insights from development and environmental signals and stresses. *J Exp Bot* **65**: 6337-6358
- Sagi G, Katz A, Guenoue-Gelbart D, Epel BL** (2005) Class 1 reversibly glycosylated polypeptides are plasmodesmal-associated proteins delivered to plasmodesmata via the Golgi apparatus. *The Plant Cell Online* **17**: 1788-1800
- Saito M, Saito M** (2013) Involvement of sphingolipids in ethanol neurotoxicity in the developing brain. *Brain sciences* **3**: 670-703
- Sambade A, Brandner K, Hofmann C, Seemanpillai M, Mutterer J, Heinlein M** (2008) Transport of TMV movement protein particles associated with the targeting of RNA to plasmodesmata. *Traffic* **9**: 2073-2088
- Sambrook J, Fritsch E, Maniatis T** (1989) *Molecular cloning: A laboratory manual*. Cold Spring Harbor. *In*. New York: Cold spring harbor laboratory press
- Samuilova O, Santala J, Valkonen JP** (2013) Tyrosine phosphorylation of the triple gene block protein 3 regulates cell-to-cell movement and protein interactions of *Potato mop-top virus*. *Journal of virology* **87**: 4313-4321
- Sánchez-Navarro J, Fajardo T, Zicca S, Pallás V, Stavelone L** (2010) *Caulimoviridae* tubule-guided transport is dictated by movement protein properties. *Journal of Virology* **84**: 4109-4112
- Sankarshanan M, Ma Z, Iype T, Lorenz U** (2007) Identification of a novel lipid raft-targeting motif in Src homology 2-containing phosphatase 1. *The Journal of Immunology* **179**: 483-490
- Sasaki N, Kaido M, Okuno T, Mise K** (2005) Coat protein-independent cell-to-cell movement of bromoviruses expressing *Brome mosaic virus* movement protein with

- an adaptation-related amino acid change in the central region. *Archives of virology* **150**: 1231-1240
- Saxena IM, Brown Jr RM** (2000) Cellulose synthases and related enzymes. *Curr Opin Plant Biol* **3**: 523-531
- Schapiro AL, Voigt B, Jasik J, Rosado A, Lopez-Cobollo R, Menzel D, Salinas J, Mancuso S, Valpuesta V, Baluska F** (2008) Arabidopsis synaptotagmin 1 is required for the maintenance of plasma membrane integrity and cell viability. *The Plant Cell Online* **20**: 3374-3388
- Schenkel LC, Singh RK, Michel V, Zeisel SH, da Costa K-A, Johnson AR, Mudd HS, Bakovic M** (2014) Mechanism of choline deficiency and membrane alteration in postural orthostatic tachycardia syndrome primary skin fibroblasts. *The FASEB Journal*: fj. 14-258566
- Schmid KJ, Sørensen TR, Stracke R, Törjék O, Altmann T, Mitchell-Olds T, Weisshaar B** (2003) Large-scale identification and analysis of genome-wide single nucleotide polymorphisms for mapping in *Arabidopsis thaliana*. *Genome Research* **13**: 1250-1257
- Schneider WJ, Vance DE** (1979) Conversion of phosphatidylethanolamine to phosphatidylcholine in rat liver. Partial purification and characterization of the enzymatic activities. *Journal of Biological Chemistry* **254**: 3886-3891
- Schoelz JE, Harries PA, Nelson RS** (2011) Intracellular transport of plant viruses: finding the door out of the cell. *Molecular plant* **4**: 813-831
- Scholthof HB** (2005) Plant virus transport: motions of functional equivalence. *Trends Plant Sci* **10**: 376-382
- Schrack K, Fujioka S, Takatsuto S, Stierhof YD, Stransky H, Yoshida S, Jürgens G** (2004) A link between sterol biosynthesis, the cell wall, and cellulose in *Arabidopsis*. *The Plant Journal* **38**: 227-243
- Schwab R, Ossowski S, Riester M, Warthmann N, Weigel D** (2006) Highly specific gene silencing by artificial microRNAs in *Arabidopsis*. *Plant Cell* **18**: 1121-1133
- Searle I, He Y, Turck F, Vincent C, Fornara F, Kröber S, Amasino RA, Coupland G** (2006) The transcription factor FLC confers a flowering response to vernalization by repressing meristem competence and systemic signaling in *Arabidopsis*. *Genes & development* **20**: 898-912
- Seemanpillai M, Elamawi R, Ritzenthaler C, Heinlein M** (2006) Challenging the role of microtubules in *Tobacco mosaic virus* movement by drug treatments is disputable. *J Virol* **80**: 6712-6715
- Sessions A, Yanofsky MF, Weigel D** (2000) Cell-cell signaling and movement by the floral transcription factors LEAFY and APETALA1. *Science* **289**: 779-781
- Shahollari B, Peskan-Berghöfer T, Oelmüller R** (2004) Receptor kinases with leucine-rich repeats are enriched in Triton X-100 insoluble plasma membrane microdomains from plants. *Physiologia Plantarum* **122**: 397-403
- Shahollari B, Varma A, Oelmüller R** (2005) Expression of a receptor kinase in *Arabidopsis* roots is stimulated by the basidiomycete *Piriformospora indica* and the protein accumulates in Triton X-100 insoluble plasma membrane microdomains. *Journal of plant physiology* **162**: 945-958
- Shibata Y, Hu J, Kozlov MM, Rapoport TA** (2009) Mechanisms shaping the membranes of cellular organelles. *Annu Rev Cell Dev Biol* **25**: 329-354
- Shimizu T, Yoshii A, Sakurai K, Hamada K, Yamaji Y, Suzuki M, Namba S, Hibi T** (2009) Identification of a novel tobacco DnaJ-like protein that interacts with the movement protein of *Tobacco mosaic virus*. *Arch Virol* **154**: 959-967
- Silvius J** (2005) Lipid microdomains in model and biological membranes: how strong are the connections? *Quarterly reviews of biophysics* **38**: 373-383
- Simon-Plas F, Perraki A, Bayer E, Gerbeau-Pissot P, Mongrand S** (2011) An update on plant membrane rafts. *Current opinion in plant biology* **14**: 642-649

- Simons K, Vaz WL** (2004) Model systems, lipid rafts, and cell membranes *Annu. Rev. Biophys. Biomol. Struct.* **33**: 269-295
- Simpson C, Thomas C, Findlay K, Bayer E, Maule AJ** (2009) An *Arabidopsis* GPI-anchor plasmodesmal neck protein with callose binding activity and potential to regulate cell-to-cell trafficking. *Plant Cell* **21**: 581-594
- Sivaguru M, Fujiwara T, Šamaj J, Baluška F, Yang Z, Osawa H, Maeda T, Mori T, Volkmann D, Matsumoto H** (2000) Aluminum-induced 1→3-β-D-glucan inhibits cell-to-cell trafficking of molecules through plasmodesmata. A new mechanism of aluminum toxicity in plants. *Plant Physiol* **124**: 991-1006
- Soellick TR, Uhrig JF, Bucher GL, Kellmann JW, Schreier PH** (2000) The movement protein NSm of *Tomato spotted wilt tospovirus* (TSWV): RNA binding, interaction with the TSWV N protein, and identification of interacting plant proteins. *Proc Natl Acad Sci U S A* **97**: 2373-2378
- Sokolova M, Pruffer D, Tacke E, Rohde W** (1997) The *Potato leafroll virus* 17K movement protein is phosphorylated by a membrane-associated protein kinase from potato with biochemical features of protein kinase C. *FEBS Lett* **400**: 201-205
- Stadler R, Wright KM, Lauterbach C, Amon G, Gahrtz M, Feuerstein A, Oparka KJ, Sauer N** (2005) Expression of GFP-fusions in *Arabidopsis* companion cells reveals non-specific protein trafficking into sieve elements and identifies a novel post-ploem domain in roots. *The Plant Journal* **41**: 319-331
- Staehelein LA, Hepler PK** (1996) Cytokinesis in higher plants. *Cell* **84**: 821-824
- Stanley WM** (1935) Isolation of a crystalline protein possessing the properties of *Tobacco mosaic virus*. *Science* **81**: 644-645
- Starling A, Dalton K, East J, Oliver S, Lee A** (1996) Effects of phosphatidylethanolamines on the activity of the Ca²⁺-ATPase of sarcoplasmic reticulum. *Biochem. J* **320**: 309-314
- Stonebloom S, Burch-Smith T, Kim I, Meinke D, Mindrinos M, Zambryski P** (2009) Loss of the plant DEAD-box protein ISE1 leads to defective mitochondria and increased cell-to-cell transport via plasmodesmata. *Proc Natl Acad Sci U S A* **106**: 17229-17234
- Storms MM, Kormelink R, Peters D, Van Lent JW, Goldbach RW** (1995) The nonstructural NSm protein of *Tomato spotted wilt virus* induces tubular structures in plant and insect cells. *Virology* **214**: 485-493
- Su S, Liu Z, Chen C, Zhang Y, Wang X, Zhu L, Miao L, Wang XC, Yuan M** (2010) *Cucumber mosaic virus* movement protein severs actin filaments to increase the plasmodesmal size exclusion limit in tobacco. *Plant Cell* **22**: 1373-1387
- Tacke E, Pruffer D, Schmitz J, Rohde W** (1991) The *Potato leafroll* luteovirus 17k protein is a single-stranded nucleic acid-binding protein. *Journal of General Virology* **72**: 2035-2038
- Tacke E, Schmitz J, Prüfer D, Rohde W** (1993) Mutational analysis of the nucleic acid-binding 17 kDa phosphoprotein of *Potato leafroll luteovirus* identifies an amphipathic α-helix as the domain for protein/protein interactions. *Virology* **197**: 274-282
- Takeda A, Kaido M, Okuno T, Mise K** (2004) The C-terminus of the movement protein of *Brome mosaic virus* controls the requirement for coat protein in cell-to-cell movement and plays a role in long-distance movement. *Journal of general virology* **85**: 1751-1761
- Taliansky M, Mayo MA, Barker H** (2003) *Potato leafroll virus*: a classic pathogen shows some new tricks. *Molecular plant pathology* **4**: 81-89
- Tang N, Bamford P, Jones J, He M, Kane MA, Mooney SM, Bearer CF** (2014) Choline partially prevents the impact of ethanol on the lipid raft dependent functions of L1 cell adhesion molecule. *Alcoholism: Clinical and Experimental Research* **38**: 2722-2730

- Taoka K-i, Ham B-K, Xoconostle-Cázares B, Rojas MR, Lucas WJ** (2007) Reciprocal phosphorylation and glycosylation recognition motifs control NCAPP1 interaction with pumpkin phloem proteins and their cell-to-cell movement. *The Plant Cell Online* **19**: 1866-1884
- Tasseva G, Richard L, Zachowski A** (2004) Regulation of phosphatidylcholine biosynthesis under salt stress involves choline kinases in *Arabidopsis thaliana*. *FEBS Lett* **566**: 115-120
- Terry B, Matthews E, Haseloff J** (1995) Molecular characterization of recombinant green fluorescent protein by fluorescence correlation microscopy. *Biochemical and biophysical research communications* **217**: 21-27
- Testerink C, Larsen PB, van der Does D, van Himbergen JA, Munnik T** (2007) Phosphatidic acid binds to and inhibits the activity of *Arabidopsis* CTR1. *J Exp Bot* **58**: 3905-3914
- Testerink C, Munnik T** (2005) Phosphatidic acid: a multifunctional stress signaling lipid in plants. *Trends Plant Sci* **10**: 368-375
- Testerink C, Munnik T** (2011) Molecular, cellular, and physiological responses to phosphatidic acid formation in plants. *J Exp Bot* **62**: 2349-2361
- Testerink N, van der Sanden MH, Houweling M, Helms JB, Vaandrager AB** (2009) Depletion of phosphatidylcholine affects endoplasmic reticulum morphology and protein traffic at the Golgi complex. *J Lipid Res* **50**: 2182-2192
- Thomas CL, Bayer EM, Ritzenthaler C, Fernandez-Calvino L, Maule AJ** (2008) Specific targeting of a plasmodesmal protein affecting cell-to-cell communication. *PLoS Biol* **6**: e7
- Thompson Jr GA, Okuyama H** (2000) Lipid-linked proteins of plants. *Progress in lipid research* **39**: 19-39
- Thompson T, Tillack TW** (1985) Organization of glycosphingolipids in bilayers and plasma membranes of mammalian cells. *Annual review of biophysics and biophysical chemistry* **14**: 361-386
- Thran M** (2012) Identifizierung und Charakterisierung von Silencing Suppressoren in *Arabidopsis*. Universitätsbibliothek der Universität Erlangen-Nürnberg
- Thran M, Link K, Sonnewald U** (2012) The *Arabidopsis* *DCP2* gene is required for proper mRNA turnover and prevents transgene silencing in *Arabidopsis*. *Plant J* **72**: 368-377
- Tian Q, Olsen L, Sun B, Lid SE, Brown RC, Lemmon BE, Fosnes K, Gruis DF, Opsahl-Sorteberg HG, Otegui MS, Olsen OA** (2007) Subcellular localization and functional domain studies of DEFECTIVE KERNEL1 in maize and *Arabidopsis* suggest a model for aleurone cell fate specification involving CRINKLY4 and SUPERNUMERARY ALEURONE LAYER1. *Plant Cell* **19**: 3127-3145
- Tilsner J, Amari K, Torrance L** (2011) Plasmodesmata viewed as specialised membrane adhesion sites. *Protoplasma* **248**: 39-60
- Traiffort E, O'Regan S, Ruat M** (2013) The choline transporter-like family SLC44: Properties and roles in human diseases. *Molecular aspects of medicine* **34**: 646-654
- Traiffort E, Ruat M, O'Regan S, Meunier FM** (2005) Molecular characterization of the family of choline transporter-like proteins and their splice variants. *J Neurochem* **92**: 1116-1125
- Trutnyeva K, Bachmaier R, Waigmann E** (2005) Mimicking carboxyterminal phosphorylation differentially effects subcellular distribution and cell-to-cell movement of *Tobacco mosaic virus* movement protein. *Virology* **332**: 563-577
- Tucker EB** (1990) Calcium-loaded 1, 2-bis (2-aminophenoxy) ethane-N, N, N', N'-tetraacetic acid blocks cell-to-cell diffusion of carboxyfluorescein in staminal hairs of *Setcreasea purpurea*. *Planta* **182**: 34-38
- Tucker EB, Boss WF** (1996) Mastoparan-induced intracellular Ca²⁺ fluxes may regulate cell-to-cell communication in plants. *Plant physiology* **111**: 459-467

- Tucker JE, Mauzerall D, Tucker EB** (1989) Symplastic transport of carboxyfluorescein in staminal hairs of *Setcreasea purpurea* is diffusive and includes loss to the vacuole. *Plant Physiol* **90**: 1143-1147
- Turgeon R, Medville R** (1998) The absence of phloem loading in willow leaves. *Proceedings of the National Academy of Sciences* **95**: 12055-12060
- Turgeon R, Medville R** (2004) Phloem loading. A reevaluation of the relationship between plasmodesmatal frequencies and loading strategies. *Plant Physiol* **136**: 3795-3803
- Turgeon R, Wolf S** (2009) Phloem transport: cellular pathways and molecular trafficking. *Annu Rev Plant Biol* **60**: 207-221
- Uchiyama A, Shimada-Beltran H, Levy A, Zheng JY, Javia PA, Lazarowitz SG** (2014) The Arabidopsis synaptotagmin SYTA regulates the cell-to-cell movement of diverse plant viruses. *Front Plant Sci* **5**: 584
- Ueki S, Citovsky V** (2005) Identification of an interactor of cadmium ion-induced glycine-rich protein involved in regulation of callose levels in plant vasculature. *Proc Natl Acad Sci U S A* **102**: 12089-12094
- Uemura M, Joseph RA, Steponkus PL** (1995) Cold acclimation of *Arabidopsis thaliana*. Effect on plasma membrane lipid composition and freeze-induced lesions. *Plant Physiol* **109**: 15-30
- Ülker B, Peiter E, Dixon DP, Moffat C, Capper R, Bouche N, Edwards R, Sanders D, Knight H, Knight MR** (2008) Getting the most out of publicly available T-DNA insertion lines. *Plant Journal* **56**: 665-677
- Urbanus SL, Martinelli AP, Aizza LC, Dornelas MC, Angenent GC, Immink RG** (2010) Intercellular transport of epidermis-expressed MADS domain transcription factors and their effect on plant morphology and floral transition. *The Plant Journal* **63**: 60-72
- Üstün Ş** (2013) Funktionelle Charakterisierung von Typ-III Effektorproteinen in Pflanzen (Dissertation). Friedrich-Alexander-Universität Erlangen-Nürnberg
- Üstün S, Bartetzko V, Börnke F** (2013) The *Xanthomonas campestris* type III effector XopJ targets the host cell proteasome to suppress salicylic-acid mediated plant defence. *PLoS pathogens* **9**: e1003427
- Valiyaveetil FI, Zhou Y, MacKinnon R** (2002) Lipids in the structure, folding, and function of the KcsA K⁺-channel. *Biochemistry* **41**: 10771-10777
- van den Bogaart G, Meyenberg K, Risselada HJ, Amin H, Willig KI, Hubrich BE, Dier M, Hell SW, Grubmüller H, Diederichsen U, Jahn R** (2011) Membrane protein sequestering by ionic protein-lipid interactions. *Nature* **479**: 552-555
- van der Rest B, Boisson AM, Gout E, Bligny R, Douce R** (2002) Glycerophosphocholine metabolism in higher plant cells. Evidence of a new glyceryl-phosphodiester phosphodiesterase. *Plant Physiol* **130**: 244-255
- Van Larebeke N, Engler G, Holsters M, Van den Elsacker S, Zaenen I, Schilperoort R, Schell J** (1974) Large plasmid in *Agrobacterium tumefaciens* essential for crown gall-inducing ability.
- van Meer G** (2005) Cellular lipidomics. *The EMBO Journal* **24**: 3159-3165
- van Meer G, Sprong H** (2004) Membrane lipids and vesicular traffic. *Curr Opin Cell Biol* **16**: 373-378
- van Meer G, Voelker DR, Feigenson GW** (2008) Membrane lipids: where they are and how they behave. *Nat Rev Mol Cell Biol* **9**: 112-124
- Vance DE** (1990) Phosphatidylcholine metabolism: masochistic enzymology, metabolic regulation, and lipoprotein assembly. *Biochemistry and Cell Biology* **68**: 1151-1165
- Vance DE, Li Z, Jacobs RL** (2007) Hepatic phosphatidylethanolamine N-methyltransferase, unexpected roles in animal biochemistry and physiology. *Journal of Biological Chemistry* **282**: 33237-33241
- Vance DE, Ridgway ND** (1988) The methylation of phosphatidylethanolamine. *Progress in Lipid Research* **27**: 61-79

- Vatén A, Dettmer J, Wu S, Stierhof Y-D, Miyashima S, Yadav SR, Roberts CJ, Campilho A, Bulone V, Lichtenberger R** (2011) Callose biosynthesis regulates symplastic trafficking during root development. *Developmental cell* **21**: 1144-1155
- Verchot-Lubicz J** (2005) A new cell-to-cell transport model for potexviruses. *Molecular plant-microbe interactions* **18**: 283-290
- Verchot-Lubicz J, Torrance L, Solovyev AG, Morozov SY, Jackson AO, Gilmer D** (2010) Varied movement strategies employed by triple gene block-encoding viruses. *Molecular plant-microbe interactions* **23**: 1231-1247
- Verma DPS, Hong Z** (2001) Plant callose synthase complexes. *Plant Mol Biol* **47**: 693-701
- Viehweger K** (2002) Elicitor-activated phospholipase A_2 generates lysophosphatidylcholines that mobilize the vacuolar H^+ pool for pH signaling via the activation of Na^+ -dependent proton fluxes. *The Plant Cell Online* **14**: 1509-1525
- Vijayapalani P, Maeshima M, Nagasaki-Takekuchi N, Miller WA** (2012) Interaction of the trans-frame potyvirus protein P3N-PIPO with host protein PCaP1 facilitates potyvirus movement. *PLoS Pathog* **8**: e1002639
- Viktorov A, Yurkiv V** (2008) Effects of ethanol and lipopolysaccharide on the sphingomyelin cycle in rat hepatocytes. *Bulletin of experimental biology and medicine* **146**: 753-755
- Voeltz GK, Prinz WA** (2007) Sheets, ribbons and tubules - how organelles get their shape. *Nature Reviews Molecular Cell Biology* **8**: 258-264
- Voeltz GK, Prinz WA, Shibata Y, Rist JM, Rapoport TA** (2006) A class of membrane proteins shaping the tubular endoplasmic reticulum. *Cell* **124**: 573-586
- Vogel F** (2009) Molekulare Analyse des Makromolekültransports in Pflanzen anhand eines viralen Transportproteins. PhD thesis. Friedrich-Alexander-Universität Erlangen-Nürnberg, Erlangen, Germany
- Vogel F, Hofius D, Paulus KE, Jungkunz I, Sonnewald U** (2011) The second face of a known player: Arabidopsis silencing suppressor AtXRN4 acts organ-specifically. *New Phytol* **189**: 484-493
- Vogel F, Hofius D, Sonnewald U** (2007) Intracellular trafficking of *Potato leafroll virus* movement protein in transgenic Arabidopsis. *Traffic* **8**: 1205-1214
- Volkman D, Mori T, Tirlapur U, König K, Fujiwara T, Kendrick-Jones J, Baluska F** (2003) Unconventional myosins of the plant-specific class VIII: endocytosis, cytokinesis, plasmodesmata/pit-fields, and cell-to-cell coupling. *Cell biology international* **27**: 289-291
- Voll L, Häusler RE, Hecker R, Weber A, Weissenböck G, Fiene G, Waffenschmidt S, Flügge U-I** (2003) The phenotype of the *Arabidopsis cue1* mutant is not simply caused by a general restriction of the shikimate pathway. *The Plant Journal* **36**: 301-317
- von Barga S, Salchert K, Paape M, Piechulla B, Kellmann JW** (2001) Interactions between the *Tomato spotted wilt virus* movement protein and plant proteins showing homologies to myosin, kinesin and DnaJ-like chaperones. *Plant Physiology and Biochemistry* **39**: 1083-1093
- Wada T, Kurata T, Tominaga R, Koshino-Kimura Y, Tachibana T, Goto K, Marks MD, Shimura Y, Okada K** (2002) Role of a positive regulator of root hair development, *CAPRICE*, in *Arabidopsis* root epidermal cell differentiation. *Development* **129**: 5409-5419
- Waigmann E, Chen MH, Bachmaier R, Ghoshroy S, Citovsky V** (2000) Regulation of plasmodesmal transport by phosphorylation of *Tobacco mosaic virus* cell-to-cell movement protein. *EMBO J* **19**: 4875-4884
- Waigmann E, Citovsky V** (2001) Phosphorylation of viral movement proteins - regulation of cell-to-cell trafficking. *Trends in Microbiology* **9**: 8

- Waigmann E, Turner A, Peart J, Roberts K, Zambryski P** (1997) Ultrastructural analysis of leaf trichome plasmodesmata reveals major differences from mesophyll plasmodesmata. *Planta* **203**: 75-84
- Walter M, Chaban C, Schutze K, Batistic O, Weckermann K, Nake C, Blazevic D, Grefen C, Schumacher K, Oecking C, Harter K, Kudla J** (2004) Visualization of protein interactions in living plant cells using bimolecular fluorescence complementation. *Plant J* **40**: 428-438
- Wang C, Wang X** (2001) A novel phospholipase D of *Arabidopsis* that is activated by oleic acid and associated with the plasma membrane. *Plant Physiol* **127**: 1102-1112
- Wang X, Bogdanov M, Dowhan W** (2002) Topology of polytopic membrane protein subdomains is dictated by membrane phospholipid composition. *EMBO J* **21**: 5673-5681
- Wang X, Sager R, Cui W, Zhang C, Lu H, Lee JY** (2013) Salicylic acid regulates Plasmodesmata closure during innate immune responses in *Arabidopsis*. *Plant Cell* **25**: 2315-2329
- Watanabe Y, Ogawa T, Okada Y** (1992) *In vivo* phosphorylation of the 30-kDa protein of *Tobacco mosaic virus*. *FEBS Letters* **313**: 181-184
- Weichert N, Kaltenborn E, Hector A, Woischnik M, Schams A, Holzinger A, Kern S, Griese M** (2011) Some *ABCA3* mutations elevate ER stress and initiate apoptosis of lung epithelial cells. *Respir Res* **12**: 4
- Welti R, Li W, Li M, Sang Y, Biesiada H, Zhou HE, Rajashekar CB, Williams TD, Wang X** (2002) Profiling membrane lipids in plant stress responses. Role of phospholipase D alpha in freezing-induced lipid changes in *Arabidopsis*. *J Biol Chem* **277**: 31994-32002
- Wen R-H, Hajimorad M** (2010) Mutational analysis of the putative *pipo* of *Soybean mosaic virus* suggests disruption of PIPO protein impedes movement. *Virology* **400**: 1-7
- Wenig U, Meyer S, Stadler R, Fischer S, Werner D, Lauter A, Melzer M, Hoth S, Weingartner M, Sauer N** (2013) Identification of MAIN, a factor involved in genome stability in the meristems of *Arabidopsis thaliana*. *Plant J* **75**: 469-483
- Weretilnyk EA, Smith DD, Wilch GA, Summers PS** (1995) Enzymes of choline synthesis in spinach (response of phospho-base N-methyltransferase activities to light and salinity). *Plant physiology* **109**: 1085-1091
- White R, Badelt K, Overall R, Vesik M** (1994) Actin associated with plasmodesmata. *Protoplasma* **180**: 169-184
- Wigge PA, Kim MC, Jaeger KE, Busch W, Schmid M, Lohmann JU, Weigel D** (2005) Integration of spatial and temporal information during floral induction in *Arabidopsis*. *Science* **309**: 1056-1059
- Wille AC, Lucas WJ** (1984) Ultrastructural and histochemical studies on guard cells. *Planta* **160**: 129-142
- Willmer C, Sexton R** (1979) Stomata and plasmodesmata. *Protoplasma* **100**: 113-124
- Wolf S, Deom CM, Beachy RN, Lucas WJ** (1989) Movement protein of *Tobacco mosaic virus* modifies plasmodesmatal size exclusion limit. *Science* **246**: 377-379
- Wolfenstetter S, Wirsching P, Dotzauer D, Schneider S, Sauer N** (2012) Routes to the tonoplast: the sorting of tonoplast transporters in *Arabidopsis* mesophyll protoplasts. *Plant Cell* **24**: 215-232
- Wright KM, Wood NT, Roberts AG, Chapman S, Boevink P, Mackenzie KM, Oparka KJ** (2007) Targeting of TMV movement protein to plasmodesmata requires the actin/ER network: evidence from FRAP. *Traffic* **8**: 21-31
- Xie B, Wang X, Zhu M, Zhang Z, Hong Z** (2011) *CaLS7* encodes a callose synthase responsible for callose deposition in the phloem. *The Plant Journal* **65**: 1-14
- Xie J, Bogdanov M, Heacock P, Dowhan W** (2006) Phosphatidylethanolamine and monoglucosyldiacylglycerol are interchangeable in supporting topogenesis and

- function of the polytopic membrane protein lactose permease. *Journal of Biological Chemistry* **281**: 19172-19178
- Xu XM, Jackson D** (2010) Lights at the end of the tunnel: new views of plasmodesmal structure and function. *Curr Opin Plant Biol* **13**: 684-692
- Xu XM, Wang J, Xuan Z, Goldshmidt A, Borrill PG, Hariharan N, Kim JY, Jackson D** (2011) Chaperonins facilitate KNOTTED1 cell-to-cell trafficking and stem cell function. *Science* **333**: 1141-1144
- Yamazaki T, Takata N, Uemura M, Kawamura Y** (2010) *Arabidopsis* synaptotagmin SYT1, a type I signal-anchor protein, requires tandem C2 domains for delivery to the plasma membrane. *Journal of Biological Chemistry* **285**: 23165-23176
- Yang JS, Gad H, Lee SY, Mironov A, Zhang L, Beznoussenko GV, Valente C, Turacchio G, Bonsra AN, Du G, Baldanzi G, Graziani A, Bourgoin S, Frohman MA, Luini A, Hsu VW** (2008) A role for phosphatidic acid in COPI vesicle fission yields insights into Golgi maintenance. *Nat Cell Biol* **10**: 1146-1153
- Yu L, Nie J, Cao C, Jin Y, Yan M, Wang F, Liu J, Xiao Y, Liang Y, Zhang W** (2010) Phosphatidic acid mediates salt stress response by regulation of MPK6 in *Arabidopsis thaliana*. *New Phytol* **188**: 762-773
- Yuan Z, Chen H, Chen Q, Omura T, Xie L, Wu Z, Wei T** (2011) The early secretory pathway and an actin-myosin VIII motility system are required for plasmodesmatal localization of the NSvc4 protein of *Rice stripe virus*. *Virus Res* **159**: 62-68
- Zambryski P, Crawford K** (2000) Plasmodesmata: gatekeepers for cell-to-cell transport of developmental signals in plants. *Annual review of cell and developmental biology* **16**: 393-421
- Zauber H, Burgos A, Garapati P, Schulze WX** (2014) Plasma membrane lipid-protein interactions affect signaling processes in sterol-biosynthesis mutants in *Arabidopsis thaliana*. *Front Plant Sci* **5**: 78
- Zavaliev R, Sagi G, Gera A, Epel BL** (2010) The constitutive expression of *Arabidopsis* plasmodesmal-associated class 1 reversibly glycosylated polypeptide impairs plant development and virus spread. *J Exp Bot* **61**: 131-142
- Zavaliev R, Ueki S, Epel BL, Citovsky V** (2011) Biology of callose (β -1,3-glucan) turnover at plasmodesmata. *Protoplasma* **248**: 117-130
- Zeisel SH** (1981) Dietary choline: biochemistry, physiology, and pharmacology. *Annual review of nutrition* **1**: 95-121
- Zeisel SH** (1993) Choline phospholipids: signal transduction and carcinogenesis. *The FASEB journal* **7**: 551-557
- Zeisel SH, Blusztajn JK** (1994) Choline and human nutrition. *Annual review of nutrition* **14**: 269-296
- Zeisel SH, Da Costa K, Franklin PD, Alexander EA, Lamont J, Sheard N, Beiser A** (1991) Choline, an essential nutrient for humans. *The FASEB journal* **5**: 2093-2098
- Zhang Q, Lin F, Mao T, Nie J, Yan M, Yuan M, Zhang W** (2012) Phosphatidic acid regulates microtubule organization by interacting with MAP65-1 in response to salt stress in *Arabidopsis*. *Plant Cell* **24**: 4555-4576
- Zhang W, Bogdanov M, Pi J, Pittard AJ, Dowhan W** (2003) Reversible topological organization within a polytopic membrane protein is governed by a change in membrane phospholipid composition. *Journal of Biological Chemistry* **278**: 50128-50135
- Zhang W, Campbell HA, King SC, Dowhan W** (2005) Phospholipids as determinants of membrane protein topology: phosphatidylethanolamine is required for the proper topological organization of the γ -aminobutyric acid permease (GabP) of *Escherichia coli* *Journal of Biological Chemistry* **280**: 26032-26038
- Zhang W, Qin C, Zhao J, Wang X** (2004) Phospholipase D α 1-derived phosphatidic acid interacts with ABI1 phosphatase 2C and regulates abscisic acid signaling. *Proc Natl Acad Sci U S A* **101**: 9508-9513

- Zhang W, Wang C, Qin C, Wood T, Olafsdottir G, Welti R, Wang X** (2003) The oleate-stimulated phospholipase D, PLD α , and phosphatidic acid decrease H₂O₂-induced cell death in *Arabidopsis*. *Plant Cell* **15**: 2285-2295
- Zhang Y, Zhu H, Zhang Q, Li M, Yan M, Wang R, Wang L, Welti R, Zhang W, Wang X** (2009) Phospholipase D α 1 and phosphatidic acid regulate NADPH oxidase activity and production of reactive oxygen species in ABA-mediated stomatal closure in *Arabidopsis*. *Plant Cell* **21**: 2357-2377
- Zhu T, Lucas W, Rost T** (1998) Directional cell-to-cell communication in the *Arabidopsis* root apical meristem I. An ultrastructural and functional analysis. *Protoplasma* **203**: 35-47

Abkürzungsverzeichnis

| | |
|-----------------------|--|
| <i>A. thaliana</i> | <i>Arabidopsis thaliana</i> |
| <i>A. tumefaciens</i> | <i>Agrobacterium tumefaciens</i> |
| ABA | Abszissinsäure (engl. <i>abscisic acid</i>) |
| BiFC | bimolekulare Fluoreszenzkomplementation |
| bp | Basenpaare |
| bzw. | beziehungsweise |
| °C | Grad Celsius |
| ca. | circa |
| CaMV | <i>Cauliflower mosaic virus</i> |
| CAPS | <i>cleaved amplified polymorphic sequences</i> |
| cDNA | <i>copy desoxyribonucleic acid</i> , komplementäre DNA |
| cds | <i>coding sequence</i> , kodierende Sequenz |
| cm | Zentimeter |
| CP | <i>capsid/coat protein</i> , Kapsid-/Hüllprotein |
| CMV | <i>Cucumber mosaic virus</i> |
| Col-0 | Columbia-0 |
| d | Tag(e) |
| DD | <i>disordered domain</i> |
| DIM | <i>detergent-insoluble membrane</i> |
| DAG | Diacylglycerol |
| DNA | Desoxyribonukleinsäure |
| dpi | <i>day(s) post infiltration/inoculation</i> , Tag(e) nach Infiltration |
| DT | Desmotubulus |
| <i>E. coli</i> | <i>Escherichia coli</i> |
| EMS | Ethylmethansulfonat |
| ER | endoplasmatischen Retikulum |
| FEN | Fenpropimorph |
| FLIM | <i>Fluorescence Lifetime Imaging Microscopy</i> |
| FRAP | <i>Fluorescence Recovery After Photobleaching</i> |
| FRET | <i>Förster Resonance Energy Transfer</i> |
| g | Gramm |
| xg | Erdbeschleunigung |
| GC | Gaschromatographie |
| GFP | <i>green fluorescent protein</i> , grün fluoreszierendes Protein |

| | |
|---------|---|
| h | Stunde(n) |
| HPLC | Hochleistungsflüssigkeitschromatographie |
| IN/Dels | Insertionen/Deletionen |
| kb | Kilobasen |
| kDa | kiloDalton |
| KLSM | Konfokale Laserscanning Mikroskopie |
| l | Liter |
| Ler | Landsberg <i>erecta</i> |
| M/m | Mol/molar |
| Mbp | Megabasenpaare |
| mg | Milligramm |
| min | Minute(n) |
| ml | Milliliter |
| mm | Millimeter |
| MP | Movementprotein |
| NCAP | <i>non cell autonomous protein</i> |
| nm | Nanometer |
| oD600 | optische Dichte bei 600 nm |
| Pcz | Propiconazol |
| PD | Plasmodesmata |
| PtdCho | Phosphatidylcholin |
| PA | <i>Phosphatidic acid</i> , Phosphatidsäure |
| PCR | Polymerase-Kettenreaktion (polymerase chain reaction) |
| PLRV | <i>Potato leafroll virus</i> |
| PM | Plasmamembran |
| PtdIns | Phosphatidylinositol |
| PthEth | Phosphatidylethanolamin |
| PVX | <i>Potato virus X</i> |
| PVY | <i>Potato virus Y</i> |
| RNA | Ribonukleinsäure |
| ROS | <i>reactive oxygen species</i> , reaktive Sauerstoffspezies |
| rpm | <i>revolutions per minute</i> , Umdrehungen pro Minute |
| RT | Raumtemperatur |
| RT-PCR | Reverse Transkriptase-Polymerasekettenreaktion |
| s | Sekunde(n) |
| S | Serin |

| | |
|--------|---|
| SAM | <i>shoot apical meristem</i> , Sprossapikalmeristem |
| SEL | <i>size exclusion limit</i> , molekulare Ausschlussgröße der PD |
| siRNAs | <i>small interfering RNA</i> |
| SNP | <i>single nucleotide polymorphism</i> |
| SL | Sphingolipide |
| SSLP | <i>simple sequence length polymorphism</i> |
| St | Sterole |
| TLC | Dünnschichtchromatographie |
| TMV | <i>Tobacco mosaic virus</i> |
| TMD | Transmembrandomänen |
| VLCFA | <i>very long chain fatty acids</i> , langkettige Fettsäuren |
| vRNA | virale RNA |
| WT | Wildtyp |
| ZW | Zellwand |
| µg | Mikrogramm |
| µl | Mikroliter |

Anhang

Tabelle 17: Verwendete Oligonukleotide für Deletionsanalysen, Substitutionen, *cher1-4* und amiRNA_ *CHER1*, RT-PCR sowie Lokalisierung und BIFC.

| Konstrukt | Primer | Sequenz 5' – 3' |
|-----------------------|--------|---|
| Deletionen | | |
| MP17fl | KL1 | <u>CACCAACAATG</u> TCAATGGTGGTGTACAACAACCAAGG |
| | KL2 | TCCGCGCTTGATAAGTTTTGGC |
| MP17Δ 1-18 | KL3 | <u>CACCAACAATGGG</u> CGCGCTAACAGAGTTCAGCC |
| | KL2 | TCCGCGCTTGATAAGTTTTGGC |
| MP17Δ 110-156 | KL1 | <u>CACCAACAATG</u> TCAATGGTGGTGTACAACAACCAAGG |
| | KL4 | GAAGTAAGATGCTTGTGATCTTATACTCATGG |
| MP17Δ 1-109 | KL7 | <u>CACCAACAATG</u> AGTTCGTCAGCGAGG |
| | KL2 | TCCGCGCTTGATAAGTTTTGGC |
| MP17Δ 1-99 | KL20 | <u>CACCAACAATG</u> ATGAGTATAAGATCACAAGCATCTTACTTC |
| | KL2 | TCCGCGCTTGATAAGTTTTGGC |
| MP17Δ 1-89 | KL21 | <u>CACCAACAATG</u> CATTCAAGGATGGAATACTCAAGGC |
| | KL2 | TCCGCGCTTGATAAGTTTTGGC |
| MP17Δ 1-79 | KL22 | <u>CACCAACAATG</u> CCTTCGGGCCGAGTCTATCAG |
| | KL2 | TCCGCGCTTGATAAGTTTTGGC |
| MP17Δ 1-66 | KL23 | <u>CACCAACAATG</u> CAAAGGACAACCTCATGGGCAAC |
| | KL2 | TCCGCGCTTGATAAGTTTTGGC |
| MP17Δ 1-53 | KL24 | <u>CACCAACAATG</u> TCCCCGAGGACGAGGC |
| | KL2 | TCCGCGCTTGATAAGTTTTGGC |
| MP17Δ 1-40 | KL25 | <u>CACCAACAATG</u> GTTAGAAGAGGAGGCAATCGCCG |
| | KL2 | TCCGCGCTTGATAAGTTTTGGC |
| MP17Δ 1-27 | KL26 | <u>CACCAACAATG</u> TATGGTCACGGCCTCTGGG |
| | KL2 | TCCGCGCTTGATAAGTTTTGGC |
| Substitutionen | | |
| MP17A69-81 | | |
| A | KL1 | <u>CACCAACAATG</u> TCAATGGTGGTGTACAACAACCAAGG |
| | KL28 | AGTCTGATAGACTCGGCCCGCAGGTGCAACTTCTTGGGAGCTGCCCATGCC GCTGCCCTTTGTAACACGAATGTC |

| | | |
|------------------------|-------|---|
| B | KL27 | GACATTCGTGTTTACAAAGGGCAGCCGCATGGGCAGCTCCCAAGGAAGTTGC ACCTGCGGGCCGAGTCTATCAGACT |
| | KL2 | TCCGCGCTTGATAAGTTTTGGC |
| MP17A136-143 | | |
| A | KL1 | <u>CACCAACAATGTCAATGGTGGTGTACAACAACCAAGG</u> |
| | KL13 | CGCCGCCCTTCGTAATTTGGCAGCCGCGCCGCGAGGAGCGGCGGGATGATA CTTTGCAATGGG |
| B | KL12 | CCCATTGCAAAGTATCATCCCGCCGCTCCTGCGGCCGCGGCTGCCAAATTAC GAAGGGCGGCG |
| | KL2 | TCCGCGCTTGATAAGTTTTGGC |
| MP17Aall | | |
| | | Template MP17A136-143, Primer wie bei MP17A69-81 |
| MP17D71 | | |
| A | KL1 | <u>CACCAACAATGTCAATGGTGGTGTACAACAACCAAGG</u> |
| | KL30 | CTTGGGAGCTGCCAGTCGGCTGCCCTTTGTAA |
| B | KL29 | TTACAAAGGGCAGCCGACTGGGCAGCTCCCAAG |
| | KL2 | TCCGCGCTTGATAAGTTTTGGC |
| MP17D79 | | |
| A | KL1 | <u>CACCAACAATGTCAATGGTGGTGTACAACAACCAAGG</u> |
| | KL32 | GACTCGGCCCGCAGGGTCAACTTCCTTGGGAGC |
| B | KL31 | GCTCCAAGGAAGTTGACCCTGCGGGCCGAGTC |
| | KL2 | TCCGCGCTTGATAAGTTTTGGC |
| MP17D7179 | | |
| | | Template MP17D71, Primer wie bei MP17D79 |
| MP17Δ110-156D71 | | |
| | | Template MP17D71, Primer wie bei MP17Δ 110-156 |
| MP17K1 | | |
| A | KL1 | <u>CACCAACAATGTCAATGGTGGTGTACAACAACCAAGG</u> |
| | KL122 | GAAGGTGAAACTTCCTGGGAGTTGCCATG |
| B | KL121 | CATGGGCAACTCCCAGGGAAGTTTCACCTTC |
| | KL2 | TCCGCGCTTGATAAGTTTTGGC |

| | | |
|--|-------|---|
| MP17K2 | | |
| K2 fw | KL123 | CACCATGTCAATGGTGGTGTACAACAACCAAGGAGGCCGAAGAAGGCAATCCCTT |
| K2 rv | KL124 | TCCGCGCCTGATAAGTCTTGGCGCCGCCCTTCGTAATCTGGAACCTGTTGACGTAGGACTGGAGGGATGATACCTTGCAATGGGG |
| | | |
| Primer für Überlagerung von A and B | KL1 | <u>CACCAACAATGTCAATGGTGGTGTACAACAACCAAGG</u> |
| | KL2 | TCCGCGCTTGATAAGTTTTGGC |
| | | |
| Kandidaten-Sequenzierung | | |
| Seq. SNP K1_ fw | KL97 | CGTCACAAGGTATTGAGAATTCACCTCATAG |
| Seq. SNP K1_ rv | KL98 | TTCTTCCTCTGTTTCTCTTGCTTCTTC |
| Seq. SNP K2_ fw | KL99 | GTGTGGGAGCCCTATGACAGC |
| Seq. SNP K2_ rv | KL100 | GCATGATAAACACGTTTGAGTTCCTTATGATC |
| Seq. SNP K3_ fw | KL101 | CAGCAGATGGGTGGTGTAAATATTCAAG |
| Seq. SNP K3_ rv | KL102 | ACATGAAAGTATGGGTCATGCTCACC |
| | | |
| CHER1 T-DNA Insertionslinie und amiRNA-Klonierung | | |
| <i>cher1-4</i> LP | KL63 | ATGAAGTGGATGGCGTTACAG |
| <i>cher1-4</i> RP | KL64 | GTATCATCAGAAGGTGCAGGG |
| SALK LBb1.3 | KL107 | ATTTTGCCGATTTTCGGAAC |
| Seq. Insertion fw 1 | KL117 | TCCGCCGAATTCTCATGGCA |
| Seq. Insertion fw 2 | KL118 | CGGTTAACCGTAATGCCTACATAATG |
| | | |
| amiRNA_ <i>CHER</i> I | KL111 | gaTATTGACAATCATTGAAGCCCtctctctttgtattcc |
| amiRNA_ <i>CHER</i> II | KL112 | gaGGGCTTCAATGATTGTCAATAtcaaagagaatcaatga |
| amiRNA_ <i>CHER</i> III | KL113 | gaGGA CTTCAATGATAGTCAATTtcacaggtcgtgatg |
| amiRNA_ <i>CHER</i> IV | KL114 | gaAATTGACTATCATTGAAGTCCtctacatatattcct |
| amiRNA A | KL115 | CTG CAA GGC GAT TAA GTT GGG TAA C |
| amiRNA B | KL116 | GCG GAT AAC AAT TTC ACA CAG GAA ACA G |
| | | |
| CHER1 und ami_<i>CHER</i>1 RT-PCR | | |
| Seq. SNP K3_ fw | KL101 | CAGCAGATGGGTGGTGTAAATATTCAAG |
| RT <i>CHER</i> 1 neu rv | KL157 | TAGCAGCTACCTTGAGGACTG |

| | | |
|-------------------------------------|-------|---|
| AtAct1-5' | KL8 | GCGATGAAGCTCAATCCAAACGAGG |
| AtAct1-3' | KL9 | GGTCACGACCAGCAAGATCAAGACG |
| | | |
| CHER1 Lokalisierung und BIFC | | |
| NotI-At3g15380 TOPO fw | KL164 | GCGGCCGCCCTTCACCATGAGAGGACCTTTAGGAGCA |
| At3g15380-Stop-Ascl TOPO rv | KL165 | GGCGCGCCACCCTTGTGAGTAAGACTCTGAACCTCT |
| At3g15380+Stop-Ascl TOPO rv | KL166 | GGCGCGCCACCCTTTCAGTGAGTAAGACTCTGAACCTCT |
| | | |
| MP17fl rv - Stop | KL180 | TCATCCGCGCTTGATAAGTTTTGGC |
| | | |
| Seq. CHER1_fw1 | KL154 | GGCTCTTGGTTCACCTATTGT |
| Seq. CHER1_fw2 | KL155 | CGGTTAACCGTAATGCCTACATAATG |
| Seq. CHER1_rv | KL156 | TCATCCCCGCTATTACCTGTTT |
| | | |
| Nachweis von MP17 | | |
| LB1 (FV56) | KL158 | GCC CTT TGA CGT TGG AGT CCA CGT TC |
| NM_genom2 (FV172) | KL159 | GTGTTCTGTGTGTATATGACTACGGC |
| NM_genom_1 (FV (171)) | KL160 | CAACTTACGGCAGAGTAAAAATCGC |
| | | |

Tabelle 18: SSLP-Marker nach Lukowitz et al. (2000) für Grobkartierung.

| Primer | | Sequenz 5' – 3' | Position [bp] | Col-0 | Ler |
|--------------------|---|-------------------------|---------------|-------|-------|
| Chromosom 1 | | | | | |
| F21M12 | 1 | TTACTTTTTGCCTCTTGTCAATG | 3212191 | 200 | < 200 |
| | 2 | GGCTTTCTCGAAATCTGTCC | | | |
| ciw12 | 1 | AGGTTTTATTGCTTTTCACA | 9621344 | 128 | 115 |
| | 2 | CTTTCAAAGCACATCACA | | | |
| ciw1 | 1 | ACATTTTCTCAATCCTFACTC | 18367549 | 159 | 135 |
| | 2 | GAGAGCTTCTTTATTTGTGAT | | | |
| nga280 | 1 | GGCTCCATAAAAAGTGCACC | 20877364 | 105 | 85 |
| | 2 | CTGATCTCACGGACAATAGTGC | | | |
| nga111 | 1 | TGTTTTTTAGGACAAATGGCG | 27356874 | 130 | 162 |
| | 2 | CTCCAGTTGGAAGCTAAAGGG | | | |
| Chromosom 2 | | | | | |
| ciw2 | 1 | CCCAAAAGTTAATTATACTGT | 1194603 | 105 | 90 |
| | 2 | CCGGGTTAATAATAAATGT | | | |

| | | | | | |
|--------------------|---|--------------------------|----------|-----|-----|
| ciw3 | 1 | GAAACTCAATGAAATCCACTT | 6409928 | 230 | 200 |
| | 2 | TGAACTTGTGTGAGCTTTGA | | | |
| nga1126 | 1 | GCACAGTCCAAGTCACAACC | 11702237 | 191 | 199 |
| | 2 | CGCTACGCTTTTCGGTAAAG | | | |
| nga168 | 1 | GAGGACATGTATAGGAGCCTCG | 16298919 | 151 | 135 |
| | 2 | TCGTCTACTGCACTGCCG | | | |
| Chromosom 3 | | | | | |
| nga162 | 1 | CTCTGTCACTCTTTTCCTCTGG | 4608284 | 107 | 89 |
| | 2 | CATGCAATTTGCATCTGAGG | | | |
| ciw11 | 1 | CCCCGAGTTGAGGTATT | 9775545 | 179 | 230 |
| | 2 | GAAGAAATTCCTAAAGCATTC | | | |
| ciw4 | 1 | GTTTATTAAACTTGCCTGTGT | 6409928 | 190 | 215 |
| | 2 | TACGGTCAGATTGAGTGATTC | | | |
| nga6 | 1 | ATGGAGAAGCTTACTGATC | 23042025 | 143 | 123 |
| | 2 | TGGATTCTTCTCTCTTAC | | | |
| Chromosom 4 | | | | | |
| ciw5 | 1 | GGTAAAAATTAGGGTTACGA | 737954 | 164 | 144 |
| | 2 | AGATTTACGTGGAAGCAAT | | | |
| ciw6 | 1 | CTCGTAGTGCACTTTCATCA | 7892620 | 162 | 148 |
| | 2 | CACATGGTTAGGGAAACAATA | | | |
| ciw7 | 1 | AATTTGGAGATTAGCTGGAAT | 11524362 | 130 | 123 |
| | 2 | CCATGTTGATGATAAGCACAA | | | |
| nga1107 | 1 | CGACGAATCGACAGAATTAGG | 18096131 | 150 | 140 |
| | 2 | GCGAAAAACAAAAAATCCA | | | |
| Chromosom 5 | | | | | |
| CTR1.2 | 1 | CCACTTGTCTCTCTCTAG | 979763 | 159 | 143 |
| | 2 | TATCAACAGAAACGCACCGAG | | | |
| ciw8 | 1 | TAGTGAACCTTTCTCAGAT | 7485588 | 100 | 135 |
| | 2 | TTATGTTTTCTCAATCAGTT | | | |
| PHYC | 1 | CTCAGAGAATTCCCAGAAAAATCT | 14025127 | 207 | 222 |
| | 2 | AAACTCGAGAGTTTTGTCTAGATC | | | |
| ciw9 | 1 | CAGACGTATCAAATGACAAATG | 17061229 | 165 | 145 |
| | 2 | GACTACTGCTCAAATATTCGG | | | |
| ciw10 | 1 | CCACATTTCTCTTTTATA | 24548097 | 140 | 130 |
| | 2 | CAACATTTAGCAAATCAACTT | | | |

Tabelle 19: Liste aller Oligonukleotide zur Kartierung der Mutante SO15A

| | Primer | | Sequenz 5' – 3' | Position [bp] | Col-0 | Ler |
|----|-----------------|---|-------------------------|---------------|-------|-----|
| M1 | 3-AC016827-0956 | 1 | ATTTGTAGATCGTTGAACAT | 2243047 | 129 | 117 |
| | | 2 | TTAGTGCAATAACAGAGAGA | | | |
| M2 | 3-AB022219-2564 | 1 | GAATCTTGTAACTCTGGTGC | 6014083 | 173 | 143 |
| | | 2 | TACGTATACTTATTCAGTTGATC | | | |
| M3 | 3-AB025634-3261 | 1 | TAACCACAGCTATGAGGTCG | 7649966 | 192 | 179 |
| | | 2 | GATTGATAACTTTAATTGGCCC | | | |
| M4 | 3-AP000382-3764 | 1 | GCCATTTTGGGAATGAAAC | 8829586 | 105 | 96 |
| | | 2 | GGGTGAAAGGTGAAACTCT | | | |

| | | | | | | |
|-----|-----------------|---|------------------------|---------|-----|-----|
| M5 | 3-AB022220-2047 | 1 | TGATTGATACATGGAGTTAC | 4801108 | 155 | 144 |
| | | 2 | AAGTGAGCATAAGCATATTC | | | |
| M6 | 3-AP000370-2145 | 1 | TGACTGCTTGCACGTGAT | 5032563 | 106 | 97 |
| | | 2 | CTCTCTTCCGCCGCGAAAT | | | |
| M7 | 3-AB017071-2266 | 1 | TCGTGTTTTTGTCCAAAGTT | 5315290 | 188 | 167 |
| | | 2 | CGGGTCTGCTCATTCTTC | | | |
| M8 | 3-AC001645-2352 | 1 | CGTCGTTTAGTGGATGTGTA | 5518698 | 188 | 149 |
| | | 2 | CGGTGATAATGATTAATGAG | | | |
| M9 | 3-AB022217-2402 | 1 | ACCTGTTTCAGTCTATGTTAC | 5634662 | 218 | 165 |
| | | 2 | GGGAATTATTAACATTATCA | | | |
| M10 | 3-AB022217-2433 | 1 | TTAACTGTTTTGTGGTAGTC | 5707030 | 183 | 161 |
| | | 2 | TGTGTATTCCCACTATACTG | | | |
| M11 | 3-AB026636-2493 | 1 | CGCAAATTTAATCGGTGA | 5847694 | 159 | 120 |
| | | 2 | AGAGATCCACGCAAGCTCTA | | | |
| M12 | 470487 | 1 | AGAAGCATCGTTTTTCATGTC | 4825425 | 128 | 119 |
| | | 2 | CGTCAACGTACCACACA | | | |
| M13 | 470473 | 1 | ATTTAGGAGGCGATGGC | 4862259 | 120 | 108 |
| | | 2 | AAGGAAGCTTTGTATCGCT | | | |
| M14 | CER454153 | 1 | CACCTTTATAAAGGATCCAGA | 5024647 | 143 | 132 |
| | | 2 | AAAAAAAACAGGATCGTGTG | | | |
| M15 | CER456061 | 1 | TATATAGTTTACAAGACGTCCG | 5264625 | 115 | 107 |
| | | 2 | TGTTGGTTTTGGTTGTAGA | | | |

Tabelle 20: Next-generation sequencing SNP-Analyse der 402 kb Region. In den 402 kb auf Chromosom 3 zwischen Position 4862259 bp und 5264624 bp konnten insgesamt 198 SNPs identifiziert werden. Die Mutation, die den Phänotyp in SO15A auslöst, muss homozygot vorliegen, was für nur 35 der 198 SNPs der Fall war (siehe Tabellenspalte „heterozygot“; FALSCH, wenn homozygot). Von diesen 35 SNPs lagen sechs SNPs nicht in Exons (lila unterlegt), 22 SNPs wurden bereits bei einer SNP-Analyse zwischen Col-0 mit Bur-0 und Tsu-1 (Ossowski et al., 2008; grau unterlegt) beschrieben und drei SNPs (hellblau unterlegt) erhielten bei TAIR Treffer in „*transposable element genes*“. Von den vier restlichen Kandidaten (türkis unterlegt) fiel SNP#147 weg, da es sich hierbei um eine stumme Mutation (Leucin bleibt erhalten) handelt, wodurch SNP#144, SNP#168 und SNP#196 als potentiell Phänotyp-auslösende SNPs in der Mutante SO15A übrig blieben.

| Seqid | Start | Score | Genotyp | Referenz | Coverage | heterozygot |
|-------|---------|----------|---------|----------|----------|-------------|
| Chr3 | 4862244 | 0 | Y | T | 26 | WAHR |
| Chr3 | 4862278 | 0 | R | A | 41 | WAHR |
| Chr3 | 4862483 | 0 | Y | T | 39 | WAHR |
| Chr3 | 4862581 | 0,264717 | C | T | 15 | FALSCH |
| Chr3 | 4862603 | 0 | S | G | 17 | WAHR |
| Chr3 | 4862687 | 0,000158 | M | C | 12 | WAHR |
| Chr3 | 4862708 | 0,44198 | G | A | 6 | FALSCH |
| Chr3 | 4862720 | 0 | T | A | 8 | FALSCH |
| Chr3 | 4862881 | 0 | W | T | 33 | WAHR |
| Chr3 | 4862906 | 0 | K | T | 24 | WAHR |
| Chr3 | 4863018 | 0 | K | T | 45 | WAHR |
| Chr3 | 4863028 | 0 | K | T | 43 | WAHR |
| Chr3 | 4864524 | 0 | M | A | 51 | WAHR |

| | | | | | | |
|------|---------|----------|---|---|----|--------|
| Chr3 | 4865035 | 0 | K | G | 42 | WAHR |
| Chr3 | 4865155 | 0 | K | G | 42 | WAHR |
| Chr3 | 4865325 | 0 | M | A | 43 | WAHR |
| Chr3 | 4865620 | 0 | Y | T | 34 | WAHR |
| Chr3 | 4866132 | 0,095616 | W | A | 8 | WAHR |
| Chr3 | 4866318 | 0 | Y | C | 33 | WAHR |
| Chr3 | 4866411 | 0,046139 | Y | T | 22 | WAHR |
| Chr3 | 4866866 | 0 | K | T | 24 | WAHR |
| Chr3 | 4866882 | 0,001194 | W | A | 18 | WAHR |
| Chr3 | 4867414 | 0,004923 | Y | T | 14 | WAHR |
| Chr3 | 4867651 | 0,093113 | Y | C | 15 | WAHR |
| Chr3 | 4867654 | 0,062242 | K | T | 11 | WAHR |
| Chr3 | 4867660 | 0,000042 | Y | C | 12 | WAHR |
| Chr3 | 4868045 | 0 | R | G | 33 | WAHR |
| Chr3 | 4868831 | 0,028158 | M | C | 33 | WAHR |
| Chr3 | 4869091 | 0,002698 | Y | C | 28 | WAHR |
| Chr3 | 4869104 | 0 | Y | T | 38 | WAHR |
| Chr3 | 4869618 | 0 | Y | T | 32 | WAHR |
| Chr3 | 4869709 | 0,002579 | R | A | 11 | WAHR |
| Chr3 | 4872438 | 0,000556 | Y | T | 19 | WAHR |
| Chr3 | 4872912 | 0,834658 | G | A | 37 | FALSCH |
| Chr3 | 4872988 | 0 | S | G | 26 | WAHR |
| Chr3 | 4873013 | 0 | Y | T | 32 | WAHR |
| Chr3 | 4873522 | 0 | M | A | 15 | WAHR |
| Chr3 | 4873526 | 0 | A | T | 8 | FALSCH |
| Chr3 | 4873567 | 0 | W | T | 32 | WAHR |
| Chr3 | 4873876 | 0,000069 | R | A | 13 | WAHR |
| Chr3 | 4874486 | 0,022435 | S | G | 15 | WAHR |
| Chr3 | 4874896 | 0,000325 | R | G | 17 | WAHR |
| Chr3 | 4875045 | 0 | S | G | 25 | WAHR |
| Chr3 | 4876178 | 0 | M | C | 26 | WAHR |
| Chr3 | 4876326 | 0 | S | G | 41 | WAHR |
| Chr3 | 4876347 | 0 | Y | T | 17 | WAHR |
| Chr3 | 4876448 | 0 | S | C | 40 | WAHR |
| Chr3 | 4876781 | 0 | S | G | 17 | WAHR |
| Chr3 | 4876841 | 0,00066 | S | G | 18 | WAHR |
| Chr3 | 4876847 | 0,003535 | M | A | 19 | WAHR |
| Chr3 | 4876964 | 0 | Y | C | 31 | WAHR |
| Chr3 | 4877003 | 0 | R | A | 55 | WAHR |
| Chr3 | 4877346 | 0,097286 | S | C | 13 | WAHR |
| Chr3 | 4877357 | 0,327595 | C | A | 15 | FALSCH |
| Chr3 | 4877614 | 0 | A | G | 20 | FALSCH |
| Chr3 | 4877682 | 0 | Y | C | 45 | WAHR |

| | | | | | | |
|------|---------|----------|---|---|----|------|
| Chr3 | 4877923 | 0 | K | T | 21 | WAHR |
| Chr3 | 4877932 | 0 | M | C | 16 | WAHR |
| Chr3 | 4877961 | 0,081829 | R | A | 8 | WAHR |
| Chr3 | 4878113 | 0,000204 | Y | T | 30 | WAHR |
| Chr3 | 4878115 | 0 | Y | T | 30 | WAHR |
| Chr3 | 4878119 | 0 | R | G | 34 | WAHR |
| Chr3 | 4878282 | 0 | Y | C | 32 | WAHR |
| Chr3 | 4878298 | 0 | Y | T | 43 | WAHR |
| Chr3 | 4878471 | 0 | Y | C | 35 | WAHR |
| Chr3 | 4878545 | 0 | K | T | 29 | WAHR |
| Chr3 | 4879048 | 0,073761 | M | C | 16 | WAHR |
| Chr3 | 4879580 | 0,089232 | S | G | 14 | WAHR |
| Chr3 | 4880140 | 0 | S | C | 17 | WAHR |
| Chr3 | 4880247 | 0,000024 | R | A | 17 | WAHR |
| Chr3 | 4880925 | 0 | M | C | 53 | WAHR |
| Chr3 | 4881427 | 0 | W | A | 29 | WAHR |
| Chr3 | 4881431 | 0 | W | T | 33 | WAHR |
| Chr3 | 4882412 | 0 | Y | C | 36 | WAHR |
| Chr3 | 4883280 | 0 | K | T | 32 | WAHR |
| Chr3 | 4883417 | 0 | Y | C | 42 | WAHR |
| Chr3 | 4883651 | 0 | R | A | 38 | WAHR |
| Chr3 | 4883683 | 0 | R | A | 31 | WAHR |
| Chr3 | 4883815 | 0 | M | A | 29 | WAHR |
| Chr3 | 4884124 | 0 | W | A | 53 | WAHR |
| Chr3 | 4884516 | 0 | Y | T | 44 | WAHR |
| Chr3 | 4886836 | 0 | M | A | 32 | WAHR |
| Chr3 | 4886865 | 0,003714 | Y | C | 26 | WAHR |
| Chr3 | 4887028 | 0 | S | G | 26 | WAHR |
| Chr3 | 4887087 | 0,008059 | Y | T | 18 | WAHR |
| Chr3 | 4887122 | 0 | S | C | 33 | WAHR |
| Chr3 | 4887139 | 0,002831 | Y | T | 25 | WAHR |
| Chr3 | 4887195 | 0 | W | A | 34 | WAHR |
| Chr3 | 4887228 | 0 | S | C | 36 | WAHR |
| Chr3 | 4887349 | 0 | M | A | 54 | WAHR |
| Chr3 | 4887442 | 0 | S | G | 33 | WAHR |
| Chr3 | 4887920 | 0 | K | G | 34 | WAHR |
| Chr3 | 4888880 | 0 | W | A | 15 | WAHR |
| Chr3 | 4888909 | 0,00016 | R | G | 22 | WAHR |
| Chr3 | 4888921 | 0,08643 | Y | T | 26 | WAHR |
| Chr3 | 4888923 | 0,009797 | Y | C | 26 | WAHR |
| Chr3 | 4888954 | 0,016784 | R | G | 25 | WAHR |
| Chr3 | 4888961 | 0,004346 | K | G | 19 | WAHR |
| Chr3 | 4888986 | 0,000238 | M | A | 10 | WAHR |

| | | | | | | |
|------|---------|----------|---|---|----|--------|
| Chr3 | 4894818 | 0,001701 | W | A | 9 | WAHR |
| Chr3 | 4911455 | 0 | R | G | 18 | WAHR |
| Chr3 | 4913779 | 0,000015 | A | T | 4 | FALSCH |
| Chr3 | 4914783 | 0,000065 | R | G | 16 | WAHR |
| Chr3 | 4917930 | 0,006571 | Y | C | 10 | WAHR |
| Chr3 | 4920360 | 0 | M | A | 18 | WAHR |
| Chr3 | 4922199 | 0,000201 | W | A | 18 | WAHR |
| Chr3 | 4924271 | 0 | M | A | 23 | WAHR |
| Chr3 | 4925640 | 0 | S | C | 13 | WAHR |
| Chr3 | 4925965 | 0,015758 | W | T | 13 | WAHR |
| Chr3 | 4926041 | 0 | Y | T | 40 | WAHR |
| Chr3 | 4927839 | 0,001845 | Y | T | 54 | WAHR |
| Chr3 | 4927917 | 0 | W | A | 44 | WAHR |
| Chr3 | 4927927 | 0 | R | A | 38 | WAHR |
| Chr3 | 4928105 | 0 | R | A | 26 | WAHR |
| Chr3 | 4928120 | 0,000198 | R | G | 17 | WAHR |
| Chr3 | 4928187 | 0 | R | G | 19 | WAHR |
| Chr3 | 4928229 | 0,000776 | S | C | 30 | WAHR |
| Chr3 | 4928243 | 0,001699 | W | T | 32 | WAHR |
| Chr3 | 4928342 | 0 | R | G | 51 | WAHR |
| Chr3 | 4928926 | 0,096987 | Y | T | 9 | WAHR |
| Chr3 | 4929099 | 0,061407 | R | G | 17 | WAHR |
| Chr3 | 4929339 | 0,000115 | Y | T | 11 | WAHR |
| Chr3 | 4929342 | 0,097136 | Y | C | 11 | WAHR |
| Chr3 | 4929683 | 0,000967 | Y | T | 15 | WAHR |
| Chr3 | 4930182 | 0,018963 | R | A | 19 | WAHR |
| Chr3 | 4931335 | 0 | A | G | 6 | FALSCH |
| Chr3 | 4931754 | 0,001759 | Y | C | 12 | WAHR |
| Chr3 | 4932735 | 0,022405 | W | T | 9 | WAHR |
| Chr3 | 4932914 | 0,000232 | W | A | 11 | WAHR |
| Chr3 | 4932927 | 0,00259 | R | G | 11 | WAHR |
| Chr3 | 4934019 | 0,048394 | Y | C | 10 | WAHR |
| Chr3 | 4935694 | 0 | S | G | 32 | WAHR |
| Chr3 | 4936385 | 0,000024 | W | T | 11 | WAHR |
| Chr3 | 4936983 | 0,01165 | W | T | 22 | WAHR |
| Chr3 | 4937361 | 0 | W | T | 21 | WAHR |
| Chr3 | 4939813 | 0 | C | A | 11 | FALSCH |
| Chr3 | 4939842 | 0 | G | C | 8 | FALSCH |
| Chr3 | 4939889 | 0 | T | A | 12 | FALSCH |
| Chr3 | 4939992 | 0,000425 | R | G | 9 | WAHR |
| Chr3 | 4940015 | 0,05288 | Y | C | 6 | WAHR |
| Chr3 | 4940306 | 0,011348 | R | G | 6 | WAHR |
| Chr3 | 4940447 | 0,001512 | M | C | 26 | WAHR |

| | | | | | | |
|------|---------|----------|---|---|----|--------|
| Chr3 | 4940550 | 0 | C | T | 10 | FALSCH |
| Chr3 | 4940915 | 0 | C | G | 7 | FALSCH |
| Chr3 | 4941639 | 0 | A | T | 9 | FALSCH |
| Chr3 | 4942652 | 0,093441 | Y | C | 19 | WAHR |
| Chr3 | 4942932 | 0,013115 | A | G | 19 | FALSCH |
| Chr3 | 4943377 | 0,001356 | W | T | 21 | WAHR |
| Chr3 | 4943387 | 0,026255 | Y | T | 13 | WAHR |
| Chr3 | 4943573 | 0,004724 | Y | T | 10 | WAHR |
| Chr3 | 4943817 | 0,053961 | K | G | 6 | WAHR |
| Chr3 | 4943857 | 0,096837 | Y | C | 9 | WAHR |
| Chr3 | 4944429 | 0,020703 | Y | T | 9 | WAHR |
| Chr3 | 4944621 | 0,907846 | A | T | 18 | FALSCH |
| Chr3 | 4944732 | 0 | M | C | 24 | WAHR |
| Chr3 | 4944817 | 0,677562 | G | A | 5 | FALSCH |
| Chr3 | 4944835 | 0,677562 | A | C | 5 | FALSCH |
| Chr3 | 4944916 | 0,082662 | W | A | 7 | WAHR |
| Chr3 | 4951532 | 0 | K | G | 35 | WAHR |
| Chr3 | 4957499 | 0,000077 | Y | C | 17 | WAHR |
| Chr3 | 4957679 | 0,000024 | M | C | 16 | WAHR |
| Chr3 | 4957699 | 0,012073 | K | T | 7 | WAHR |
| Chr3 | 4957985 | 0,000015 | A | T | 4 | FALSCH |
| Chr3 | 4958396 | 0 | R | A | 23 | WAHR |
| Chr3 | 4958405 | 0 | M | A | 20 | WAHR |
| Chr3 | 4959685 | 0 | S | C | 21 | WAHR |
| Chr3 | 4961402 | 0,007268 | K | G | 10 | WAHR |
| Chr3 | 4963078 | 0,672656 | C | A | 4 | FALSCH |
| Chr3 | 4963187 | 0,613459 | A | C | 6 | FALSCH |
| Chr3 | 4963793 | 0,000195 | M | A | 12 | WAHR |
| Chr3 | 4966851 | 0,003707 | Y | C | 11 | WAHR |
| Chr3 | 4968502 | 0 | A | G | 8 | FALSCH |
| Chr3 | 4973605 | 0,036205 | M | C | 11 | WAHR |
| Chr3 | 4974948 | 0 | R | A | 23 | WAHR |
| Chr3 | 4976914 | 0,030826 | M | A | 8 | WAHR |
| Chr3 | 4977056 | 0,013106 | M | A | 7 | WAHR |
| Chr3 | 4978028 | 0,074319 | R | G | 5 | WAHR |
| Chr3 | 4980393 | 0 | G | C | 5 | FALSCH |
| Chr3 | 4980495 | 0,842801 | G | T | 4 | FALSCH |
| Chr3 | 4980849 | 0 | T | A | 5 | FALSCH |
| Chr3 | 4982119 | 0 | A | G | 6 | FALSCH |
| Chr3 | 4982254 | 0 | T | C | 5 | FALSCH |
| Chr3 | 4987666 | 0,794529 | C | A | 3 | FALSCH |
| Chr3 | 5004923 | 0,083696 | K | T | 18 | WAHR |
| Chr3 | 5005485 | 0,000112 | R | G | 16 | WAHR |

| | | | | | | |
|------|---------|----------|---|---|----|--------|
| Chr3 | 5029861 | 0 | M | C | 13 | WAHR |
| Chr3 | 5070965 | 0,003686 | W | T | 22 | WAHR |
| Chr3 | 5152245 | 0,0784 | R | G | 6 | WAHR |
| Chr3 | 5152264 | 0,003906 | T | C | 3 | FALSCH |
| Chr3 | 5154088 | 0,000015 | A | T | 4 | FALSCH |
| Chr3 | 5154717 | 0 | C | T | 6 | FALSCH |
| Chr3 | 5156322 | 0 | C | T | 6 | FALSCH |
| Chr3 | 5156523 | 0,613459 | G | C | 6 | FALSCH |
| Chr3 | 5168375 | 0 | W | A | 15 | WAHR |
| Chr3 | 5168379 | 0,000261 | K | T | 14 | WAHR |
| Chr3 | 5194520 | 0 | A | G | 17 | FALSCH |
| Chr3 | 5261337 | 0,001215 | M | A | 13 | WAHR |
| Chr3 | 5272057 | 0,097806 | W | A | 4 | WAHR |

Tabelle 21: Transkriptionelle Veränderungen von Genen, die mit dem Lipid Metabolismus assoziiert wurden. Gezeigt sind die transkriptionellen Veränderungen der identifizierten Loci als absolute Expressionsänderung (FC_{abs}) von *cher1-5* und *cher1-4* vs Col-0. Die potentielle Funktion wurde mittels Abgleich der Gene mit dem Kapitel "Acyl-Lipid Metabolism" des „Arabidopsis book“ (Li-Beisson et al., 2013) und der TAIR Annotation ermittelt.

| Locus | Annotation | FC_{abs} vs Col-0 <i>cher1-5</i> <i>cher1-4</i> | | Potentielle Funktion |
|---------------------------------------|--|--|--------|--|
| Hochregulierte Transkripte | | | | |
| AT2G28630 | 3-ketoacyl-CoA synthase 12 | + 13,5 | + 5,8 | synthesis of VLCFA |
| AT4G29900 | Ca ²⁺ -transporting ATPase | + 2,5 | + 2,6 | PD, activated by calmodulin, transport of Ca ²⁺ from cytosol to ER |
| AT5G58570 | hypothetical protein | + 2,6 | + 2,6 | |
| AT3G15650 | phospholipase/carboxyl-esterase family protein | + 3,9 | + 5,5 | |
| AT2G02810 | UDP-galactose transporter 1 | + 2,6 | + 2,5 | plastid glycerolipid synthesis, transport of UDP-galactose and UDP-glucose from cytoplasm into Golgi and ER to ensure quality control of protein folding |
| AT4G34138 | UDP-glucosyl transferase 73B1 | + 2,3 | + 2,1 | plastid glycerolipid synthesis |
| AT2G26480 | UDP-glucosyl transferase 76D1 | + 7,7 | + 8,1 | |
| AT3G17770 | Dihydroxyacetone kinase | + 2,3 | + 2,1 | galactolipid biosynthesis |
| AT2G38180 | GDSL esterase/lipase | + 4,2 | + 3,2 | |
| AT4G15230 | ABC transporter G family member 30 | + 3,8 | + 2,9 | |
| Herunterregulierte Transkripte | | | | |
| AT1G06080 | delta-9 acyl-lipid desaturase 1 | - 50,0 | - 52,4 | homologous to delta 9 acyl-lipid desaturases of cyanobacteria and acyl-CoA desaturases of yeast and mammals, involved in desaturation of VLCFAs to make monounsaturated VLCFAs, ER |
| AT4G34250 | 3-ketoacyl-CoA synthase 16 | - 3,1 | - 2,5 | synthesis of VLCFA → sphingolipid synthesis, cuticular wax biosynthesis |
| AT1G65890 | acyl activating enzyme 12 | - 26,7 | - 10,9 | activates carboxylic acids by forming acyl CoAs |
| AT1G51300 | acyl-protein thioesterase-related protein | - 2,1 | - 2,2 | |
| AT5G16340 | AMP-binding protein 6 | - 2,7 | - 2,2 | activates carboxylic acids by forming acyl CoAs |
| AT1G06100 | delta-9 desaturase-like 2 protein | - 5,5 | - 3,8 | |
| AT5G63770 | diacylglycerol kinase 2 | - 3,2 | - 2,9 | golgi vesicle transport, generation of PA, involved in root elongation and plant development |
| AT5G22500 | fatty acyl-CoA reductase 1 | - 5,4 | - 6,5 | suberin biosynthetic process |

| | | | | |
|-----------|--|--------|--------|---|
| AT3G44560 | fatty acyl-CoA reductase 8 | - 4,6 | - 6,4 | |
| AT2G38110 | glycerol-3-phosphate acyltransferase 6 | - 2,6 | - 2,8 | synthesis of cardiolipin, involved in cutin assembly, phosphatidylglycerol biosynthetic process |
| AT2G38010 | neutral ceramidase | - 2,1 | - 2,0 | hydrolysis of sphingolipid ceramide into sphingosine and free fatty acids, PD |
| AT2G38530 | non-specific lipid-transfer protein 2 | - 5,1 | - 6,2 | transfer of phospholipids over membranes, may play a role in wax or cutin deposition in cell walls of expanding epidermal cells and certain secretory tissues |
| AT5G61610 | oleosin-like protein | - 4,5 | - 3,6 | lipid storage |
| AT4G34650 | squalene synthase 2 | - 2,0 | - 2,1 | sterol biosynthetic process |
| AT3G63200 | PATATIN-like protein 9 | - 5,9 | - 3,7 | lipid metabolic process, regulation of meristem growthPLAIIIB |
| AT3G23840 | HXXXD-type acyl-transferase-like protein | - 2,3 | - 2,0 | wax biosynthesis |
| AT3G26125 | cytochrome P450, family 86, subfamily C, polypeptide 2 | - 5,1 | - 9,1 | cutin biosynthesis |
| AT1G65450 | HXXXD-type acyl-transferase-like protein | - 9,3 | - 7,2 | cutin biosynthesis |
| AT5G41040 | omega-hydroxypalmitate O-feruloyl transferase | - 18,6 | - 20,7 | suberin synthesis |
| AT5G25390 | ethylene-responsive transcription factor SHINE 3 | - 6,0 | - 5,1 | cuticular wax biosynthesis |
| AT5G11190 | ethylene-responsive transcription factor SHINE 2 | - 6,7 | - 5,8 | cuticular wax biosynthesis |
| AT3G28345 | ABC transporter B family member 15 | - 5,6 | - 5,9 | suberin formation |
| AT2G39350 | ABC transporter G family member 1 | - 4,5 | - 5,2 | suberin formation |
| AT2G37280 | ABC transporter G family member 33 | - 2,8 | - 2,6 | suberin formation |
| AT4G22010 | protein SKU5 similar 4 | - 2,2 | - 2,3 | PD, sterol biosynthesis |
| AT1G78500 | pentacyclic triterpene synthase 6 | - 3,5 | - 3,0 | sterol biosynthesis |
| AT2G45400 | dihydroflavonol 4-reductase-like protein | - 2,7 | - 2,6 | sterol synthesis, regulation of BR levels, inactivation of BR |
| AT2G47780 | Rubber elongation factor protein (REF) | - 3,6 | - 4,6 | fatty acid catabolic process |
| AT1G62290 | phytepsin | - 3,4 | - 2,7 | lipid metabolic process |
| AT5G38020 | S-adenosyl-L-methionine-dependent methyltransferase-like protein | - 2,7 | - 2,1 | fatty acid synthesis, xylem development |
| AT1G24735 | caffeoyl-CoA O-methyltransferase | - 2,4 | - 2,4 | |
| AT3G22620 | bifunctional inhibitor/lipid-transfer protein/seed storage 2S albumin-like protein | - 8,7 | - 7,4 | |
| AT3G53980 | bifunctional inhibitor/lipid-transfer protein/seed storage 2S albumin-like protein | - 6,6 | - 10,9 | |
| AT4G33550 | bifunctional inhibitor/lipid-transfer protein/seed storage 2S albumin-like protein | - 3,0 | - 3,4 | |
| AT3G14210 | epithiospecifier modifier 1 | - 2,3 | - 2,2 | |
| AT1G58725 | GDSL esterase/lipase | - 8,1 | - 5,0 | |
| AT2G04570 | GDSL esterase/lipase | - 5,0 | - 4,6 | |
| AT1G54790 | GDSL esterase/lipase | - 4,5 | - 4,5 | |
| AT3G50400 | GDSL esterase/lipase | - 4,0 | - 4,7 | |
| AT5G45950 | GDSL esterase/lipase | - 4,0 | - 3,3 | |
| AT1G54020 | GDSL esterase/lipase | - 3,2 | - 2,8 | |
| AT2G24560 | GDSL esterase/lipase | - 2,6 | - 2,6 | |
| AT1G53920 | GDSL esterase/lipase 5 | - 2,0 | - 2,2 | |
| AT3G59710 | Rossmann-fold NAD(P)-binding domain-containing protein | - 3,9 | - 2,6 | |
| | | | | |

| Transkriptionelle Änderungen potentiell <i>lipid raft</i> -assoziierter Proteine | | | | |
|--|----------------------------------|-------|-------|--|
| AT4G22010 | protein SKU5 similar 4 | - 2,2 | - 2,3 | |
| AT5G60660 | putative aquaporin PIP2-4 | - 4,0 | - 5,9 | |
| AT5G15630 | COBRA-like protein 4 | - 2,2 | - 2,8 | |
| AT1G13920 | Remorin family protein | - 2,1 | - 2,3 | |
| AT3G57540 | Remorin family protein | - 2,3 | - 2,2 | |
| AT1G70940 | auxin efflux carrier component 3 | - 2,1 | - 2,0 | |

Tabelle 22: Stoffspezifische MS-Parameter für Cholin- und Phospholipidmessungen; Cholin (Cho oder C), Acetylcholin (ACho), Phosphatidyl- (P), Ethanolamin (E), Lyso- (L), Serin (S), Inositol (I), Phosphatidsäure (PA); Phospholipide sind durch die Summe der Kohlenstoffatome und die Anzahl der Doppelbindungen klassifiziert. *Precursor ions* (Q1 Masse), *fragment ions* (Q3 Masse). Potentiale in Volt für *declustering* (DP), *entrance* (EP), *collision cell entrance* (CEP), *collision energy* (CE), *collision cell exit* (CXP)

| Stoff | Q1 Masse | Q3 Masse | Zeit ms | DP (Volt) | EP (Volt) | CEP (Volt) | CE (Volt) | CXP (Volt) |
|----------|-------------|-------------|------------|--------------|--------------|---------------|--------------|---------------|
| Cho | 104.000 | 60.000 | 50.0 | 26.000 | 9.500 | 13.000 | 23.000 | 2.500 |
| ACho | 146.000 | 87.000 | 50.0 | 24.000 | 7.000 | 10.000 | 20.000 | 2.500 |
| PE 34:1 | 718.700 | 239.400 | 50.0 | 60.000 | 8.500 | 34.000 | 43.000 | 3.000 |
| PE 36:2 | 744.700 | 263.500 | 50.0 | 58.000 | 9.500 | 35.000 | 45.000 | 3.500 |
| PE 38:4 | 768.600 | 341.400 | 50.0 | 65.000 | 6.500 | 39.000 | 43.000 | 4.500 |
| PC 34:2 | 759.000 | 184.000 | 50.0 | 82.000 | 4.500 | 45.000 | 45.000 | 2.000 |
| PC 36:1 | 761.000 | 184.000 | 50.0 | 82.000 | 8.500 | 40.000 | 45.000 | 2.000 |
| PC 36:2 | 787.000 | 184.000 | 50.0 | 82.000 | 4.500 | 35.000 | 45.000 | 2.000 |
| LPE 18:0 | 482.400 | 341.400 | 50.0 | 46.000 | 4.500 | 26.000 | 29.000 | 4.000 |
| LPE 16:0 | 454.300 | 313.400 | 50.0 | 47.000 | 4.500 | 21.000 | 27.000 | 4.000 |
| LPC 18:3 | 518.500 | 184.200 | 50.0 | 61.000 | 6.000 | 26.000 | 33.000 | 4.000 |
| LPC 19:3 | 522.300 | 184.200 | 50.0 | 66.000 | 7.000 | 30.000 | 37.000 | 4.000 |
| PS 36:5 | 812.700 | 208.200 | 50.0 | 116.000 | 7.000 | 38.000 | 43.000 | 4.000 |
| PS 38:4 | 697.800 | 121.100 | 50.0 | 71.000 | 5.500 | 34.000 | 47.000 | 4.000 |
| PA 38:5 | 725.800 | 121.100 | 50.0 | 81.000 | 9.000 | 38.000 | 53.000 | 4.000 |
| PI 36:6 | 857.700 | 575.600 | 50.0 | 61.000 | 11.000 | 40.000 | 39.000 | 6.000 |
| PI 34:2 | 835.400 | 575.600 | 50.0 | 16.000 | 6.000 | 44.000 | 45.000 | 6.000 |

Tabelle 23: Differentiell regulierte Gene zwischen *cher1-4*, *cher1-5* und Kontrollpflanzen Col-0. Die Identifizierung differentiell regulierter Gene zwischen *cher1-4*, *cher1-5* und Kontrollpflanzen mit einer absoluten Expressionsänderung ≥ 2.0 und $P \leq 0.05$ (FC_{abs}) erfolgte unter Verwendung des T-test unpaired und der Benjamini-Hochberg multiplen Testkorrektur. Gene, die für den charakteristischen Phänotyp verantwortlich sind, müssen sowohl in *cher1-4* als auch in *cher1-5* differentiell exprimiert sein. Zu diesem Zweck wurde ein Venn Diagramm der 1540 deregulierten Features für *cher1-5* und der 1317 deregulierten Features für *cher1-4* durch das Agilent GENESPRING XII Programm erstellt. Es konnten 960 Features detektiert werden, die in beiden Mutanten im Vergleich zu Col-0 differentiell exprimiert waren. Von diesen waren 240 Features hochreguliert und 720 herunterreguliert.

| Probenname | FC _{abs} vs Col-0 | | Gensymbol | | Genname |
|-----------------------------------|----------------------------|----------------|-----------|-----------|--|
| | <i>cher1-5</i> | <i>cher1-4</i> | | | |
| Hochregulierte Transkripte | | | | | |
| A_84_P14137 | 169,74 | 80,56 | SAG29 | AT5G13170 | senescence-associated protein 29 |
| A_84_P791978 | 39,83 | 48,64 | AT1G13607 | AT1G13607 | defensin-like protein 286 |
| A_84_P81249 | 40,04 | 40,24 | AT2G44240 | AT2G44240 | hypothetical protein |
| A_84_P12972 | 24,85 | 25,74 | AT4G36700 | AT4G36700 | cupin family protein |
| A_84_P115562 | 13,08 | 20,93 | AT1G73325 | AT1G73325 | Kunitz family trypsin and protease inhibitor protein |
| A_84_P549811 | 23,38 | 20,54 | AT1G47395 | AT1G47395 | hypothetical protein |
| A_84_P788757 | 20,99 | 20,14 | AT1G12030 | AT1G12030 | hypothetical protein |
| A_84_P524292 | 15,45 | 19,71 | CSLB03 | AT2G32530 | cellulose synthase-like protein B3 |
| A_84_P15382 | 17,71 | 17,14 | CYP71A13 | AT2G30770 | cytochrome P450, family 71, subfamily A, polypeptide 13 |
| A_84_P19508 | 20,46 | 17,02 | AT4G23680 | AT4G23680 | SRPBCC ligand-binding domain-containing protein |
| A_84_P21264 | 12,52 | 16,21 | BT2 | AT3G48360 | BTB and TAZ domain protein 2 |
| A_84_P752326 | 17,92 | 15,40 | AT1G62420 | AT1G62420 | hypothetical protein |
| A_84_P127561 | 18,02 | 15,26 | AT4G15680 | AT4G15680 | monothiol glutaredoxin-S4 |
| A_84_P789523 | 10,57 | 15,06 | AT4 | AT5G03545 | hypothetical protein |
| A_84_P543604 | 11,98 | 12,96 | AT1G47400 | AT1G47400 | hypothetical protein |
| A_84_P558934 | 19,85 | 12,89 | AT3G12910 | AT3G12910 | no apical meristem domain-containing transcriptional regulator |
| A_84_P18626 | 16,74 | 12,40 | ASE3 | AT4G38880 | amidophosphoribosyltransferase |
| A_84_P295824 | 14,99 | 11,76 | BHLH038 | AT3G56970 | transcription factor ORG2 |
| A_84_P57900 | 13,15 | 10,27 | BHLH039 | AT3G56980 | transcription factor ORG3 |
| A_84_P53340 | 8,80 | 8,82 | AT4G15670 | AT4G15670 | monothiol glutaredoxin-S7 |
| A_84_P76184 | 8,72 | 8,37 | WRKY30 | AT5G24110 | WRKY DNA-binding protein 30 |
| A_84_P564098 | 9,50 | 8,08 | AT2G14247 | AT2G14247 | hypothetical protein |
| A_84_P10647 | 7,69 | 8,07 | UGT76D1 | AT2G26480 | UDP-glucosyl transferase 76D1 |
| A_84_P764611 | 9,68 | 8,00 | AT4G08867 | AT4G08867 | hypothetical protein |
| A_84_P178774 | 9,03 | 7,30 | BHLH100 | AT2G41240 | transcription factor bHLH100 |
| A_84_P766473 | 6,35 | 7,14 | AT5G25260 | AT5G25260 | Flotillin-like protein 2 |
| A_84_P21818 | 6,12 | 7,08 | AT1G65240 | AT1G65240 | aspartic proteinase-like protein 2 |
| A_84_P15840 | 5,82 | 6,73 | AGO3 | AT1G31290 | protein ARGONAUTE 3 |
| A_84_P12970 | 8,22 | 6,66 | AT4G17660 | AT4G17660 | protein kinase family protein |
| A_84_P10496 | 9,28 | 6,65 | UGT85A1 | AT1G22400 | cytokinin-O-glucosyltransferase 2 |
| A_84_P52140 | 6,02 | 6,62 | AT1G24580 | AT1G24580 | RING/U-box domain-containing protein |
| A_84_P582920 | 5,91 | 6,51 | BAP2 | AT2G45760 | BON1-associated protein 2 |

| | | | | | |
|--------------|-------|------|-----------|-----------|--|
| A_84_P264050 | 4,95 | 6,20 | AT1G08310 | AT1G08310 | esterase/lipase/thioesterase-like protein |
| A_84_P558829 | 7,22 | 6,17 | SAG13 | AT2G29350 | senescence-associated protein 13 |
| A_84_P19294 | 7,84 | 5,99 | AT1G26380 | AT1G26380 | FAD-binding and BBE domain-containing protein |
| A_84_P811412 | 7,89 | 5,88 | DIN10 | AT5G20250 | putative galactinol--sucrose galactosyltransferase 6 |
| A_84_P19135 | 13,46 | 5,83 | KCS12 | AT2G28630 | 3-ketoacyl-CoA synthase 12 |
| A_84_P16226 | 7,08 | 5,75 | AT1G14540 | AT1G14540 | peroxidase 4 |
| A_84_P11098 | 5,25 | 5,63 | CAT6 | AT5G04770 | cationic amino acid transporter 6 |
| A_84_P16041 | 5,88 | 5,60 | BHLH101 | AT5G04150 | transcription factor bHLH101 |
| A_84_P752940 | 6,25 | 5,60 | AT1G13608 | AT1G13608 | putative defensin-like protein 288 |
| A_84_P10781 | 3,92 | 5,53 | AT3G15650 | AT3G15650 | phospholipase/carboxylesterase family protein |
| A_84_P11438 | 4,58 | 5,52 | SULTR1;2 | AT1G78000 | sulfate transporter 1.2 |
| A_84_P850060 | 6,70 | 5,50 | AT1G74770 | AT1G74770 | zinc ion binding protein |
| A_84_P10141 | 6,82 | 5,47 | LECRKA4.2 | AT5G01550 | Lectin-domain containing receptor kinase A4.2 |
| A_84_P596462 | 6,54 | 5,44 | AT3G60700 | AT3G60700 | hypothetical protein |
| A_84_P12547 | 7,91 | 5,31 | CYP71A12 | AT2G30750 | cytochrome P450 71A12 |
| A_84_P20166 | 7,19 | 5,22 | MLO12 | AT2G39200 | MLO-like protein 12 |
| A_84_P22521 | 4,87 | 5,16 | AT5G38780 | AT5G38780 | putative S-adenosylmethionine-dependent methyltransferase |
| A_84_P192434 | 7,79 | 5,09 | AT4G36850 | AT4G36850 | PQ-loop repeat family protein / transmembrane family protein |
| A_84_P511862 | 5,41 | 5,08 | AT2G32550 | AT2G32550 | Cell differentiation, Rcd1-like protein |
| A_84_P12638 | 5,76 | 4,98 | PYD4 | AT3G08860 | PYRIMIDINE 4 |
| A_84_P511702 | 4,42 | 4,88 | AT1G53625 | AT1G53625 | hypothetical protein |
| A_84_P528334 | 4,24 | 4,82 | AT5G50915 | AT5G50915 | transcription factor bHLH137 |
| A_84_P278800 | 5,32 | 4,77 | AT4G15700 | AT4G15700 | monothiol glutaredoxin-S3 |
| A_84_P526212 | 3,60 | 4,76 | AT3G46880 | AT3G46880 | hypothetical protein |
| A_84_P12783 | 4,37 | 4,74 | SMZ | AT3G54990 | AP2-like ethylene-responsive transcription factor SMZ |
| A_84_P14186 | 4,51 | 4,70 | AT1G05000 | AT1G05000 | putative tyrosine-protein phosphatase |
| A_84_P772807 | 3,46 | 4,59 | AT1G68240 | AT1G68240 | transcription factor bHLH109 |
| A_84_P717232 | 3,28 | 4,54 | | AT1G19968 | |
| A_84_P12212 | 4,02 | 4,51 | AT1G56060 | AT1G56060 | hypothetical protein |
| A_84_P19250 | 6,06 | 4,50 | AT3G05400 | AT3G05400 | sugar transporter ERD6-like 12 |
| A_84_P78199 | 5,09 | 4,44 | AT5G25240 | AT5G25240 | hypothetical protein |
| A_84_P543246 | 3,70 | 4,41 | AT4G37295 | AT4G37295 | hypothetical protein |
| A_84_P13086 | 6,24 | 4,35 | AT5G44910 | AT5G44910 | Toll-Interleukin-Resistance domain-containing protein |
| A_84_P822379 | 4,05 | 4,31 | AT3G28270 | AT3G28270 | hypothetical protein |
| A_84_P718920 | 4,88 | 4,28 | | AT5G05250 | |
| A_84_P248365 | 3,48 | 4,24 | AT4G37240 | AT4G37240 | hypothetical protein |
| A_84_P178304 | 4,44 | 4,19 | AT4G15690 | AT4G15690 | monothiol glutaredoxin-S5 |
| A_84_P752873 | 4,30 | 4,12 | AT1G13609 | AT1G13609 | defensin-like protein 287 |
| A_84_P717671 | 4,21 | 4,09 | RTFL6 | AT4G35783 | protein rotundifolia like 6 |
| A_84_P69204 | 5,35 | 4,05 | AT1G21110 | AT1G21110 | O-methyltransferase family protein |
| A_84_P87419 | 4,08 | 4,01 | AT3G25290 | AT3G25290 | putative auxin-responsive protein |
| A_84_P23485 | 4,93 | 3,99 | YUC5 | AT5G43890 | YUCCA family monooxygenase |

| | | | | | |
|--------------|------|------|-----------|-----------|---|
| A_84_P769385 | 4,32 | 3,94 | | AT5G01732 | |
| A_84_P21742 | 4,24 | 3,87 | AT1G18990 | AT1G18990 | hypothetical protein |
| A_84_P148418 | 3,72 | 3,84 | MT1C | AT1G07610 | metallothionein 1C |
| A_84_P10518 | 5,32 | 3,80 | AT1G50040 | AT1G50040 | hypothetical protein |
| A_84_P12873 | 5,94 | 3,79 | AT4G19810 | AT4G19810 | Glycosyl hydrolase family protein with chitinase insertion domain |
| A_84_P15248 | 2,93 | 3,74 | NIA1 | AT1G77760 | nitrate reductase [NADH] |
| A_84_P21337 | 3,79 | 3,72 | NGA4 | AT4G01500 | AP2/B3-like transcriptional factor family protein |
| A_84_P20040 | 4,19 | 3,60 | AT1G62370 | AT1G62370 | RING/U-box domain-containing protein |
| A_84_P12595 | 2,96 | 3,60 | CSLB01 | AT2G32610 | cellulose synthase-like protein B1 |
| A_84_P18829 | 4,20 | 3,59 | ARR6 | AT5G62920 | two-component response regulator ARR6 |
| A_84_P11119 | 4,07 | 3,54 | KUF1 | AT1G31350 | F-box/kelch-repeat protein SKIP25 |
| A_84_P64734 | 3,44 | 3,52 | ALC | AT5G67110 | transcription factor ALC |
| A_84_P22650 | 3,32 | 3,52 | AT5G20740 | AT5G20740 | plant invertase/pectin methylesterase inhibitor domain-containing protein |
| A_84_P22812 | 5,04 | 3,51 | ARR15 | AT1G74890 | two-component response regulator ARR15 |
| A_84_P243495 | 3,86 | 3,47 | AT4G15660 | AT4G15660 | monothiol glutaredoxin-S8 |
| A_84_P162443 | 3,32 | 3,42 | AT5G64510 | AT5G64510 | hypothetical protein |
| A_84_P19391 | 5,34 | 3,40 | PAP22 | AT3G52820 | purple acid phosphatase 22 |
| A_84_P17313 | 6,27 | 3,35 | AT2G37770 | AT2G37770 | NAD(P)-linked oxidoreductase-like protein |
| A_84_P817892 | 4,48 | 3,35 | PYL5 | AT5G05440 | abscisic acid receptor PYL5 |
| A_84_P546454 | 3,85 | 3,32 | AT2G31730 | AT2G31730 | basic helix-loop-helix domain-containing protein |
| A_84_P528136 | 4,39 | 3,30 | CRK11 | AT4G23190 | cysteine-rich receptor-like protein kinase 11 |
| A_84_P15370 | 2,89 | 3,29 | PDIL2-2 | AT1G04980 | protein disulfide-isomerase A6 |
| A_84_P23899 | 2,71 | 3,27 | AT2G29500 | AT2G29500 | HSP20 family protein |
| A_84_P23845 | 3,43 | 3,26 | UGT74F1 | AT2G43840 | UDP-glycosyltransferase 74 F1 |
| A_84_P78019 | 3,08 | 3,24 | AT1G72430 | AT1G72430 | SAUR-like auxin-responsive protein family |
| A_84_P257330 | 4,19 | 3,24 | AT2G38180 | AT2G38180 | GDSL esterase/lipase |
| A_84_P573956 | 3,24 | 3,21 | AT2G30760 | AT2G30760 | hypothetical protein |
| A_84_P836351 | 2,40 | 3,16 | AT3G19230 | AT3G19230 | leucine-rich repeat-containing protein |
| A_84_P560220 | 3,24 | 3,14 | AT5G46220 | AT5G46220 | hypothetical protein |
| A_84_P12528 | 4,48 | 3,09 | PP2C5 | AT2G40180 | putative protein phosphatase 2C 30 |
| A_84_P19923 | 4,07 | 3,09 | UGT74E2 | AT1G05680 | Uridine diphosphate glycosyltransferase 74E2 |
| A_84_P837979 | 3,16 | 3,00 | ASL9 | AT1G16530 | LOB domain-containing protein 3 |
| A_84_P799394 | 2,57 | 2,99 | AT3G19680 | AT3G19680 | hypothetical protein |
| A_84_P226889 | 3,76 | 2,98 | AT4G20000 | AT4G20000 | VQ motif-containing protein |
| A_84_P10290 | 3,40 | 2,97 | OPT1 | AT5G55930 | oligopeptide transporter 1 |
| A_84_P12493 | 2,84 | 2,96 | AT2G30540 | AT2G30540 | monothiol glutaredoxin-S9 |
| A_84_P724260 | 2,67 | 2,95 | | AT3G52748 | |
| A_84_P20248 | 2,71 | 2,93 | AT3G23230 | AT3G23230 | ethylene-responsive transcription factor ERF098 |
| A_84_P765637 | 3,28 | 2,93 | | AT4G31248 | |
| A_84_P20482 | 2,81 | 2,93 | CKX4 | AT4G29740 | cytokinin dehydrogenase 4 |
| A_84_P834504 | 3,75 | 2,92 | PDR2 | AT4G15230 | ABC transporter G family member 30 |
| A_84_P287800 | 3,31 | 2,90 | AT2G44130 | AT2G44130 | F-box/kelch-repeat protein |

| | | | | | |
|--------------|------|------|-----------|-----------|--|
| A_84_P17955 | 3,77 | 2,84 | UGT85A3 | AT1G22380 | UDP-glucosyl transferase 85A3 |
| A_84_P845699 | 3,14 | 2,83 | PMT5 | AT3G18830 | Polyol transporter 5 |
| A_84_P20423 | 2,62 | 2,79 | AT4G12090 | AT4G12090 | Cornichon family protein |
| A_84_P533868 | 4,46 | 2,78 | AT1G49000 | AT1G49000 | hypothetical protein |
| A_84_P759928 | 2,84 | 2,76 | AT3G26910 | AT3G26910 | hydroxyproline-rich glycoprotein family protein |
| A_84_P13130 | 3,29 | 2,76 | CYP81F2 | AT5G57220 | cytochrome P450, family 81, subfamily F, polypeptide 2 |
| A_84_P12371 | 3,00 | 2,75 | AT1G16510 | AT1G16510 | SAUR-like auxin-responsive protein |
| A_84_P262890 | 2,69 | 2,71 | AT4G17215 | AT4G17215 | Pollen Ole e 1 allergen and extensin family protein |
| A_84_P18718 | 3,26 | 2,70 | GATA12 | AT5G25830 | GATA transcription factor 12 |
| A_84_P17365 | 2,80 | 2,70 | ATERDJ3A | AT3G08970 | DnaJ domain-containing protein |
| A_84_P10660 | 3,68 | 2,69 | GSTU1 | AT2G29490 | glutathione S-transferase |
| A_84_P67674 | 2,97 | 2,68 | EXL5 | AT2G17230 | protein exordium like 5 |
| A_84_P757131 | 2,90 | 2,66 | AT2G01913 | AT2G01913 | hypothetical protein |
| A_84_P12219 | 2,41 | 2,62 | BST1 | AT5G65090 | inositol-1,4,5 triphosphate 5-phosphatase-like protein |
| A_84_P11516 | 2,01 | 2,62 | AT1G20380 | AT1G20380 | prolyl oligopeptidase-like protein |
| A_84_P532349 | 2,52 | 2,61 | EXO70H4 | AT3G09520 | exocyst complex component 7 |
| A_84_P133525 | 3,18 | 2,60 | PSK4 | AT3G49780 | phytosulfokine-beta |
| A_84_P12497 | 2,91 | 2,60 | UGT74F2 | AT2G43820 | UDP-glucosyltransferase 74F2 |
| A_84_P206718 | 2,95 | 2,57 | AT2G34510 | AT2G34510 | hypothetical protein |
| A_84_P703970 | 2,46 | 2,56 | ACA10 | AT4G29900 | Ca ²⁺ -transporting ATPase |
| A_84_P248115 | 2,65 | 2,55 | AT5G58570 | AT5G58570 | hypothetical protein |
| A_84_P135345 | 2,63 | 2,54 | UTR1 | AT2G02810 | UDP-galactose transporter 1 |
| A_84_P23380 | 2,48 | 2,54 | LECRKA4.1 | AT5G01540 | Lectin-domain containing receptor kinase A4.1 |
| A_84_P228659 | 3,15 | 2,53 | AT2G32190 | AT2G32190 | hypothetical protein |
| A_84_P10002 | 2,40 | 2,53 | MSRB4 | AT4G04810 | peptide methionine sulfoxide reductase B4 |
| A_84_P544827 | 2,27 | 2,51 | AOC1 | AT3G25760 | allene oxide cyclase 1 |
| A_84_P823929 | 2,45 | 2,50 | AT1G03850 | AT1G03850 | monothiol glutaredoxin-S13 |
| A_84_P13726 | 3,02 | 2,49 | EP3 | AT3G54420 | chitinase |
| A_84_P21889 | 2,88 | 2,47 | AT1G74360 | AT1G74360 | putative LRR receptor-like serine/threonine-protein kinase |
| A_84_P565450 | 2,49 | 2,41 | AT5G16980 | AT5G16980 | 2-alkenal reductase |
| A_84_P525395 | 2,28 | 2,41 | PIT1 | AT4G02075 | protein pitchoun 1 |
| A_84_P11955 | 2,21 | 2,41 | CGA1 | AT4G26150 | putative GATA transcription factor 22 |
| A_84_P577990 | 2,45 | 2,37 | AT5G44570 | AT5G44570 | hypothetical protein |
| A_84_P15324 | 2,36 | 2,37 | ADR1 | AT1G33560 | disease resistance protein ADR1 |
| A_84_P19052 | 2,40 | 2,36 | TAA1 | AT1G70560 | tryptophan aminotransferase |
| A_84_P597566 | 2,42 | 2,36 | SLAH3 | AT5G24030 | SLAC1 homologue 3 |
| A_84_P69324 | 2,59 | 2,35 | AT3G05320 | AT3G05320 | O-fucosyltransferase family protein |
| A_84_P797883 | 2,54 | 2,35 | BTS | AT3G18290 | zinc finger protein-like protein |
| A_84_P14649 | 2,59 | 2,35 | MYB84 | AT3G49690 | transcription factor RAX3 |
| A_84_P57010 | 2,48 | 2,34 | LBD39 | AT4G37540 | LOB domain-containing protein 39 |
| A_84_P79989 | 2,30 | 2,33 | AT4G29520 | AT4G29520 | hypothetical protein |
| A_84_P18414 | 2,28 | 2,32 | AT1G02610 | AT1G02610 | RING/FYVE/PHD zinc finger-containing protein |

| | | | | | |
|--------------|------|------|--------------|-----------|---|
| A_84_P17049 | 2,45 | 2,30 | FRO3 | AT1G23020 | ferric reduction oxidase 3 |
| A_84_P861110 | 2,61 | 2,30 | AT4G19420 | AT4G19420 | putative Pectinacetyltransferase |
| A_84_P21943 | 2,73 | 2,30 | XTH30 | AT1G32170 | xyloglucan:xyloglucosyl transferase |
| A_84_P15168 | 2,26 | 2,29 | ZIP5 | AT1G05300 | zinc transporter 5 |
| A_84_P767978 | 2,43 | 2,29 | AT5G25280 | AT5G25280 | serine-rich protein-like protein |
| A_84_P565021 | 2,31 | 2,29 | CIPK3 | AT2G26980 | CBL-interacting serine/threonine-protein kinase 3 |
| A_84_P21530 | 2,51 | 2,27 | AT5G14120 | AT5G14120 | major facilitator protein |
| A_84_P18188 | 2,11 | 2,27 | RBOH F | AT1G64060 | respiratory burst oxidase |
| A_84_P20503 | 2,34 | 2,27 | AT4G34760 | AT4G34760 | SAUR-like auxin-responsive protein 9 |
| A_84_P11195 | 2,31 | 2,26 | AT5G44680 | AT5G44680 | DNA-3-methyladenine glycosylase I |
| A_84_P17680 | 2,37 | 2,24 | AT4G38860 | AT4G38860 | SAUR-like auxin-responsive protein |
| A_84_P552996 | 2,20 | 2,24 | ROPGEF7 | AT5G02010 | RHO guanyl-nucleotide exchange factor 7 |
| A_84_P19687 | 2,35 | 2,23 | PRE1 | AT5G39860 | basic helix-loop-helix (bHLH) DNA-binding family protein |
| A_84_P65264 | 3,14 | 2,23 | AT3G15356 | AT3G15356 | lectin-like protein |
| A_84_P16644 | 3,02 | 2,23 | YUC2 | AT4G13260 | Flavin-binding monooxygenase family protein |
| A_84_P92099 | 2,26 | 2,21 | AT2G32880 | AT2G32880 | TRAF-like family protein |
| A_84_P12120 | 2,63 | 2,21 | AT5G39050 | AT5G39050 | HXXXD-type acyl-transferase-like protein |
| A_84_P150878 | 2,52 | 2,19 | AT1G69760 | AT1G69760 | hypothetical protein |
| A_84_P22745 | 2,89 | 2,17 | AT1G03220 | AT1G03220 | aspartyl protease-like protein |
| A_84_P157735 | 2,84 | 2,17 | AT3G51400 | AT3G51400 | hypothetical protein |
| A_84_P21359 | 2,13 | 2,17 | AT4G09530 | AT4G09530 | SAUR-like auxin-responsive protein |
| A_84_P16882 | 2,20 | 2,16 | AT5G48540 | AT5G48540 | cysteine-rich repeat secretory protein 55 |
| A_84_P768857 | 2,44 | 2,16 | AT5G44572 | AT5G44572 | hypothetical protein |
| A_84_P14916 | 2,14 | 2,16 | AT5G17980 | AT5G17980 | C2 calcium/lipid-binding and phosphoribosyltransferase C-terminal domain-containing protein |
| A_84_P11710 | 2,02 | 2,16 | AT1G53080 | AT1G53080 | legume lectin-like protein |
| A_84_P16214 | 2,20 | 2,13 | AT1G70800 | AT1G70800 | Calcium-dependent lipid-binding domain-containing protein |
| A_84_P85619 | 2,28 | 2,11 | PP2-A11 | AT1G63090 | F-box protein PP2-A11 |
| A_84_P18782 | 2,86 | 2,10 | AT1G64380 | AT1G64380 | ethylene-responsive transcription factor ERF061 |
| A_84_P196204 | 2,35 | 2,09 | AT3G26040 | AT3G26040 | HXXXD-type acyl-transferase-like protein |
| A_84_P21409 | 2,22 | 2,09 | BETA-OHASE 1 | AT4G25700 | beta-carotene hydroxylase |
| A_84_P11412 | 2,30 | 2,08 | ARR4 | AT1G10470 | two-component response regulator ARR4 |
| A_84_P203438 | 2,30 | 2,08 | UGT73B1 | AT4G34138 | UDP-glucosyl transferase 73B1 |
| A_84_P255030 | 2,03 | 2,07 | AT4G13340 | AT4G13340 | leucine-rich repeat extensin-like protein 3 |
| A_84_P236643 | 2,17 | 2,07 | ILL6 | AT1G44350 | IAA-amino acid hydrolase ILR1-like 6 |
| A_84_P811064 | 2,29 | 2,07 | AT3G17770 | AT3G17770 | Dihydroxyacetone kinase |
| A_84_P12896 | 2,56 | 2,06 | SHB1 | AT4G25350 | phosphate transporter PHO1-4 |
| A_84_P12186 | 2,51 | 2,06 | AT5G57480 | AT5G57480 | AAA-type ATPase family protein |
| A_84_P15371 | 2,11 | 2,05 | MYB70 | AT2G23290 | myb domain protein 70 |
| A_84_P753286 | 2,18 | 2,03 | | AT1G31173 | |
| A_84_P192974 | 2,22 | 2,02 | AT5G65660 | AT5G65660 | hydroxyproline-rich glycoprotein family protein |
| A_84_P21308 | 2,03 | 2,02 | AT1G21550 | AT1G21550 | putative calcium-binding protein CML44 |
| A_84_P592665 | 2,49 | 2,01 | GDU4 | AT2G24762 | glutamine dumper 4 |

| Herunterregulierte Transkripte | | | | | |
|--------------------------------|-------|-------|-----------|-----------|--|
| A_84_P20976 | 59,94 | 24,88 | AT1G19210 | AT1G19210 | ethylene-responsive transcription factor ERF017 |
| A_84_P20410 | 49,99 | 52,40 | ADS1 | AT1G06080 | delta-9 acyl-lipid desaturase 1 |
| A_84_P11046 | 31,53 | 14,66 | RRTF1 | AT4G34410 | ethylene-responsive transcription factor ERF109 |
| A_84_P53570 | 30,48 | 33,12 | AT2G41810 | AT2G41810 | hypothetical protein |
| A_84_P14893 | 26,87 | 26,91 | AT5G09530 | AT5G09530 | hydroxyproline-rich glycoprotein family protein |
| A_84_P10495 | 26,68 | 10,89 | AAE12 | AT1G65890 | acyl activating enzyme 12 |
| A_84_P573393 | 22,65 | 10,79 | AT4G27654 | AT4G27654 | hypothetical protein |
| A_84_P23476 | 18,57 | 20,72 | AT5G41040 | AT5G41040 | omega-hydroxypalmitate O-feruloyl transferase |
| A_84_P19028 | 17,45 | 7,03 | ORA47 | AT1G74930 | ethylene-responsive transcription factor ERF018 |
| A_84_P15293 | 16,13 | 16,97 | CYP78A5 | AT1G13710 | cytochrome P450, family 78, subfamily A, polypeptide 5 |
| A_84_P846960 | 14,61 | 10,47 | | AT4G33610 | |
| A_84_P18908 | 14,45 | 5,15 | AT1G33760 | AT1G33760 | ethylene-responsive transcription factor ERF022 |
| A_84_P155385 | 14,21 | 13,76 | AT4G17280 | AT4G17280 | putative auxin-responsive protein |
| A_84_P17343 | 13,94 | 7,63 | ERF13 | AT2G44840 | ethylene-responsive transcription factor 13 |
| A_84_P751526 | 12,35 | 7,46 | AT1G72920 | AT1G72920 | Toll-Interleukin-Resistance domain-containing protein |
| A_84_P869736 | 11,88 | 15,72 | AGL42 | AT5G62165 | protein agamous-like 42 |
| A_84_P235233 | 11,36 | 9,96 | AT4G36610 | AT4G36610 | hydrolase, alpha/beta fold family protein |
| A_84_P97916 | 11,20 | 7,30 | AT4G29780 | AT4G29780 | hypothetical protein |
| A_84_P296724 | 10,59 | 5,32 | AT5G51190 | AT5G51190 | ethylene-responsive transcription factor ERF105 |
| A_84_P14874 | 10,39 | 9,39 | AT1G62770 | AT1G62770 | plant invertase/pectin methylesterase inhibitor domain-containing protein |
| A_84_P15931 | 10,29 | 5,18 | ERF5 | AT5G47230 | ethylene-responsive transcription factor 5 |
| A_84_P15454 | 9,84 | 18,78 | LAC2 | AT2G29130 | laccase 2 |
| A_84_P851538 | 9,59 | 8,25 | THI2.1 | AT1G72260 | thionin 2.1 |
| A_84_P218238 | 9,35 | 7,20 | AT1G65450 | AT1G65450 | HXXXD-type acyl-transferase-like protein |
| A_84_P233429 | 9,15 | 6,25 | AT1G58390 | AT1G58390 | CC-NBS-LRR class disease resistance protein |
| A_84_P13948 | 9,02 | 4,79 | AT5G09520 | AT5G09520 | hydroxyproline-rich glycoprotein family protein |
| A_84_P107712 | 8,81 | 8,75 | AT2G21100 | AT2G21100 | disease resistance-responsive, dirigent domain-containing protein |
| A_84_P566753 | 8,78 | 7,11 | RGF8 | AT2G03830 | hypothetical protein |
| A_84_P50790 | 8,73 | 7,42 | AT3G22620 | AT3G22620 | bifunctional inhibitor/lipid-transfer protein/seed storage 2S albumin-like protein |
| A_84_P137009 | 8,38 | 8,07 | PDF1.2 | AT5G44420 | defensin-like protein 16 |
| A_84_P11481 | 8,27 | 6,63 | AT1G68850 | AT1G68850 | peroxidase 11 |
| A_84_P771113 | 8,14 | 4,99 | AT1G59406 | AT1G58725 | GDSL esterase/lipase |
| A_84_P801431 | 8,13 | 4,84 | AT1G68250 | AT1G68250 | hypothetical protein |
| A_84_P607864 | 7,96 | 5,68 | GASA5 | AT3G02885 | GAST1 protein homolog 5 |
| A_84_P310613 | 7,92 | 7,91 | PDF1.2b | AT2G26020 | putative defensin-like protein 15 |
| A_84_P517162 | 7,50 | 7,95 | PIA1 | AT2G20630 | putative protein phosphatase 2C 20 |
| A_84_P584450 | 7,45 | 4,71 | AT1G27890 | AT1G27890 | putative CCR4-associated factor 1-4 |
| A_84_P836958 | 7,41 | 5,26 | AT1G61470 | AT1G61470 | putative CCR4-associated factor 1-5 |
| A_84_P153835 | 7,30 | 6,94 | MEE3 | AT2G21650 | maternal effect embryo arrest 3 protein |
| A_84_P522306 | 7,29 | 4,75 | AT1G27820 | AT1G27820 | putative CCR4-associated factor 1-3 |
| A_84_P17463 | 7,26 | 4,35 | AT3G44260 | AT3G44260 | putative CCR4-associated factor 1-9 |
| A_84_P563858 | 7,14 | 5,47 | AT4G38340 | AT4G38340 | RWP-RK domain-containing protein |

| | | | | | |
|--------------|------|-------|-----------|--------------------------------|--|
| A_84_P21874 | 6,97 | 4,77 | STZ | AT1G27730 | zinc finger protein STZ/ZAT10 |
| A_84_P21946 | 6,88 | 4,21 | NUDT21 | AT1G73540 | nudix hydrolase 21 |
| A_84_P112782 | 6,79 | 10,19 | AT3G50220 | AT3G50220 | hypothetical protein |
| A_84_P13010 | 6,73 | 5,83 | SHN3 | AT5G11190 | ethylene-responsive transcription factor SHINE 2 |
| A_84_P196694 | 6,71 | 6,72 | PDF1.2c | AT5G44430 | defensin-like protein 17 |
| A_84_P21931 | 6,70 | 5,76 | ERF11 | AT1G28370 | ethylene-responsive transcription factor 11 |
| A_84_P601310 | 6,69 | 5,73 | AT1G11070 | AT1G11070 | hypothetical protein |
| A_84_P567134 | 6,68 | 4,60 | AT4G27657 | AT4G27657 | hypothetical protein |
| A_84_P13271 | 6,66 | 5,69 | WRKY40 | AT1G80840 | putative WRKY transcription factor 40 |
| A_84_P11239 | 6,65 | 6,25 | AT5G56840 | AT5G56840 | myb-like transcription factor family protein |
| A_84_P246705 | 6,62 | 10,89 | AT3G53980 | AT3G53980 | bifunctional inhibitor/lipid-transfer protein/seed storage 2S albumin-like protein |
| A_84_P160753 | 6,57 | 6,02 | AT2G41800 | AT2G41800 | hypothetical protein |
| A_84_P239215 | 6,56 | 6,76 | PDF1.3 | AT2G26010 | defensin-like protein 14 |
| A_84_P15041 | 6,34 | 9,41 | AT5G61890 | AT5G61890 | ethylene-responsive transcription factor ERF114 |
| A_84_P521787 | 6,23 | 6,62 | AT3G30340 | AT3G30340 | nodulin MtN21 /EamA-like transporter family protein |
| A_84_P767643 | 6,17 | 4,46 | AT1G29620 | AT1G29620 (Query coverage:98%) | Cytochrome C oxidase polypeptide VIB family protein |
| A_84_P19944 | 6,10 | 4,60 | AT1G72910 | AT1G72910 | Toll-Interleukin-Resistance domain-containing protein |
| A_84_P11075 | 6,07 | 4,18 | AT4G16140 | AT4G16140 | proline-rich family protein |
| A_84_P506967 | 6,02 | 4,99 | OFP10 | AT5G22240 | Ovate family protein |
| A_84_P17582 | 6,00 | 4,17 | ACS6 | AT4G11280 | 1-aminocyclopropane-1-carboxylate synthase 6 |
| A_84_P11358 | 6,00 | 5,31 | AT1G03820 | AT1G03820 | hypothetical protein |
| A_84_P826815 | 5,97 | 5,05 | SHN2 | AT5G25390 | ethylene-responsive transcription factor SHINE 3 |
| A_84_P15002 | 5,94 | 7,15 | AT5G51890 | AT5G51890 | peroxidase 66 |
| A_84_P22607 | 5,94 | 3,70 | ERF104 | AT5G61600 | ethylene-responsive transcription factor ERF104 |
| A_84_P14707 | 5,93 | 3,67 | PLP9 | AT3G63200 | PATATIN-like protein 9 |
| A_84_P755231 | 5,88 | 4,26 | AT2G14270 | AT2G30020 (MaxID: 98%) | Cytochrome C oxidase polypeptide VIB family protein |
| A_84_P10724 | 5,87 | 4,36 | AT2G30020 | AT2G30020 | putative protein phosphatase 2C 25 |
| A_84_P22327 | 5,74 | 6,67 | AG | AT4G18960 | MADS-box transcription factor |
| A_84_P299940 | 5,68 | 6,13 | AT1G01355 | AT1G01355 | Putative endonuclease or glycosyl hydrolase |
| A_84_P832832 | 5,64 | 4,25 | TBL30 | AT2G40160 | hypothetical protein |
| A_84_P503065 | 5,62 | 4,53 | AT3G05470 | AT3G05470 | formin-like protein 11 |
| A_84_P15535 | 5,60 | 3,90 | IQD10 | AT3G15050 | protein IQ-domain 10 |
| A_84_P10260 | 5,60 | 6,49 | AT5G47340 | AT5G47340 | palmitoyl protein thioesterase family protein |
| A_84_P260340 | 5,60 | 4,93 | AT1G76240 | AT1G76240 | hypothetical protein |
| A_84_P507561 | 5,58 | 5,86 | AT3G21320 | AT3G21320 | hypothetical protein |
| A_84_P832213 | 5,57 | 5,85 | AT3G28345 | AT3G28345 | ABC transporter B family member 15 |
| A_84_P511590 | 5,55 | 6,85 | AT1G07120 | AT1G07120 | hypothetical protein |
| A_84_P755281 | 5,53 | 4,28 | AT2G05050 | AT2G05050 | protein phosphatase 2C-like protein |
| A_84_P603815 | 5,50 | 5,11 | AT5G35540 | AT5G35540 | hypothetical protein |
| A_84_P14339 | 5,49 | 4,37 | MLP165 | AT1G35260 | MLP-like protein 165 |
| A_84_P608670 | 5,49 | 3,68 | AT2G28580 | AT2G28580 | hypothetical protein |
| A_84_P613604 | 5,48 | 5,64 | AT5G42710 | AT5G42710 | hypothetical protein |
| A_84_P11901 | 5,47 | 3,76 | AT1G06100 | AT1G06100 | delta-9 desaturase-like 2 protein |

| | | | | | |
|--------------|------|------|-----------|-----------|---|
| A_84_P775912 | 5,46 | 3,61 | | AT3G60170 | |
| A_84_P147508 | 5,45 | 5,36 | AT5G49280 | AT5G49280 | hydroxyproline-rich glycoprotein family protein |
| A_84_P23436 | 5,45 | 6,45 | FAR1 | AT5G22500 | fatty acyl-CoA reductase 1 |
| A_84_P534217 | 5,41 | 4,93 | AT3G48240 | AT3G48240 | octicosapeptide/Phox/Bem1p domain-containing protein |
| A_84_P856377 | 5,33 | 3,34 | AT1G72900 | AT1G72900 | Toll-Interleukin-Resistance domain-containing protein |
| A_84_P860303 | 5,27 | 4,59 | AT3G23170 | AT3G23170 | hypothetical protein |
| A_84_P13405 | 5,25 | 6,07 | ZW9 | AT1G58270 | TRAF-like protein |
| A_84_P22213 | 5,25 | 5,40 | AT3G49160 | AT3G49160 | pyruvate kinase |
| A_84_P19609 | 5,15 | 5,25 | LAC12 | AT5G05390 | laccase 12 |
| A_84_P20649 | 5,14 | 3,67 | AT5G44350 | AT5G44350 | ethylene-responsive nuclear protein -like protein |
| A_84_P21047 | 5,11 | 6,22 | LTP2 | AT2G38530 | non-specific lipid-transfer protein 2 |
| A_84_P89649 | 5,09 | 9,11 | CYP86C2 | AT3G26125 | cytochrome P450, family 86, subfamily C, polypeptide 2 |
| A_84_P20149 | 5,03 | 4,60 | AT2G04570 | AT2G04570 | GDSL esterase/lipase |
| A_84_P66214 | 5,01 | 3,54 | AT3G02840 | AT3G02840 | armadillo/beta-catenin-like repeat-containing protein |
| A_84_P515273 | 4,92 | 5,23 | AT1G61255 | AT1G61255 | hypothetical protein |
| A_84_P14857 | 4,92 | 5,43 | AT4G16750 | AT4G16750 | ethylene-responsive transcription factor ERF039 |
| A_84_P22191 | 4,90 | 4,71 | AT3G43670 | AT3G43670 | putative copper amine oxidase |
| A_84_P21458 | 4,88 | 3,50 | BT5 | AT4G37610 | BTB and TAZ domain protein 5 |
| A_84_P600236 | 4,86 | 4,22 | AT5G22545 | AT5G22545 | hypothetical protein |
| A_84_P515014 | 4,84 | 6,06 | TED7 | AT5G48920 | tracheary element differentiation-like protein 7 |
| A_84_P10979 | 4,84 | 5,01 | IRX1 | AT4G18780 | cellulose synthase A catalytic subunit 8 [UDP-forming] |
| A_84_P836406 | 4,83 | 4,31 | AT1G15125 | AT1G15125 | S-adenosyl-L-methionine-dependent methyltransferase domain-containing protein |
| A_84_P714600 | 4,83 | 2,95 | ZF2 | AT3G19580 | zinc-finger protein 2 |
| A_84_P121222 | 4,72 | 8,14 | AT3G21330 | AT3G21330 | transcription factor bHLH87 |
| A_84_P20677 | 4,71 | 3,58 | SBT1.3 | AT5G51750 | subtilase 1.3 |
| A_84_P824268 | 4,69 | 4,11 | AT1G56660 | AT1G56660 | hypothetical protein |
| A_84_P13089 | 4,69 | 4,29 | | AT5G45730 | |
| A_84_P279580 | 4,66 | 4,38 | AT3G50800 | AT3G50800 | hypothetical protein |
| A_84_P787555 | 4,66 | 5,31 | MAP70-5 | AT4G17220 | microtubule-associated proteins 70-5 |
| A_84_P21248 | 4,62 | 6,38 | FAR8 | AT3G44560 | fatty acyl-CoA reductase 8 |
| A_84_P93079 | 4,56 | 6,52 | HB33 | AT1G75240 | homeobox protein 33 |
| A_84_P10458 | 4,53 | 4,54 | AT1G54790 | AT1G54790 | GDSL esterase/lipase |
| A_84_P784874 | 4,53 | 4,90 | PME2 | AT1G53830 | pectinesterase 2 |
| A_84_P11260 | 4,52 | 3,64 | AT5G61610 | AT5G61610 | oleosin-like protein |
| A_84_P259090 | 4,50 | 5,78 | GAUT12 | AT5G54690 | alpha-1,4-galacturonosyltransferase |
| A_84_P830899 | 4,49 | 5,43 | bHLH11 | AT4G36060 | transcription factor bHLH11 |
| A_84_P17054 | 4,47 | 3,86 | RAS1 | AT1G09950 | response to ABA and salt 1 |
| A_84_P22045 | 4,46 | 4,89 | LAC5 | AT2G40370 | laccase 5 |
| A_84_P17328 | 4,46 | 5,16 | AT2G39350 | AT2G39350 | ABC transporter G family member 1 |
| A_84_P813455 | 4,45 | 5,41 | IRX12 | AT2G38080 | laccase-4 |
| A_84_P810559 | 4,45 | 3,01 | HSPRO2 | AT2G40000 | HS1 PRO-1 2-like protein |
| A_84_P145709 | 4,44 | 5,24 | AT1G13130 | AT1G13130 | Cellulase (glycosyl hydrolase family 5) protein |
| A_84_P21836 | 4,41 | 3,64 | AT1G72940 | AT1G72940 | Toll-Interleukin-Resistance domain-containing protein |

| | | | | | |
|--------------|------|------|-----------|-----------|--|
| A_84_P18953 | 4,41 | 4,32 | AT1G09610 | AT1G09610 | hypothetical protein |
| A_84_P10794 | 4,40 | 5,99 | CTL2 | AT3G16920 | chitinase-like protein 2 |
| A_84_P545700 | 4,39 | 3,82 | AT3G23190 | AT3G23190 | HR-like lesion-inducing protein-like protein |
| A_84_P786068 | 4,39 | 4,54 | PHO1 | AT3G23430 | phosphate transporter PHO1 |
| A_84_P217688 | 4,36 | 3,60 | AT1G76600 | AT1G76600 | hypothetical protein |
| A_84_P574263 | 4,34 | 3,94 | AT4G25433 | AT4G25433 | peptidoglycan-binding LysM domain-containing protein |
| A_84_P518116 | 4,34 | 5,11 | AT2G41610 | AT2G41610 | hypothetical protein |
| A_84_P17148 | 4,31 | 3,40 | SBT1.1 | AT1G01900 | subtilase-like protein |
| A_84_P518257 | 4,31 | 3,55 | AT3G49070 | AT3G49070 | hypothetical protein |
| A_84_P22136 | 4,30 | 3,20 | AHP4 | AT3G16360 | histidine-containing phosphotransfer protein 4 |
| A_84_P10716 | 4,29 | 5,02 | PID | AT2G34650 | protein kinase-like protein |
| A_84_P17934 | 4,28 | 3,63 | ZAT6 | AT5G04340 | putative c2h2 zinc finger transcription factor |
| A_84_P549446 | 4,28 | 5,06 | AT4G35720 | AT4G35720 | hypothetical protein |
| A_84_P786570 | 4,26 | 6,38 | PSK2 | AT2G22860 | phytosulfokine-beta |
| A_84_P10935 | 4,26 | 3,02 | AT4G01380 | AT4G01380 | plastocyanin-like domain-containing protein |
| A_84_P549850 | 4,25 | 4,52 | AT1G60190 | AT1G60190 | U-box domain-containing protein 19 |
| A_84_P13182 | 4,24 | 5,51 | IRX3 | AT5G17420 | cellulose synthase A catalytic subunit 7 [UDP-forming] |
| A_84_P21113 | 4,23 | 2,98 | ERF38 | AT2G35700 | ethylene-responsive transcription factor ERF038 |
| A_84_P74474 | 4,23 | 5,41 | TBL34 | AT2G38320 | trichome birefringence-like 34 protein |
| A_84_P130716 | 4,21 | 3,06 | AT2G27740 | AT2G27740 | hypothetical protein |
| A_84_P21787 | 4,19 | 2,77 | AT1G04570 | AT1G04570 | integral membrane transporter family protein |
| A_84_P16570 | 4,16 | 5,05 | AT3G56230 | AT3G56230 | BTB/POZ domain-containing protein |
| A_84_P23387 | 4,15 | 4,81 | LAC11 | AT5G03260 | laccase 11 |
| A_84_P768417 | 4,15 | 2,37 | AT5G36490 | AT5G36490 | ECA1 gametogenesis related family protein |
| A_84_P829873 | 4,15 | 8,49 | AT4G09990 | AT4G09990 | hypothetical protein |
| A_84_P13757 | 4,14 | 5,76 | PIL2 | AT3G62090 | transcription factor PIF6 |
| A_84_P797526 | 4,14 | 3,64 | FER4 | AT2G40300 | ferritin 4 |
| A_84_P501388 | 4,13 | 5,00 | AT3G51220 | AT3G51220 | hypothetical protein |
| A_84_P24160 | 4,13 | 5,06 | GLP10 | AT3G62020 | germin-like protein subfamily 2 member 4 |
| A_84_P22510 | 4,09 | 3,53 | | AT5G28230 | |
| A_84_P13990 | 4,07 | 3,68 | AT5G26010 | AT5G26010 | putative protein phosphatase 2C 72 |
| A_84_P751734 | 4,06 | 4,01 | | AT1G58130 | |
| A_84_P11557 | 4,06 | 3,75 | AT2G25820 | AT2G25820 | ethylene-responsive transcription factor ERF042 |
| A_84_P137619 | 4,06 | 3,01 | PBP1 | AT5G54490 | pinoid-binding protein 1 |
| A_84_P285960 | 4,04 | 3,87 | ATIM | AT5G52910 | timeless family protein |
| A_84_P820634 | 4,04 | 3,42 | AT5G59550 | AT5G59550 | C3H4 type zinc finger protein |
| A_84_P134445 | 4,03 | 3,69 | AT5G60760 | AT5G60760 | 2-phosphoglycerate kinase-related protein |
| A_84_P22306 | 4,02 | 5,42 | AT1G06170 | AT1G06170 | transcription factor bHLH89 |
| A_84_P582022 | 4,01 | 3,50 | AT2G46760 | AT2G46760 | D-arabinono-1,4-lactone oxidase family protein |
| A_84_P21996 | 4,01 | 4,37 | AT2G26390 | AT2G26390 | serpin-Z3 |
| A_84_P827231 | 4,00 | 4,54 | AT2G44260 | AT2G44260 | hypothetical protein |
| A_84_P12200 | 4,00 | 5,87 | PIP2;4 | AT5G60660 | putative aquaporin PIP2-4 |
| A_84_P13432 | 3,98 | 5,05 | PRR1 | AT1G32100 | pinorensinol reductase 1 |
| A_84_P20327 | 3,97 | 4,73 | AT3G50400 | AT3G50400 | GDSL esterase/lipase |

| | | | | | |
|--------------|------|------|-----------|-----------|--|
| A_84_P530345 | 3,97 | 4,43 | AT1G60110 | AT1G60110 | jacalin-like lectin domain-containing protein |
| A_84_P868333 | 3,97 | 3,30 | AT5G45950 | AT5G45950 | GDSL esterase/lipase |
| A_84_P145939 | 3,97 | 3,55 | AT2G28315 | AT2G28315 | nucleotide/sugar transporter-like protein |
| A_84_P192414 | 3,96 | 5,44 | AT5G51790 | AT5G51790 | transcription factor bHLH120 |
| A_84_P546682 | 3,95 | 7,15 | JLO | AT4G00220 | LOB domain-containing protein 30 |
| A_84_P23323 | 3,95 | 5,08 | TED6 | AT1G43790 | tracheary element differentiation-related 6 protein |
| A_84_P12366 | 3,94 | 5,23 | XCP2 | AT1G20850 | Xylem cysteine proteinase 2 |
| A_84_P83669 | 3,92 | 2,71 | AT4G25410 | AT4G25410 | basic helix-loop-helix domain-containing protein |
| A_84_P19516 | 3,92 | 2,93 | CBF2 | AT4G25470 | dehydration-responsive element-binding protein 1C |
| A_84_P18265 | 3,92 | 3,71 | AT2G18480 | AT2G18480 | putative polyol transporter 3 |
| A_84_P15926 | 3,92 | 2,71 | RAC2 | AT5G45970 | Rac-like GTP-binding protein ARAC2 |
| A_84_P811165 | 3,90 | 2,10 | GH9C2 | AT1G64390 | endoglucanase 6 |
| A_84_P20499 | 3,90 | 4,16 | AT4G33810 | AT4G33810 | glycosyl hydrolase family 10 protein |
| A_84_P10143 | 3,86 | 5,07 | AT5G01930 | AT5G01930 | mannan endo-1,4-beta-mannosidase 6 |
| A_84_P11858 | 3,86 | 2,59 | AT3G59710 | AT3G59710 | Rossmann-fold NAD(P)-binding domain-containing protein |
| A_84_P14424 | 3,83 | 3,42 | AGL17 | AT2G22630 | agamous-like MADS-box protein AGL17 |
| A_84_P23499 | 3,83 | 3,80 | AT5G47330 | AT5G47330 | palmitoyl protein thioesterase family protein |
| A_84_P594594 | 3,83 | 4,75 | AT3G22415 | AT3G22415 | hypothetical protein |
| A_84_P826766 | 3,81 | 3,49 | AT5G58680 | AT5G58680 | armadillo/beta-catenin-like repeat-containing protein |
| A_84_P281230 | 3,81 | 3,58 | BNQ2 | AT5G15160 | protein banquo 2 |
| A_84_P751343 | 3,80 | 4,63 | | AT1G54660 | |
| A_84_P811797 | 3,80 | 3,95 | FER1 | AT5G01600 | ferritin heavy chain |
| A_84_P16621 | 3,77 | 3,96 | AT4G05170 | AT4G05170 | basic helix-loop-helix domain-containing protein |
| A_84_P22892 | 3,77 | 3,12 | MKK9 | AT1G73500 | MAP kinase kinase 9 |
| A_84_P520839 | 3,77 | 4,95 | AT3G16070 | AT3G16070 | hypothetical protein |
| A_84_P583901 | 3,76 | 2,79 | AT3G20180 | AT3G20180 | putative copper transport protein |
| A_84_P20771 | 3,74 | 4,44 | MC9 | AT5G04200 | metacaspase 9 |
| A_84_P20549 | 3,74 | 3,66 | FLA11 | AT5G03170 | fasciclin-like arabinogalactan protein 11 |
| A_84_P585163 | 3,73 | 3,84 | AT5G49120 | AT5G49120 | hypothetical protein |
| A_84_P22594 | 3,73 | 4,48 | LAC16 | AT5G58910 | laccase 16 |
| A_84_P12862 | 3,73 | 5,46 | AT4G13190 | AT4G13190 | protein kinase family protein |
| A_84_P13165 | 3,73 | 2,51 | AT5G65320 | AT5G65320 | transcription factor bHLH99 |
| A_84_P179004 | 3,73 | 4,72 | LBD15 | AT2G40470 | LOB domain-containing protein 15 |
| A_84_P751000 | 3,72 | 4,85 | | AT1G18120 | |
| A_84_P21591 | 3,72 | 3,23 | ZF3 | AT5G43170 | zinc-finger protein 3 |
| A_84_P548594 | 3,72 | 3,09 | AT5G05840 | AT5G05840 | hypothetical protein |
| A_84_P787617 | 3,71 | 3,01 | AT5G03270 | AT5G03270 | putative cytokinin riboside 5'-monophosphate phosphoribohydrolase LOG6 |
| A_84_P11746 | 3,71 | 3,27 | AT3G27400 | AT3G27400 | pectate lyase |
| A_84_P14027 | 3,70 | 4,00 | CESA4 | AT5G44030 | cellulose synthase A catalytic subunit 4 [UDP-forming] |
| A_84_P848977 | 3,69 | 3,02 | AT1G68600 | AT1G68600 | Aluminum activated malate transporter family protein |
| A_84_P14372 | 3,68 | 3,50 | AT1G31710 | AT1G31710 | putative copper amine oxidase |
| A_84_P820750 | 3,68 | 3,02 | AT1G23710 | AT1G23710 | hypothetical protein |
| A_84_P171073 | 3,68 | 2,92 | AT1G35210 | AT1G35210 | hypothetical protein |

| | | | | | |
|--------------|------|------|-----------|-----------|---|
| A_84_P193944 | 3,67 | 2,97 | AT5G66650 | AT5G66650 | hypothetical protein |
| A_84_P200834 | 3,66 | 3,48 | AT1G58070 | AT1G58070 | hypothetical protein |
| A_84_P17320 | 3,65 | 4,05 | CNGC14 | AT2G24610 | cyclic nucleotide gated channel |
| A_84_P179534 | 3,64 | 2,89 | AT5G16200 | AT5G16200 | 50S ribosomal protein-like protein |
| A_84_P814244 | 3,64 | 3,19 | AT2G47270 | AT2G47270 | transcription factor bHLH151 |
| A_84_P175581 | 3,64 | 5,10 | AT2G05160 | AT2G05160 | zinc finger CCCH domain-containing protein 18 |
| A_84_P73664 | 3,64 | 3,27 | AT1G77855 | AT1G77855 | hypothetical protein |
| A_84_P21194 | 3,64 | 3,34 | ERF1 | AT3G23240 | ethylene-responsive transcription factor 1B |
| A_84_P257260 | 3,62 | 4,60 | AT2G47780 | AT2G47780 | Rubber elongation factor protein (REF) |
| A_84_P715787 | 3,62 | 3,17 | AT1G32928 | AT1G32928 | hypothetical protein |
| A_84_P21430 | 3,60 | 4,10 | AT4G30250 | AT4G30250 | AAA domain-containing protein |
| A_84_P18975 | 3,60 | 4,00 | PUB18 | AT1G10560 | U-box domain-containing protein 18 |
| A_84_P600168 | 3,57 | 2,70 | AT5G01075 | AT5G01075 | Glycosyl hydrolase family 35 protein |
| A_84_P521598 | 3,56 | 3,33 | AT2G22760 | AT2G22760 | transcription factor bHLH19 |
| A_84_P168493 | 3,52 | 2,82 | AT3G46620 | AT3G46620 | C3H4 type zinc finger protein |
| A_84_P14991 | 3,51 | 3,42 | AT5G48740 | AT5G48740 | putative LRR receptor-like serine/threonine-protein kinase |
| A_84_P115902 | 3,51 | 3,30 | TBL33 | AT2G40320 | protein trichome birefringence-like 33 |
| A_84_P20377 | 3,50 | 4,28 | AT3G62160 | AT3G62160 | HXXXD-type acyl-transferase-like protein |
| A_84_P10105 | 3,50 | 4,21 | XCP1 | AT4G35350 | Xylem cysteine proteinase 1 |
| A_84_P18211 | 3,50 | 2,98 | AR781 | AT2G26530 | hypothetical protein |
| A_84_P706463 | 3,49 | 3,81 | AT3G06778 | AT3G06778 | DnaJ-domain-containing protein |
| A_84_P500133 | 3,48 | 2,92 | AT1G42980 | AT1G42980 | formin-like protein 12 |
| A_84_P13964 | 3,47 | 3,14 | AT5G14230 | AT5G14230 | hypothetical protein |
| A_84_P296664 | 3,47 | 4,41 | DMP2 | AT3G21550 | hypothetical protein |
| A_84_P18980 | 3,46 | 3,03 | AT1G78500 | AT1G78500 | pentacyclic triterpene synthase 6 |
| A_84_P222669 | 3,46 | 3,73 | EXT4 | AT1G76930 | extensin 4 |
| A_84_P860280 | 3,45 | 4,93 | NAP | AT1G69490 | NAC domain-containing protein 29 |
| A_84_P22720 | 3,45 | 2,83 | 2A6 | AT1G03410 | putative 1-aminocyclopropane-1-carboxylate oxidase |
| A_84_P13751 | 3,45 | 3,13 | AT3G60490 | AT3G60490 | ethylene-responsive transcription factor ERF035 |
| A_84_P169473 | 3,43 | 4,90 | AT5G30500 | AT5G30500 | putative galactinol synthase |
| A_84_P839263 | 3,43 | 2,75 | AT1G62290 | AT1G62290 | phytepsin |
| A_84_P23649 | 3,43 | 3,78 | AT1G31050 | AT1G31050 | basic helix-loop-helix domain-containing protein |
| A_84_P95079 | 3,43 | 3,21 | AT5G38610 | AT5G38610 | plant invertase/pectin methylesterase inhibitor domain-containing protein |
| A_84_P15978 | 3,41 | 3,41 | LAC17 | AT5G60020 | laccase 17 |
| A_84_P178184 | 3,41 | 3,73 | LNG1 | AT5G15580 | protein longifolia1 |
| A_84_P24057 | 3,41 | 3,67 | AT3G19620 | AT3G19620 | putative beta-D-xylosidase 5 |
| A_84_P819307 | 3,41 | 3,99 | AT2G43590 | AT2G43590 | chitinase-like protein |
| A_84_P23644 | 3,40 | 3,09 | AT1G08340 | AT1G08340 | Rho GTPase activating protein with PAK-box/P21-Rho-binding domain |
| A_84_P21406 | 3,39 | 2,77 | FSD1 | AT4G25100 | Superoxide dismutase [Fe] |
| A_84_P540393 | 3,39 | 2,53 | AT3G28190 | AT3G28190 | hypothetical protein |
| A_84_P168383 | 3,39 | 3,13 | AT5G49130 | AT5G49130 | mate efflux domain-containing protein |
| A_84_P172851 | 3,38 | 4,04 | AT3G24535 | AT3G24535 | hypothetical protein |
| A_84_P51330 | 3,38 | 4,00 | DAR5 | AT5G66630 | DA1-related protein 5 |
| A_84_P23843 | 3,37 | 2,73 | AT2G03200 | AT2G03200 | aspartyl protease-like protein |

| | | | | | |
|--------------|------|------|-----------|------------------------|--|
| A_84_P22755 | 3,37 | 4,12 | RNS3 | AT1G26820 | ribonuclease 3 |
| A_84_P762759 | 3,36 | 2,86 | AT3G55672 | AT3G55672 | self-incompatibility S1 family protein |
| A_84_P857254 | 3,36 | 3,03 | SAPX | AT4G08390 | L-ascorbate peroxidase |
| A_84_P21523 | 3,36 | 4,21 | BEE1 | AT1G18400 | transcription factor BEE 1 |
| A_84_P21269 | 3,35 | 2,77 | AT1G48590 | AT1G48590 | calcium-dependent lipid-binding domain |
| A_84_P504795 | 3,35 | 4,03 | IRX9 | AT2G37090 | nucleotide-diphospho-sugar transferases-like protein |
| A_84_P191974 | 3,35 | 3,33 | AT5G03210 | AT5G03210 | hypothetical protein |
| A_84_P19588 | 3,32 | 3,42 | EXLB1 | AT4G17030 | expansin-like B1 |
| A_84_P827393 | 3,32 | 2,96 | | AT3G48650 | |
| A_84_P14226 | 3,30 | 4,64 | BCAT-2 | AT1G10070 | branched-chain-amino-acid aminotransferase 2 |
| A_84_P760106 | 3,30 | 5,18 | | AT3G08885 | |
| A_84_P818712 | 3,30 | 2,29 | ENH1 | AT5G17170 | rubredoxin family protein |
| A_84_P21770 | 3,29 | 3,63 | AT1G23060 | AT1G23060 | hypothetical protein |
| A_84_P768447 | 3,28 | 2,06 | AT5G36350 | AT5G36550 (MaxID: 98%) | ECA1 gametogenesis related family protein |
| A_84_P759256 | 3,28 | 2,60 | | AT3G44245 | |
| A_84_P824100 | 3,28 | 2,96 | AT2G16630 | AT2G16630 | pollen Ole e 1 allergen and extensin family protein |
| A_84_P535346 | 3,27 | 3,03 | AT5G22540 | AT5G22540 | hypothetical protein |
| A_84_P22112 | 3,27 | 2,68 | AT1G53070 | AT1G53070 | legume lectin-like protein |
| A_84_P18494 | 3,27 | 3,89 | NAC007 | AT1G12260 | NAC domain-containing protein 7 |
| A_84_P22489 | 3,27 | 2,49 | AT5G22250 | AT5G22250 | putative CCR4-associated factor 1-11 |
| A_84_P20462 | 3,25 | 2,71 | CBF1 | AT4G25490 | dehydration-responsive element-binding protein 1B |
| A_84_P562837 | 3,23 | 2,94 | AT5G38090 | AT5G38090 | hypothetical protein |
| A_84_P569290 | 3,23 | 3,09 | AT1G32670 | AT1G32670 | hypothetical protein |
| A_84_P763555 | 3,21 | 3,80 | | AT4G09480 | |
| A_84_P540376 | 3,20 | 3,49 | LSH4 | AT3G23290 | hypothetical protein |
| A_84_P570804 | 3,20 | 3,25 | RIC4 | AT5G16490 | ROP-interactive CRIB motif-containing protein 4 |
| A_84_P157885 | 3,20 | 3,37 | AT4G39320 | AT4G39320 | microtubule-associated protein-like protein |
| A_84_P15194 | 3,20 | 2,82 | AT1G54020 | AT1G54020 | GDSL esterase/lipase |
| A_84_P297054 | 3,19 | 4,57 | GolS6 | AT4G26250 | galactinol synthase 6 |
| A_84_P115172 | 3,19 | 3,58 | RIC2 | AT1G27380 | ROP-interactive CRIB motif-containing protein 2 |
| A_84_P12087 | 3,19 | 2,64 | AT1G68650 | AT1G68650 | UPF0016 protein 5 |
| A_84_P67084 | 3,18 | 2,95 | AT1G25400 | AT1G25400 | hypothetical protein |
| A_84_P10436 | 3,18 | 2,62 | | AT1G09890 | |
| A_84_P753210 | 3,18 | 2,32 | AT1G45223 | AT1G45223 (MaxID:95%) | hypothetical protein |
| A_84_P858347 | 3,18 | 2,90 | DGK2 | AT5G63770 | diacylglycerol kinase 2 |
| A_84_P768165 | 3,18 | 2,89 | AT5G39365 | AT5G39365 | putative defensin-like protein 40 |
| A_84_P15105 | 3,17 | 2,35 | AT1G60095 | AT1G60095 | jacalin-like lectin domain-containing protein |
| A_84_P24091 | 3,17 | 2,93 | EXLA3 | AT3G45960 | expansin-like A3 |
| A_84_P12935 | 3,14 | 2,51 | KCS16 | AT4G34250 | 3-ketoacyl-CoA synthase 16 |
| A_84_P117052 | 3,14 | 3,52 | AT3G25640 | AT3G25640 | hypothetical protein |
| A_84_P869292 | 3,13 | 2,76 | ERF-1 | AT4G17500 | ethylene-responsive transcription factor 1A |
| A_84_P15797 | 3,12 | 2,81 | scpl30 | AT4G15100 | putative serine carboxypeptidase-like 30 |
| A_84_P516811 | 3,11 | 2,06 | AT5G52670 | AT5G52670 | putative copper transport protein |

| | | | | | |
|--------------|------|------|-----------|-----------|--|
| A_84_P554830 | 3,09 | 2,14 | AT5G20635 | AT5G20635 | hypothetical protein |
| A_84_P188064 | 3,08 | 3,17 | CLE6 | AT2G31085 | protein CLAVATA3/ESR-related 6 |
| A_84_P13378 | 3,08 | 3,16 | GH9B1 | AT1G70710 | endoglucanase 8 |
| A_84_P569414 | 3,07 | 2,72 | AT2G01610 | AT2G01610 | invertase/pectin methyltransferase inhibitor-like protein |
| A_84_P831768 | 3,06 | 2,82 | | AT2G11240 | |
| A_84_P20826 | 3,04 | 2,43 | AT1G24330 | AT1G24330 | U-box domain-containing protein 6 |
| A_84_P203658 | 3,03 | 3,35 | AT2G44930 | AT2G44930 | hypothetical protein |
| A_84_P167943 | 3,03 | 3,05 | ERF4 | AT3G15210 | ethylene-responsive transcription factor 4 |
| A_84_P583210 | 3,01 | 3,42 | AT4G33550 | AT4G33550 | bifunctional inhibitor/lipid-transfer protein/seed storage 2S albumin-like protein |
| A_84_P10323 | 3,00 | 2,90 | AAP4 | AT5G63850 | amino acid permease 4 |
| A_84_P759032 | 3,00 | 2,69 | | AT3G30211 | |
| A_84_P285010 | 2,99 | 3,08 | PGSIP1 | AT3G18660 | plant glycogenin-like starch initiation protein 1 |
| A_84_P536931 | 2,99 | 3,15 | AT3G63450 | AT3G63450 | RNA-binding (RRM/RBD/RNP motifs) family protein |
| A_84_P12779 | 2,98 | 4,77 | AT3G54040 | AT3G54040 | PAR1 protein |
| A_84_P19132 | 2,97 | 3,12 | ARF11 | AT2G46530 | auxin response factor 11 |
| A_84_P19457 | 2,97 | 2,25 | AT4G04750 | AT4G04750 | sugar transporter ERD6-like 14 |
| A_84_P22538 | 2,97 | 2,76 | AT5G43530 | AT5G43530 | Helicase protein with RING/U-box domain |
| A_84_P75664 | 2,97 | 2,68 | AT2G36220 | AT2G36220 | hypothetical protein |
| A_84_P12573 | 2,97 | 2,65 | AT2G44940 | AT2G44940 | ethylene-responsive transcription factor ERF034 |
| A_84_P10415 | 2,96 | 2,68 | MBP2 | AT1G52030 | myrosinase-binding protein 2 |
| A_84_P787882 | 2,95 | 2,47 | AT1G65920 | AT1G65920 | Regulator of chromosome condensation (RCC1) family with FYVE zinc finger domain |
| A_84_P530258 | 2,95 | 2,73 | AT1G21150 | AT1G21150 | Mitochondrial transcription termination factor family protein |
| A_84_P91139 | 2,95 | 3,19 | TBL3 | AT5G01360 | hypothetical protein |
| A_84_P23114 | 2,94 | 2,58 | | AT3G21020 | |
| A_84_P751783 | 2,94 | 3,74 | GL22 | AT1G02335 | germin-like protein subfamily 2 member 2 |
| A_84_P17663 | 2,94 | 3,51 | AT4G34320 | AT4G34320 | hypothetical protein |
| A_84_P21392 | 2,93 | 2,84 | AT4G21650 | AT4G21650 | Subtilase family protein |
| A_84_P11909 | 2,93 | 2,61 | AT4G11210 | AT4G11210 | disease resistance-responsive, dirigent domain-containing protein |
| A_84_P851051 | 2,93 | 2,66 | AGP4 | AT5G10430 | arabinogalactan protein 4 |
| A_84_P24047 | 2,92 | 2,31 | AT3G21950 | AT3G21950 | methyltransferase |
| A_84_P580762 | 2,92 | 3,62 | AT3G43710 | AT3G43710 | putative F-box/kelch-repeat protein |
| A_84_P23686 | 2,92 | 2,95 | HVA22G | AT1G75700 | HVA22-like protein G |
| A_84_P816700 | 2,90 | 2,88 | AT1G17745 | AT1G17745 | D-3-phosphoglycerate dehydrogenase |
| A_84_P291564 | 2,90 | 2,55 | AT1G59850 | AT1G59850 | ARM repeat-containing protein |
| A_84_P765250 | 2,90 | 2,59 | AT4G33130 | AT4G33130 | hypothetical protein |
| A_84_P15190 | 2,90 | 3,21 | AT1G04330 | AT1G04330 | hypothetical protein |
| A_84_P15811 | 2,90 | 3,30 | LAC10 | AT5G01190 | laccase 10 |
| A_84_P15626 | 2,90 | 3,24 | AT1G24030 | AT1G24030 | protein kinase-like protein |
| A_84_P13616 | 2,90 | 4,43 | AT1G26450 | AT1G26450 | carbohydrate-binding X8 domain-containing protein |
| A_84_P97886 | 2,89 | 2,83 | AT2G40130 | AT2G40130 | heat shock-related protein |
| A_84_P819549 | 2,89 | 2,45 | AT5G41740 | AT5G41740 | TIR-NBS-LRR class disease resistance protein |
| A_84_P17326 | 2,88 | 2,18 | WRKY33 | AT2G38470 | putative WRKY transcription factor 33 |
| A_84_P23516 | 2,88 | 2,45 | CBF4 | AT5G51990 | dehydration-responsive element-binding protein 1D |

| | | | | | |
|--------------|------|------|-----------|-----------|--|
| A_84_P291544 | 2,87 | 3,00 | AT4G00890 | AT4G00890 | proline-rich family protein |
| A_84_P587696 | 2,86 | 3,38 | AT5G03510 | AT5G03510 | C2H2-type zinc finger protein |
| A_84_P502358 | 2,86 | 2,80 | | AT4G13470 | |
| A_84_P598005 | 2,86 | 2,56 | AT2G22890 | AT2G22890 | Kua-ubiquitin conjugating enzyme hybrid localisation domain-containing protein |
| A_84_P23938 | 2,85 | 2,56 | PDR5 | AT2G37280 | ABC transporter G family member 33 |
| A_84_P590991 | 2,84 | 4,22 | AT3G12460 | AT3G12460 | DEDDy 3'-5' exonuclease domain-containing protein |
| A_84_P12677 | 2,84 | 2,23 | IPT7 | AT3G23630 | adenylate isopentenyltransferase 7 |
| A_84_P17929 | 2,84 | 3,07 | GolS2 | AT1G56600 | galactinol synthase 2 |
| A_84_P122532 | 2,84 | 2,83 | AT5G67210 | AT5G67210 | hypothetical protein |
| A_84_P592920 | 2,84 | 2,40 | AT4G01390 | AT4G01390 | TRAF-like family protein |
| A_84_P76869 | 2,83 | 2,92 | AT1G02070 | AT1G02070 | hypothetical protein |
| A_84_P789302 | 2,83 | 2,20 | KDR | AT1G26945 | basic helix-loop-helix domain-containing protein |
| A_84_P12504 | 2,83 | 3,35 | UGT71C1 | AT2G29750 | UDP-glucosyl transferase 71C1 |
| A_84_P605175 | 2,82 | 3,33 | AT2G39370 | AT2G39370 | hypothetical protein |
| A_84_P545592 | 2,82 | 2,46 | AT2G39650 | AT2G39650 | hypothetical protein |
| A_84_P812841 | 2,80 | 2,67 | AT3G08030 | AT3G08030 | hypothetical protein |
| A_84_P260410 | 2,80 | 2,57 | AT1G78450 | AT1G78450 | SOUL heme-binding-like protein |
| A_84_P758492 | 2,79 | 3,17 | | AT2G20818 | |
| A_84_P102956 | 2,78 | 3,30 | AT4G34330 | AT4G34330 | hypothetical protein |
| A_84_P605779 | 2,78 | 2,88 | AT1G12845 | AT1G12845 | hypothetical protein |
| A_84_P572473 | 2,78 | 2,66 | AT4G21920 | AT4G21920 | hypothetical protein |
| A_84_P16775 | 2,77 | 2,74 | NF-YA10 | AT5G06510 | nuclear transcription factor Y subunit A-10 |
| A_84_P232979 | 2,77 | 2,46 | RBE | AT5G06070 | putative transcriptional regulator RABBIT EARS |
| A_84_P210838 | 2,77 | 2,35 | | AT2G04580 | |
| A_84_P19161 | 2,76 | 3,10 | BGLU33 | AT2G32860 | beta glucosidase 33 |
| A_84_P606188 | 2,76 | 2,86 | AT3G28007 | AT3G28007 | nodulin MtN3-like protein |
| A_84_P750319 | 2,75 | 2,45 | | AT1G19630 | |
| A_84_P16308 | 2,74 | 2,63 | BEN1 | AT2G45400 | dihydroflavonol 4-reductase-like protein |
| A_84_P81559 | 2,74 | 2,54 | AT4G33560 | AT4G33560 | Wound-responsive family protein |
| A_84_P825596 | 2,74 | 3,05 | CYCA2;3 | AT1G15570 | cyclin-A2-3 |
| A_84_P70304 | 2,73 | 2,69 | AT3G21310 | AT3G21310 | Core-2/l-branching beta-1,6-N-acetylglucosaminyltransferase family protein |
| A_84_P822968 | 2,73 | 2,45 | KNAT7 | AT1G62990 | homeobox protein knotted-1-like 7 |
| A_84_P756412 | 2,73 | 2,26 | AT2G15029 | At2g15030 | hypothetical protein |
| A_84_P752395 | 2,73 | 3,20 | AT1G62870 | AT1G62870 | hypothetical protein |
| A_84_P14951 | 2,73 | 2,12 | AT5G38020 | AT5G38020 | S-adenosyl-L-methionine-dependent methyltransferase-like protein |
| A_84_P19451 | 2,72 | 2,73 | GA1 | AT4G02780 | Ent-copalyl diphosphate synthase |
| A_84_P10075 | 2,72 | 3,01 | NAC073 | AT4G28500 | NAC domain containing protein 73 |
| A_84_P284290 | 2,72 | 3,10 | AT4G26380 | AT4G26380 | cysteine/histidine-rich C1 domain-containing protein |
| A_84_P11868 | 2,72 | 2,48 | AT3G62260 | AT3G62260 | putative protein phosphatase 2C 49 |
| A_84_P10642 | 2,72 | 2,38 | AT2G39850 | AT2G39850 | subtilisin-like serine protease |
| A_84_P14084 | 2,71 | 2,64 | ROPGEF2 | AT1G01700 | Rop guanine nucleotide exchange factor 2 |
| A_84_P736761 | 2,71 | 2,24 | TUA4 | AT1G04820 | |
| A_84_P199304 | 2,71 | 3,83 | PDF1.4 | AT1G19610 | defensin-like protein 19 |
| A_84_P837016 | 2,71 | 4,25 | ERS2 | AT1G04310 | ethylene response sensor 2 |

| | | | | | |
|--------------|------|------|-----------|-----------|--|
| A_84_P275660 | 2,71 | 2,31 | AGP14 | AT5G56540 | arabinogalactan protein 14 |
| A_84_P761937 | 2,70 | 2,26 | AT3G55665 | AT3G55665 | self-incompatibility S1 family protein |
| A_84_P15114 | 2,70 | 2,51 | AT1G12380 | AT1G12380 | hypothetical protein |
| A_84_P857301 | 2,70 | 2,02 | CZF1 | AT2G40140 | zinc finger CCCH domain-containing protein 29 |
| A_84_P803684 | 2,69 | 2,79 | EOL2 | AT5G58550 | protein ETO1-like 2 |
| A_84_P769675 | 2,69 | 2,64 | CPK28 | AT5G66210 | calcium-dependent protein kinase 28 |
| A_84_P18294 | 2,69 | 2,43 | IAA20 | AT2G46990 | auxin-responsive protein IAA20 |
| A_84_P66984 | 2,69 | 2,84 | AT1G64360 | AT1G64360 | hypothetical protein |
| A_84_P16667 | 2,68 | 2,33 | AT4G22940 | AT4G22940 | protein kinase family protein |
| A_84_P596337 | 2,68 | 2,76 | WOX5 | AT3G11260 | WUSCHEL-related homeobox 5 |
| A_84_P591196 | 2,68 | 2,37 | AT4G22560 | AT4G22560 | hypothetical protein |
| A_84_P19444 | 2,67 | 3,29 | AT1G12160 | AT1G12160 | Flavin-binding monooxygenase family protein |
| A_84_P18041 | 2,67 | 3,00 | AT1G32690 | AT1G32690 | hypothetical protein |
| A_84_P750377 | 2,67 | 2,99 | | AT1G21220 | |
| A_84_P13196 | 2,67 | 2,84 | AT5G09300 | AT5G09300 | 2-oxoisovalerate dehydrogenase E1 component, alpha subunit |
| A_84_P10187 | 2,67 | 2,17 | AT5G16340 | AT5G16340 | AMP-binding protein 6 |
| A_84_P574794 | 2,67 | 2,07 | AT2G20142 | AT2G20142 | Toll-Interleukin-Resistance domain-containing protein |
| A_84_P13282 | 2,66 | 2,22 | AT1G75710 | AT1G75710 | C2H2-like zinc finger protein |
| A_84_P194234 | 2,66 | 2,86 | AT1G33800 | AT1G33800 | hypothetical protein |
| A_84_P531612 | 2,65 | 3,10 | AT4G04745 | AT4G04745 | hypothetical protein |
| A_84_P573931 | 2,64 | 2,60 | AT2G22340 | AT2G22340 | hypothetical protein |
| A_84_P515003 | 2,64 | 3,16 | AT5G45540 | AT5G45540 | hypothetical protein |
| A_84_P22168 | 2,63 | 2,32 | | AT3G21010 | |
| A_84_P20577 | 2,63 | 3,71 | AT5G11540 | AT5G11540 | D-arabinono-1,4-lactone oxidase family protein |
| A_84_P18681 | 2,62 | 2,68 | RBK1 | AT5G10520 | ROP binding protein kinase 1 |
| A_84_P23427 | 2,61 | 3,12 | MYB43 | AT5G16600 | myb domain protein 43 |
| A_84_P220848 | 2,61 | 2,58 | RHS16 | AT4G29180 | protein root hair specific 16 |
| A_84_P11903 | 2,61 | 2,54 | ORA59 | AT1G06160 | ethylene-responsive transcription factor ERF094 |
| A_84_P597767 | 2,60 | 3,17 | AT1G12600 | AT1G12600 | UDP-N-acetylglucosamine transporter-like protein |
| A_84_P14482 | 2,60 | 2,63 | AT2G24560 | AT2G24560 | GDSL esterase/lipase |
| A_84_P22531 | 2,60 | 2,23 | AT5G41400 | AT5G41400 | RING/U-box domain-containing protein |
| A_84_P131556 | 2,59 | 2,98 | TBL39 | AT2G42570 | protein trichome birefringence-like 39 |
| A_84_P150658 | 2,59 | 2,29 | DAR7 | AT5G66610 | protein DA1-related 7 |
| A_84_P825992 | 2,59 | 2,08 | WAVE1 | AT2G34150 | protein SCAR1 |
| A_84_P311333 | 2,58 | 2,80 | GPAT6 | AT2G38110 | glycerol-3-phosphate acyltransferase 6 |
| A_84_P510022 | 2,58 | 3,21 | AT2G03180 | AT2G03180 | hypothetical protein |
| A_84_P14652 | 2,57 | 2,14 | MAPKKK20 | AT3G50310 | mitogen-activated protein kinase kinase 20 |
| A_84_P21087 | 2,57 | 2,10 | AT2G02520 | AT2G02520 | RNA-directed DNA polymerase (reverse transcriptase)-related family protein |
| A_84_P542240 | 2,56 | 2,14 | | AT4G01525 | |
| A_84_P193424 | 2,56 | 2,25 | JAZ1 | AT1G19180 | protein TIFY 10A |
| A_84_P761932 | 2,56 | 3,57 | AT3G55252 | AT3G55252 | self-incompatibility S1 family protein |
| A_84_P836721 | 2,56 | 2,10 | AT4G19520 | AT4G19520 | TIR-NBS-LRR class disease resistance protein |
| A_84_P106252 | 2,56 | 3,02 | HB28 | AT3G50890 | homeobox protein 28 |

| | | | | | |
|--------------|------|------|-----------|-----------|---|
| A_84_P18911 | 2,56 | 2,45 | AT1G75720 | AT1G75720 | hypothetical protein |
| A_84_P11175 | 2,56 | 2,62 | PIN1 | AT1G73590 | auxin efflux carrier component 1 |
| A_84_P804586 | 2,55 | 2,30 | AT2G43150 | AT2G43150 | Proline-rich extensin-like family protein |
| A_84_P603366 | 2,55 | 2,80 | arpc2b | AT2G33385 | actin-related protein C2B |
| A_84_P602364 | 2,55 | 3,19 | AT1G71015 | AT1G71015 | hypothetical protein |
| A_84_P224809 | 2,54 | 2,12 | AT2G38790 | AT2G38790 | hypothetical protein |
| A_84_P237923 | 2,53 | 2,57 | AT1G68470 | AT1G68470 | Exostosin family protein |
| A_84_P842320 | 2,52 | 3,04 | | AT5G43840 | |
| A_84_P10939 | 2,52 | 2,31 | AT4G02200 | AT4G02200 | protein dehydration-INDUCED 19-5 |
| A_84_P10179 | 2,51 | 3,03 | MYB46 | AT5G12870 | transcription factor MYB46 |
| A_84_P837804 | 2,51 | 2,95 | IAMT1 | AT5G55250 | IAA carboxylmethyltransferase 1 |
| A_84_P534335 | 2,50 | 2,76 | AT4G21970 | AT4G21970 | hypothetical protein |
| A_84_P13339 | 2,50 | 2,21 | AT1G79630 | AT1G79630 | putative protein phosphatase 2C 18 |
| A_84_P24159 | 2,50 | 2,40 | AT3G61820 | AT3G61820 | aspartyl protease-like protein |
| A_84_P759168 | 2,49 | 2,12 | | AT3G30733 | |
| A_84_P606494 | 2,49 | 3,43 | GDU7 | AT5G38770 | glutamine dumper 7 |
| A_84_P18778 | 2,48 | 2,08 | AAP6 | AT5G49630 | amino acid permease 6 |
| A_84_P202538 | 2,48 | 3,11 | AT5G22550 | AT5G22550 | hypothetical protein |
| A_84_P20092 | 2,48 | 3,87 | AT2G20470 | AT2G20470 | putative serine/threonine-protein kinase |
| A_84_P768685 | 2,48 | 3,38 | | AT5G27927 | |
| A_84_P704129 | 2,47 | 2,15 | | AT5G53775 | |
| A_84_P750226 | 2,47 | 2,73 | | AT1G47950 | |
| A_84_P789317 | 2,46 | 3,11 | | AT3G56275 | |
| A_84_P19808 | 2,46 | 3,56 | MAP65-8 | AT1G27920 | microtubule-associated protein 65-8 |
| A_84_P758488 | 2,46 | 2,83 | AT2G18969 | AT2G18969 | hypothetical protein |
| A_84_P20495 | 2,46 | 2,71 | AT4G32800 | AT4G32800 | ethylene-responsive transcription factor ERF043 |
| A_84_P21574 | 2,46 | 3,04 | AT5G38340 | AT5G38340 | TIR-NBS-LRR class disease resistance protein |
| A_84_P14710 | 2,46 | 2,41 | SIB1 | AT3G56710 | sigma factor binding protein 1 |
| A_84_P310203 | 2,46 | 2,41 | UPS1 | AT2G03590 | ureide permease 1 |
| A_84_P808037 | 2,46 | 2,45 | AT1G28400 | AT1G28400 | hypothetical protein |
| A_84_P167633 | 2,45 | 2,70 | SPL5 | AT3G15270 | squamosa promoter-binding-like protein 5 |
| A_84_P21229 | 2,45 | 3,52 | AT3G21420 | AT3G21420 | oxidoreductase, 2OG-Fe(II) oxygenase family protein |
| A_84_P703501 | 2,45 | 2,91 | AT4G13992 | AT4G13992 | cysteine/histidine-rich C1 domain-containing protein |
| A_84_P14899 | 2,44 | 2,61 | CIPK5 | AT5G10930 | CBL-interacting serine/threonine-protein kinase 5 |
| A_84_P18366 | 2,44 | 2,37 | GRP5 | AT3G20470 | glycine-rich protein 5 |
| A_84_P754519 | 2,44 | 3,58 | | AT1G48268 | |
| A_84_P14198 | 2,43 | 2,58 | AT1G67400 | AT1G67400 | ELMO/CED-12 domain-containing protein |
| A_84_P767772 | 2,43 | 2,39 | | AT5G39995 | |
| A_84_P13368 | 2,43 | 2,98 | ATSBT5.2 | AT1G20160 | Subtilisin-like serine endopeptidase-like protein |
| A_84_P17266 | 2,42 | 2,66 | SSL1 | AT2G41300 | strictosidine synthase-like 1 |
| A_84_P789063 | 2,42 | 2,20 | AT5G20110 | AT5G20110 | dynein light chain type 1-like protein |
| A_84_P11844 | 2,41 | 2,12 | AT1G24000 | AT1G24000 | polyketide cyclase/dehydrase and lipid transport-like protein |
| A_84_P294984 | 2,41 | 2,38 | AT1G24735 | AT1G24735 | caffeoyl-CoA O-methyltransferase |
| A_84_P12143 | 2,41 | 3,30 | CYP707A3 | AT5G45340 | abscisic acid 8'-hydroxylase 3 |

| | | | | | |
|--------------|------|------|-----------|-----------|---|
| A_84_P22388 | 2,41 | 2,51 | AT4G33070 | AT4G33070 | pyruvate decarboxylase |
| A_84_P750237 | 2,41 | 2,73 | | AT1G69110 | |
| A_84_P829463 | 2,40 | 2,74 | AT5G17340 | AT5G17340 | Putative membrane lipoprotein |
| A_84_P309023 | 2,40 | 2,92 | AT5G66440 | AT5G66440 | hypothetical protein |
| A_84_P802884 | 2,39 | 2,74 | AT3G46300 | AT3G46310 | hypothetical protein |
| A_84_P842669 | 2,39 | 2,32 | AT1G29720 | AT1G29720 | Leucine-rich repeat transmembrane protein kinase |
| A_84_P753723 | 2,39 | 2,65 | AT1G47497 | AT1G47497 | RNase H domain-containing protein |
| A_84_P768038 | 2,39 | 2,35 | AT5G18403 | AT5G18403 | defensin-like protein 218 |
| A_84_P67924 | 2,39 | 2,40 | RGTA2 | AT5G41820 | RAB geranylgeranyl transferase alpha subunit 2 |
| A_84_P568436 | 2,38 | 2,16 | BRX-LIKE3 | AT1G54180 | BREVIS RADIX-like 3 |
| A_84_P787776 | 2,38 | 2,05 | AT3G56260 | AT3G56260 | hypothetical protein |
| A_84_P767638 | 2,38 | 2,21 | AT5G52930 | AT5G52930 | hypothetical protein |
| A_84_P529333 | 2,37 | 2,17 | DUF2 | AT1G11420 | agenet domain-containing protein |
| A_84_P242573 | 2,37 | 2,59 | AT5G54470 | AT5G54470 | B-box type zinc finger-containing protein |
| A_84_P735102 | 2,37 | 3,04 | AT5G15581 | AT5G15581 | hypothetical protein |
| A_84_P553411 | 2,37 | 2,28 | AT1G71870 | AT1G71870 | protein novel ion carrier-2 |
| A_84_P22967 | 2,37 | 2,09 | UCP5 | AT2G22500 | uncoupling protein 5 |
| A_84_P559167 | 2,36 | 2,42 | AT4G32000 | AT4G32000 | protein kinase family protein |
| A_84_P210848 | 2,36 | 2,12 | AT5G22930 | AT5G22930 | hypothetical protein |
| A_84_P249275 | 2,36 | 2,22 | AT1G77460 | AT1G77460 | armadillo/beta-catenin-like repeat and C2 domain-containing protein |
| A_84_P12139 | 2,36 | 2,10 | AT5G44400 | AT5G44400 | FAD-binding and BBE domain-containing protein |
| A_84_P17088 | 2,36 | 2,21 | AT1G78530 | AT1G78530 | protein kinase-like protein |
| A_84_P14635 | 2,35 | 2,18 | AT1G02460 | AT1G02460 | Pectin lyase-like protein |
| A_84_P18780 | 2,35 | 2,54 | AT5G50120 | AT5G50120 | transducin/WD40 domain-containing protein |
| A_84_P14448 | 2,35 | 3,32 | MEE23 | AT2G34790 | FAD-binding and BBE domain-containing protein |
| A_84_P22166 | 2,34 | 2,21 | ESM1 | AT3G14210 | epithiospecifier modifier 1 |
| A_84_P787324 | 2,34 | 2,36 | AT4G36280 | AT4G36280 | histidine kinase-like ATPase domain-containing protein |
| A_84_P511022 | 2,34 | 2,13 | AT2G43800 | AT2G43800 | formin-like protein 2 |
| A_84_P22799 | 2,34 | 2,68 | AT1G55760 | AT1G55760 | BTB/POZ domain-containing protein |
| A_84_P12622 | 2,33 | 2,70 | NTL8 | AT2G27300 | protein NTM1-like 8 |
| A_84_P702189 | 2,33 | 2,31 | AT5G46877 | AT5G46877 | putative defensin-like protein 304 |
| A_84_P565128 | 2,33 | 2,04 | AT3G10750 | AT3G10750 | FBD domain-containing protein |
| A_84_P17671 | 2,33 | 2,34 | FD | AT4G35900 | protein FD |
| A_84_P259610 | 2,33 | 2,16 | AT3G01240 | AT3G01240 | hypothetical protein |
| A_84_P23923 | 2,33 | 2,52 | AT2G37900 | AT2G37900 | putative peptide/nitrate transporter |
| A_84_P753091 | 2,32 | 2,29 | AT1G45215 | AT1G45215 | hypothetical protein |
| A_84_P849839 | 2,32 | 2,11 | AT1G49475 | AT1G49475 | B3 domain-containing protein |
| A_84_P18263 | 2,31 | 2,80 | AT2G38090 | AT2G38090 | myb/SANT-like DNA-binding domain-containing protein |
| A_84_P102366 | 2,31 | 3,06 | AT3G15280 | AT3G15280 | hypothetical protein |
| A_84_P16097 | 2,30 | 2,28 | AT1G24140 | AT1G24140 | matrix metalloprotease domain-containing protein |
| A_84_P16988 | 2,30 | 2,49 | AT5G04330 | AT5G04330 | ferulate-5-hydroxylase |
| A_84_P11600 | 2,30 | 2,14 | SDG21 | AT2G24740 | histone-lysine N-methyltransferase, H3 lysine-9 specific SUVH8 |
| A_84_P15366 | 2,30 | 2,40 | AT1G11210 | AT1G11210 | hypothetical protein |

| | | | | | |
|--------------|------|------|------------|-----------|---|
| A_84_P20359 | 2,30 | 2,17 | AT3G57540 | AT3G57540 | Remorin family protein |
| A_84_P760097 | 2,30 | 2,00 | GRF4 | AT3G52910 | growth-regulating factor 4 |
| A_84_P210018 | 2,30 | 2,61 | MEE53 | AT4G10560 | Cysteine/Histidine-rich C1 domain family protein |
| A_84_P13337 | 2,30 | 2,17 | AT1G28390 | AT1G28390 | serine/threonine-protein kinase-like protein |
| A_84_P21445 | 2,29 | 2,03 | AT4G33820 | AT4G33820 | glycosyl hydrolase family 10 protein |
| A_84_P768632 | 2,29 | 2,58 | AT5G05598 | AT5G05598 | hypothetical protein |
| A_84_P766298 | 2,29 | 2,05 | AT5G34881 | AT5G34887 | hypothetical protein |
| A_84_P533968 | 2,29 | 3,67 | HB21 | AT2G02540 | homeobox protein 21 |
| A_84_P23011 | 2,29 | 2,18 | NRPE3B | AT2G15400 | DNA-directed RNA polymerase II subunit RPB3-B |
| A_84_P851667 | 2,28 | 2,03 | AT3G23840 | AT3G23840 | HXXXD-type acyl-transferase-like protein |
| A_84_P17024 | 2,28 | 2,79 | AT1G23460 | AT1G23460 | polygalacturonase |
| A_84_P824560 | 2,28 | 2,29 | | AT3G23090 | |
| A_84_P751116 | 2,28 | 2,11 | BGLU35 | AT1G47600 | myrosinase 5 |
| A_84_P18795 | 2,27 | 2,16 | ATK3 | AT5G54670 | kinesin 3 |
| A_84_P12764 | 2,27 | 2,30 | GATL2 | AT3G50760 | putative galacturonosyltransferase-like 2 |
| A_84_P16558 | 2,26 | 2,01 | CHX20 | AT3G53720 | cation/H(+) antiporter 20 |
| A_84_P829642 | 2,26 | 2,44 | AT1G30160 | AT1G30160 | hypothetical protein |
| A_84_P172581 | 2,25 | 2,16 | AT3G03440 | AT3G03440 | armadillo/beta-catenin-like repeat-containing protein |
| A_84_P273250 | 2,25 | 2,63 | AT5G56220 | AT5G56220 | nucleoside-triphosphatase/ nucleotide binding protein |
| A_84_P868105 | 2,25 | 2,41 | AT3G61490 | AT3G61490 | polygalacturonase-like protein |
| A_84_P22133 | 2,25 | 2,18 | BGLU43 | AT3G18070 | beta glucosidase 43 |
| A_84_P784578 | 2,24 | 2,30 | ENODL9 | AT3G20570 | early nodulin-like protein 9 |
| A_84_P791064 | 2,23 | 3,06 | AT5G50290 | AT5G50290 | hypothetical protein |
| A_84_P12232 | 2,23 | 2,80 | IRX6 | AT5G15630 | COBRA-like protein 4 |
| A_84_P769201 | 2,22 | 2,16 | AT5G15008 | AT5G15008 | hypothetical protein |
| A_84_P19504 | 2,22 | 2,19 | AT4G22730 | AT4G22730 | leucine-rich repeat protein kinase-like protein |
| A_84_P526357 | 2,22 | 2,46 | AT4G27435 | AT4G27435 | hypothetical protein |
| A_84_P544339 | 2,21 | 2,38 | XND1 | AT5G64530 | xylem NAC domain 1 |
| A_84_P201968 | 2,21 | 2,23 | AT2G18100 | AT2G18100 | hypothetical protein |
| A_84_P24121 | 2,21 | 2,20 | AT3G52900 | AT3G52900 | hypothetical protein |
| A_84_P11937 | 2,21 | 2,34 | sks4 | AT4G22010 | protein SKU5 similar 4 |
| A_84_P820385 | 2,20 | 3,00 | AT3G12700 | AT3G12700 | aspartyl protease family protein |
| A_84_P11887 | 2,19 | 2,22 | AT4G02660 | AT4G02660 | Beige/BEACH and WD40 domain-containing protein |
| A_84_P218178 | 2,19 | 4,24 | AT5G03795 | AT5G03795 | putative glycosyltransferase |
| A_84_P768444 | 2,18 | 2,64 | AT5G36350 | AT5G36470 | ECA1 gametogenesis related family protein |
| A_84_P10788 | 2,18 | 3,49 | HMT-1 | AT3G25900 | homocysteine S-methyltransferase 1 |
| A_84_P294174 | 2,18 | 2,74 | WRKY36 | AT1G69810 | putative WRKY transcription factor 36 |
| A_84_P10263 | 2,18 | 2,42 | TT10 | AT5G48100 | laccase-15 |
| A_84_P167173 | 2,17 | 2,01 | DREB1A | AT4G25480 | dehydration-responsive element-binding protein 1A |
| A_84_P844453 | 2,17 | 2,08 | MAP65-2 | AT4G26760 | microtubule-associated protein 65-2 |
| A_84_P163793 | 2,16 | 2,01 | AT3G15760 | AT3G15760 | hypothetical protein |
| A_84_P17974 | 2,16 | 2,45 | FMO GS-OX4 | AT1G62570 | flavin-containing monooxygenase FMO GS-OX4 |
| A_84_P291394 | 2,15 | 2,26 | BOP2 | AT2G41370 | ankyrin repeat and BTB/POZ domain-containing protein |

| | | | | | |
|--------------|------|------|-----------|-----------|---|
| A_84_P754304 | 2,15 | 2,26 | | AT1G24733 | |
| A_84_P13829 | 2,14 | 2,41 | AT4G22590 | AT4G22590 | haloacid dehalogenase-like hydrolase domain-containing protein |
| A_84_P20511 | 2,14 | 2,20 | AGP18 | AT4G37450 | Lysine-rich arabinogalactan protein 18 |
| A_84_P14194 | 2,13 | 2,33 | AT1G04040 | AT1G04040 | HAD superfamily, subfamily IIIB acid phosphatase |
| A_84_P17945 | 2,13 | 2,11 | AT2G04060 | AT2G04060 | glycosyl hydrolase family 35 protein |
| A_84_P17026 | 2,13 | 2,21 | AT1G51300 | AT1G51300 | acyl-protein thioesterase-related protein |
| A_84_P561646 | 2,13 | 2,06 | AT3G28420 | AT3G28420 | Putative membrane lipoprotein |
| A_84_P14332 | 2,13 | 2,04 | AT1G68420 | AT1G68420 | class II tRNA amino-acyl synthetase-like catalytic core domain-containing protein |
| A_84_P602497 | 2,12 | 2,05 | COPT4 | AT2G37925 | copper transporter 4 |
| A_84_P731211 | 2,12 | 2,12 | AT3G55930 | AT3G55930 | Pre-mRNA-splicing factor 3 |
| A_84_P15342 | 2,12 | 2,08 | AT2G41820 | AT2G41820 | Leucine-rich repeat protein kinase-like protein |
| A_84_P280020 | 2,12 | 2,22 | AT4G31640 | AT4G31640 | B3 domain-containing protein REM5 |
| A_84_P536145 | 2,12 | 2,22 | AT4G31660 | AT4G31660 | B3 domain-containing protein REM7 |
| A_84_P10208 | 2,11 | 2,09 | RD22 | AT5G25610 | dehydration-responsive protein RD22 |
| A_84_P13620 | 2,11 | 2,25 | AT3G21600 | AT3G21600 | Senescence/dehydration-associated protein-like protein |
| A_84_P751246 | 2,11 | 2,17 | | AT1G54750 | |
| A_84_P597157 | 2,11 | 2,02 | AT2G38010 | AT2G38010 | neutral ceramidase |
| A_84_P765333 | 2,10 | 2,17 | AT4G24974 | AT4G24974 | self-incompatibility S1 family protein |
| A_84_P13326 | 2,10 | 2,04 | PIN3 | AT1G70940 | auxin efflux carrier component 3 |
| A_84_P22073 | 2,10 | 2,30 | HAT9 | AT2G22800 | homeobox-leucine zipper protein HAT9 |
| A_84_P20610 | 2,10 | 2,17 | NADP-ME3 | AT5G25880 | malate dehydrogenase (oxaloacetate-decarboxylating)(NADP+) |
| A_84_P10272 | 2,09 | 2,03 | NF-YC5 | AT5G50490 | nuclear transcription factor Y subunit C-5 |
| A_84_P521842 | 2,09 | 2,14 | AT3G58380 | AT3G58380 | TRAF-like family protein |
| A_84_P19943 | 2,08 | 2,96 | AT1G49450 | AT1G49450 | WD40 domain-containing protein |
| A_84_P94429 | 2,08 | 2,19 | RABC2A | AT5G03530 | RAB GTPase-C2A |
| A_84_P169053 | 2,07 | 2,52 | AT3G45730 | AT3G45730 | hypothetical protein |
| A_84_P210388 | 2,07 | 3,16 | AT2G21820 | AT2G21820 | hypothetical protein |
| A_84_P821812 | 2,07 | 2,28 | AT5G24580 | AT5G24580 | heavy metal transport/detoxification domain-containing protein |
| A_84_P52990 | 2,06 | 2,04 | GLN1;4 | AT5G16570 | glutamine synthetase cytosolic isozyme 1-4 |
| A_84_P21197 | 2,06 | 2,28 | AT3G25280 | AT3G25280 | major facilitator protein |
| A_84_P14907 | 2,06 | 2,08 | PAO1 | AT5G13700 | Polyamine oxidase 1 |
| A_84_P787726 | 2,06 | 2,04 | AT1G77700 | AT1G77700 | pathogenesis-related thaumatin-like protein |
| A_84_P504518 | 2,05 | 2,30 | AT1G13920 | AT1G13920 | Remorin family protein |
| A_84_P253335 | 2,05 | 2,41 | AT2G07000 | AT2G07000 | hypothetical protein |
| A_84_P549629 | 2,04 | 2,08 | PHOT2 | AT5G58140 | phototropin 2 |
| A_84_P196024 | 2,04 | 2,12 | SQS2 | AT4G34650 | squalene synthase 2 |
| A_84_P238533 | 2,04 | 2,47 | AT5G49320 | AT5G49320 | hypothetical protein |
| A_84_P247205 | 2,03 | 2,09 | AT5G57670 | AT5G57670 | protein kinase-like protein |
| A_84_P22798 | 2,03 | 2,13 | GSTU23 | AT1G78320 | glutathione S-transferase TAU 23 |
| A_84_P235683 | 2,03 | 2,06 | AT1G62000 | AT1G62000 | hypothetical protein |
| A_84_P23137 | 2,03 | 2,12 | | AT3G43690 | |
| A_84_P542495 | 2,02 | 2,67 | AT5G45320 | AT5G45320 | hypothetical protein |
| A_84_P16690 | 2,02 | 2,61 | CRF4 | AT4G27950 | ethylene-responsive transcription factor CRF4 |
| A_84_P789056 | 2,02 | 2,44 | FRU | AT2G28160 | FER-LIKE IRON DEFICIENCY-INDUCED |

| | | | | | |
|--------------|------|------|-----------|-----------|---|
| | | | | | transcription factor |
| A_84_P22556 | 2,02 | 2,10 | AT5G48060 | AT5G48060 | C2 calcium/lipid-binding and phosphoribosyltransferase C-terminal domain-containing protein |
| A_84_P536949 | 2,01 | 2,13 | AT4G06744 | AT4G06744 | Leucine-rich repeat-containing protein |
| A_84_P765062 | 2,01 | 2,20 | | AT4G24415 | |
| A_84_P834709 | 2,01 | 2,23 | GLIP5 | AT1G53920 | GDSL esterase/lipase 5 |
| A_84_P23037 | 2,00 | 2,03 | RGL2 | AT3G03450 | DELLA protein RGL2 |
| A_84_P12420 | 2,00 | 2,26 | AT1G14730 | AT1G14730 | Cytochrome b561/ferric reductase transmembrane-like protein |
| A_84_P533108 | 2,00 | 2,65 | AT2G15830 | AT2G15830 | hypothetical protein |

Danksagung

Nach vielen Jahren intensiver Arbeit liegt sie nun vor mir: meine Dissertation. Damit ist es an der Zeit, mich bei denjenigen zu bedanken, die mich in dieser spannenden Phase meiner akademischen Laufbahn begleitet haben.

Zu besonderem Dank bin ich meinem Doktorvater Prof. Dr. Uwe Sonnewald verpflichtet, v.a. für die Überlassung des interessanten Themas und die Betreuung. Mit seinem unerschöpflichen Fundus an thematischen und wissenschaftlichen Hinweisen hat er mich stets in neue Sphären gelenkt.

Ich danke Ruth Stadler für die Übernahme des Zweitgutachtens, die schöne gemeinsame Zeit auf der Plasmodesmata-Konferenz 2010 und die zahlreichen Tipps und aufmunternden Gespräche.

Mein herzlicher Dank gilt auch Prof. Dr. Manfred Marschall, der seine Aufgabe als Mentor stets ernst genommen hat, immer ein offenes Ohr für mich hatte und mir mit Rat und Tat zur Seite stand.

Ich danke Prof. Dr. Benedikt Kost und Prof. Dr. Manfred Marschall für die Teilnahme am Prüfungskollegium.

Bei allen Mitgliedern des Lehrstuhls für Biochemie, der für lange Zeit mein „zweites Zuhause“ war, möchte ich mich für die angenehme Arbeitsatmosphäre und die Hilfsbereitschaft bedanken. Ich werde auch an viele schöne Momente außerhalb des Laboralltags und die tollen Feiern gerne zurückdenken.

Herzlicher Dank auch an alle Mitglieder der MPP, die immer sich immer viel Zeit genommen haben und wertvolle Tipps auf Lager hatten: Coco, Wolfi, Conny, Ruth, Franz, Chrissi, Sabine, Susi, Nadja, Nina und Petra. Unvergessen bleiben natürlich auch diverse Sushi-Runden.

Ich danke allen Mitgliedern des Labors 01.169 für die immense Unterstützung. Dank euch und der guten Stimmung bin ich immer gerne ins Labor gegangen. Besonders danken möchte ich der „Stammbesetzung“: Kathrin für deinen Rückhalt, die wertvollen Ratschläge aus dem Methodenordner oder aus den Karteikärtchen, die leckeren Kuchen, den ein oder anderen „Fahrdienst“ und die vielen witzigen Abendveranstaltungen mit dir. Meinen Jungs für ihre Hilfsbereitschaft und neue Einblicke in alte Dinge ☺. Max (aka Kraninger), dem langersehnten zweiten Mitglied in der PD-Gruppe, für die vielen tollen Gespräche,

die Zusammenarbeit und deinen Humor. Christian (aka Lämmli) für deine ruhige gelassene Art, die mich oftmals wieder runtergebracht hat. Auch nicht zu vergessen Moe für seine schlechten Witze und Anzüglichkeiten und die Boxen, die du mir vermacht hast (die haben mich oft an den Kampf um die Lautstärke erinnert *g*). Ebenso zu erwähnen sind die Studenten, die einen wesentlichen Teil an meiner Arbeit beigetragen haben: Ina - die beste Masterstudentin, die man sich vorstellen kann und die mir auch privat sehr ans Herz gewachsen ist -, meine Bachelorstudenten Mirjam Steingruber und Walter Schröder, und natürlich Ola und Maria.

Mein herzlicher Dank gilt natürlich auch den Mitgliedern meines „zweiten“ Labors: Christian, Jessi, Marlene, Kirsten und Haina. Danke, dass ihr mir im Schreibraum Asyl gegeben habt und mich immer in alles miteinbezogen habt. Ich habe mich bei euch sehr wohl gefühlt. Im Speziellen danke ich meinen Schreibkumpanen Jessi und Christian für die vielen regen Diskussionen, Hilfe beim Mikroarray und fürs Motivieren.

Susanne Morbach, Andreas Burkovski und Lisa Bäumer danke ich für die super Organisation und für die vielen Vorteile als Mitglied in der Graduiertenschule des SFB796. Danke Lisa, Elena, Julia, Eva, Camilla, Adriana und Vinay für die vielen lustigen Abende.

Ich danke Dr. Jörg Hofmann für seine Lipidomics-Bemühungen und Dr. Ralf Palmisano für die Einführung in die Welt der Mikroskopie. Weiterhin danke ich Prof. Dr. Frederik Börnke, mit dem ich immer gerne über mein Thema diskutiert habe und der durch seine fröhliche Art eine Bereicherung des Arbeitsalltages war.

Danke Stephen für deine Hilfsbereitschaft, v.a. beim Mikroarray, die gemeinsamen Kochtage, deine super leckeren Kuchen und die vielen sonstigen Leckereien.

Herzlicher Dank auch an Anja Schillinger, die mich das ganze Studium begleitet hat und mit der das Lernen auch immer einen gewissen Spaßfaktor hatte.

Meinem Fitnessstudio XXL Erlangen danke ich für das tolle Kursangebot, ohne das meine Psyche wahrscheinlich nicht so stabil gewesen wäre.

Jessi und Kathrin Auburger danke ich für die vielen lustigen Momente und die gemeinsamen Mädelsabende.

For Adriana: Thank you very much for our Happy Potato Tuesdays. You cannot imagine how much this and your positive energy helped me especially during the writing phase.

Danke Coco für die schönen Pausen, dafür, dass wir das gemeinsam durchgezogen haben, auch wenn es einige Tiefpunkte gab und dafür, dass du immer für mich da warst: Java Chip Chocolate Cream rules!

Danke Suayib, der den Großteil des Weges seit der Kollegstufe gemeinsam mit mir gegangen ist. Auch wenn es Höhen und Tiefen gab: du wirst immer einen besonderen Platz in meinem Herzen haben.

Danke Leo fürs Zuhören, deine Ehrlichkeit, das ein oder andere Aufbauen und die vielen schönen Momente außerhalb des Labors. Unvergessen bleiben vor allem unsere Sport-Sofa-Samstage.

Danke Annabel dafür, dass du immer für mich da warst/bist. Trotz der 6.081 Kilometer Entfernung war deine mentale Unterstützung über Skype und Voice mail unersetzbar.

Ebenso möchte ich mich bei meiner Patin und meinem Paten für die durchgehende Unterstützung bedanken.

Eine herausragende Stellung in jeglicher Hinsicht nehmen meine Familie und mein Freund ein, ohne die ich nicht so weit gekommen wäre.

Ich danke meinen Eltern und meiner Schwester für die immense Unterstützung - mental und finanziell - und ihre liebevolle Fürsorge! Denn auch wenn es mal nicht so gut in der Arbeit lief, bin ich immer weich gefallen. Meiner Sisti danke ich außerdem fürs Korrekturlesen und für die lustigen Spieleabende und sonstige kulinarische Verwöhnabende. Danke an dieser Stelle auch an Roli, v.a. für deine Grillkünste, die vielen Fahrten nach Erlangen und die Hilfe bei diversen Umzügen.

Danke Christoph für deine bedingungslose Liebe, deinen Rückhalt, deine Selbstlosigkeit und dafür, dass du mir immer geduldig zuhörst, mich auffängst, mich zum Lachen bringst und mich nie aufgibst. Du bist das Beste, was mir passieren konnte!

Lebenslauf

Persönliche Angaben

| | |
|--------------|-------------|
| Name | Katrin Link |
| Geburtsdatum | 17.09.1983 |
| Geburtsort | Nürnberg |

Schulische und akademische Ausbildung

| | |
|---------------------|---|
| seit 03/2009 | Friedrich-Alexander-Universität Erlangen-Nürnberg Lehrstuhl für Biochemie, Graduate School SFB 796 Wissenschaftliche Mitarbeiterin (Promotion) Thema: „Molekulare Analyse der plasmodesmalen Assoziation des viralen Movementproteins MP17“ |
| 10/2003 bis 01/2009 | Friedrich-Alexander-Universität Erlangen-Nürnberg Diplomstudium Biologie, Schwerpunkt Biochemie Diplomarbeit: „Funktionelle Charakterisierung von cytosolischen Hsp70-Isoformen in <i>Arabidopsis thaliana</i> “ Abschlussnote 1,0 |
| 09/1994 bis 06/2003 | Helene-Lange-Gymnasium, Fürth Allgemeine Hochschulreife 1,4 Leistungskurse: Englisch, Biologie |

Weitere Qualifikationen

| | |
|---------------|---|
| Sprachen | Deutsch (Muttersprache) Englisch (fließend in Wort und Schrift) Französisch (Grundkenntnisse) |
| EDV | Geübter Umgang mit den MS-Office Programmen Mikroskopsoftware Leica Application Suite Advanced Fluorescence |
| Lehrerfahrung | Betreuung von Abschlussarbeiten (Master, Bachelor) Betreuung von Facharbeiten |

Publikationsliste

Jungkunz I, Link K, Vogel F, Voll LM, Sonnewald S, Sonnewald U (2011) AtHsp70-15-deficient Arabidopsis plants are characterized by reduced growth, a constitutive cytosolic protein response and enhanced resistance to TuMV. *Plant Journal* **66**: 983-995

Link K, Vogel F, Sonnewald U (2011) PD trafficking of potato leaf roll virus movement protein in Arabidopsis depends on site-specific protein phosphorylation. *Front Plant Sci* **2**

Thran M, Link K, Sonnewald U (2012) The Arabidopsis DCP2 gene is required for proper mRNA turnover and prevents transgene silencing in Arabidopsis. *Plant Journal* **72**: 368-377

Konferenzbeiträge*Vorträge*

Juli 2013 "Molecular Analysis of MP17 and its Putative Interaction Partners"; Best Talk Award
5th Annual Retreat, Erlangen School of Molecular Communication, Kloster Banz, Bad Staffelstein, Germany

Juli 2012 "How can a putative choline transporter influence the plasmodesmal localization of MP17?"
4th Annual Retreat, Erlangen School of Molecular Communication, Kloster Banz, Bad Staffelstein, Germany

Dezember 2011 „NGS-Anwendungen bei Arabidopsis“
Einführung in die Next-Generation-Sequencing-Plattform, Nikolaus-Fiebiger-Zentrum, Erlangen, Deutschland

Juli 2011 "Insights into plasmodesmal transport – the PLRV MP17"
3rd Annual Retreat, Erlangen School of Molecular Communication, Kloster Banz, Bad Staffelstein, Germany

September 2010 "Insights into plasmodesmal transport – the PLRV MP17"
2nd Annual Retreat, Erlangen School of Molecular Communication, Kloster Banz, Bad Staffelstein, Germany

März 2010 "Insights into plasmodesmal transport – the PLRV MP17"
Plasmodesmata 2010 Conference, Sydney, Australia

September 2009 "Analysis of the macromolecule transport in plants and molecular analysis of a viral movement protein"
First Annual Retreat, Erlangen School of Molecular Communication, Schloss Atzelsberg, Atzelsberg, Germany

Poster

- September 2013 Link K., Thran M. und Sonnewald U.
 “Molecular Analysis of MP17 and its Putative Interaction Partners”
 OICE Eröffnung, Erlangen, Deutschland
- Oktober 2011 Link K., Thran M., Vogel F., Hofius D., und Sonnewald U.
 “Insights into plasmodesmal transport - the PLRV MP17”
 First International SFB 796 Conference: Mechanisms of viral host
 cell manipulations: from plants to humans, Bamberg, Germany
- September 2011 Link K., Thran M., Vogel F., Hofius D., und Sonnewald U.
 Insights into plasmodesmal transport -- the PLRV MP17.
 Botanikertagung, Berlin, Germany; 18. – 23. September, 2011.
- Juli 2011 Link K., Thran M., Vogel F., Hofius D., und Sonnewald U.
 “Insights into plasmodesmal transport – the PLRV MP17”
 3rd Annual Retreat, Erlangen School of Molecular Communication,
 Kloster Banz, Bad Staffelstein, Germany
- Februar 2011 Link K., Vogel F. und Sonnewald U.
 “PD trafficking of the PLRV movement protein in Arabidopsis
 depends on site-specific protein phosphorylation”
 24. Tagung Molekularbiologie der Pflanzen, Dabringhausen,
 Germany; 22. – 25. February 2011.